



Finanziato
dall'Unione europea
NextGenerationEU



Ministero
delle Infrastrutture
e dei Trasporti



Italiadomani
PIANO NAZIONALE
DI RIPRESA E RESILIENZA

Finanziato dal Unione Europea dell'iniziativa NextGenerationEU Misura M2C2 - 4.2
Sviluppo trasporto rapido di Massa

CUP B31E20000230001



COMUNE DI GENOVA

IL RESPONSABILE UNICO DEL PROCEDIMENTO
ALBERTO BITOSSÌ
IL DIRETTORE ESECUTORE DEL CONTRATTO
ANTONIO ROSSA

**PROGETTAZIONE DEFINITIVA DEL SISTEMA DEGLI ASSI DI FORZA PER IL
TRASPORTO PUBBLICO LOCALE (RETE FILOVIARIA E STRUTTURE
CONNESSE)**

PROGETTAZIONE

MANDANTARIA



MANDANTE

MANDANTE

MANDANTE



Società ITALFERR

OFFICINA/PARCHEGGIO STAGLIENO

Relazione geologica, geomorfologica e idrogeologica

IL PROGETTISTA RESPONSABILE DELL'INTEGRAZIONE

Dott. Ing. Alessandro Peresso

SCALA:

-

COMMESSA	LOTTO	FASE	ENTE	TIPO DOC.	OPERA/DISCIPLINA	PROGR.	REV.
E 2 1 D	0 0	D	6 9	R G	G E 1 5 0 0	0 0 1	A

Rev.	Descrizione	Redatto	Data	Verificato	Data	Approvato	Data	Autorizzato Data
A	EMISSIONE ESECUTIVA	V. Bellini <i>[Signature]</i>	GIUGNO 2023	E. Poggi <i>[Signature]</i>	GIUGNO 2023	A. Peresso <i>[Signature]</i>	GIUGNO 2023	G. Benedetti GIUGNO 2023 ITALFERR S.p.A. Gruppo Ferrovie dello Stato Italiane Dott. Geol. Giopluca Berigètti Ordine dei Geologi Emilia Romagna n. 1019 <i>[Signature]</i>

File: E21D00D69RGGE1500001A.pdf

n. Elab.:

	PROGETTAZIONE DEFINITIVA DEL SISTEMA DEGLI ASSI DI FORZA PER IL TRASPORTO PUBBLICO LOCALE (RETE FILOVIARIA E STRUTTURE CONNESSE)					
Relazione geologica, geomorfologica e idrogeologica	COMMESSA E21D	LOTTO 00 D 69	CODIFICA RG	DOCUMENTO GE1500 001	REV. A	FOGLIO 2 di 49

INDICE

1.	INTRODUZIONE.	5
2.	RIFERIMENTI NORMATIVI.	8
3.	METODOLOGIA DI LAVORO.	9
4.	DEPOSITO STAGLIENO: INQUADRAMENTO GEOLOGICO E GEOMORFOLOGICO GENERALE.	10
4.1	IL SUBSTRATO ROCCIOSO.	12
4.1.1	ARGILLITI DI MONTOGGIO.	12
4.1.2	FORMAZIONE DI MONTE ANTOLA.	12
4.1.3	LE COPERTURE: I TERRENI QUATERNARI.	14
4.2	INQUADRAMENTO GEOGRAFICO E ASSETTO GEOMORFOLOGICO LOCALE.	15
4.3	IDROGEOLOGIA.	17
4.4	PERMEABILITÀ DEI TERRENI E CONDIZIONI DI DEFLUSSO IDRICO SOTTERRANEO.	17
5.	INDAGINI GEOGNOSTICHE E GEOFISICHE DEL PROGETTO DEFINITIVO.	20
5.1	PIANO DI INDAGINE.	20
5.2	RISULTANZE STRATIGRAFICHE DEI SONDAGGI.	25
5.2.1	DEPOSITO STAGLIENO.	25
5.3	ANALISI E PROVE DI LABORATORIO.	28
5.4	INDAGINI GEOFISICHE.	30
5.4.1	DEPOSITO STAGLIENO.	30
6.	CONSIDERAZIONI IN MERITO AL RISCHIO SISMICO.	32
6.1	SISMICITÀ STORICA DEL COMPARTO IN ESAME.	34
6.2	SORGENTI SIMOGENETICHE E FAGLIE CAPACI DEL COMPARTO IN ESAME.	35
6.3	CATEGORIE DI SOTTOSUOLO.	37
7.	ANALISI DEI VINCOLI NORMATIVI E DELLA PERICOLOSITA' IDROGEOLOGICA.	38
7.1	DEPOSITO STAGLIENO.	40
7.1.1	RAPPORTI CON IL PIANO DI BACINO DEL TORRENTE BISAGNO PER GLI ASPETTI INERENTI LA SUSCETTIVITÀ AL DISSESTO E I REGIMI NORMATIVI.	40
7.1.2	RAPPORTI CON IL P.U.C. DEL COMUNE DI GENOVA PER GLI ASPETTI INERENTI LA MICROZONAZIONE SISMICA E LA ZONIZZAZIONE GEOLOGICA DEL TERRITORIO.	44
8.	CONSIDERAZIONI CONCLUSIVE.	48

	PROGETTAZIONE DEFINITIVA DEL SISTEMA DEGLI ASSI DI FORZA PER IL TRASPORTO PUBBLICO LOCALE (RETE FILOVIARIA E STRUTTURE CONNESSE)					
Relazione geologica, geomorfologica e idrogeologica	COMMESSA E21D	LOTTO 00 D 69	CODIFICA RG	DOCUMENTO GE1500 001	REV. A	FOGLIO 3 di 49

INDICE DELLE FIGURE

Figura 1.	ubicazione dei depositi su vista da satellite Google Earth, fuori scala.	6
Figura 2.	Stralcio cartografia dei dintorni di Genova -1851 (Archivio Studio Associato Bellini) a confronto con CTR Regione Liguria - fuori scala. In rosso il deposito di Staglieno.	11
Figura 3.	Stralcio fuori scala del Foglio Genova 213, progetto CARG, della Carta Geologica d'Italia.	14
Figura 4.	Vista aerea del Deposito di Staglieno – Google Earth.	16
Figura 5.	Deposito Staglieno: grafico NSPT - Profondità	27
Figura 6.	Mappa di pericolosità sismica espressa in termini di accelerazione massima del suolo (amax) con probabilità di eccedenza del 10% in 50 anni riferita a suoli molto rigidi (Vs30 > 800 m/s) – da INGV. In rosso l'area di studio.	33
Figura 7.	Sismicità storica del Comune di Genova [44.419, 8.898] 131 eventi nel periodo 1000-2020 - intensità massima registrata 6-7.	34
Figura 8.	Sorgenti sismogenetiche contenute nella nuova versione del “Database of Potential Sources for Earthquakes larger than M 5.5 in Italy” – Immagine focalizzata sull'ambito ligure. In rosso l'area di studio.(http://diss.rm.ingv.it/diss/).	36
Figura 9.	Quadro riassuntivo della sorgente sismogenetica composta Imperia Promontory (ITCS022).	36
Figura 10.	Quadro riassuntivo della sorgente sismogenetica composta Lunigiana (ITCS026).	37
Figura 11.	Deposito Staglieno - Estratto fuori scala dalla Carta dei Principali Vincoli Territoriali del vigente Piano di Bacino del T. Bisagno, che conferma che l'area di intervento non è sottoposta a vincolo idrogeologico.	40
Figura 12.	Deposito Staglieno - Estratto fuori scala dalla Carta della Suscettività al Dissesto del vigente Piano di Bacino del T. Bisagno.	42
Figura 13.	Deposito Staglieno - Estratto fuori scala dalla Carta delle Fasce di Inondabilità del vigente Piano di Bacino del T. Bisagno.	43
Figura 14.	Deposito Staglieno - Estratto fuori scala dalla Carta del Reticolo Idrografico Regionale di cui alla D.G.R. 507 del 21.06.19.	43
Figura 15.	Deposito Staglieno - Estratto fuori scala della Carta delle microzone omogenee in prospettiva sismica – PUC 2015 – Comune di Genova.	45
Figura 16.	Deposito Staglieno - Estratto fuori scala dalla Carta di Zonizzazione Geologica e Suscettività d'uso del Territorio del PUC 2015 – Comune di Genova.	47

	PROGETTAZIONE DEFINITIVA DEL SISTEMA DEGLI ASSI DI FORZA PER IL TRASPORTO PUBBLICO LOCALE (RETE FILOVIARIA E STRUTTURE CONNESSE)					
Relazione geologica, geomorfologica e idrogeologica	COMMESSA E21D	LOTTO 00 D 69	CODIFICA RG	DOCUMENTO GE1500 001	REV. A	FOGLIO 4 di 49

INDICE DELLE TABELLE

Tabella 1: Campagna di indagini del Progetto Definitivo – Installazioni piezometriche Deposito Staglieno.	19
Tabella 5: Sondaggi geognostici della campagna di indagini 2021 del Progetto definitivo dei depositi: ubicazioni e allestimenti.	21
Tabella 6: Sondaggi geognostici della campagna di indagini 2021 del Progetto definitivo: prove in foro e campionamenti.	22
Tabella 7: Prospezioni geofisiche della campagna di indagini 2021 del Progetto Definitivo dei depositi.	23
Tabella 8: Risultati delle prove in foro.	24
Tabella 9: Prove di laboratorio su campioni rimaneggiati, indisturbati e litoidi.	29
Tabella 10: coefficienti sismici e categorie di sottosuolo nelle aree dei depositi	38

	PROGETTAZIONE DEFINITIVA DEL SISTEMA DEGLI ASSI DI FORZA PER IL TRASPORTO PUBBLICO LOCALE (RETE FILOVIARIA E STRUTTURE CONNESSE)					
Relazione geologica, geomorfologica e idrogeologica	COMMESSA E21D	LOTTO 00 D 69	CODIFICA RG	DOCUMENTO GE1500 001	REV. A	FOGLIO 5 di 49

1. INTRODUZIONE.

Sono state esaminate, per gli aspetti geologici, geomorfologici e idrogeologici, le aree interessate dal progetto definitivo dei depositi di rimessaggio mezzi, a servizio della nuova rete filoviaria del trasporto pubblico di Genova, denominato Sistema degli assi di forza.

Si tratta di quattro aree di deposito dislocate nella Città di Genova (Figura 1), in sedi opportune per la logistica dei mezzi. Di queste, tre sono già occupate da depositi destinati al rimessaggio e alla manutenzione di mezzi del trasporto pubblico locale, mentre la quarta è prevista in un'area attualmente occupata da impianti sportivi e aree giochi.

In particolare:

- Deposito Gavette in Via Piacenza 66, in sponda destra del T. Bisagno, all'altezza di Ponte Carrega, per il quale il Progetto di Fattibilità Tecnica ed Economica (nel seguito PFTE) ha previsto la realizzazione di una nuova copertura mediante struttura in ca e l'adeguamento delle postazioni.
- Deposito Staglieno, ubicato tra Via Vecchia e Via Bobbio, all'incrocio con Via Montaldo, ancora in sponda destra del T. Bisagno, per il quale è prevista l'integrale demolizione e la ricostruzione con sopraelevazione.
- Deposito Sampierdarena, tra Via Rolando e Via Reti, a Sampierdarena, in sinistra del T. Polcevera, dove è previsto il rifacimento dell'attuale copertura e l'adeguamento parziale per adibirlo a officina filobus.
- Deposito Nervi, in Via delle Campanule, in prossimità dello svincolo autostradale di Genova Nervi, nel levante cittadino, sulla colmata della valletta del Rio Castagna. Si propone qui di realizzare una nuova struttura officina/deposito e una separata struttura adibita a parcheggio con funzioni di interscambio per i veicoli privati.

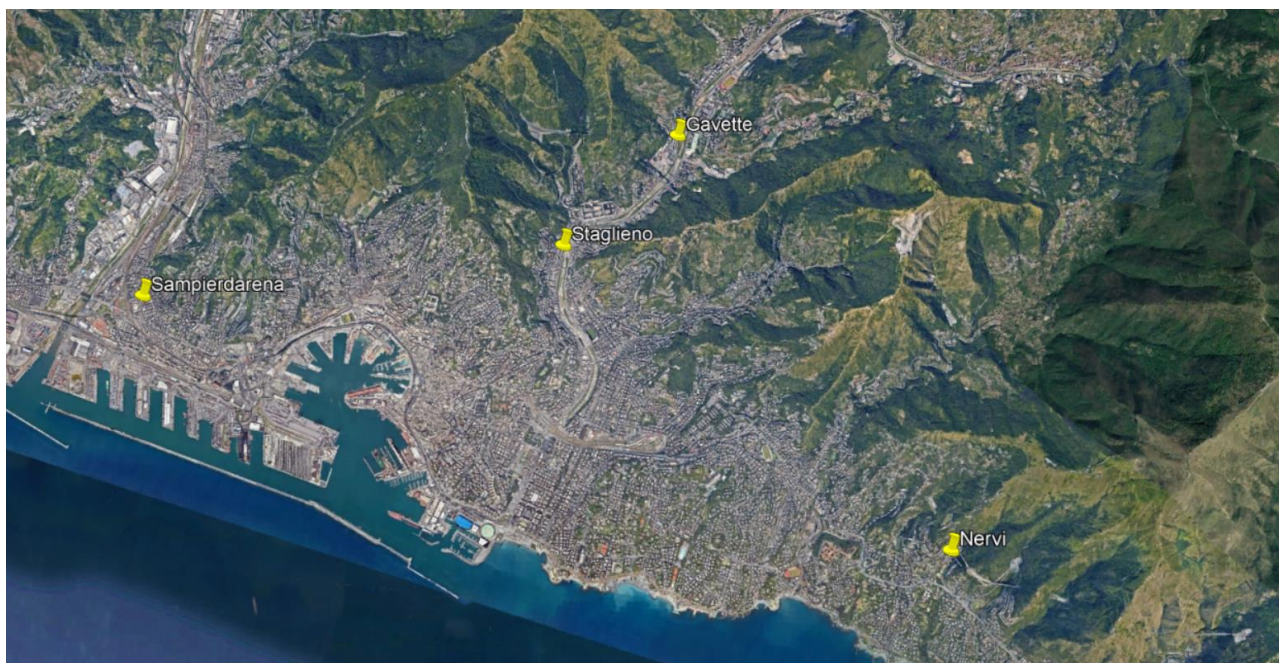


Figura 1. ubicazione dei depositi su vista da satellite Google Earth, fuori scala.

Lo studio ha potuto usufruire delle risultanze di una campagna di sondaggi, oltre che di indagini e ricerche di archivio presso la banca dati dello Studio Associato Bellini e del Comune di Genova. Inoltre, la campagna di indagini ha compreso l'esecuzione di prove in situ e in laboratorio e di indagini geofisiche finalizzate ad approfondire il modello geologico degli areali indicati.

Tali indagini, ubicate come indicato sulle carte geologiche compilate per ogni deposito, di cui alle tavole E21D00D69GZGE0000-001-A - E21D00D69GZGE0000-002-A - E21D00D69GZGE0000-003-A - E21D00D69GZGE0000-004-A in scala 1:1.000, complessivamente comprendono:

- n. 13 sondaggi meccanici a rotazione con prelievo continuo di campione, approfonditi fino al reperimento del substrato roccioso e localizzati nelle aree di interesse. Ogni sondaggio riporta nella sigla l'identificativo del deposito cui è riferito (ST Staglieno, GA Gavette, SP Sampierdarena, NE Nervi) e sono così suddivisi:
 - SDST01 – SDST02 – SDST03 per il deposito di Staglieno
 - SDGA01 – SDGA02 – SDGA03 per il deposito di Gavette

	PROGETTAZIONE DEFINITIVA DEL SISTEMA DEGLI ASSI DI FORZA PER IL TRASPORTO PUBBLICO LOCALE (RETE FILOVIARIA E STRUTTURE CONNESSE)												
Relazione geologica, geomorfologica e idrogeologica	<table border="1"> <thead> <tr> <th>COMMESSA</th> <th>LOTTO</th> <th>CODIFICA</th> <th>DOCUMENTO</th> <th>REV.</th> <th>FOGLIO</th> </tr> </thead> <tbody> <tr> <td>E21D</td> <td>00 D 69</td> <td>RG</td> <td>GE1500 001</td> <td>A</td> <td>7 di 49</td> </tr> </tbody> </table>	COMMESSA	LOTTO	CODIFICA	DOCUMENTO	REV.	FOGLIO	E21D	00 D 69	RG	GE1500 001	A	7 di 49
COMMESSA	LOTTO	CODIFICA	DOCUMENTO	REV.	FOGLIO								
E21D	00 D 69	RG	GE1500 001	A	7 di 49								

- SDSP01 – SDSP02 – SDSP03 – SDSP04 per il deposito di Sampierdarena
- SDNE01 – SDNE02 – SDNE04 per il deposito di Via delle Campanule - Nervi
- prove geotecniche in foro (SPT, prove pressiometriche e prove di permeabilità);
- analisi e prove di laboratorio su campioni di terreno e di roccia, indisturbati e rimaneggiati, prelevati in corso di perforazione;
- allestimento di piezometri microfessurati per il monitoraggio dei livelli idrici in sottosuolo;
- indagini geofisiche di superficie consistenti, per ogni area di deposito, in n. 2 prospezioni MASW, n. 2 prospezioni geoelettriche, n. 2 prove sismiche passive di tipo H.V.S.R. Soltanto per il deposito di Levante-Nervi, in Via delle Campanule, sono state aggiunte n. 2 prospezioni sismiche a rifrazione in onde P e in onde S.

Infine, a completamento del lavoro svolto, per inquadrare l'intero areale cittadino attraversato dal sistema degli assi di forza per il trasporto pubblico locale, sono stati raccolti e prodotti in Appendice 1, i dati geologici (carte geologiche e indagini geognostiche pregresse) di interesse per l'intera rete filoviaria a progetto e per le strutture connesse, presenti presso il Geoportale della Regione Liguria (<https://geoportal.regione.liguria.it/catalogo/mappe.html>).

Oggetto della presente relazione risulta l'interpretazione geologica, geomorfologica ed idrogeologica delle risultanze delle indagini relative al deposito di Staglieno per la ricostruzione del modello geologico di riferimento del sottosuolo nel comparto in esame.

	PROGETTAZIONE DEFINITIVA DEL SISTEMA DEGLI ASSI DI FORZA PER IL TRASPORTO PUBBLICO LOCALE (RETE FILOVIARIA E STRUTTURE CONNESSE)					
Relazione geologica, geomorfologica e idrogeologica	COMMESSA E21D	LOTTO 00 D 69	CODIFICA RG	DOCUMENTO GE1500 001	REV. A	FOGLIO 8 di 49

2. RIFERIMENTI NORMATIVI.

Per il presente studio sono state prese a riferimento le seguenti normative:

- D.M. 17.01.18 Aggiornamento delle “Norme Tecniche per le Costruzioni”.
- Circolare 21 gennaio 2019 n.7 ” Istruzioni per l'applicazione dell'«Aggiornamento delle “Norme Tecniche per le Costruzioni”» di cui al Decreto Ministeriale 17 gennaio 2018”.
- D.G.R. Regione Liguria 216/2017 Aggiornamento classificazione sismica del territorio della Regione Liguria.
- Piano di Bacino stralcio per la tutela dal rischio idrogeologico del Torrente Polcevera, approvato con DCP n.14 del 02/04/2003, comprese le successive modifiche fino all'attuale vigenza.
- Piano di Bacino stralcio per la tutela dal rischio idrogeologico del Torrente Bisagno, approvato con DCP n.62 del 04/12/2001, comprese le successive modifiche fino all'attuale vigenza.
- Piano di Bacino stralcio per la tutela dal rischio idrogeologico dell'Ambito 14, approvato con DCP n.66 del 12/12/2002, comprese le successive modifiche fino all'attuale vigenza.
- P.U.C. del Comune di Genova, approvato con D.D. n. 2015/118.0.0./18, in vigore dal 03.12.2015, con recepimento della Pianificazione di Bacino fino al 31.12.2019.
- L.R. n° 4 del 22/01/1999, “Norme in materia di foreste e di assetto idrogeologico”;
- D.G.R. n. 507 del 21.06.2019 adozione nuovo reticolo idrografico regionale.

	PROGETTAZIONE DEFINITIVA DEL SISTEMA DEGLI ASSI DI FORZA PER IL TRASPORTO PUBBLICO LOCALE (RETE FILOVIARIA E STRUTTURE CONNESSE)					
Relazione geologica, geomorfologica e idrogeologica	COMMESSA E21D	LOTTO 00 D 69	CODIFICA RG	DOCUMENTO GE1500 001	REV. A	FOGLIO 9 di 49

3. METODOLOGIA DI LAVORO.

Nel seguito, con particolare riferimento al Deposito di Staglieno, sono specificatamente trattati i seguenti aspetti.

- Caratteristiche generali dei luoghi sotto il profilo geologico, geomorfologico e idrogeologico.
- Analisi del quadro geologico e stratigrafico di dettaglio del contesto entro cui si inseriscono i manufatti in progetto, sulla base delle risultanze della campagna di indagini appositamente realizzata a supporto della progettazione definitiva.
- Inquadramento delle aree dei depositi nell'ambito degli strumenti di pianificazione territoriale, con analisi dei riferimenti normativi per le tematiche geologiche I.s. – quindi, rapporti con il Piano di Bacino stralcio per la tutela dal rischio idrogeologico, con riferimento al quadro della suscettività al dissesto e con la zonizzazione geologica del PUC del Comune di Genova.

In Appendice 1, invece, sono consultabili le cartografie tematiche dell'intero territorio cittadino interessato dal progetto riferite a: acclività, suscettività al dissesto derivata dai Piani di Bacino, geologia e dati geognostici pregressi.

	PROGETTAZIONE DEFINITIVA DEL SISTEMA DEGLI ASSI DI FORZA PER IL TRASPORTO PUBBLICO LOCALE (RETE FILOVIARIA E STRUTTURE CONNESSE)					
Relazione geologica, geomorfologica e idrogeologica	COMMESSA E21D	LOTTO 00 D 69	CODIFICA RG	DOCUMENTO GE1500 001	REV. A	FOGLIO 10 di 49

4. DEPOSITO STAGLIENO: INQUADRAMENTO GEOLOGICO E GEOMORFOLOGICO GENERALE.

La rimessa di Staglieno è ubicata in destra orografica della piana alluvionale del Torrente Bisagno, in un tratto ad andamento sub rettilineo strettamente addossato al versante, il quale culmina a q.a. 250 sul crinale del Righi.

Il substrato roccioso è rappresentato, in questo settore, dalle torbiditi calcaree dell'Unità Antola, che affiora estesamente lungo le dorsali collinari retrostanti. Tale Unità comprende il complesso di base, rappresentato dalla formazione delle Argilliti di Montoggio e la Formazione del Monte Antola, stratigraficamente sovrapposta, costituita da una potente successione flyschoidale di natura prevalente calcareo-marnosa di grado metamorfico bassissimo, riferibile a un metamorfismo di anchizona. L'assetto tettonico dell'Unità Antola è caratterizzato dalla sovrapposizione di diversi eventi plicativi, che hanno comportato il rovesciamento della polarità delle superfici di strato. La prima fase di ripiegamento (fase alpina precoce) con carattere compressivo, ha vergenza verso S ed assi delle pieghe diretti verso E. La fase tettonica successiva (alpina) ha una direzione circa ortogonale alla prima e genera due famiglie di pieghe a scala chilometrica, accompagnate da pieghe minori, cui corrispondono due sub-fasi, con assi dapprima in direzione circa Est e poi Nord-Est. Ad esse è associata una scistosità di frattura molto evidente in particolare nelle argilliti, dove il clivaggio è la superficie che ricorre in affioramento, più marcata rispetto alla stratificazione.

L'Unità viene infine interessata da una fase deformativa di tipo distensivo. I piani di discontinuità sono in un primo momento paralleli alla costa (E-W) e successivamente normali alla stessa, contribuendo in tal modo a impostare le direttrici dei principali corsi d'acqua.

Il confronto tra la cartografia attuale e la cartografia storica che rileva la Val Bisagno nel 1851 (Figura 2) mostra lo sviluppo del tessuto insediativo nel tratto vallivo interessato e, con riferimento al fondovalle, permette di individuare le modifiche di percorso subite dal corso d'acqua, i tratti rettificati e/o arginati e la parziale occupazione dell'alveo da parte proprio del tessuto urbanizzato, con formazione di rilevati e riempimenti per ricavare, tra l'altro, il sedime della viabilità lungo le sponde. Viabilità che risulta più antica, stretta e ridossata agli abitati in

sponda destra, più recente e ampia lungo la sponda sinistra, collegate, all'altezza dell'area in esame, dal Ponte Campanella.

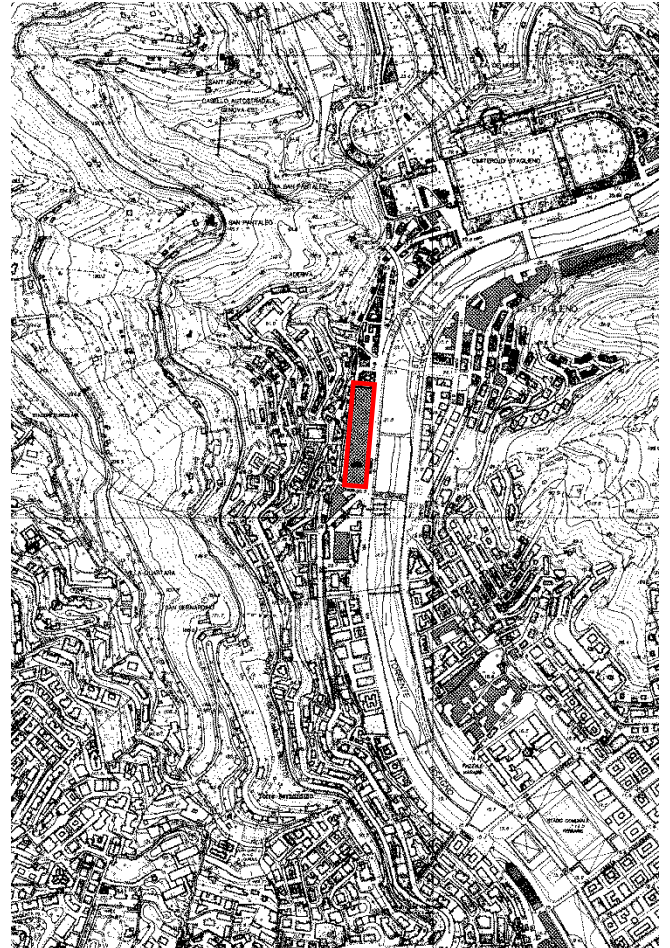
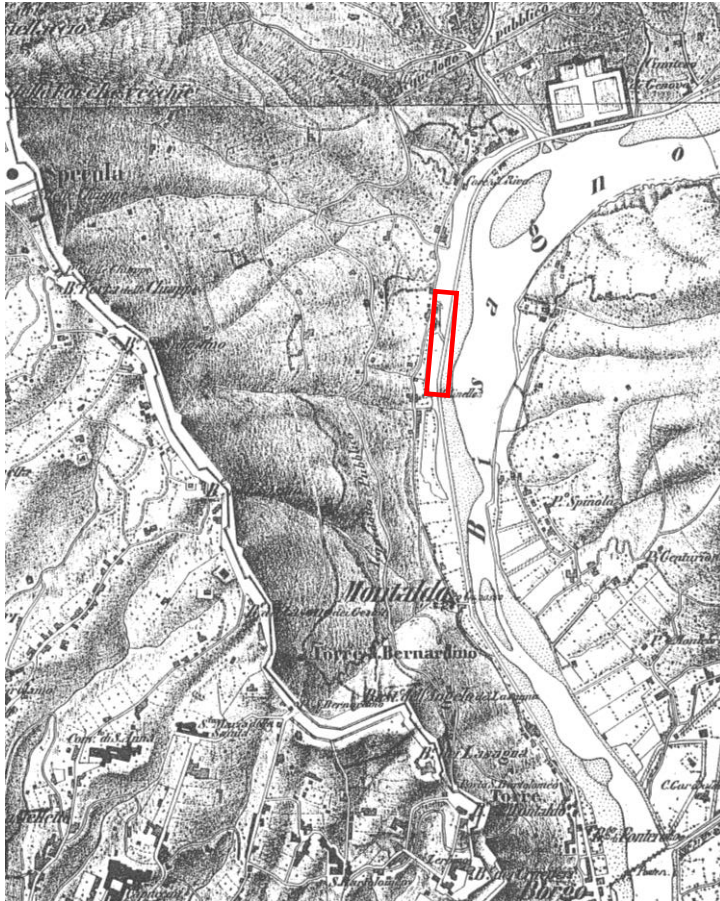


Figura 2. Stralcio cartografia dei dintorni di Genova -1851 (Archivio Studio Associato Bellini) a confronto con CTR Regione Liguria - fuori scala. In rosso il deposito di Staglieno.

	PROGETTAZIONE DEFINITIVA DEL SISTEMA DEGLI ASSI DI FORZA PER IL TRASPORTO PUBBLICO LOCALE (RETE FILOVIARIA E STRUTTURE CONNESSE)					
Relazione geologica, geomorfologica e idrogeologica	COMMESSA E21D	LOTTO 00 D 69	CODIFICA RG	DOCUMENTO GE1500 001	REV. A	FOGLIO 12 di 49

4.1 Il substrato roccioso.

4.1.1 *Argilliti di Montoggio.*

La più antica formazione geologica della Val Bisagno è rappresentata dalle Argilliti di Montoggio, che comprende argilliti manganesifere di colore grigio nero, con livelli varicolori da rosso a verde, ad accentuata scistosità. Includono anche intercalazioni di strati centimetrici e decimetrici calcarei e arenacei. Dal punto di vista stratigrafico costituiscono la base del Flysch calcareo di Monte Antola e sono morfologicamente distinguibili perché originano blande pendenze in contrasto con i ripidi pendii calcarei. L'assetto strutturale scistoso le rende fittamente scagliettate e tipicamente degradate in un detrito di clasti appiattiti e spigolosi, a matrice argillosa per alterazione, nei livelli più superficiali. Le argilliti rappresentano una superficie netta di discontinuità rispetto al soprastante ammasso calcareo e insieme a questo costituiscono l'Unità Tettonica Antola. Tale litologia si cita per completezza di inquadramento ma non risulta coinvolta nell'ambito di interesse progettuale.

4.1.2 *Formazione di Monte Antola.*

E' il livello superiore dell'Unità tettonica Antola e comprende torbiditi calcareo marnose, marne e marne calcaree e, in subordine, argilliti talora scistose in strati decimetrici e bancate calcareo arenacee (Figura 3). Nell'ambito in esame prevale la componente calcarea e calcareo marnosa (70-80%), che si presenta in strati di spessore da sub metrico a metrico, di colore grigio. Le litologie eterogenee che compongono il Flysch hanno comportamenti deformativi diversi, essendo più rigidi i calcari arenacei e i calcari e progressivamente più duttili le marne e le argilliti. Anche lo stato fessurativo varia, come il grado di alterazione per esposizione agli agenti meteorici. Il litotipo affiora localmente alla base dei muri della Via Vecchia, con giacitura degli strati che mostrano immersione a NO e inclinazione media di 30 gradi, rivelando, quindi, un assetto a reggipoggio rispetto all'andamento del versante, favorevole per la stabilità.

Il profilo della superficie del substrato al di sotto delle deposizioni alluvionali, testimonia dell'andamento della superficie topografica soprastante, con approfondimenti anche marcati in corrispondenza delle incisioni vallive e delle concavità del versante e emergenze presso le dorsali sepolte, dove si mantiene il livello superiore di cappellaccio di alterazione con passaggio graduale e sfumato alla coltre soprastante.

Dal punto di vista del comportamento geomeccanico i litotipi che compongono la Formazione di Monte Antola sono stratificati, con sequenze di strati e bancate anche plurimetriche, tenaci ma fragili, in contrasto con le intercalazioni di argilliti più sottili, duttili e localmente plastiche.



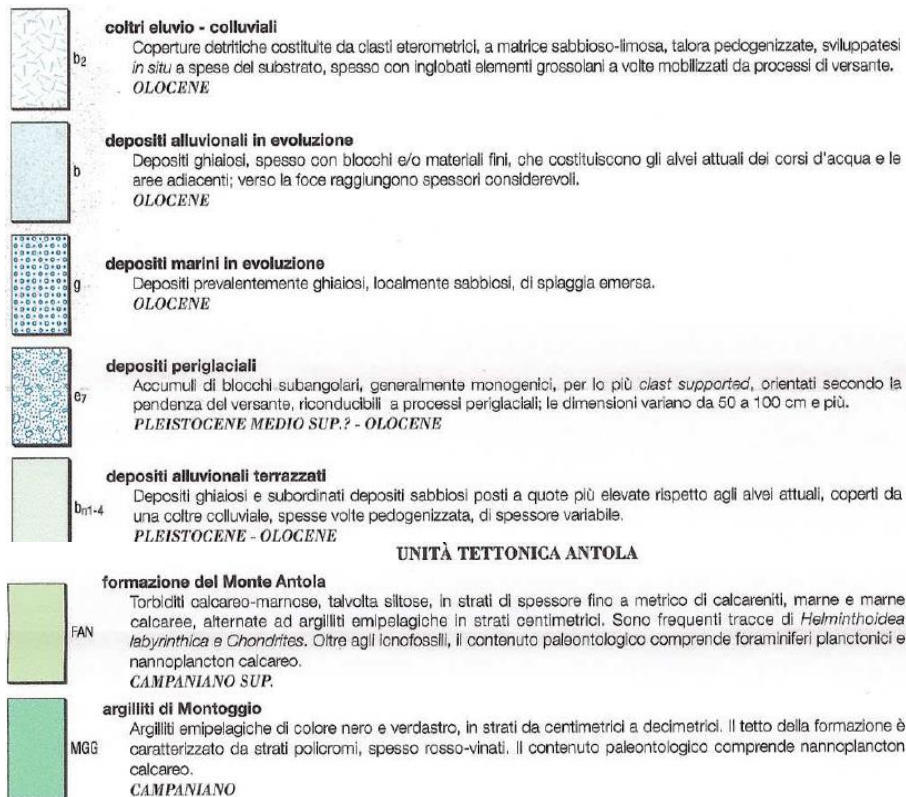


Figura 3. Stralcio fuori scala del Foglio Genova 213, progetto CARG, della Carta Geologica d'Italia.

4.1.3 *Le coperture: i terreni quaternari.*

La rimessa di Staglieno è localizzata, come visto, nella piana alluvionale del T. Bisagno e insiste sui depositi alluvionali antichi e recenti che la caratterizzano dal punto di vista stratigrafico e che, lato versante, risultano interdigerati o sottoposti, alle coltri eluvio colluviali di deposizione pedemontana.

In particolare, nel settore in esame la sequenza alluvionale mostra una granulometria piuttosto uniforme sull'intero spessore, data da ghiaie eterometriche con ciottoli, mediamente elaborati e arrotondati, in abbondante e abbondantissima matrice limosa, debolmente sabbiosa, tipicamente di colore marroncino e nocciola.

	PROGETTAZIONE DEFINITIVA DEL SISTEMA DEGLI ASSI DI FORZA PER IL TRASPORTO PUBBLICO LOCALE (RETE FILOVIARIA E STRUTTURE CONNESSE)					
Relazione geologica, geomorfologica e idrogeologica	COMMESSA E21D	LOTTO 00 D 69	CODIFICA RG	DOCUMENTO GE1500 001	REV. A	FOGLIO 15 di 49

Le coltri eluvio colluviali, laddove presenti, sono costituite da clasti lapidei in frammenti di dimensioni centimetriche e decimetriche in matrice limosa e argillosa alterata, di colore ocra, o arrossate. Alla radice della piana alluvionale le coltri si mescolano alle deposizioni alluvionali dando origine a falde o coni pedemontani interdigerati alle alluvioni.

Sono inoltre state reperite, in copertura al substrato roccioso, coltri di alterazione eluviale del litotipo in posto che sono caratterizzate da limi argillosi tipicamente di colore giallo ocra, con relitti strutturali della roccia di fondo, dalla cui spinta ossidazione e alterazione in posto derivano. Si tratta di materiali frequentemente reperibili nell'ambito delle zone di affioramento della formazione.

Infine i riporti, granulometricamente costituiti da ciottoli, ghiaie e sabbie, con variabili percentuali di matrice limosa e con ricorrente presenza di frammenti e pezzame di materiali antropici (calcestruzzo, laterizi, ecc). A proposito dei riporti occorre precisare che, dal punto di vista granulometrico, questi sono assimilabili alle alluvioni ghiaiose. Il loro spessore è variabile da zona a zona e può avere subito ulteriori rimaneggiamenti nell'ambito delle modifiche intervenute negli anni nel tessuto urbanizzato. Nel livello più superficiale, immediatamente al di sotto delle pavimentazioni stradali e delle solette di sedime sono costituiti, in genere, da uno strato arido di inerti.

4.2 Inquadramento geografico e assetto geomorfologico locale.

L'area oggetto dell'intervento è ubicata in Via Vecchia 3r nel quartiere di Staglieno, in Comune di Genova, in una zona densamente urbanizzata, caratterizzata da tessuto insediativo continuo. In particolare, il deposito esistente dei mezzi del trasporto pubblico AMT è situato tra la Via Vecchia e la Via Bobbio e ha un'impronta planimetrica rettangolare con il lato maggiore, lungo oltre 200 m, in direzione N-S, parallelo all'asse vallivo. La zona si trova in un ambito pianeggiante, a una quota di circa 22 m s.l.m.m. ed è individuabile sulla Carta Tecnica Regionale in scala 1:5.000 agli Elementi n°213163 e 213164. Nella Figura 4 che segue, viene riportata l'ubicazione del sito in esame su vista da satellite.



Figura 4. Vista aerea del Deposito di Staglieno – Google Earth.

Il versante retrostante, che risale fino a Torre Specola e al Forte Castellaccio, delinea, all'altezza della porzione NO del deposito, una dorsale secondaria rapidamente degradante verso il fondovalle, che rappresenta lo spartiacque del piccolo bacino del Rio Bascione, modificato nei suoi lineamenti originari dagli insediamenti di Via delle Ginestre. Un secondo rivo laterale (Rio San Bernardino) converge più a Sud verso il fondovalle, senza alcuna interferenza con l'area in esame. Entrambi i rivi sono tombinati fino allo sbocco nel muro d'argine del T. Bisagno.

Si noti che all'altezza della rimessa, il T. Bisagno è coperto dalla piastra dei parcheggi di interscambio presso l'ingresso autostradale di Genova Est, condizione che non consente di

	PROGETTAZIONE DEFINITIVA DEL SISTEMA DEGLI ASSI DI FORZA PER IL TRASPORTO PUBBLICO LOCALE (RETE FILOVIARIA E STRUTTURE CONNESSE)					
Relazione geologica, geomorfologica e idrogeologica	COMMESSA E21D	LOTTO 00 D 69	CODIFICA RG	DOCUMENTO GE1500 001	REV. A	FOGLIO 17 di 49

apprezzare la consistenza del muro d'argine in corrispondenza di tutto il prospetto dell'edificio e eventuali scarichi che possano riguardare il deposito o creare interferenze con i nuovi appoggi fondazionali, se non prevedendo un accesso in alveo, opportunamente autorizzato dagli Enti competenti.

4.3 Idrogeologia.

Per quanto attiene l'assetto idrogeologico del comparto, il deflusso delle acque superficiali è affidato integralmente alla rete di smaltimento urbano, che corre lungo i percorsi stradali. Come anticipato, la zona risulta densamente urbanizzata e dunque ricoperta da superfici impermeabili (asfalto, cemento, pavimentazioni in cls).

I rivi laterali che raccolgono le acque dei versanti e le convogliano verso il T. Bisagno hanno il tratto terminale interamente tombinato; il T. Bisagno stesso, poco a monte dell'area in esame, risulta, come già visto, coperto.

Diversamente, nei tratti superiori del versante e fino al crinale percorso dalla cinta muraria della Città, prevalgono condizioni di naturalità, con estese superfici boscate, intercalate a insediamenti abitati sparsi e diradati. In questi tratti l'infiltrazione delle acque superficiali resta comunque limitata per la presenza di condizioni di substrato roccioso affiorante e sub affiorante. Le reti infrastrutturali (strade e ferrovia) con i rispettivi corredi drenanti, restano le vie di intercettazione e di smaltimento preferenziale delle acque superficiali che interessano tali aree, soprattutto in caso di apporto meteorico intenso e concentrato, quando la capacità d'infiltrazione si riduce notevolmente.

4.4 Permeabilità dei terreni e condizioni di deflusso idrico sotterraneo.

Per quanto riguarda gli aspetti idrogeologici relativi alla circolazione delle acque sotterranee che interessano la piana alluvionale, si tiene a precisare che la zona in esame ricade entro il perimetro dell'acquifero significativo cartografato nel Piano di Tutela delle Acque

	PROGETTAZIONE DEFINITIVA DEL SISTEMA DEGLI ASSI DI FORZA PER IL TRASPORTO PUBBLICO LOCALE (RETE FILOVIARIA E STRUTTURE CONNESSE)					
Relazione geologica, geomorfologica e idrogeologica	COMMESSA E21D	LOTTO 00 D 69	CODIFICA RG	DOCUMENTO GE1500 001	REV. A	FOGLIO 18 di 49

(PTA D.C.R. 32/09 Regione Liguria). Tale acquifero trova sede nei depositi alluvionali medio-grossolani del fondovalle, dotati di buona trasmissività; la falda è sfruttata a scopo idropotabile e industriale e la sua alimentazione avviene essenzialmente grazie all'infiltrazione diretta e agli apporti del corso d'acqua principale (alveo disperdente) e dei suoi affluenti. Non a caso i pozzi presenti in Val Bisagno sono ubicati entro le alluvioni e sono più frequenti procedendo da monte verso valle (dove lo spessore del materasso alluvionale è maggiore) e si trovano spesso in corrispondenza della confluenza dei vari corsi d'acqua laterali con il Bisagno.

Le alluvioni ghiaiose e ciottolose, con percentuali variabili di matrice fine, sono permeabili per porosità con coefficienti che, sulla base di dati reperiti in letteratura, delle evidenze in sito e di quanto riportato nel Piano di Bacino, si stimano mediamente dell'ordine di 10^{-4} m/sec e variabili tra 10^{-3} m/sec 10^{-6} m/sec.

Soltanto nel tratto vallivo terminale (zona Marassi – Brignole), interstrati e livelli argillosi presenti nel materasso alluvionale differenziano la falda superficiale freatica da una falda confinata sottostante.

La formazione di Monte Antola, presente a substrato dell'area in esame, può essere considerata, a grande scala, permeabile per fratturazione e caratterizzata da un grado di carsismo, ove presente, estremamente blando e superficiale. Le componenti calcarea e arenacea presentano permeabilità variabile in funzione del diverso grado di fratturazione e i circuiti idrici sono condizionati dall'andamento (orientazione e densità) e dalla persistenza delle discontinuità. Le discontinuità sono però spesso cementate o riempite di materiale fine argilloso, e in tal caso la permeabilità dell'ammasso si riduce sensibilmente.

Rispetto alle litologie calcaree, nettamente inferiore è la permeabilità dei livelli argillitici che costituiscono, quindi, soglie impermeabili in grado di determinare, localmente, a contatto con i calcari, la comparsa di modeste emergenze idriche.

In base a riferimenti bibliografici al Flysch di Monte Antola viene normalmente attribuita una permeabilità media isotropa variabile fra 10^{-7} e 10^{-8} m/sec.

All'altezza del deposito di Staglieno, la morfologia valliva porta a ritenere che il substrato calcareo rappresenti il livello di base dell'acquifero alluvionale, mentre le stratigrafie accertate della sequenza sedimentaria determinano una tipologia di falda freatica unica e continua, con oscillazioni di livello dipendenti direttamente dai regimi meteorici.

	PROGETTAZIONE DEFINITIVA DEL SISTEMA DEGLI ASSI DI FORZA PER IL TRASPORTO PUBBLICO LOCALE (RETE FILOVIARIA E STRUTTURE CONNESSE)												
Relazione geologica, geomorfologica e idrogeologica	<table border="1"> <tr> <td>COMMESSA</td> <td>LOTTO</td> <td>CODIFICA</td> <td>DOCUMENTO</td> <td>REV.</td> <td>FOGLIO</td> </tr> <tr> <td>E21D</td> <td>00 D 69</td> <td>RG</td> <td>GE1500 001</td> <td>A</td> <td>19 di 49</td> </tr> </table>	COMMESSA	LOTTO	CODIFICA	DOCUMENTO	REV.	FOGLIO	E21D	00 D 69	RG	GE1500 001	A	19 di 49
COMMESSA	LOTTO	CODIFICA	DOCUMENTO	REV.	FOGLIO								
E21D	00 D 69	RG	GE1500 001	A	19 di 49								

La cartografia regionale delle derivazioni idriche attive segnala nella zona la presenza di un pozzo in esercizio concessionato, per uso igienico e assimilati, fino a una portata di 0.25 l/sec. Il pozzo è ubicato all'interno del deposito, lato T. Bisagno e dovrebbe essere profondo 20 m.

Nel corso delle indagini dedicate al Progetto Definitivo del deposito Staglieno, sono stati installati nei fori di sondaggio tre piezometri microfessurati per il monitoraggio dei livelli di falda. L'ubicazione planimetrica è riportata sulla Tavola E21D00D69GZGE0002-001-A Carta idrogeologica – Deposito Staglieno, in scala 1:1.000. Le caratteristiche sono elencate nella Tabella sottostante.

Tabella 1: Campagna di indagini del Progetto Definitivo – Installazioni piezometriche Deposito Staglieno.

SONDAGGIO	LUNGHEZZA	NOTE SUL PIEZOMETRO (A TUBO APERTO)
SDST01	38.5 m	Fenestrato da 3.0 a 38.50 m
SDST02	35 m	Fenestrato da 3.0 a 35.0 m
SDST03	23 m	Fenestrato da 3.0 a 23.0 m

Al momento dell'esecuzione della campagna geognostica è disponibile un'unica rilevazione del livello piezometrico, effettuata in data 23.07.21, rappresentativa, ragionevolmente, del periodo di magra, considerata la stagione. Per verificare l'intervallo di oscillazione dei livelli in rapporto alle previsioni progettuali dovranno essere effettuate nuove campagne di misura, soprattutto nella stagione autunnale, che notoriamente rappresenta per Genova il periodo di massima piovosità.

	PROGETTAZIONE DEFINITIVA DEL SISTEMA DEGLI ASSI DI FORZA PER IL TRASPORTO PUBBLICO LOCALE (RETE FILOVIARIA E STRUTTURE CONNESSE)					
Relazione geologica, geomorfologica e idrogeologica	COMMESSA E21D	LOTTO 00 D 69	CODIFICA RG	DOCUMENTO GE1500 001	REV. A	FOGLIO 20 di 49

5. INDAGINI GEOGNOSTICHE E GEOFISICHE DEL PROGETTO DEFINITIVO.

5.1 Piano di indagine.

Per la redazione del Progetto Definitivo delle opere descritte è stata programmata ed eseguita una campagna di indagini in situ finalizzata a:

- ricostruire in dettaglio la stratigrafia dei luoghi in corrispondenza dei sedimenti di imposta dei depositi e delle opere connesse;
- studiare i caratteri idrogeologici delle formazioni;
- determinare le caratteristiche geotecniche e sismiche dei terreni attraversati.

L'ubicazione dei punti di sondaggio, riportata sulle tavole allegate, è stata definita in relazione alla tipologia di opere presenti, alle possibilità di accesso ai singoli siti, spesso complicato dalla presenza di vincoli di superficie e sottoservizi, e al grado di conoscenza geologica delle diverse aree già disponibile e derivato da indagini pregresse.

Inoltre, considerata l'ubicazione dei depositi negli ambiti di fondovalle dei principali torrenti che attraversano la città (T. Bisagno e T. Polcevera), o comunque in contesti vallivi, come nel caso del deposito previsto sul riempimento della valletta del Rio Castagna nel levante genovese, si è posta la necessità di approfondire le caratteristiche idrogeologiche dell'acquifero alluvionale e di accertare la presenza di circolazione idrica in sottosuolo. Motivo per il quale, in corrispondenza dei fori di sondaggio sono stati messi in opera piezometri microfessurati a tubo aperto, ciechi nei primi 3.00 m superficiali e sono state eseguite, in corso di perforazione prove di permeabilità tipo Lefranc.

La Tabella 5 riassume le principali informazioni tecniche relative ai sondaggi geognostici eseguiti. Per i dettagli stratigrafici e fotografici dei reperti in cassetta si rimanda all'elaborato E21D00D69SGGE0000-001-A.

	PROGETTAZIONE DEFINITIVA DEL SISTEMA DEGLI ASSI DI FORZA PER IL TRASPORTO PUBBLICO LOCALE (RETE FILOVIARIA E STRUTTURE CONNESSE)												
Relazione geologica, geomorfologica e idrogeologica	<table border="1"> <tr> <td>COMMESSA</td> <td>LOTTO</td> <td>CODIFICA</td> <td>DOCUMENTO</td> <td>REV.</td> <td>FOGLIO</td> </tr> <tr> <td>E21D</td> <td>00 D 69</td> <td>RG</td> <td>GE1500 001</td> <td>A</td> <td>21 di 49</td> </tr> </table>	COMMESSA	LOTTO	CODIFICA	DOCUMENTO	REV.	FOGLIO	E21D	00 D 69	RG	GE1500 001	A	21 di 49
COMMESSA	LOTTO	CODIFICA	DOCUMENTO	REV.	FOGLIO								
E21D	00 D 69	RG	GE1500 001	A	21 di 49								

Tabella 5: Sondaggi geognostici della campagna di indagini 2021 del Progetto definitivo dei depositi: ubicazioni e allestimenti.

SONDAGGIO	Q.A. BOCCAFORO	COORDINATE WGS84 LAT. – LONG.		PROFONDITA'	ALLESTIMENTO
SDST01	21.173	44.25229459	8.56483571	38.85 m	Piezometro
SDST02	22.159	44.25298168	8.56496322	35 m	Piezometro
SDST03	22.023	44.25296108	8.56479273	23 m	Piezometro

	PROGETTAZIONE DEFINITIVA DEL SISTEMA DEGLI ASSI DI FORZA PER IL TRASPORTO PUBBLICO LOCALE (RETE FILOVIARIA E STRUTTURE CONNESSE)					
Relazione geologica, geomorfologica e idrogeologica	COMMESSA E21D	LOTTO 00 D 69	CODIFICA RG	DOCUMENTO GE1500 001	REV. A	FOGLIO 22 di 49

La Tabella 6 che segue, invece, elenca le prove in foro e i campionamenti indisturbati e rimaneggiati di terre e di rocce effettuati in ogni sondaggio.

Tabella 6: Sondaggi geognostici della campagna di indagini 2021 del Progetto definitivo: prove in foro e campionamenti.

SONDAGGIO	SPT (m da pc.)	PROVA PRESSIOMETRICA m. da p.c.	PROVA K LEFRANC (carico var.) m. da p.c.	CI m. da p.c.	CR/CL m. da p.c.
SDST01	1.50 3.00 6.00 9.00 21.00 24.00	P01 11.50-12.50	LF01-10.0-10.5.	CI1 28.15- 28.65	CR1 17.50-18.00 CR2 24.50-25.00 CL1 33.00-33.34 CL2 36.00-36.67
SDST02	1.50 3.00 6.00 9.00 15.00 18.00 21.00 24.00 27.00	P01 11.00-12.00	LF01-10.0-10.5	--	CR1 8.00-8.50 CR2 17.50-18.00 CR3 23.50-24.00 CL1 30.68-31.00 CL2 34.25-34.55
SDST03	3.00				CR1 3.50-4.00 CL1 9.72-10.00 CL2 17.20-17.58

CI: campione indisturbato – CR: campione rimaneggiato – CL: campione litoide

Il programma d'indagine specificatamente dedicato ai depositi si completa con l'esecuzione di una campagna di prospezioni geofisiche che ha previsto il ricorso a diverse

	PROGETTAZIONE DEFINITIVA DEL SISTEMA DEGLI ASSI DI FORZA PER IL TRASPORTO PUBBLICO LOCALE (RETE FILOVIARIA E STRUTTURE CONNESSE)					
Relazione geologica, geomorfologica e idrogeologica	COMMESSA E21D	LOTTO 00 D 69	CODIFICA RG	DOCUMENTO GE1500 001	REV. A	FOGLIO 23 di 49

tecniche di acquisizione: metodo sismico, metodo geoelettrico e sismica passiva, come riassunto in Tabella 7.

Tabella 7: Prospezioni geofisiche della campagna di indagini 2021 del Progetto Definitivo dei depositi.

DEPOSITO	MASW (lunghezza m)	TOMOGRAFIA GEOELETTRICA (lunghezza m)	H.V.S.R.	SISMICA A RIFRAZIONE ONDEP E ONDE S (lunghezza m)
STAGLIENO	STA_MASW-1 46 m	STA_ERT1 – 49 m	STA_HVSR 1	--
STAGLIENO	STA_MASW-2 46 m	STA_ERT2 – 42 m	STA_HVSR 2	--

In Tabella 8 sono riassunti i risultati delle prove in situ realizzate nel corso della perforazione dei sondaggi. I medesimi dati sono poi richiamati nel commento per ogni deposito.

Tabella 8: Risultati delle prove in foro.

SONDAGGIO	N. COLPI SPT	NSPT	MODULO PRESSIOMETRICO Ed (MPa)	PERMEABILITÀ K (m/s)
SDST-01	2-3-3 2-4-3 5-3-3 9-13-10 25 R (5cm) 18 R (6cm)	6 7 6 23 rif rif	9,89	2.0E-06
SDST-02	2-3-5 3-8-18 21-28-R(5cm) 22 R (4cm) 18-37-R (6cm) 15-19-24 16-29-46 22-38-R (3cm) 15-33-39	8 26 rif rif rif 43 75 rif 72	28,13	1.0E-06
SDST-03	3-7-R (8cm)	rif		

	PROGETTAZIONE DEFINITIVA DEL SISTEMA DEGLI ASSI DI FORZA PER IL TRASPORTO PUBBLICO LOCALE (RETE FILOVIARIA E STRUTTURE CONNESSE)					
Relazione geologica, geomorfologica e idrogeologica	COMMESSA E21D	LOTTO 00 D 69	CODIFICA RG	DOCUMENTO GE1500 001	REV. A	FOGLIO 25 di 49

5.2 Risultanze stratigrafiche dei sondaggi.

5.2.1 *Deposito Staglieno.*

La sequenza stratigrafica accertata nei tre sondaggi realizzati presso la rimessa di Staglieno deve tenere conto della posizione degli stessi rispetto al corso d'acqua; infatti, i due sondaggi ST01 e ST02 sono stati perforati a margine della Via Bobbio, lato Bisagno, mentre il sondaggio ST03 è ubicato a ridosso del versante retrostante, a margine della Via Vecchia. Da ciò deriva la sostanziale diversità stratigrafica accertata, motivata proprio dall'ubicazione "morfologica" (Tavola E21D00D69FZGE0000-001-A). In sintesi:

- lo strato più superficiale è costituito da materiali detritici di riporto o comunque rimaneggiati, di spessore costante pari a 4.50-4.80 m e costituiti da frammenti calcarei spigolosi, ghiaie, ciottoli, resti di laterizi, malta e calcestruzzo, in variabili percentuali di matrice sabbiosa e limosa di colore da grigio a marroncino. Soltanto nel sondaggio ST03, posto all'interno del capannone, si osserva lo strato arido di sottofondo della pavimentazione per uno spessore di 1.60 m al di sopra di una muratura in pietrame laterizi e malta. Frammenti di muratura si ritrovano poi nel sottostante strato limoso e sabbioso di colore nocciola, fino alla profondità di 4.80 m;
- al di sotto, i due sondaggi di valle, ST01 e ST02, attraversano i depositi alluvionali del T. Bisagno, uniformemente caratterizzati da ghiaie e ciottoli, di diametro sempre inferiore a 10 cm, in matrice limosa e sabbiosa abbondante e localmente predominante. Lo spessore varia tra 22.50 m in ST01 e 24.50 m in ST02;
- il deposito alluvionale appoggia direttamente sul substrato roccioso calcareo in ST02, mentre in ST01 la granulometria del sedimento alluvionale diminuisce alla base dove compare un livello di limi argillosi nerastri con clasti minuti a spigoli vivi, che passa, alla profondità di 27.90 m, ai limi argillosi ocra con relitti strutturali della roccia di fondo che tipicamente rappresentano la coltre eluviale della Formazione di Monte Antola;

	PROGETTAZIONE DEFINITIVA DEL SISTEMA DEGLI ASSI DI FORZA PER IL TRASPORTO PUBBLICO LOCALE (RETE FILOVIARIA E STRUTTURE CONNESSE)												
Relazione geologica, geomorfologica e idrogeologica	<table border="1"> <thead> <tr> <th>COMMESSA</th> <th>LOTTO</th> <th>CODIFICA</th> <th>DOCUMENTO</th> <th>REV.</th> <th>FOGLIO</th> </tr> </thead> <tbody> <tr> <td>E21D</td> <td>00 D 69</td> <td>RG</td> <td>GE1500 001</td> <td>A</td> <td>26 di 49</td> </tr> </tbody> </table>	COMMESSA	LOTTO	CODIFICA	DOCUMENTO	REV.	FOGLIO	E21D	00 D 69	RG	GE1500 001	A	26 di 49
COMMESSA	LOTTO	CODIFICA	DOCUMENTO	REV.	FOGLIO								
E21D	00 D 69	RG	GE1500 001	A	26 di 49								

- entrambi in sondaggi trovano quindi il substrato roccioso, costituito da calcari marnosi con alternanza di bancate sane e strati fratturati e con giunti ossidati, vene e noduli di calcite e progressivamente più sano e compatto all'aumentare della profondità;
- diversamente, il sondaggio ST03, che come visto è posizionato più a monte, lato versante, incontra sotto ai riporti un livello di sabbie e ghiaie spigolose fino a 6.20 m di profondità interpretabile come una coltre pedemontana che appoggia direttamente sul substrato alterato e fratturato fino a 9.40 m e poi sano e solo moderatamente fratturato fino alla massima profondità raggiunta dalla perforazione, pari a 23 m da p.c;
- per la ricostruzione del modello geologico del sito, la sequenza stratigrafica accertata può far ipotizzare la presenza di una debole ansa nel profilo del corso d'acqua, con posizione dell'alveo più interna rispetto al versante all'altezza di Via Montaldo (ST01) per aggirare la prominenza rocciosa in destra del Rio Bascione (ST03);
- vale la pena segnalare che l'indice RQD della roccia è medio alto in tutti i sondaggi: massimo in SDST-01 dove si mantiene intorno al 90%, è dell'ordine del 70% negli altri sondaggi, escludendo i primi 2.00-3.00 m a tetto;
- sono 16 le prove SPT in foro realizzate nei sondaggi di Staglieno di cui 5 nello strato di riporto superficiale e 11 nel deposito alluvionale ghiaioso. Di queste ultime, il 55% ha registrato il rifiuto all'avanzamento e le altre valori di NSPT alti, indicanti un elevato di addensamento del materiale, seppure occorre segnalare che la prova può aver risentito della presenza di ciottoli (Figura 12);

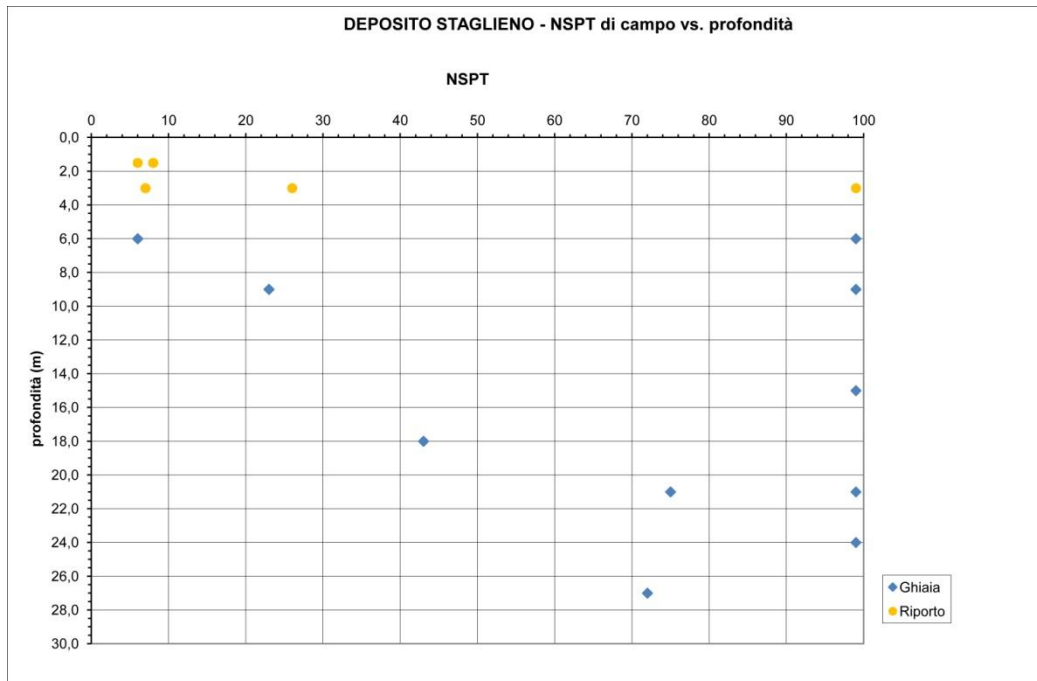


Figura 5. Deposito Staglieno: grafico NSPT - Profondità

- le prove di permeabilità Lefranc eseguite in corso di perforazione nei sondaggi SDST-01 e SDST-02 a 10 m di profondità nei depositi alluvionali ghiaiosi e sabbioso-limosi, hanno determinato un coefficiente K dell'ordine di 10^{-6} m/sec, in ragione della presenza di abbondante matrice fine;
- le prove pressiometriche Menard realizzate in SDST-01 a 11.50 m da p.c. e in SDST-02 a 11.0 m da p.c. nei depositi alluvionali ghiaiosi, hanno determinato moduli pressiometrici tra 9,8 MPa e 28,1 MPa, attestando una grande variabilità di comportamento nel materiale e un differente grado di addensamento da zona a zona.

	PROGETTAZIONE DEFINITIVA DEL SISTEMA DEGLI ASSI DI FORZA PER IL TRASPORTO PUBBLICO LOCALE (RETE FILOVIARIA E STRUTTURE CONNESSE)												
Relazione geologica, geomorfologica e idrogeologica	<table border="1"> <thead> <tr> <th>COMMESSA</th> <th>LOTTO</th> <th>CODIFICA</th> <th>DOCUMENTO</th> <th>REV.</th> <th>FOGLIO</th> </tr> </thead> <tbody> <tr> <td>E21D</td> <td>00 D 69</td> <td>RG</td> <td>GE1500 001</td> <td>A</td> <td>28 di 49</td> </tr> </tbody> </table>	COMMESSA	LOTTO	CODIFICA	DOCUMENTO	REV.	FOGLIO	E21D	00 D 69	RG	GE1500 001	A	28 di 49
COMMESSA	LOTTO	CODIFICA	DOCUMENTO	REV.	FOGLIO								
E21D	00 D 69	RG	GE1500 001	A	28 di 49								

5.3 Analisi e Prove di laboratorio.

Su campioni di terreno indisturbati e rimaneggiati e su spezzoni di roccia prelevati con i sondaggi è stato effettuato un articolato programma di analisi e prove in laboratorio geotecnico. La tabella 9 che segue, estratta dal fascicolo E21D00D69PRGE0001-001-A, ne riassume i risultati, mentre i certificati originali sono prodotti nel fascicolo citato. Si rimanda alla relazione specialistica di argomento geotecnico ogni considerazione in merito.

	PROGETTAZIONE DEFINITIVA DEL SISTEMA DEGLI ASSI DI FORZA PER IL TRASPORTO PUBBLICO LOCALE (RETE FILOVIARIA E STRUTTURE CONNESSE)					
Relazione geologica, geomorfologica e idrogeologica	COMMESSA E21D	LOTTO 00 D 69	CODIFICA RG	DOCUMENTO GE1500 001	REV. A	FOGLIO 30 di 49

5.4 Indagini geofisiche.

Per caratterizzare sul piano sismico i terreni presenti nel sottosuolo delle aree in esame e stabilire la categoria di sottosuolo ai sensi delle NTC2018, la campagna di indagini per il progetto definitivo dei depositi ha compreso l'esecuzione di tomografie elettriche, di prospezioni sismiche MASW e di prospezioni sismiche con metodologia passiva HVSR. Soltanto per il deposito di Nervi sono state eseguite anche tomografie sismiche a rifrazione. La denominazione delle prove è indicata in Tabella 7, mentre i risultati analitici delle prospezioni sismiche sono contenuti nell'elaborato E21D00D69IGGE0001001A.

Si commentano a seguire gli esiti di tali indagini nel contesto geologico e stratigrafico di ogni area deposito preso in esame, precisando che, in linea generale, i risultati ottenuti dalle indagini geofisiche risentono della limitatezza della profondità raggiunta, dovuta alla logistica dei luoghi, in ambiente urbanizzato.

5.4.1 *Deposito Staglieno.*

I profili sismici STA_MASW1 e STA_MASW2 sono stati realizzati all'estremità settentrionale del deposito, in prossimità dei sondaggi SDST-02 e SDST-03. Il calcolo analitico della V_{seq} alla quota del piano campagna è fortemente penalizzato dal basso valore di V_s che si registra nei materiali di riporto del sottofondo stradale, o della pavimentazione della rimessa esistente. Si determinano, infatti, due differenti categorie, B o C, che non trovano giustificazione in base ai dati stratigrafici a disposizione, rispetto ai quali, la prospezione MASW2, in particolare, mostra discrepanze rispetto alle stratigrafie dei due sondaggi che si trovano ubicati in vicinanza.

Le indagini di sismica passiva forniscono solo parzialmente dati di completamento alle informazioni stratigrafiche già note, poiché HVSR2 evidenzia un picco di frequenza e porta a stimare una profondità del bedrock pari a 35 m, in linea con quanto evidenziato dal sondaggio SDST-01, mentre la prova HVSR1 non risulta interpretabile.



PROGETTAZIONE DEFINITIVA DEL SISTEMA DEGLI ASSI DI FORZA PER IL TRASPORTO PUBBLICO LOCALE (RETE FILOVIARIA E STRUTTURE CONNESSE)

Relazione geologica, geomorfologica e idrogeologica

COMMESSA	LOTTO	CODIFICA	DOCUMENTO	REV.	FOGLIO
E21D	00 D 69	RG	GE1500 001	A	31 di 49

Anche i due profili di tomografia elettrica, ubicati, come le MASW, nella parte più a nord della rimessa, entro le massime profondità raggiunte, che sono comprese tra 5.00 m (ERT 2) e 10 m (ERT 1), mostrano variazioni laterali e verticali di resistività, di difficile interpretazione, che non sono correlabili ai reperti dei sondaggi.

	PROGETTAZIONE DEFINITIVA DEL SISTEMA DEGLI ASSI DI FORZA PER IL TRASPORTO PUBBLICO LOCALE (RETE FILOVIARIA E STRUTTURE CONNESSE)												
Relazione geologica, geomorfologica e idrogeologica	<table border="1"> <thead> <tr> <th>COMMESSA</th> <th>LOTTO</th> <th>CODIFICA</th> <th>DOCUMENTO</th> <th>REV.</th> <th>FOGLIO</th> </tr> </thead> <tbody> <tr> <td>E21D</td> <td>00 D 69</td> <td>RG</td> <td>GE1500 001</td> <td>A</td> <td>32 di 49</td> </tr> </tbody> </table>	COMMESSA	LOTTO	CODIFICA	DOCUMENTO	REV.	FOGLIO	E21D	00 D 69	RG	GE1500 001	A	32 di 49
COMMESSA	LOTTO	CODIFICA	DOCUMENTO	REV.	FOGLIO								
E21D	00 D 69	RG	GE1500 001	A	32 di 49								

6. CONSIDERAZIONI IN MERITO AL RISCHIO SISMICO.

La risposta sismica del sito è determinata essenzialmente dalla sismicità dell'area e dalle sue caratteristiche stratigrafiche e topografiche, in rapporto alla tipologia e all'importanza dell'opera in progetto.

Pertanto, con riferimento alla normativa tecnica di settore, costituita dalle Norme Tecniche per le Costruzioni NTC2018, la progettazione dei depositi e della nuova rete filoviaria in esame dovrà essere attuata considerando la pericolosità sismica mediante un criterio sito-dipendente. Al proposito, rispetto alle classi di rischio sismico, i dati disponibili indicano che l'area in esame è inserita nella classe 3 di rischio sismico, come pure sancito dalla D.G.R. n. 216/2017 della Regione Liguria. Infatti, in base alla mappa di pericolosità sismica del territorio nazionale (*Ord. P.C.M. 28/04/2006 – D.M. 14/09/2005*), il range di accelerazione massima del suolo, con probabile eccedenza del 10% in 50 anni, nel territorio del Comune di Genova è compresa tra 0.050 e 0.075 g nel centro Città e a ponente, mentre aumenta fino a 0.075 – 0.10 nel levante cittadino e all'interno della Val Bisagno.

L'azione sismica viene valutata in condizioni di campo libero (cioè in assenza di manufatti), su sito di riferimento rigido (di categoria A), a superficie orizzontale (superficie topografica di categoria T1), riferendosi alla definizione di "pericolosità sismica di base", fornita dall'Istituto Nazionale di Geofisica e Vulcanologia (INGV) (Figura 17).

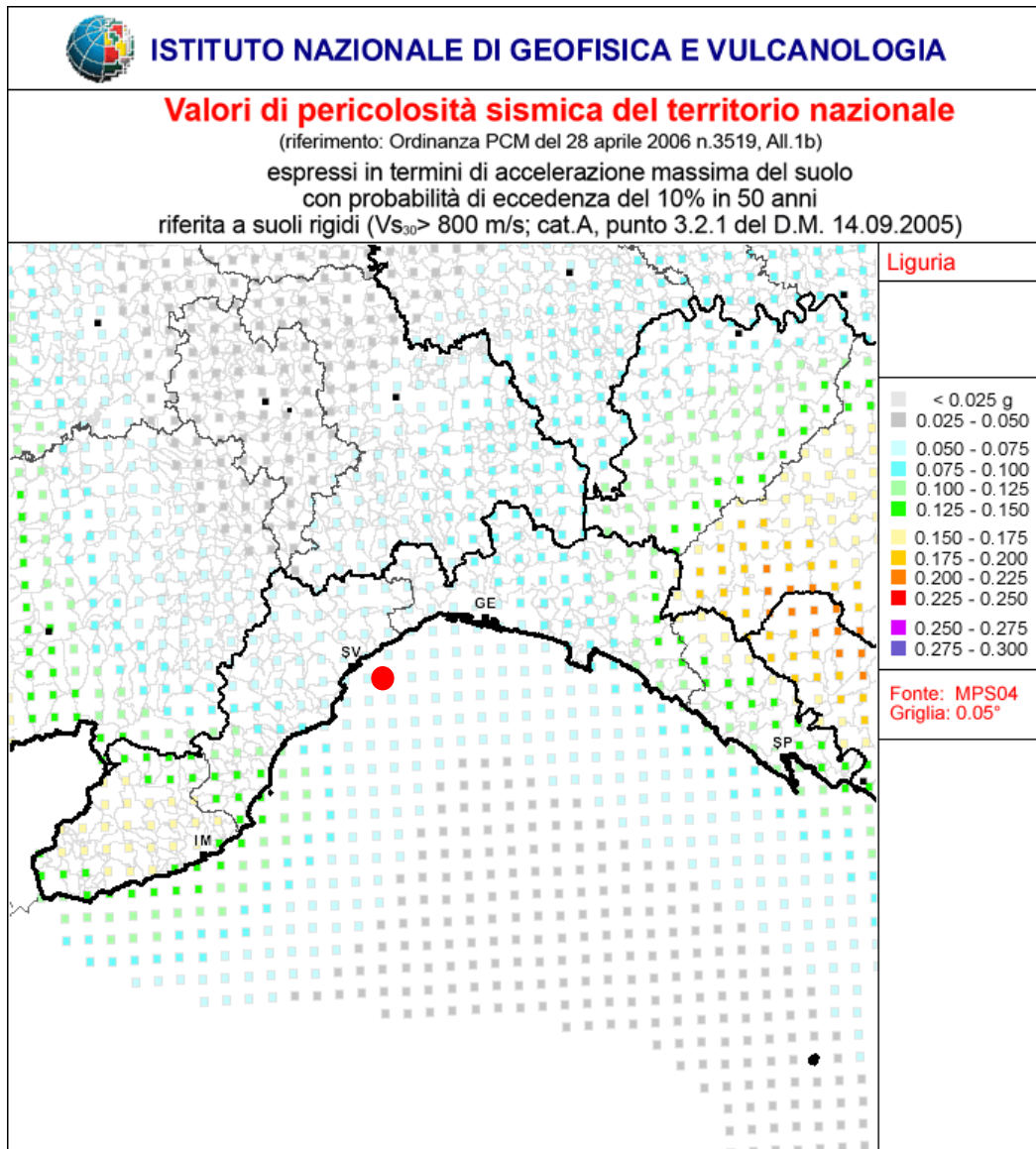


Figura 6. Mappa di pericolosità sismica espressa in termini di accelerazione massima del suolo (a_{max}) con probabilità di eccedenza del 10% in 50 anni riferita a suoli molto rigidi ($V_{s30} > 800$ m/s) – da INGV. In rosso l'area di studio.

In particolare, i caratteri del moto sismico su sito di riferimento rigido orizzontale sono descritti dalla distribuzione, sul territorio nazionale, delle grandezze di seguito elencate, sulla base delle quali sono compiutamente definite le forme spettrali per la generica “probabilità di superamento nel periodo di riferimento PVR”:

a_g : accelerazione massima su suolo tipo A;

F_0 : valore massimo del fattore di amplificazione dello spettro in accelerazione orizzontale;

	PROGETTAZIONE DEFINITIVA DEL SISTEMA DEGLI ASSI DI FORZA PER IL TRASPORTO PUBBLICO LOCALE (RETE FILOVIARIA E STRUTTURE CONNESSE)					
Relazione geologica, geomorfologica e idrogeologica	COMMESSA E21D	LOTTO 00 D 69	CODIFICA RG	DOCUMENTO GE1500 001	REV. A	FOGLIO 34 di 49

T_c^* : periodo di riferimento che consente di calcolare il periodo TC corrispondente all'inizio del tratto a velocità costante dello spettro.

6.1 Sismicità storica del comparto in esame.

Al fine di inquadrare dal punto di vista della sismicità storica l'area in esame, si riporta, di seguito, un riepilogo delle osservazioni macrosismiche di terremoti al di sopra della soglia del danno che hanno interessato storicamente il Comune di Genova (Figura 18). Le informazioni riportate derivano dalla consultazione del DBMI15 (Locati et al., 2016), il database macrosismico utilizzato per la compilazione del Catalogo Parametrico dei Terremoti Italiani CPTI15 (Rovida et al., 2016, <https://emidius.mi.ingv.it/CPTI15-DBMI15/>).

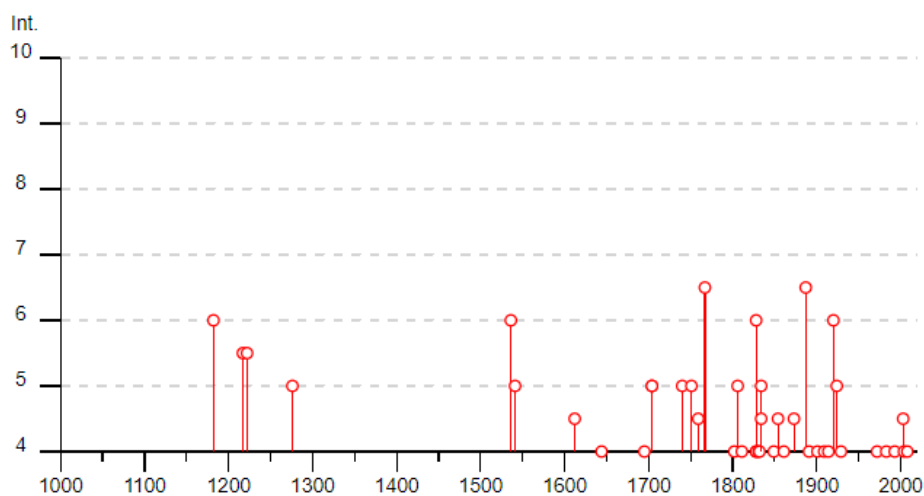


Figura 7. Sismicità storica del Comune di Genova [44.419, 8.898] 131 eventi nel periodo 1000-2020 - intensità massima registrata 6-7.

	PROGETTAZIONE DEFINITIVA DEL SISTEMA DEGLI ASSI DI FORZA PER IL TRASPORTO PUBBLICO LOCALE (RETE FILOVIARIA E STRUTTURE CONNESSE)					
Relazione geologica, geomorfologica e idrogeologica	COMMESSA E21D	LOTTO 00 D 69	CODIFICA RG	DOCUMENTO GE1500 001	REV. A	FOGLIO 35 di 49

6.2 Sorgenti sismogenetiche e faglie capaci del comparto in esame.

Recentemente è stata presentata la nuova versione (vers. 3.2) del database “A compilation of Potential Sources for Earthquakes larger than M 5.5 in Italy and surrounding areas”, inizialmente divulgato in forma preliminare nel luglio 2000 come versione 1.0 e quindi pubblicato nel 2001 come versione 2.0 (Valensise & Pantosti, 2001).

Il Database contiene le sorgenti sismogenetiche individuali e composite ritenute in grado di generare grandi terremoti. La nuova versione del Database elenca oltre 100 sorgenti sismogenetiche identificate attraverso studi geologico - geofisici (70% in più rispetto alla precedente versione), che ricadono sull'intero territorio italiano e su alcune aree confinanti.

L'assetto di queste sorgenti fornisce informazioni sull'andamento dei maggiori sistemi di faglie attive, consentendo, in alcuni casi, di individuare aree di potenziale gap sismico. Obiettivo del Database è quello di rendere quanto più possibile completa l'informazione sulle sorgenti sismogenetiche potenziali del territorio nazionale; per questa ragione, oltre a un numero maggiore di sorgenti individuali, viene proposta una forma di rappresentazione e caratterizzazione di tutte le aree che, pur essendo certamente in grado di generare forti terremoti, sono ancora poco comprese. È stata pertanto istituita una nuova categoria di aree sismogenetiche per le quali, in analogia con quanto proposto dalla zonazione sismogenetica ZS9 (Meletti & Valensise, 2004), viene fornita la localizzazione geografica, la stima del meccanismo di fagliazione, la profondità efficace e la magnitudo massima attesa. Dall'esame del Database, le sorgenti sismogenetiche composite (Figura 19) più vicine al territorio di Genova sono: la sorgente Imperia Promontory (ITCS022) e la sorgente Lunigiana (ITCS026). Le principali informazioni di riferimento per ciascuna sorgente sono riportate in Figura 20 e in Figura 21.

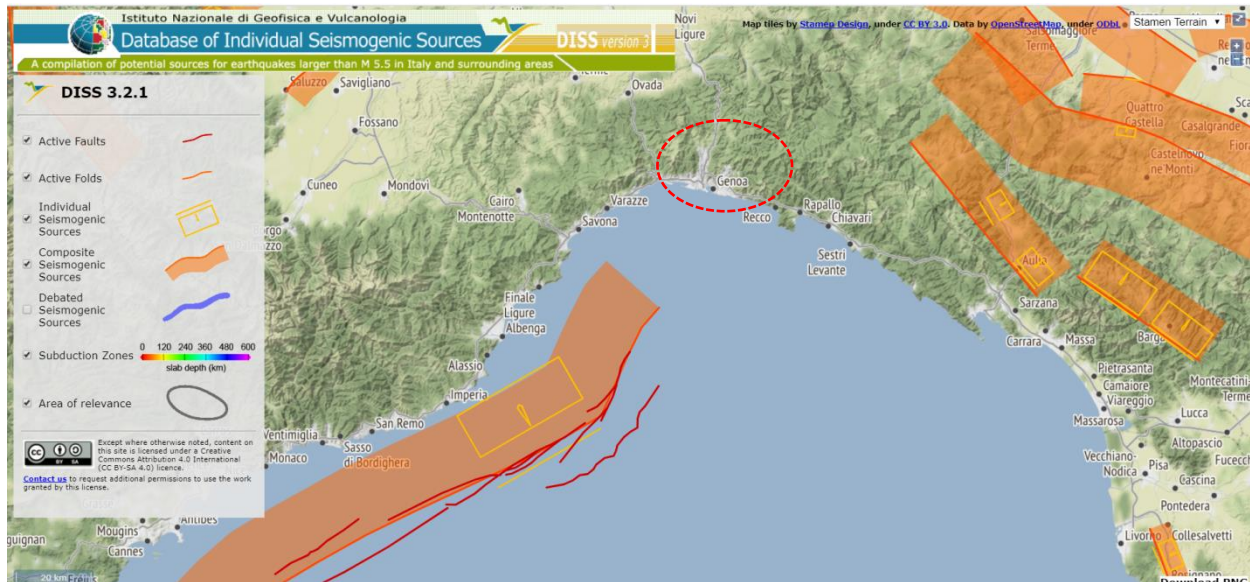


Figura 8. Sorgenti sismogenetiche contenute nella nuova versione del “Database of Potential Sources for Earthquakes larger than M 5.5 in Italy” – Immagine focalizzata sull’ambito ligure. In rosso l’area di studio. (<http://diss.rm.ingv.it/diss/>).

PARAMETRIC INFORMATION

PARAMETER	QUALITY	EVIDENCE	
Min depth [km]	2.5	LD	Based on geological and morphobathymetric data by Larroque et al. (2011).
Max depth [km]	15.0	EJ	Assumed to be about the same as the base of lower crust.
Strike [deg] min... max	200...250	LD	Based on geological and morphobathymetric data by Larroque et al. (2011).
Dip [deg] min... max	25...50	EJ	Inferred from geophysical data.
Rake [deg] min... max	80...100	EJ	Inferred from active stress data.
Slip Rate [mm/y] min... max	0.1...0.25	EJ	Inferred from topographic and geological data (uplift) from various authors.
Max Magnitude [Mw]	6.6	EJ	Inferred from the largest known earthquake in the area.

LD=LITERATURE DATA; OD=ORIGINAL DATA; ER=EMPIRICAL RELATIONSHIP; AR=ANALYTICAL RELATIONSHIP;EJ=EXPERT JUDGEMENT;

Figura 9. Quadro riassuntivo della sorgente sismogenetica composta Imperia Promontory (ITCS022).

	PROGETTAZIONE DEFINITIVA DEL SISTEMA DEGLI ASSI DI FORZA PER IL TRASPORTO PUBBLICO LOCALE (RETE FILOVIARIA E STRUTTURE CONNESSE)					
Relazione geologica, geomorfologica e idrogeologica	COMMESSA E21D	LOTTO 00 D 69	CODIFICA RG	DOCUMENTO GE1500 001	REV. A	FOGLIO 37 di 49

PARAMETRIC INFORMATION

PARAMETER	QUALITY	EVIDENCE	
Min depth [km]	1.0	OD	Based on geological and seismological data from Solarino (2007).
Max depth [km]	10.0	OD	Based on geological and seismological data from Solarino (2007).
Strike [deg] min... max	310...330	OD	Based on geological data.
Dip [deg] min... max	30...45	OD	Based on geological and seismological data from Solarino (2007).
Rake [deg] min... max	260...280	EJ	Inferred from geological data.
Slip Rate [mm/y] min... max	0.1... 1.0	EJ	Unknown, values assumed from geodynamic constraints.
Max Magnitude [Mw]	6.0	EJ	Assumed from regional seismological data.

LD=LITERATURE DATA; OD=ORIGINAL DATA; ER=EMPIRICAL RELATIONSHIP; AR=ANALYTICAL RELATIONSHIP; EJ=EXPERT JUDGEMENT;

Figura 10. Quadro riassuntivo della sorgente sismogenetica composta Lunigiana (ITCS026).

Infine, la consultazione del database del progetto ITHACA (ITaly HAZard from Capable faults) ha permesso di verificare l'eventuale presenza di faglie capaci, definite come lineamenti tettonici attivi che, entro un intervallo di tempo di interesse per la società, possono creare deformazioni in superficie e produrre fenomeni dagli effetti distruttivi per le opere antropiche. In riferimento allo stralcio cartografico riportato in Figura 19, alcune faglie capaci sono posizionate nel Golfo di Genova.

6.3 Categorie di sottosuolo.

La definizione dei parametri sismici nei siti dei depositi in funzione della loro localizzazione deriva dagli esiti delle indagini geofisiche dell'articolata campagna realizzata le cui risultanze, sono prodotte nell'elaborato E21D00D69IGGE0001-001-A. Si riassumono, nella Tabella 10, i valori analitici determinati nelle aree dei depositi per il parametro V_{seq} che concorre a definire la categoria di sottosuolo e i coefficienti sismici, i quali dipendono dalla situazione stratigrafica (*coefficiente di amplificazione stratigrafica* S_S) e dalla condizione topografica del luogo (*coefficiente di amplificazione topografica* S_T).

	PROGETTAZIONE DEFINITIVA DEL SISTEMA DEGLI ASSI DI FORZA PER IL TRASPORTO PUBBLICO LOCALE (RETE FILOVIARIA E STRUTTURE CONNESSE)												
Relazione geologica, geomorfologica e idrogeologica	<table border="1"> <tr> <td>COMMESSA</td> <td>LOTTO</td> <td>CODIFICA</td> <td>DOCUMENTO</td> <td>REV.</td> <td>FOGLIO</td> </tr> <tr> <td>E21D</td> <td>00 D 69</td> <td>RG</td> <td>GE1500 001</td> <td>A</td> <td>38 di 49</td> </tr> </table>	COMMESSA	LOTTO	CODIFICA	DOCUMENTO	REV.	FOGLIO	E21D	00 D 69	RG	GE1500 001	A	38 di 49
COMMESSA	LOTTO	CODIFICA	DOCUMENTO	REV.	FOGLIO								
E21D	00 D 69	RG	GE1500 001	A	38 di 49								

Tabella 10: coefficienti sismici e categorie di sottosuolo nelle aree dei depositi

DEPOSITO	V _{SEQ.} (m/sec) MASW	COEFF. STRATIGRAFICO SS	COEFF. TOPOGRAFICO ST	CATEGORIA DI SOTTOSUOLO
STAGLIENO	493	1.2	1	B
	321	1.5	1	C

7. ANALISI DEI VINCOLI NORMATIVI E DELLA PERICOLOSITA' IDROGEOLOGICA.

Le normative di riferimento per le tematiche in esame sono le seguenti:

D.M. 17.01.18 Aggiornamento delle "Norme Tecniche per le Costruzioni".

Circolare n. 21 gennaio 2019 n.7 "Istruzioni per l'applicazione dell'aggiornamento delle "Norme Tecniche per le Costruzioni" di cui al Decreto Ministeriale 17 gennaio 2018".

Piano di Bacino stralcio per la tutela del rischio idrogeologico del Torrente Bisagno, approvato con Delibera del Consiglio Provinciale n. 62 del 04/12/2001, comprese le successive modifiche, fino all'attuale vigenza, per i depositi di Staglieno e Gavette.

Piano di Bacino stralcio per la tutela del rischio idrogeologico del Torrente Polcevera, approvato con Delibera del Consiglio Provinciale n. 14 del 02/04/2003, comprese le successive modifiche, fino all'attuale vigenza, per il deposito di Sampierdarena.

	PROGETTAZIONE DEFINITIVA DEL SISTEMA DEGLI ASSI DI FORZA PER IL TRASPORTO PUBBLICO LOCALE (RETE FILOVIARIA E STRUTTURE CONNESSE)												
Relazione geologica, geomorfologica e idrogeologica	<table border="1"> <thead> <tr> <th>COMMESSA</th> <th>LOTTO</th> <th>CODIFICA</th> <th>DOCUMENTO</th> <th>REV.</th> <th>FOGLIO</th> </tr> </thead> <tbody> <tr> <td>E21D</td> <td>00 D 69</td> <td>RG</td> <td>GE1500 001</td> <td>A</td> <td>39 di 49</td> </tr> </tbody> </table>	COMMESSA	LOTTO	CODIFICA	DOCUMENTO	REV.	FOGLIO	E21D	00 D 69	RG	GE1500 001	A	39 di 49
COMMESSA	LOTTO	CODIFICA	DOCUMENTO	REV.	FOGLIO								
E21D	00 D 69	RG	GE1500 001	A	39 di 49								

Piano di Bacino stralcio per la tutela del rischio idrogeologico dell’Ambito 14 approvato con Delibera del Consiglio Provinciale n. 66 del 12/12/2002 per il Deposito Levante – Nervi.

P.U.C. del Comune di Genova, il cui procedimento di approvazione si è concluso con D.D. 2015/118.0.0./18 del 03.12.2015, con recepimento della pianificazione di bacino al 21.12.2019. Si fa riferimento, in particolare, alla microzonazione sismica di 1° livello, alla zonizzazione geologica del territorio e alle relative Norme Geologiche di Attuazione.

D.G.R. Regione Liguria 216/2017 “Aggiornamento e classificazione sismica del territorio della Regione Liguria”, per la quale l'intero territorio comunale di Genova è classificato in zona sismica 3 a bassa pericolosità, a cui è associato un valore di Pga pari a 0,15 g.

Infine, si precisa che soltanto l’area del deposito di Levante Nervi é sottoposta a vincolo idrogeologico ai sensi del R.D.L. 3267/23, come recepito dal Piano di Bacino dell’Ambito 14.

Si riportano, per ogni deposito, gli stralci cartografici di riferimento degli strumenti di pianificazione citati, a partire dal Piano di Bacino, che risulta sovraordinato.

7.1 Deposito Staglieno.

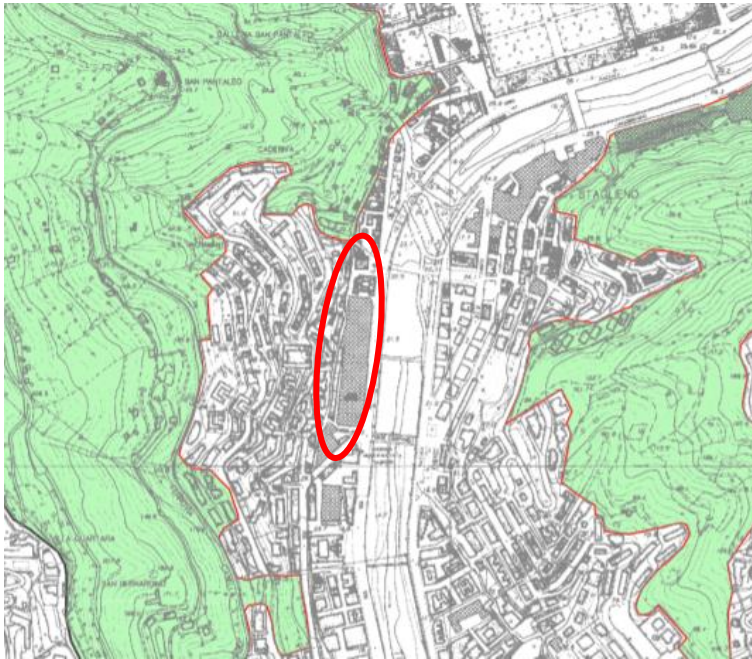
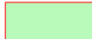







Figura 11. Deposito Staglieno - Estratto fuori scala dalla Carta dei Principali Vincoli Territoriali del vigente Piano di Bacino del T. Bisagno, che conferma che l'area di intervento non è sottoposta a vincolo idrogeologico.

LEGENDA

	aree sottoposte a vincolo idrogeologico
	aree classificate "abitati da consolidare" (L. 64/1974)
	siti di interesse comunitario SIC
	zone a protezione speciale ZPS
	parchi naturali regionali
	limite di bacino

7.1.1 *Rapporti con il Piano di Bacino del Torrente Bisagno per gli aspetti inerenti la suscettività al dissesto e i regimi normativi.*

La zona ricade nel territorio competente al Piano di Bacino del T. Bisagno, approvato con Delibera del Consiglio Provinciale n. 62 del 04/12/2001 e modificato successivamente fino all'attuale vigenza.

	PROGETTAZIONE DEFINITIVA DEL SISTEMA DEGLI ASSI DI FORZA PER IL TRASPORTO PUBBLICO LOCALE (RETE FILOVIARIA E STRUTTURE CONNESSE)					
Relazione geologica, geomorfologica e idrogeologica	COMMESSA E21D	LOTTO 00 D 69	CODIFICA RG	DOCUMENTO GE1500 001	REV. A	FOGLIO 41 di 49

Nel seguito sono riportati gli estratti delle cartografie di interesse, per il riconoscimento della zonizzazione e dei regimi normativi associati.

In particolare:

- per quanto riguarda la Carta della Suscettività al Dissesto (Figura 23), il deposito di Staglieno ricade in classe di suscettività al dissesto molto bassa (Pg0), trovandosi in area di fondovalle urbanizzato;
- in merito alle Fasce di Inondabilità (Figura 24) il deposito è compreso all'interno della fascia inondabile con tempo di ritorno duecentennale, suddivisa, a seguito di studi di maggiore dettaglio, in aree a diversa pericolosità relativa: Ambito BB nel tratto meridionale: aree perifluviali inondabili al verificarsi dell'evento di piena a tempo di ritorno T=200 anni a "maggiore pericolosità relativa" rispetto ai massimi tiranti idrici e velocità di scorrimento corrispondenti alla piena duecentennale; Ambito B0 nel tratto settentrionale: aree perifluviali inondabili al verificarsi dell'evento di piena con tempo di ritorno T=200 anni a "minor pericolosità relativa" rispetto ai massimi tiranti idrici e velocità di scorrimento corrispondenti alla piena duecentennale. Le norme di riferimento sono l'art. 15, c.3, c.3c e c.3bis oltre all'art. 15 bis. Per le valutazioni sull'ammissibilità dell'intervento occorre considerare:
 - che si tratta di impianti di servizio a infrastrutture connesse alla mobilità;
 - che il progetto riguarda nel suo complesso un'opera pubblica strategica;
 - che il deposito è localizzato in ambito di tessuto urbano consolidato;
 - che il progetto non modifica la destinazione d'uso attuale dell'area.

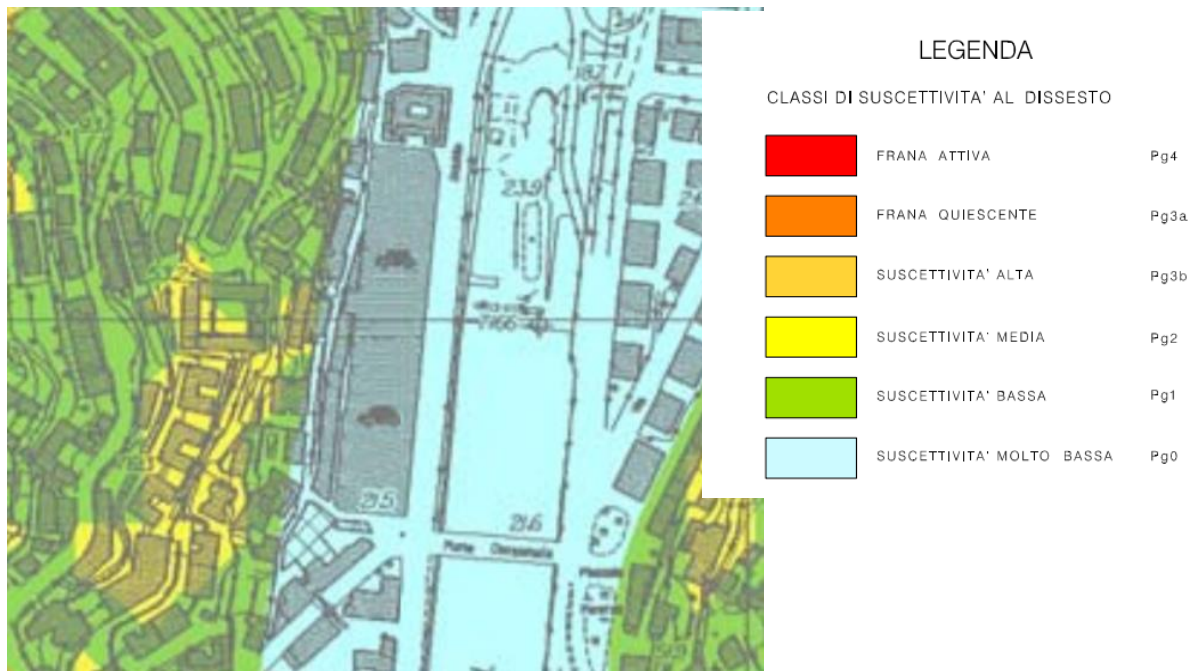
Si rimanda alla relazione di compatibilità idraulica e alla relazione di progetto, per le valutazioni di merito. La zonizzazione, infatti, rende gli interventi previsti non assentibili allo stato attuale, in funzione della loro tipologia (nuova costruzione, ristrutturazione urbanistica o edilizi, ecc) e richiede approfondimenti e parere specifici degli uffici regionali per l'ammissibilità delle deroghe previste dalla normativa sulla base di appositi studi di compatibilità idraulica.

- rispetto al Reticolo Idrografico Regionale (Figura 25), come definito dalla D.G.R. 507/2019, l'area d'intervento è prossima al Torrente Bisagno e al suo affluente in destra, Rio Bascione, senza peraltro che si generino interferenze con i rivi e nel rispetto delle

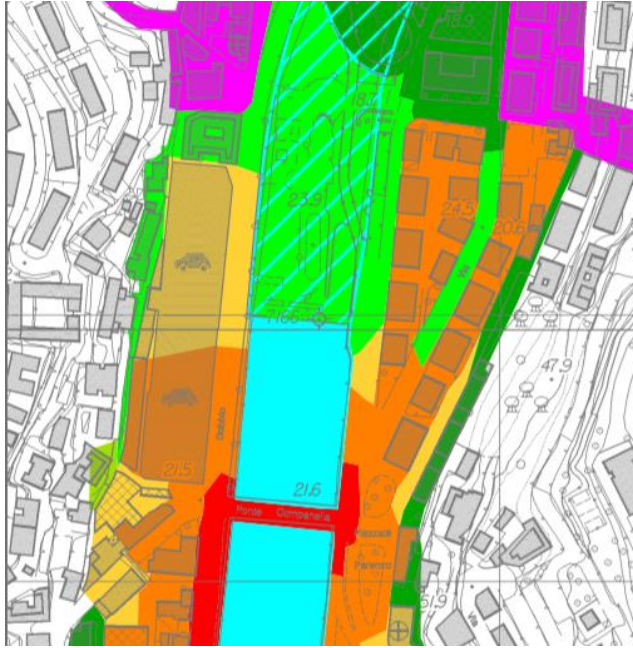
	PROGETTAZIONE DEFINITIVA DEL SISTEMA DEGLI ASSI DI FORZA PER IL TRASPORTO PUBBLICO LOCALE (RETE FILOVIARIA E STRUTTURE CONNESSE)					
Relazione geologica, geomorfologica e idrogeologica	COMMESSA E21D	LOTTO 00 D 69	CODIFICA RG	DOCUMENTO GE1500 001	REV. A	FOGLIO 42 di 49

distanze minime di 10 m imposte dalla normativa (Regolamento Regionale n. 1 del 16.03.16).

Figura 12. Deposito Stagierno - Estratto fuori scala dalla Carta della Suscettività al Dissesto del vigente Piano di Bacino del T. Bisagno.



LEGENDA



FASCE FLUVIALI		NORME DI ATTUAZIONE
	FASCIA A	Art. 15, c. 2
	FASCIA B	Art. 15, c. 3
	FASCIA BB	Art. 15, c. 3bis
	FASCIA B0	Art. 15, c. 3bis
	FASCIA C	Art. 15, c. 4
	FASCIA C (Aree storicamente inondate in tratti indagati)	Art. 15, c. 4
	FASCIA C (Aree ex-AIN)	Art. 15, c. 4
-		
	Alveo a cielo aperto	Art. 13
	Alveo tombinato	
	Fascia di riassetto fluviale	Art. 14
	Proiezione viadotti	
	Limite del bacino	

Figura 13. Deposito Staglieno - Estratto fuori scala dalla Carta delle Fasce di Inondabilità del vigente Piano di Bacino del T. Bisagno.



Legenda

Reticolo idrografico

- a cielo aperto
- tombinato
- scolmatore/opera idraulica
- Rete di drenaggio urbano
- Confini comunali
- Bacini idrografici

Figura 14. Deposito Staglieno - Estratto fuori scala dalla Carta del Reticolo Idrografico Regionale di cui alla D.G.R. 507 del 21.06.19.

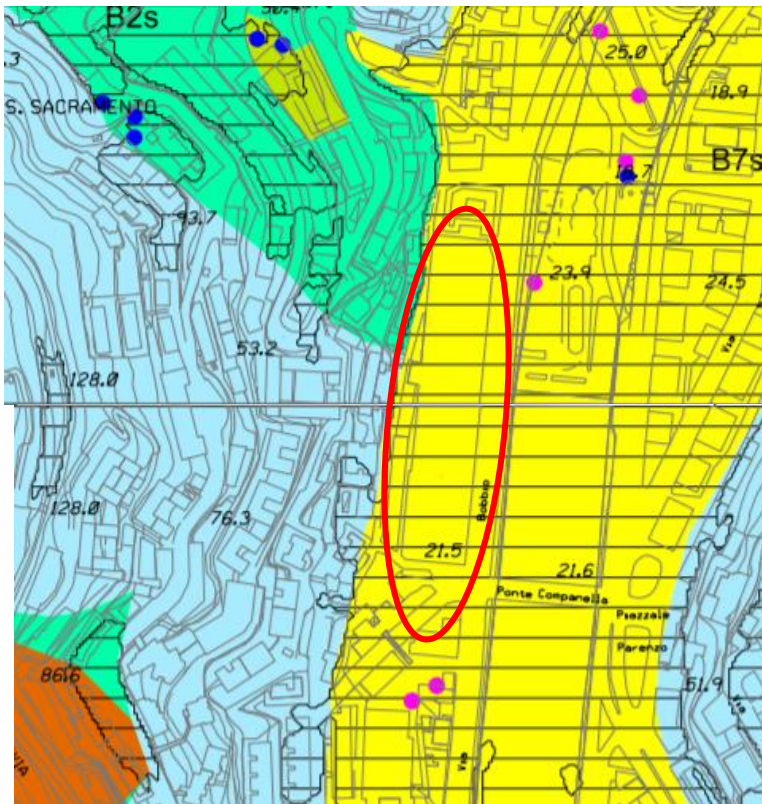
	PROGETTAZIONE DEFINITIVA DEL SISTEMA DEGLI ASSI DI FORZA PER IL TRASPORTO PUBBLICO LOCALE (RETE FILOVIARIA E STRUTTURE CONNESSE)					
Relazione geologica, geomorfologica e idrogeologica	COMMESSA E21D	LOTTO 00 D 69	CODIFICA RG	DOCUMENTO GE1500 001	REV. A	FOGLIO 44 di 49

7.1.2 ***Rapporti con il P.U.C. del Comune di Genova per gli aspetti inerenti la microzonazione sismica e la zonizzazione geologica del territorio.***

Con riferimento alla microzonazione sismica di livello 1, si riporta in Figura 26 lo stralcio della Carta delle microzone omogenee in prospettiva sismica del P.U.C. vigente del Comune di Genova. Il deposito di Staglieno ricade in una zona stabile, suscettibile di amplificazione locale di tipo stratigrafico per la presenza di sedimenti alluvionali di ingente spessore.

Rispetto ai vincoli geomorfologici e geologici, si richiamano la Carta dei Vincoli Geomorfologici e Idraulici e la Carta di Zonizzazione Geologica, che suddivide il territorio comunale in classi a diverso grado di "fragilità" sotto gli aspetti geologici, geomorfologici e idrogeologici; ad ogni classe è associata una normativa geologica di riferimento che stabilisce l'ammissibilità degli interventi in rapporto al contesto e il grado di approfondimento delle indagini da eseguire.

Con riferimento alla prima carta, la rimessa AMT di Staglieno ricade entro la perimetrazione dell'acquifero significativo derivante dal Piano di Tutela delle Acque (D.C.R. 32/2009) e in una "zona inondabile con diversi tempi di ritorno", che rimanda l'ammissibilità dell'intervento alla norma sovraordinata del Piano di Bacino, (Figura 27). Per quanto riguarda la zonizzazione geologica, la zona corrispondente è la B urbanizzata, a suscettività d'uso parzialmente condizionata (Figura 28), per la quale l'intervento è compatibile, previa indagini e verifiche geologiche e geognostiche.



- ZONE STABILI SUSCETTIBILI DI AMPLIFICAZIONE LOCALE**
- ZONA B00**
Substrato LAPIDEO NON STRATIFICATO affiorante o subaffiorante con $V_{s30} > 800$ con acclività > 15 gradi (amplificazione topografica)
 - ZONA B01**
Substrato LAPIDEO STRATIFICATO/SCISTOSO affiorante o subaffiorante $V_{s30} > 800$ con acclività > 15 gradi (amplificazione topografica)
 - ZONA B1**
Substrato LAPIDEO NON STRATIFICATO affiorante o subaffiorante con $V_{s30} < 800$ per caratteristiche litostatigrafiche e/o alterazione/fratturazione
B1s - acclività < 15 gradi (amplificazione stratigrafica)
B1s/t - acclività > 15 gradi (amplificazione stratigrafica e topografica)
 - ZONA B2**
Substrato LAPIDEO STRATIFICATO/SCISTOSO affiorante o subaffiorante con $V_{s30} < 800$ per caratteristiche litostatigrafiche e/o alterazione/fratturazione
B2s - acclività < 15 gradi (amplificazione stratigrafica)
B2s/t - acclività > 15 gradi (amplificazione stratigrafica e topografica)
 - ZONA B2**
Substrato LAPIDEO STRATIFICATO/SCISTOSO affiorante o subaffiorante con $V_{s30} < 800$ per caratteristiche litostatigrafiche e/o alterazione/fratturazione
B2s - acclività < 15 gradi (amplificazione stratigrafica)
B2s/t - acclività > 15 gradi (amplificazione stratigrafica e topografica)
 - ZONA B3**
Substrato GRANULARE CEMENTATO affiorante o subaffiorante con $V_{s30} < 800$
B3s - acclività < 15 gradi (amplificazione stratigrafica)
B3s/t - acclività > 15 gradi (amplificazione stratigrafica e topografica)
 - ZONA B4**
Substrato COESIVO SOVRACONSOLIDATO affiorante o subaffiorante con $V_{s30} < 800$
B4s - acclività < 15 gradi (amplificazione stratigrafica)
B4s/t - acclività > 15 gradi (amplificazione stratigrafica e topografica)
 - ZONA B5**
RIPORTI con spessore > 3 metri
B5s - acclività < 15 gradi (amplificazione stratigrafica)
B5s/t - acclività > 15 gradi (amplificazione stratigrafica e topografica)
 - ZONA B6**
COPERTURE DETRITICHE con spessore > 3 metri
B6s - acclività < 15 gradi (amplificazione stratigrafica)
B6s/t - acclività > 15 gradi (amplificazione stratigrafica e topografica)
 - ZONA B7**
SEDIMENTI ALLUVIONALI E MARINI con spessore > 3 metri
B7s - acclività < 15 gradi (amplificazione stratigrafica)
B7s/t - acclività > 15 gradi (amplificazione stratigrafica e topografica)

Figura 15. Deposito Staglieno - Estratto fuori scala della Carta delle microzone omogenee in prospettiva sismica – PUC 2015 – Comune di Genova.

Relazione geologica, geomorfologica e idrogeologica

COMMESSA	LOTTO	CODIFICA	DOCUMENTO	REV.	FOGLIO
E21D	00 D 69	RG	GE1500 001	A	46 di 49



LEGENDA

VINCOLI GEOMORFOLOGICI IMPOSTI DAL PUC

- FRANA ATTIVA da Carta Geomorfologica del PUC
- FRANA QUIESCENTE da Carta Geomorfologica del PUC

VINCOLI GEOMORFOLOGICI IMPOSTI DAI SOVRAORDINATI PIANI DI BACINO

- FRANA ATTIVA /Pgt
- FRANA QUIESCENTE /Pgt
- TIPO A - Cave attive e discariche in esercizio
- TIPO B1 - Cave inattive
- TIPO B2 - Discariche dismesse e rifiuti antropici
- AREA SOGGETTA A VINCOLO IDROGEOLOGICO (triangoli verso zona vincolata)

VINCOLI IDRAULICI IMPOSTI DAI SOVRAORDINATI PIANI DI BACINO

- ALVEO ATTUALE
- AREE INONDABILI CON DIVERSI TEMPI DI RITORNO
- FASCIA TRASESTO FLUVIALE FASCIA DI RISPETTO DELLO SCOLMATORE per quanto riguarda lo scolmatore dell'1. Bisagno (rif. PdB del T. Bisagno art. 17 bis)
- RETICOLO IDROGRAFICO

ACQUIFERI SIGNIFICATIVI
Piano di Tutela delle Acque (D.C.R. 33/09)

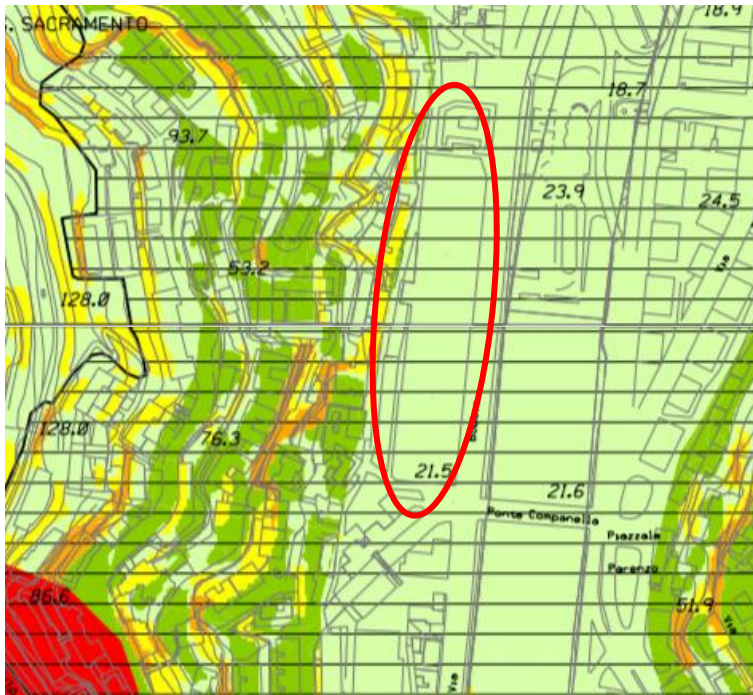
- ACQUIFERI SIGNIFICATIVI (triangoli verso zona vincolata)

CAPTAZIONI AD USO UMANO (Approvazione 04/01/2016)
Ambiente in Liguria: banca dati "Derivazioni idriche"

- Sorgenti o pozzi

- Fascia di collocazione Scolmatore Rio Vernazzola (Fonte: Area Tecnica-Direzione Manutenzione Infrastrutture e Verde Pubb)

- Limiti amministrativi: Comune e Municipi



LEGENDA

-  Zona A: Aree con suscettività d'uso non condizionata
-  Zona B: Aree con suscettività d'uso parzialmente condizionata
-  Zona C: Aree con suscettività d'uso limitata
-  Zona D: Aree con suscettività d'uso limitata e/o condizionata all'adozione di cautele specifiche
-  Zona E: Aree con suscettività d'uso fortemente condizionata
-  Zona urbanizzata
-  Limiti amministrativi: Comune e Municipi

Figura 16. Deposito Staglieno - Estratto fuori scala dalla Carta di Zonizzazione Geologica e Suscettività d'uso del Territorio del PUC 2015 – Comune di Genova.

	PROGETTAZIONE DEFINITIVA DEL SISTEMA DEGLI ASSI DI FORZA PER IL TRASPORTO PUBBLICO LOCALE (RETE FILOVIARIA E STRUTTURE CONNESSE)					
Relazione geologica, geomorfologica e idrogeologica	COMMESSA E21D	LOTTO 00 D 69	CODIFICA RG	DOCUMENTO GE1500 001	REV. A	FOGLIO 48 di 49

8. CONSIDERAZIONI CONCLUSIVE.

L'insieme dei dati geologici, geognostici e geofisici ad oggi acquisiti e disponibili, commentati nella presente relazione, ha permesso di descrivere e caratterizzare, dal punto di vista geologico e geomorfologico, l'areale di pertinenza di ognuno dei depositi individuati per il rimessaggio mezzi, a servizio della nuova rete filoviaria del trasporto pubblico di Genova, denominato Sistema degli assi di forza, e di proporre il relativo modello geologico e idrogeologico, come prescritto dal D.M. 17.01.18 Norme Tecniche per le Costruzione e dalle Norme Geologiche di Attuazione del P.U.C. del Comune di Genova, con particolare riferimento a quello inerente il Deposito di Staglieno.

In generale, trattandosi in tutti i casi di siti pianeggianti, ubicati nel fondovalle di corsi d'acqua e in ambito urbanizzato, e considerate le caratteristiche progettuali degli interventi, non sussistono particolari problematiche geologiche nell'attuazione dei progetti, se non per la necessità di garantire, soprattutto nel corso dei lavori, la salvaguardia dell'integrità dei manufatti preesistenti, circostanti e limitrofi, e delle opere infrastrutturali interferenti o adiacenti (strade, tombini reti fognarie e sottoservizi).

Il tema fondamentale è semmai di carattere geotecnico, per la definizione degli aspetti fondazionali degli edifici, in contesti di depositi alluvionali con variabilità verticale e orizzontale della granulometria, del grado di addensamento e, soprattutto, degli spessori dei materiali sciolti rispetto alla quota di reperimento del substrato roccioso in posto.

In particolare, l'area di Staglieno mostra in sottosuolo variabilità trasversale di spessori di depositi alluvionali per la vicinanza del versante che delimita la valle del Bisagno in destra orografica.

Si pone infine la necessità di tenere in considerazione tutta una serie di condizionamenti di ordine normativo.

Per quanto riguarda, invece il deposito di Staglieno, sussistono interferenze con il perimetro delle aree inondabili del vigente Piano di Bacino del T. Bisagno, per eventi con tempi

	PROGETTAZIONE DEFINITIVA DEL SISTEMA DEGLI ASSI DI FORZA PER IL TRASPORTO PUBBLICO LOCALE (RETE FILOVIARIA E STRUTTURE CONNESSE)					
Relazione geologica, geomorfologica e idrogeologica	COMMESSA E21D	LOTTO 00 D 69	CODIFICA RG	DOCUMENTO GE1500 001	REV. A	FOGLIO 49 di 49

di ritorno duecentennali e cinquantennali. Per la valutazione dell'ammissibilità degli interventi, in rapporto alla normativa associata a tale zonizzazione, occorre considerare che:

- si tratta di impianti di servizio a infrastrutture connesse alla mobilità;
- il progetto riguarda nel suo complesso un'opera pubblica strategica;
- ogni deposito è localizzato in ambito di tessuto urbano consolidato;
- il progetto, per quanto riguarda i depositi di Staglieno non modifica la destinazione d'uso attuale delle aree.

L'interferenza con le aree inondabili citate (fascia A e fascia BB), allo stato attuale rende gli interventi previsti non assentibili ma, in funzione della loro tipologia sono possibili approfondimenti con appositi studi di compatibilità idraulica per valutare e richiedere agli Enti competenti l'ammissibilità delle deroghe previste dalla normativa.

APPENDICE 1

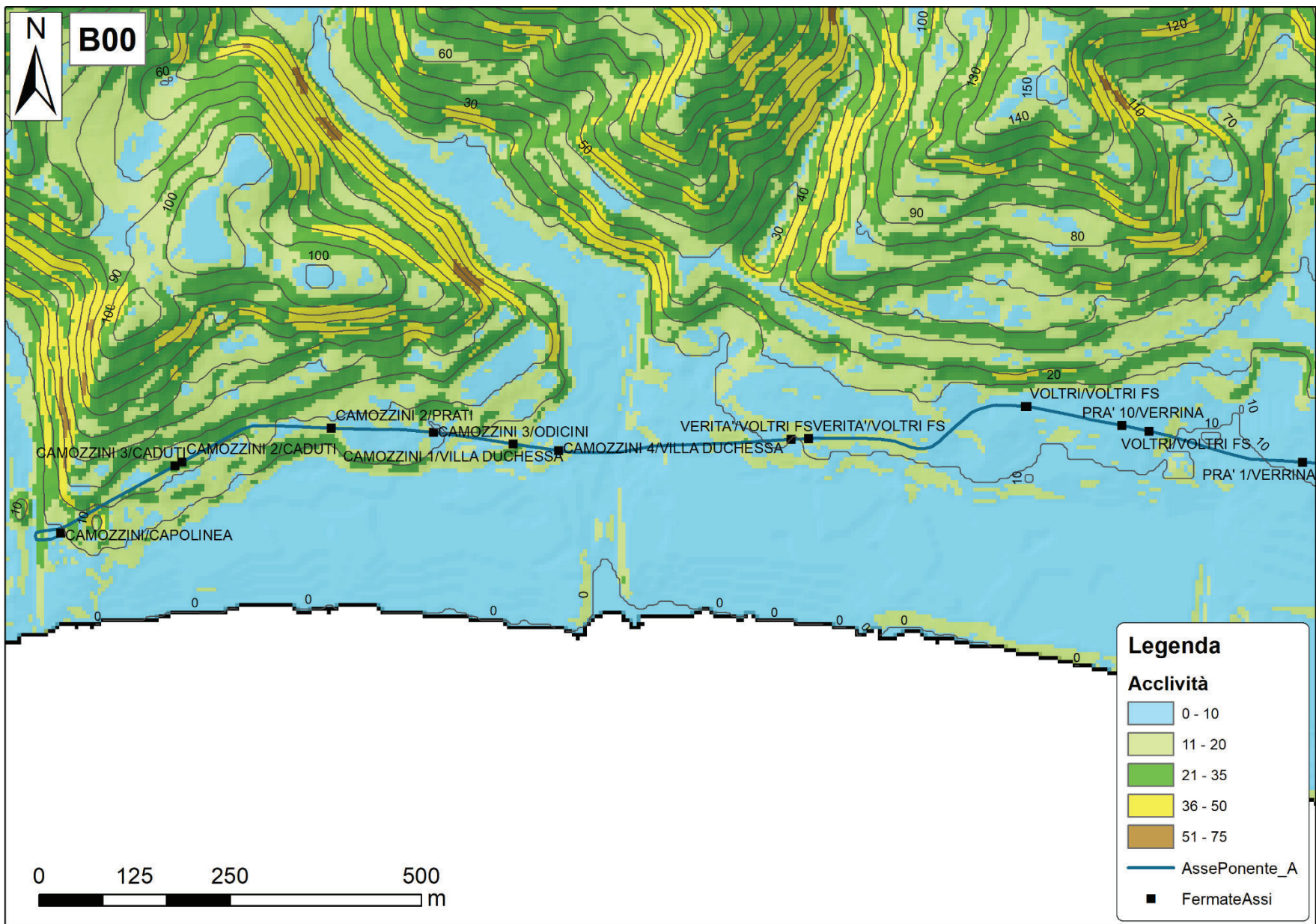
Appendice I: Carta delle acclività

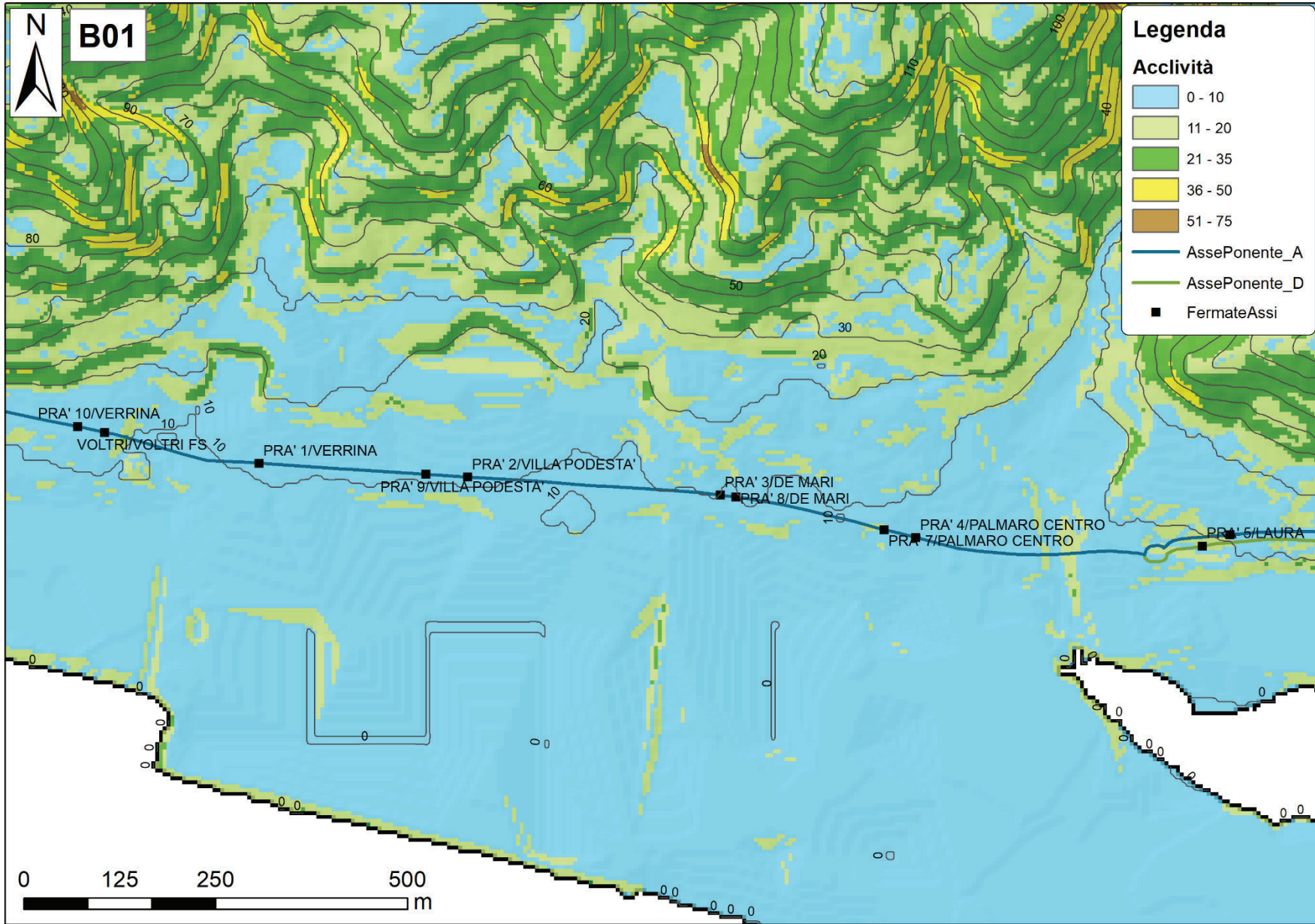
Sono di seguito riportate le carte dell'acclività per l'intorno del tracciato della filovia in progetto. È presente una carta generale a piccola scala dell'intero tracciato nell'abitato di Genova e 28 carte a grande scala (1:5000/6000) denominate da B00 a B27.

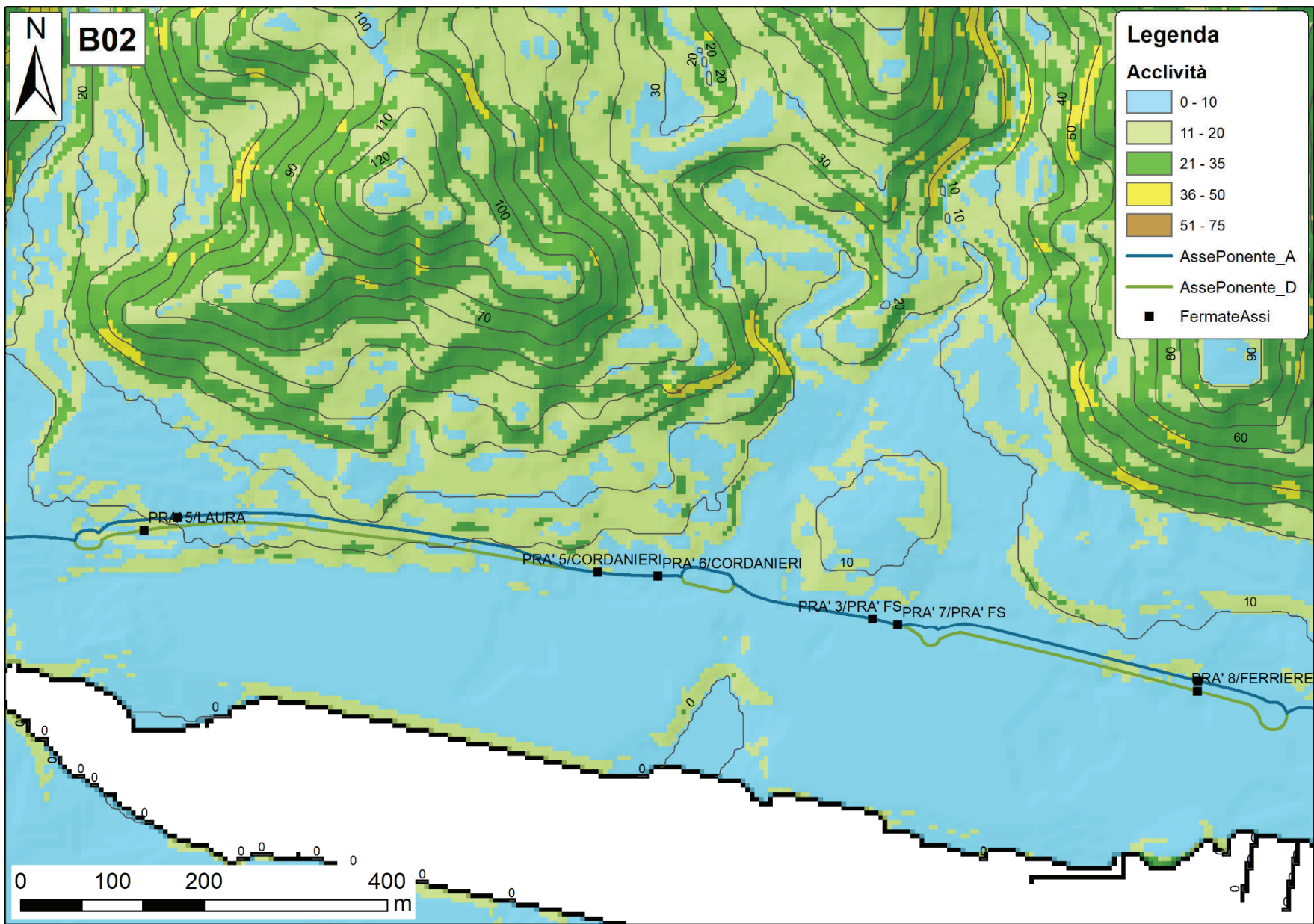
Le carte di acclività mostrano 5 classi divise per percentuali di pendenza, così suddivise 0-10, 11-20, 21-35, 35-50, 51-75 e 76-100 %, ottenute dal DTM del 2017 con risoluzione 5 m della Regione Liguria (<https://geoportal.regione.liguria.it/catalogo/mappe.html>).

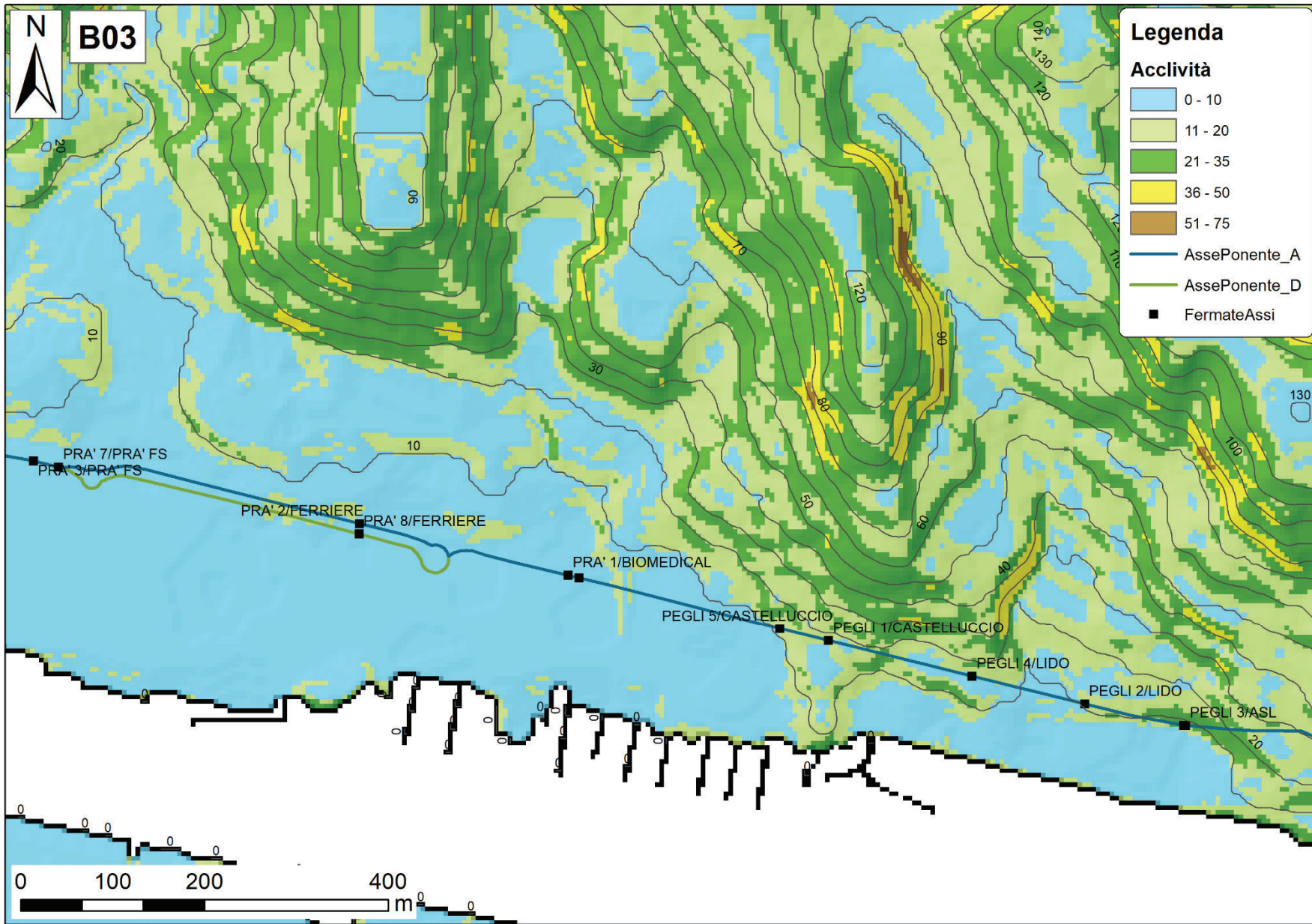
Come si osserva dalle carte, il tracciato interessa principalmente aree con pendenze comprese tra 0 e 10 %, più raramente aree a pendenza tra 11 e 20% di pendenza. In alcuni rari e localizzati punti del tracciato interessa aree ristrette a pendenza compresa tra 21 e 35%, identificabile alle tavole B04, B08, B11, B12, B20, B24, B25 e B26.

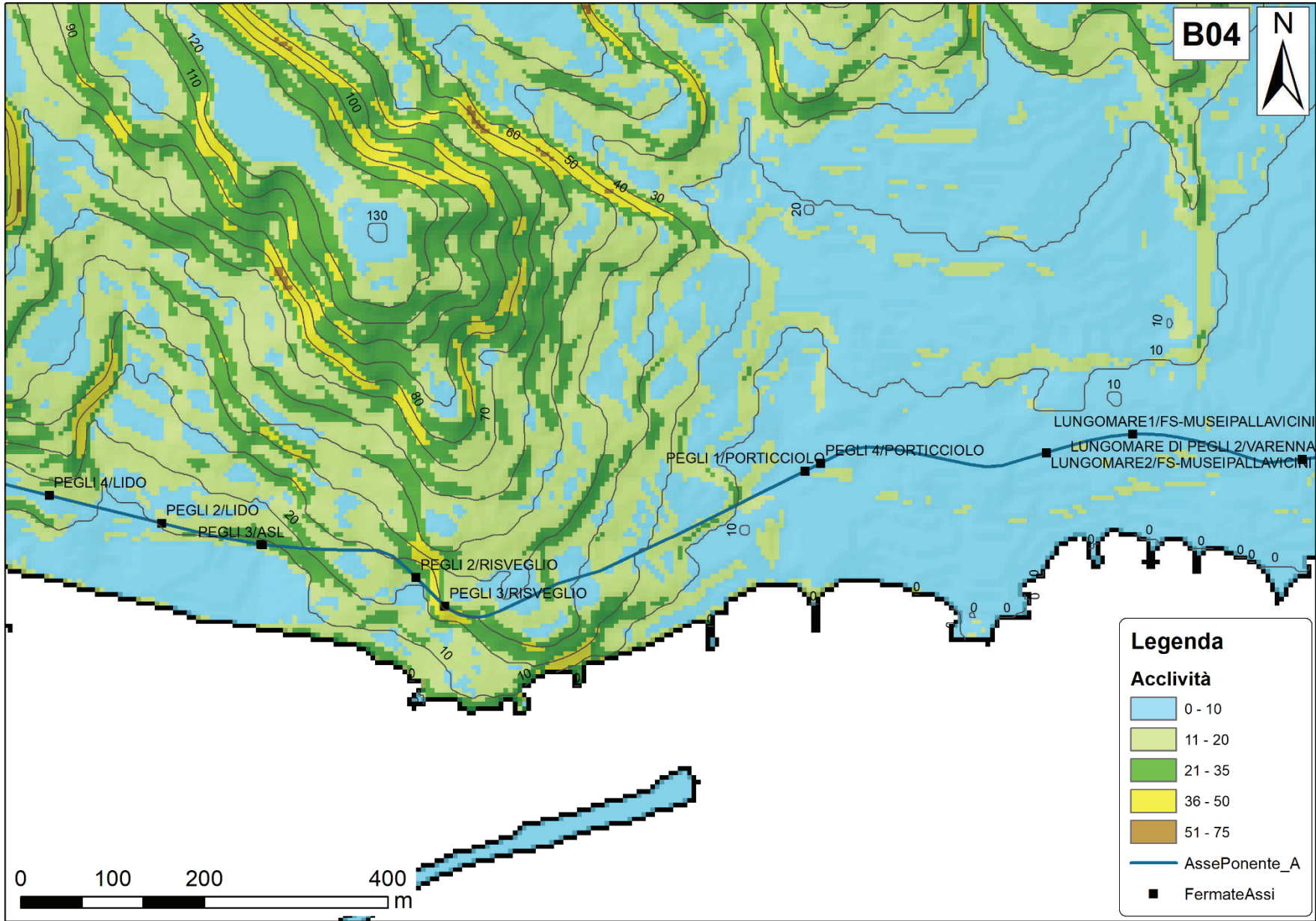
L'intervento oggetto del presente intervento è collocato nella tavola B22 e presenta pendenze comprese tra 0 e 10%

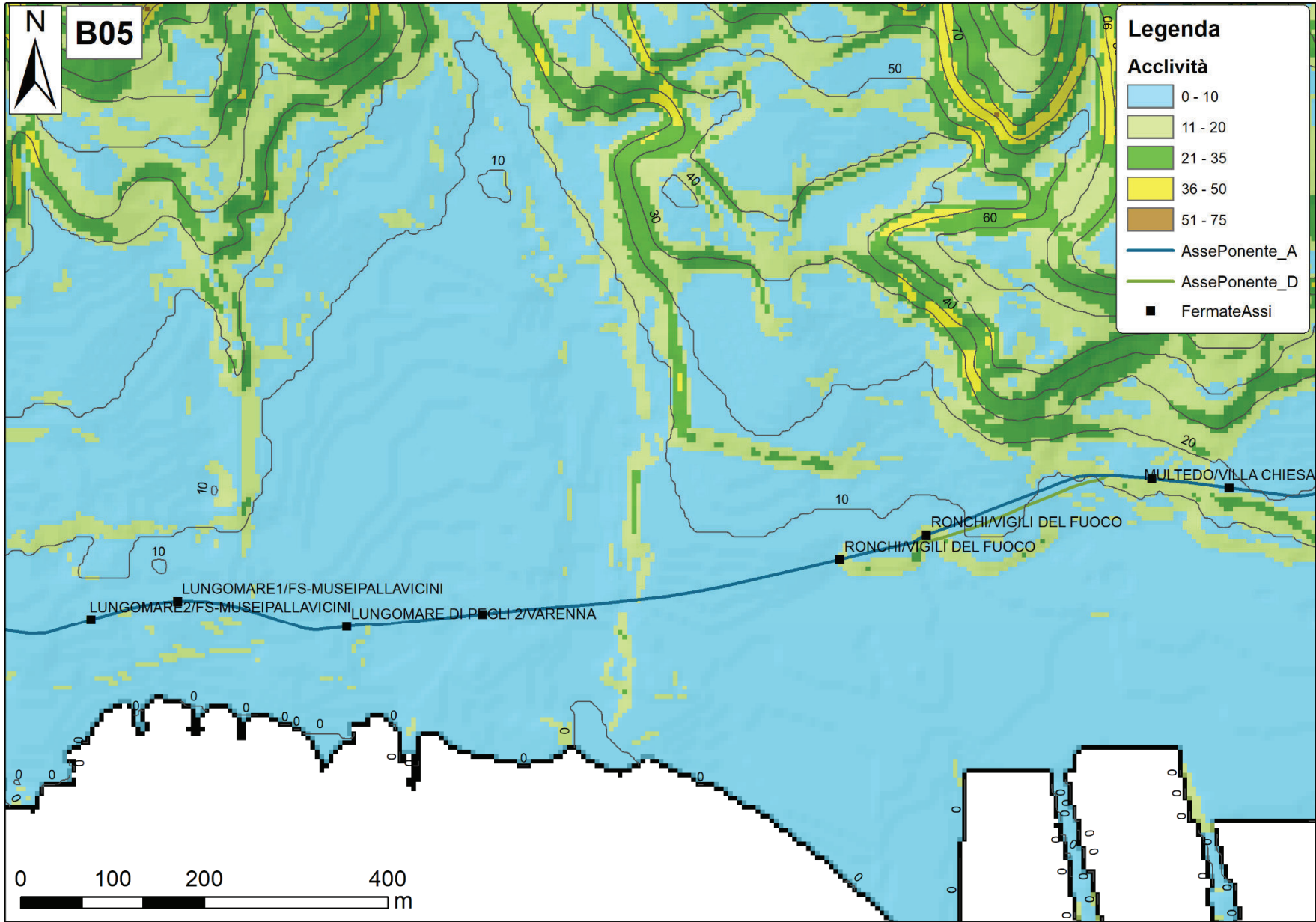


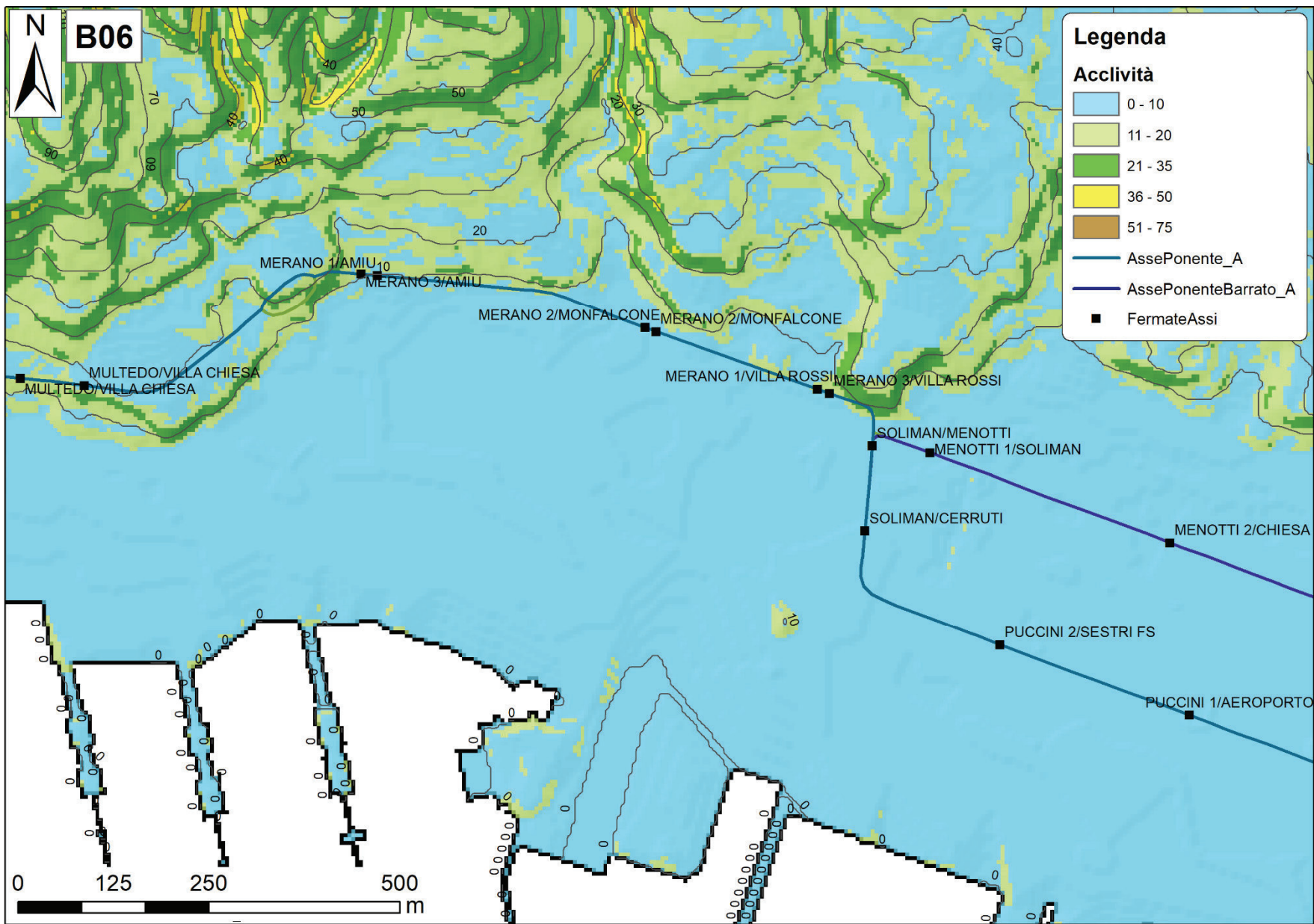






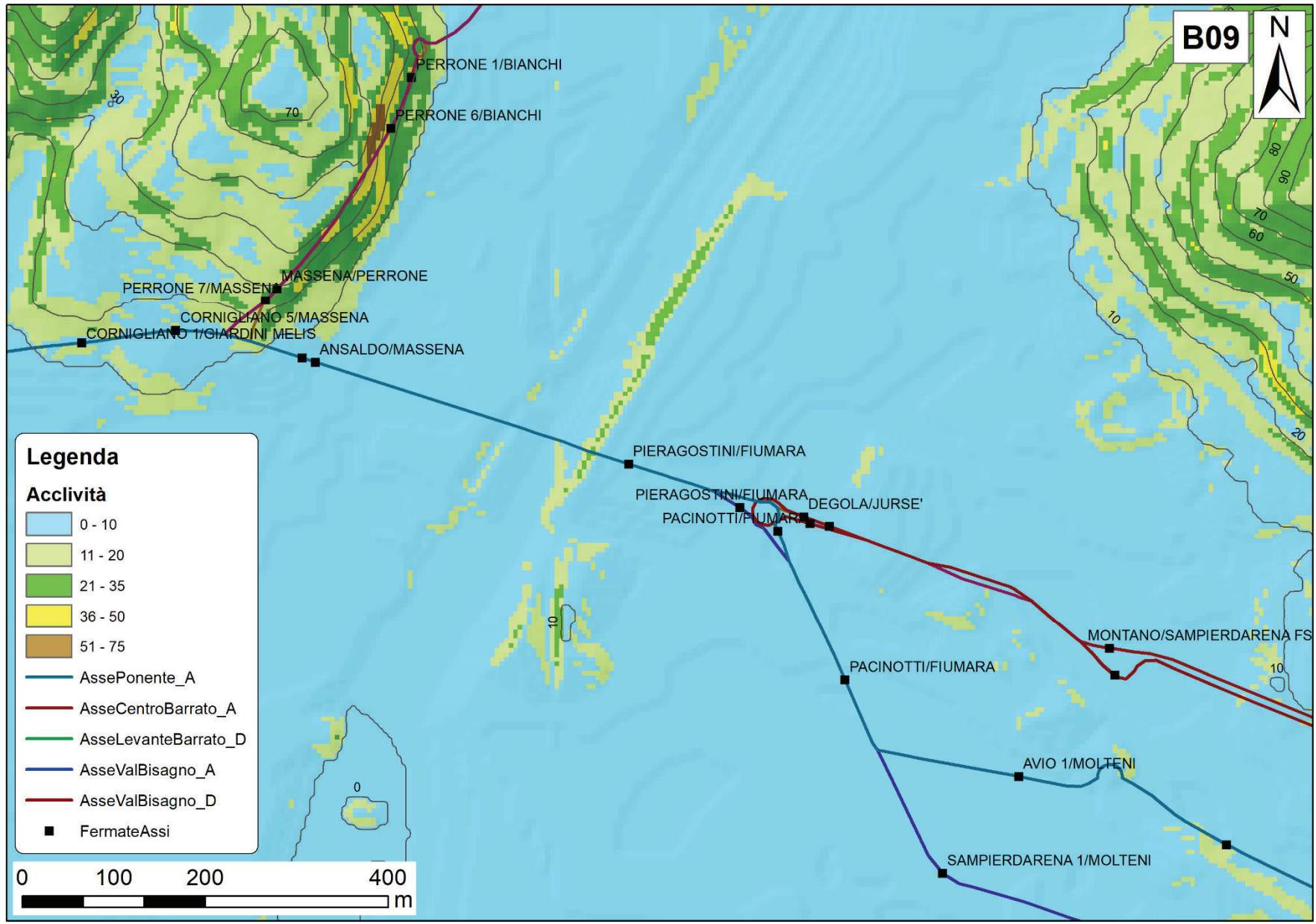




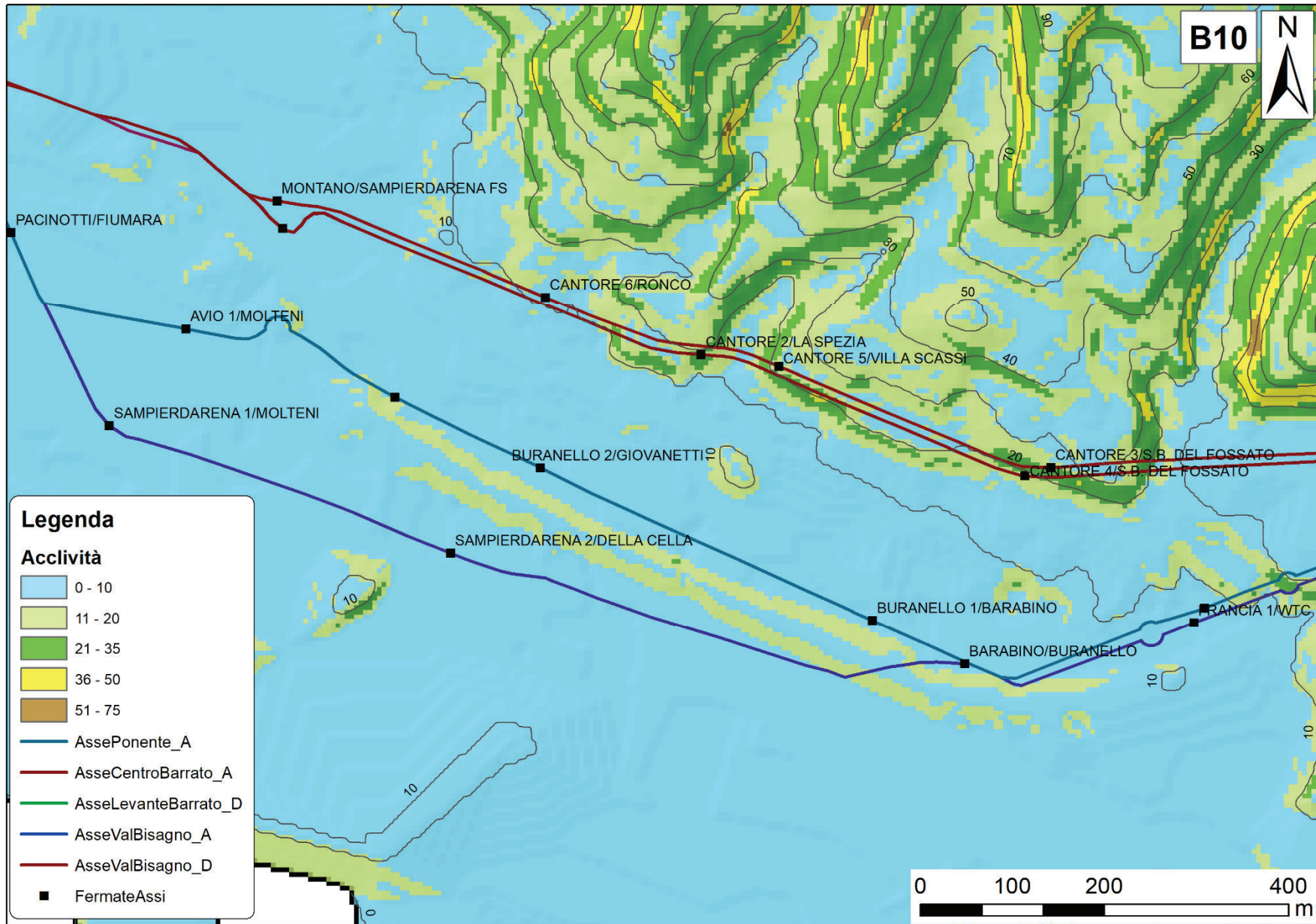








B10



Legenda

Acclività

- 0 - 10
- 11 - 20
- 21 - 35
- 36 - 50
- 51 - 75

— AssePonente_A

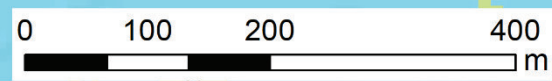
— AsseCentroBarrato_A

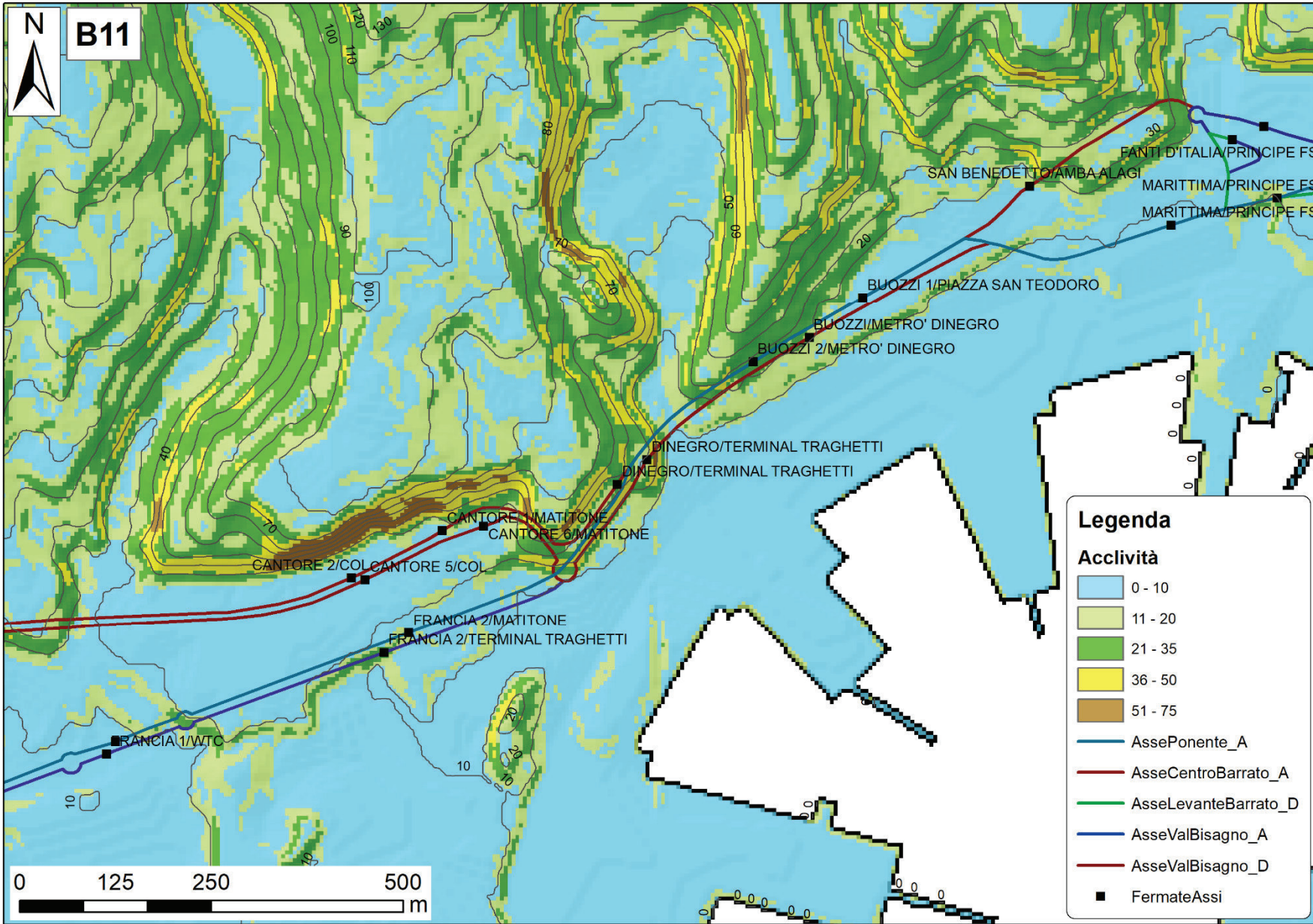
— AsseLevanteBarrato_D

— AsseValBisagno_A

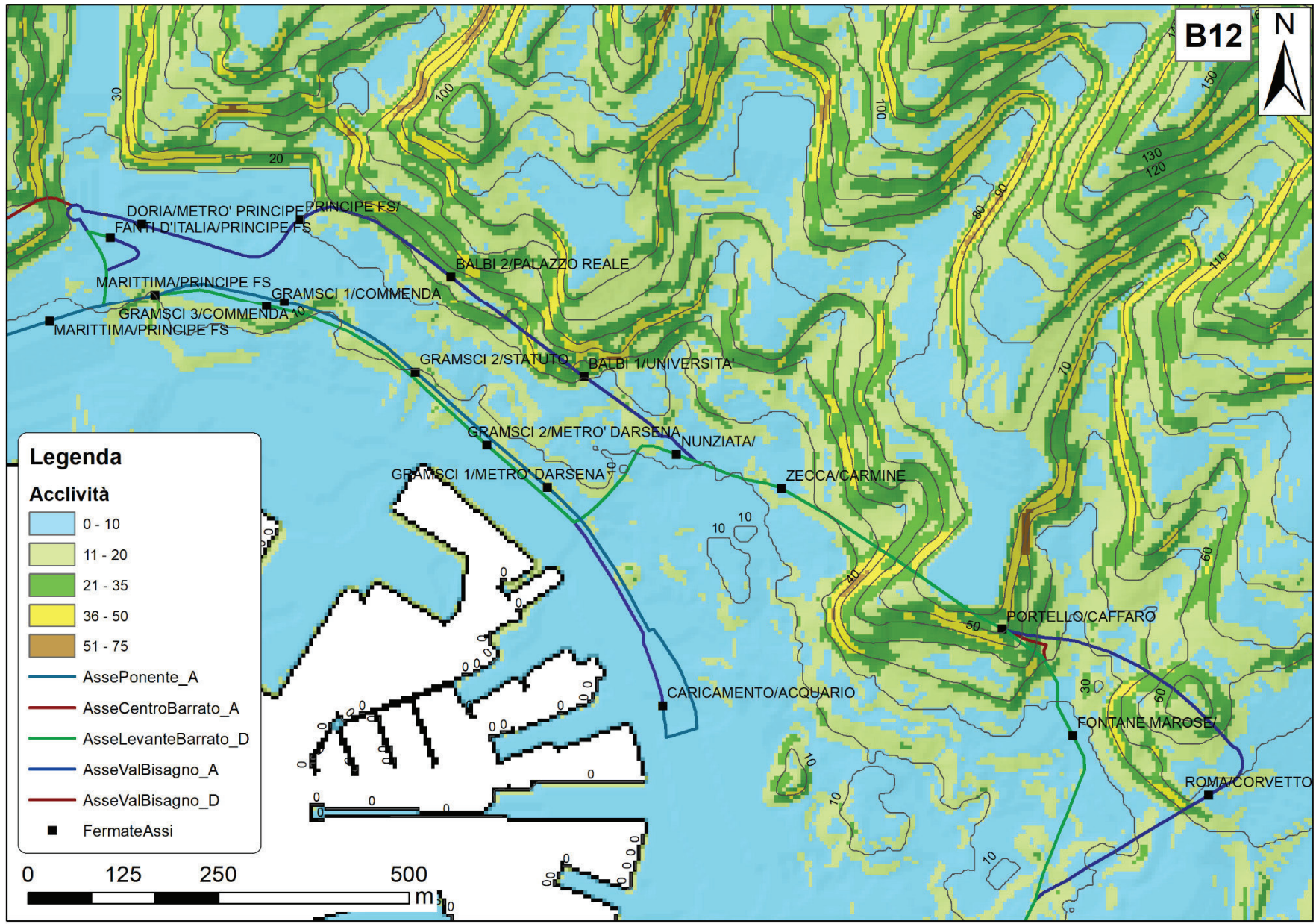
— AsseValBisagno_D

■ FermateAssi





B12

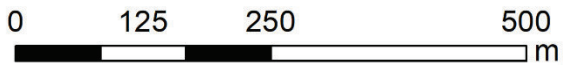


Legenda

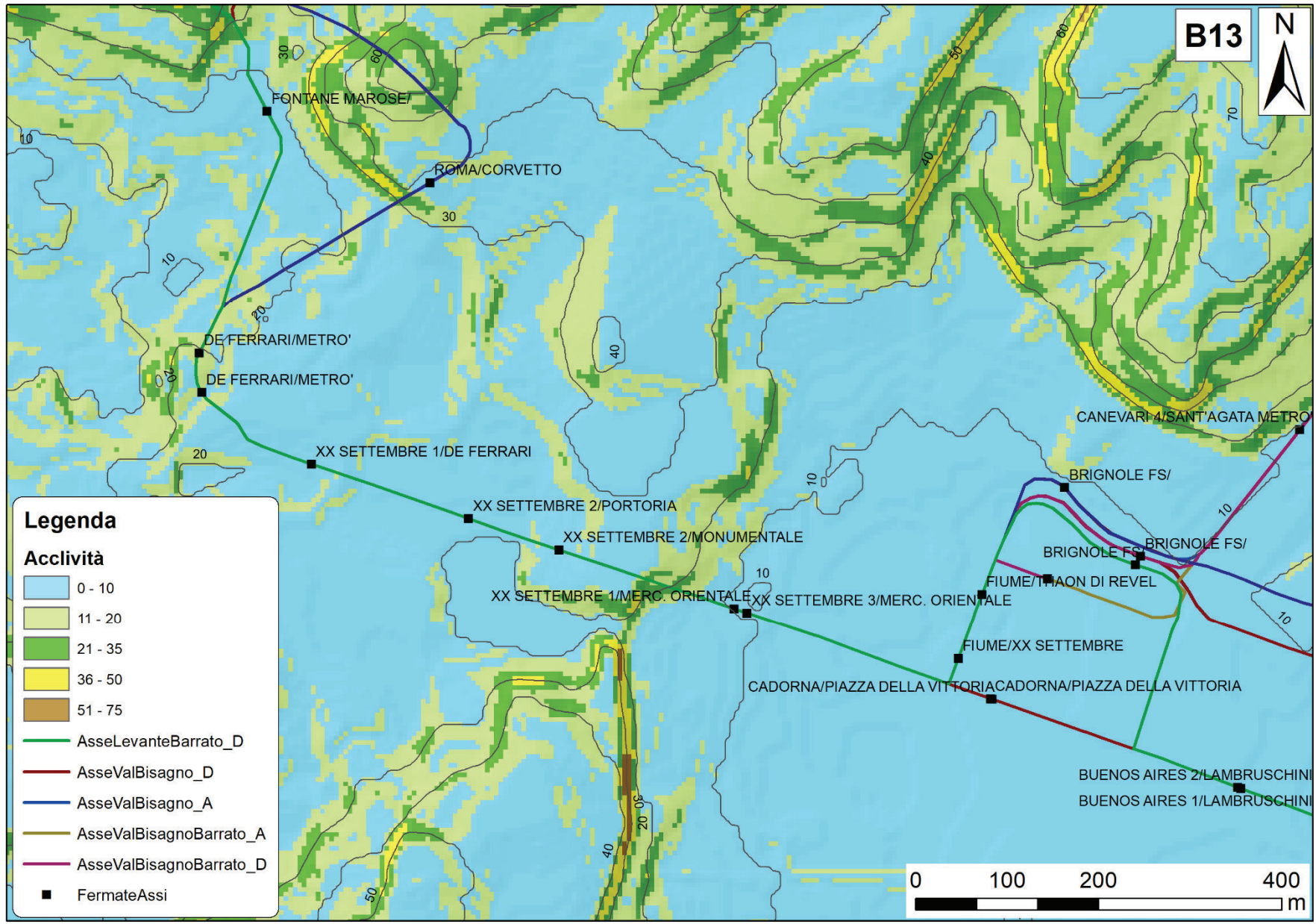
Acclività

- 0 - 10
- 11 - 20
- 21 - 35
- 36 - 50
- 51 - 75

- AssePonente_A
- AsseCentroBarrato_A
- AsseLevanteBarrato_D
- AsseValBisagno_A
- AsseValBisagno_D
- Fermate Assi



B13

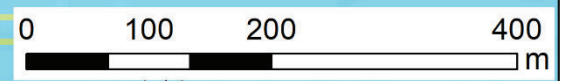


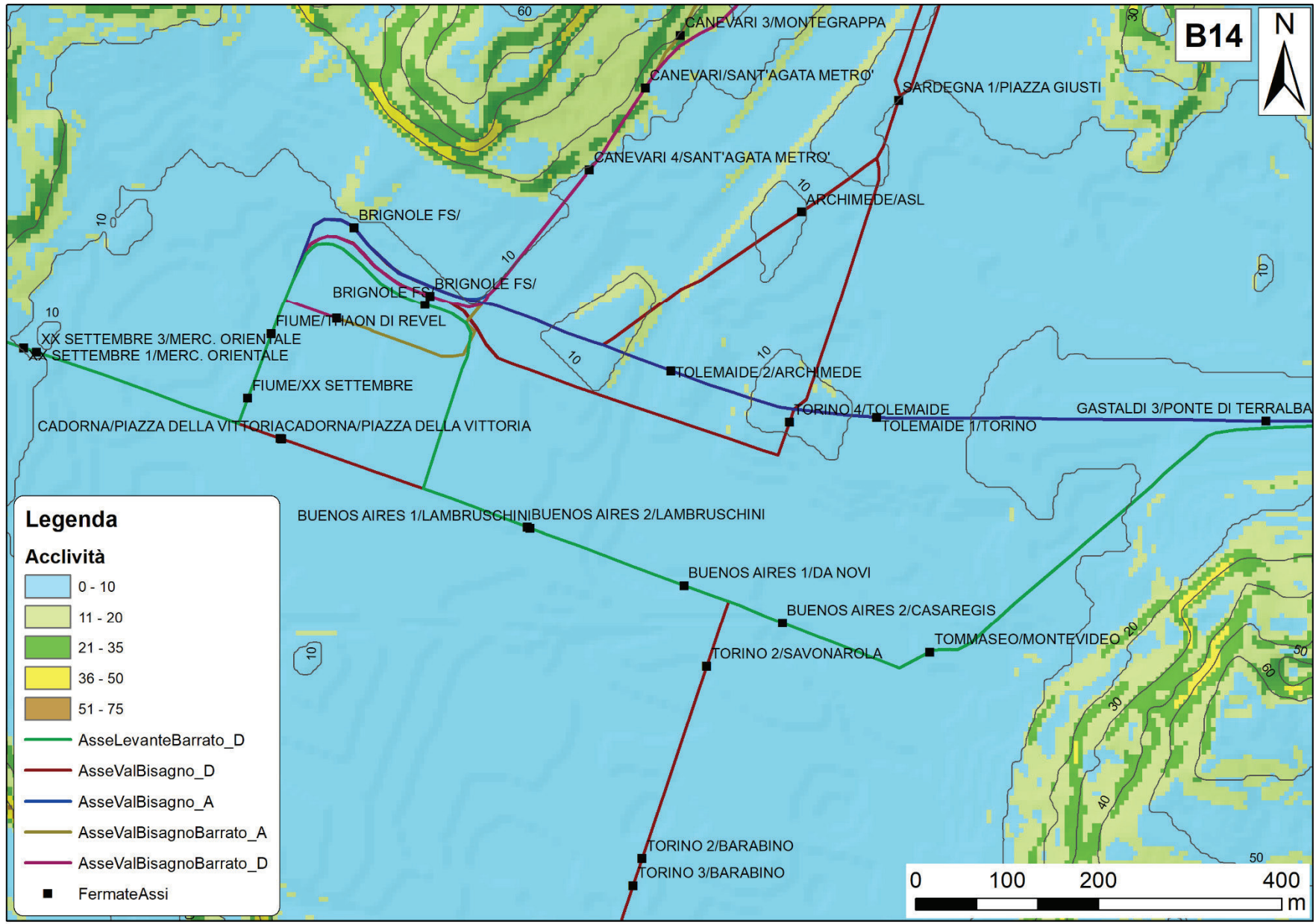
Legenda

Acclività

- 0 - 10
- 11 - 20
- 21 - 35
- 36 - 50
- 51 - 75

- AsseLevanteBarrato_D
- AsseValBisagno_D
- AsseValBisagno_A
- AsseValBisagnoBarrato_A
- AsseValBisagnoBarrato_D
- FermateAssi





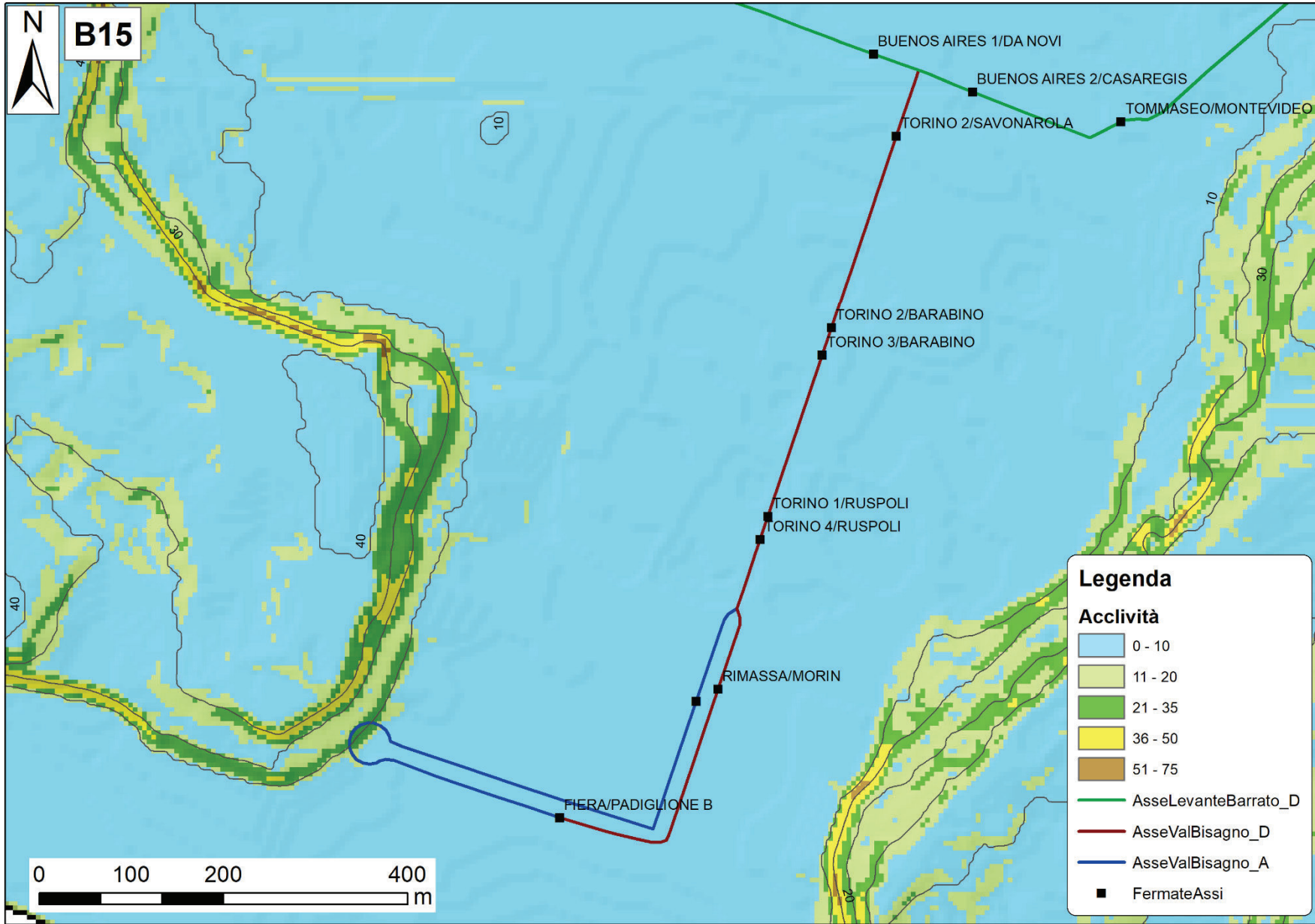
Legenda

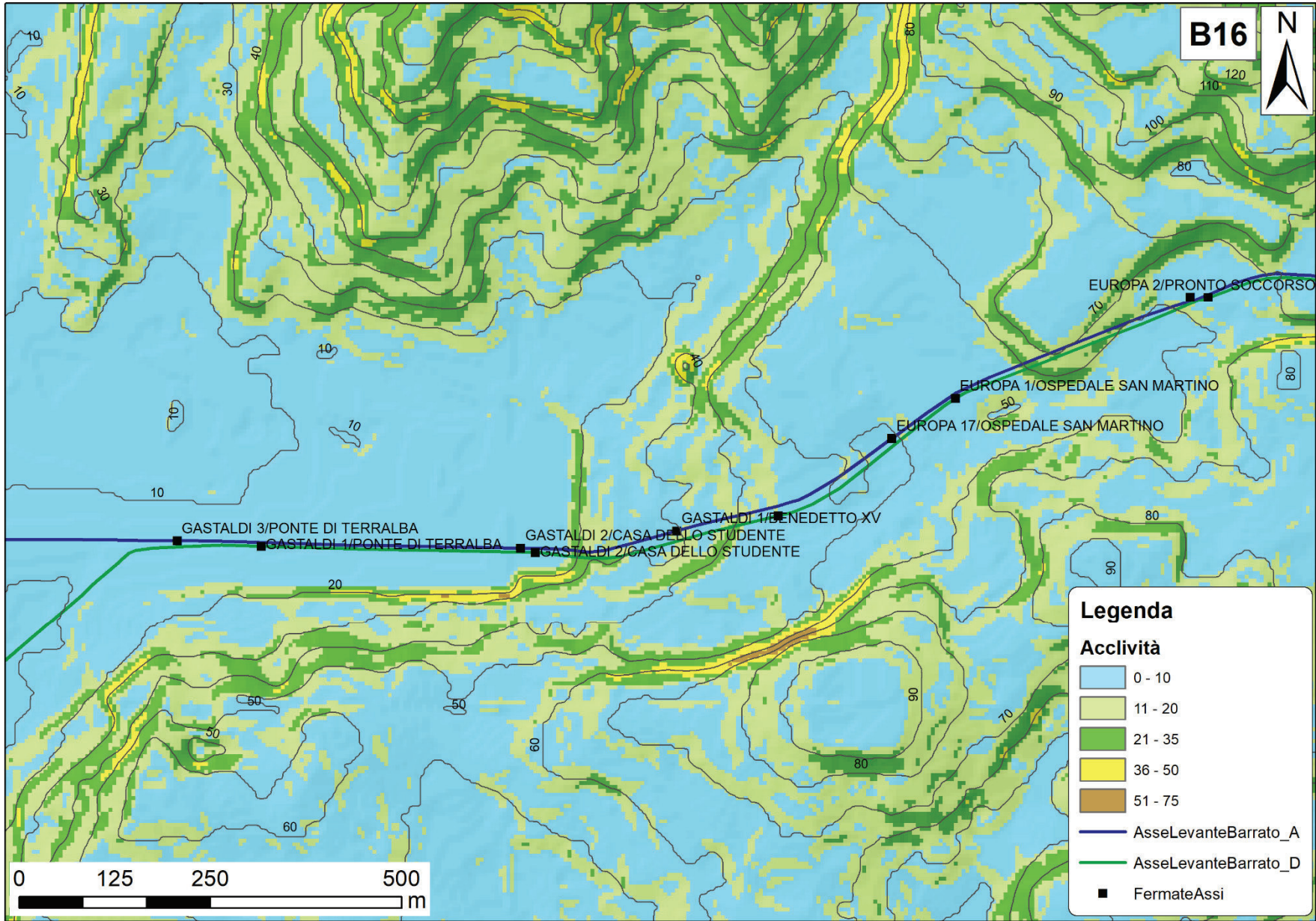
Acclività

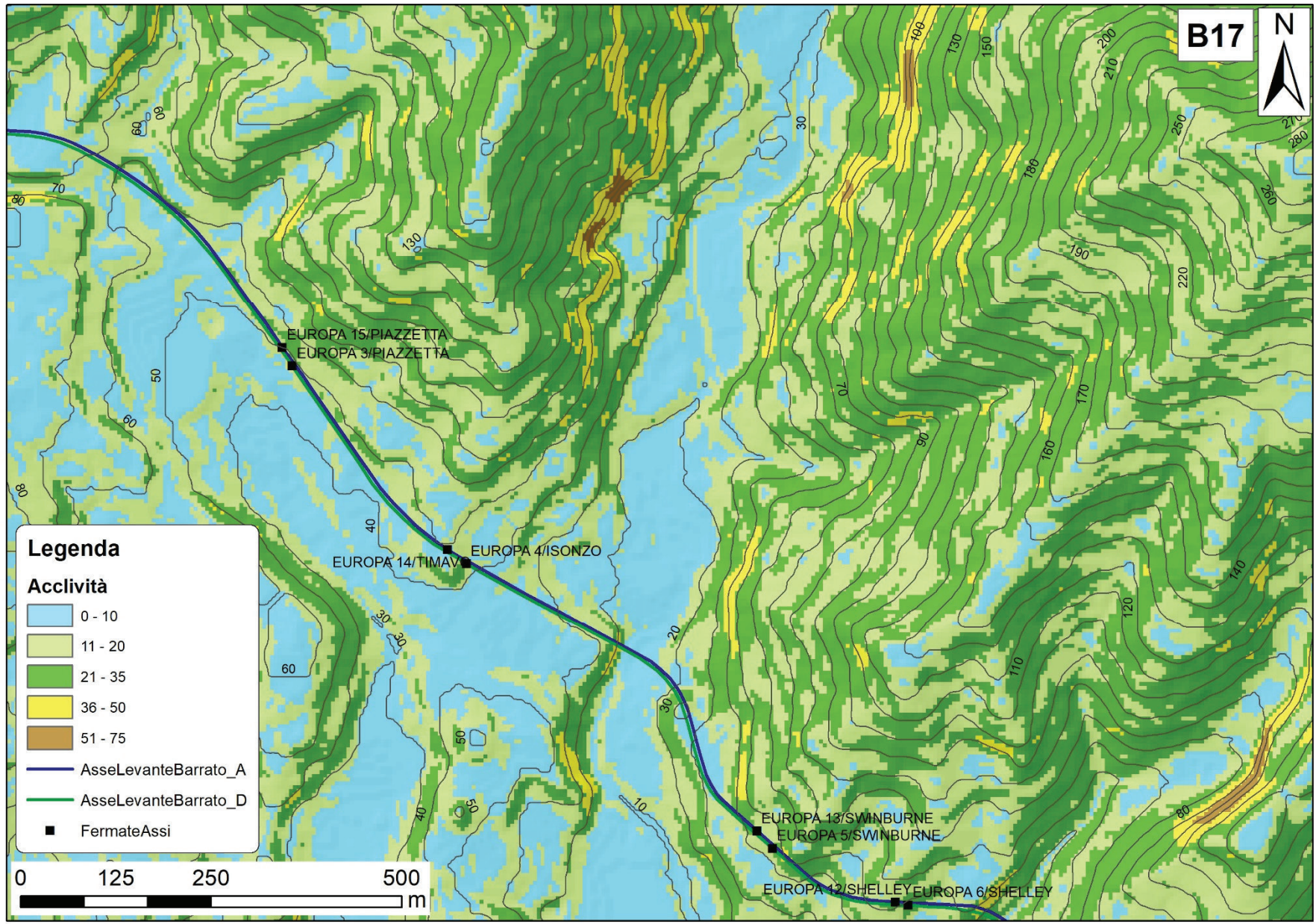
- 0 - 10
- 11 - 20
- 21 - 35
- 36 - 50
- 51 - 75

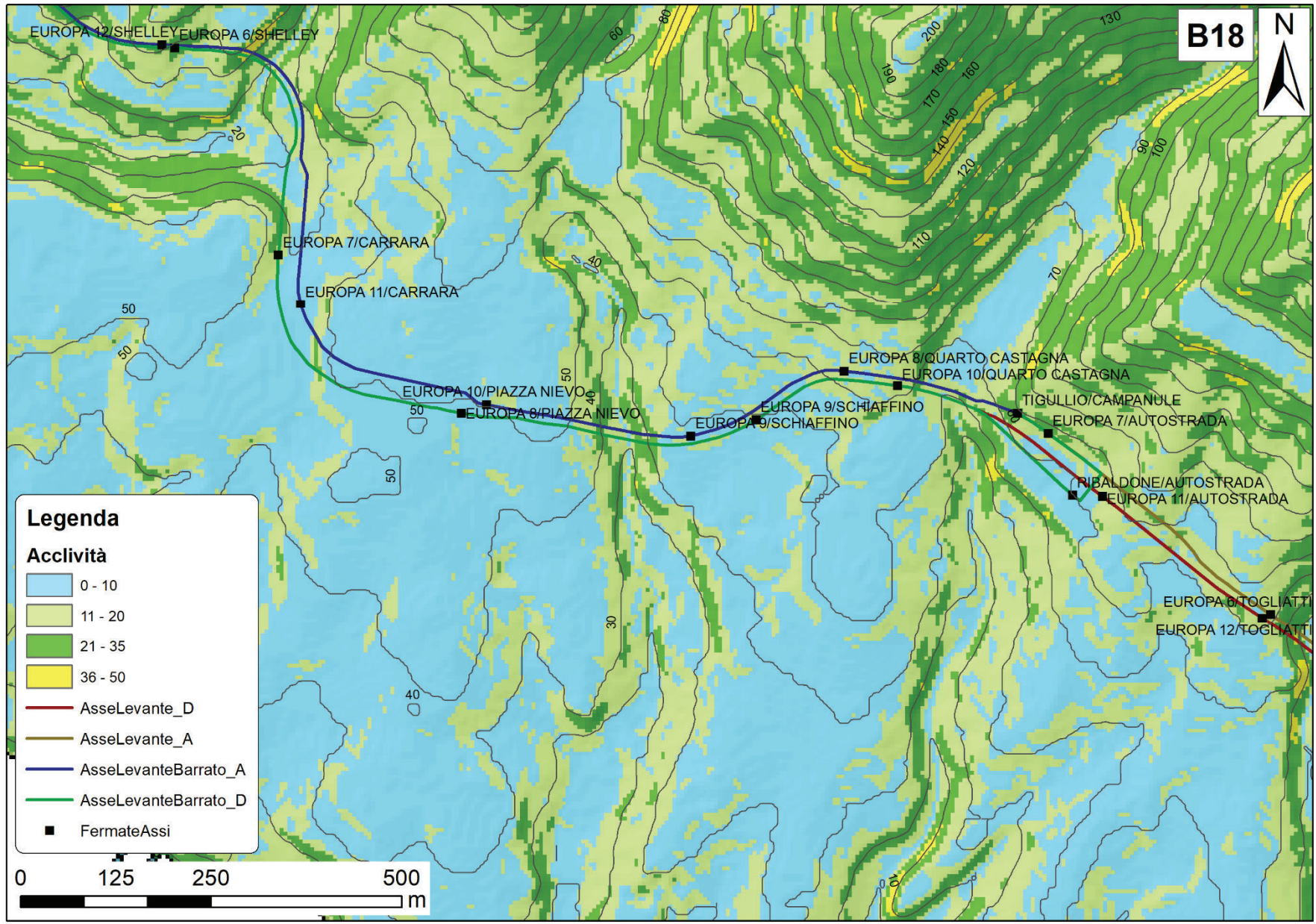
- AsseLevanteBarrato_D
- AsseValBisagno_D
- AsseValBisagno_A
- AsseValBisagnoBarrato_A
- AsseValBisagnoBarrato_D
- FermateAssi











EUROPA 12/SHELLEY EUROPA 6/SHELLEY

EUROPA 7/CARRARA

EUROPA 11/CARRARA

EUROPA 10/PIAZZA NIEVO

EUROPA 8/PIAZZA NIEVO

EUROPA 9/SCHIAFFINO

EUROPA 8/QUARTO CASTAGNA

EUROPA 10/QUARTO CASTAGNA

TIGULLIO/CAMPANULE

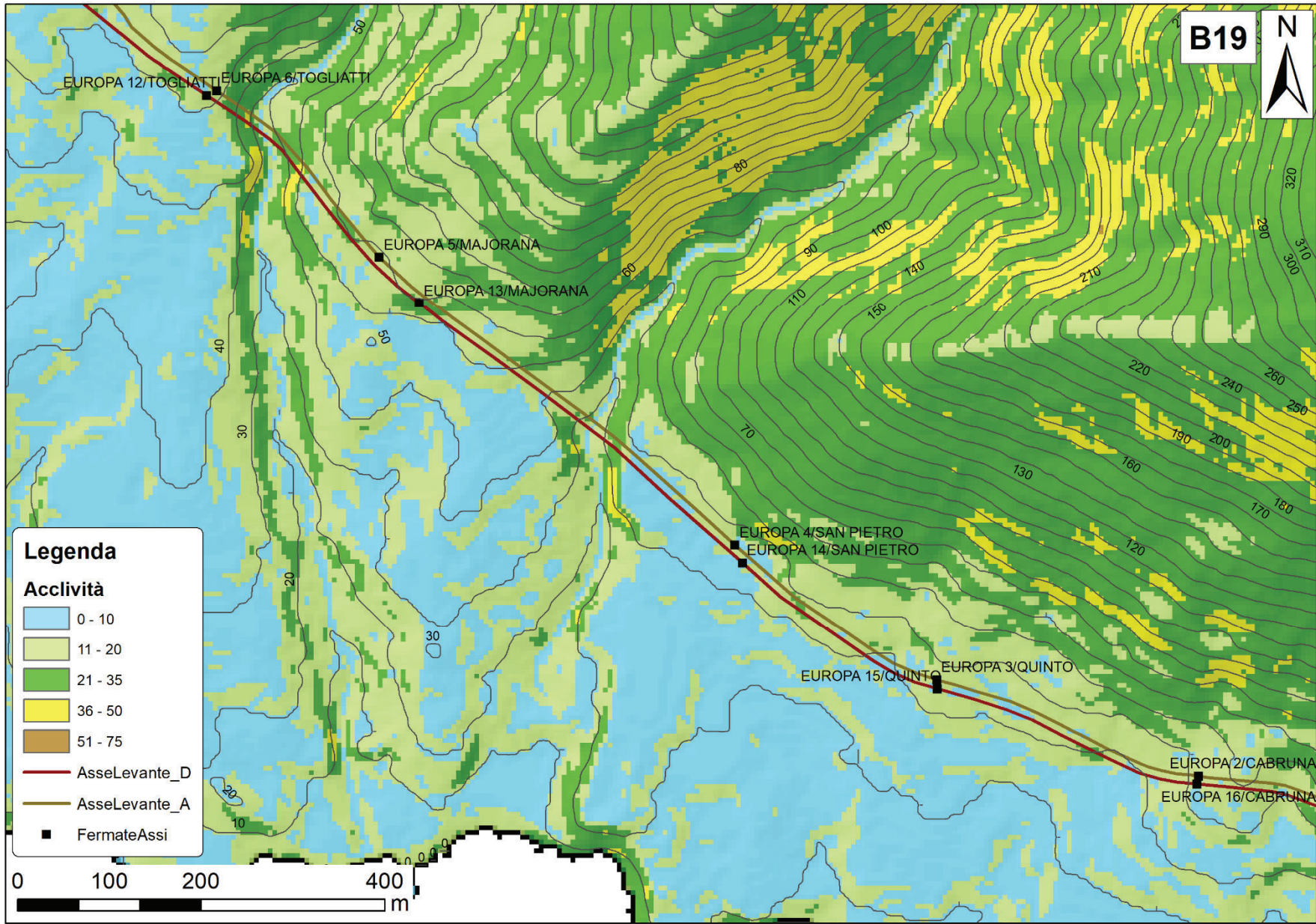
EUROPA 7/AUTOSTRADA

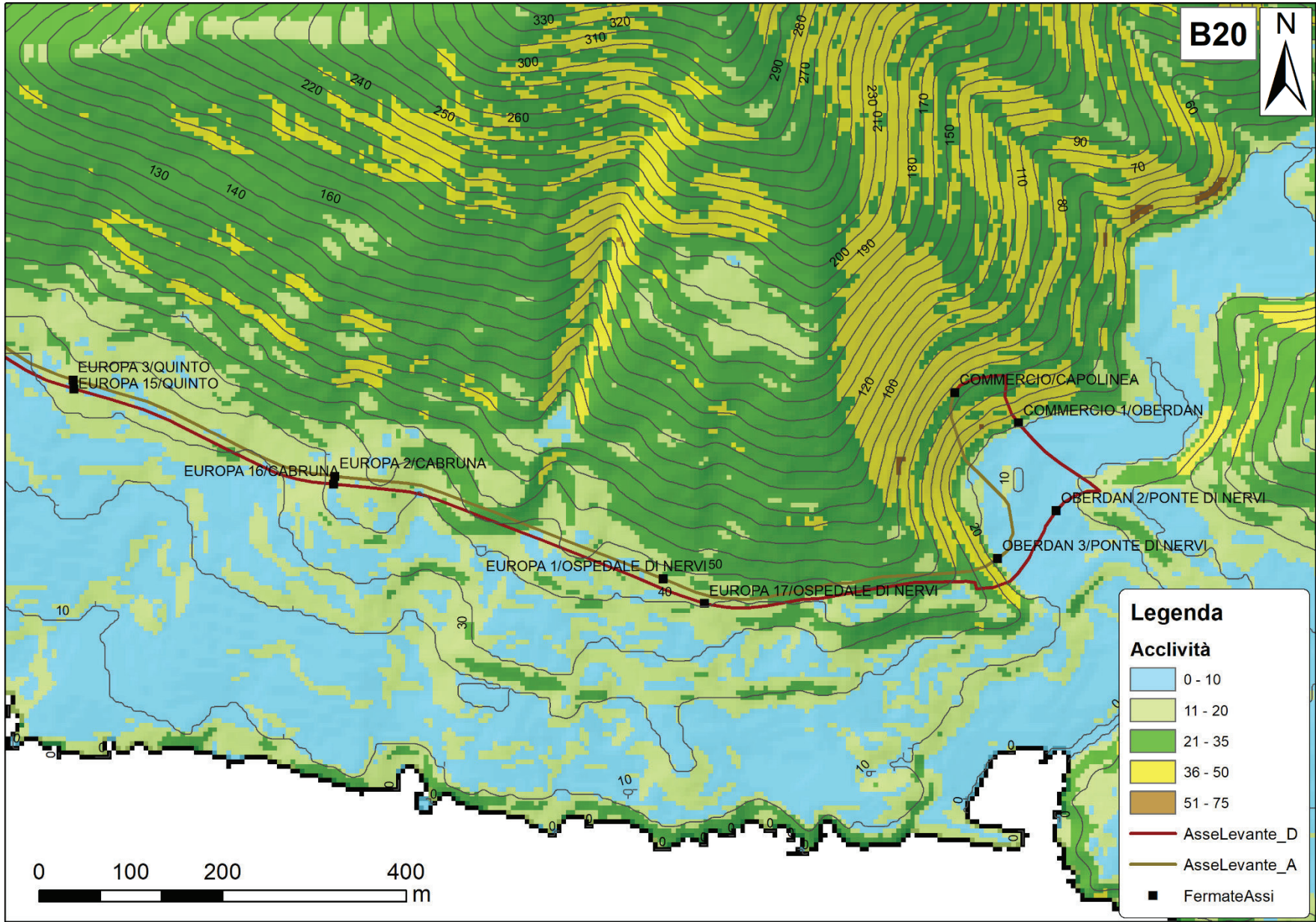
RIBALDONE/AUTOSTRADA

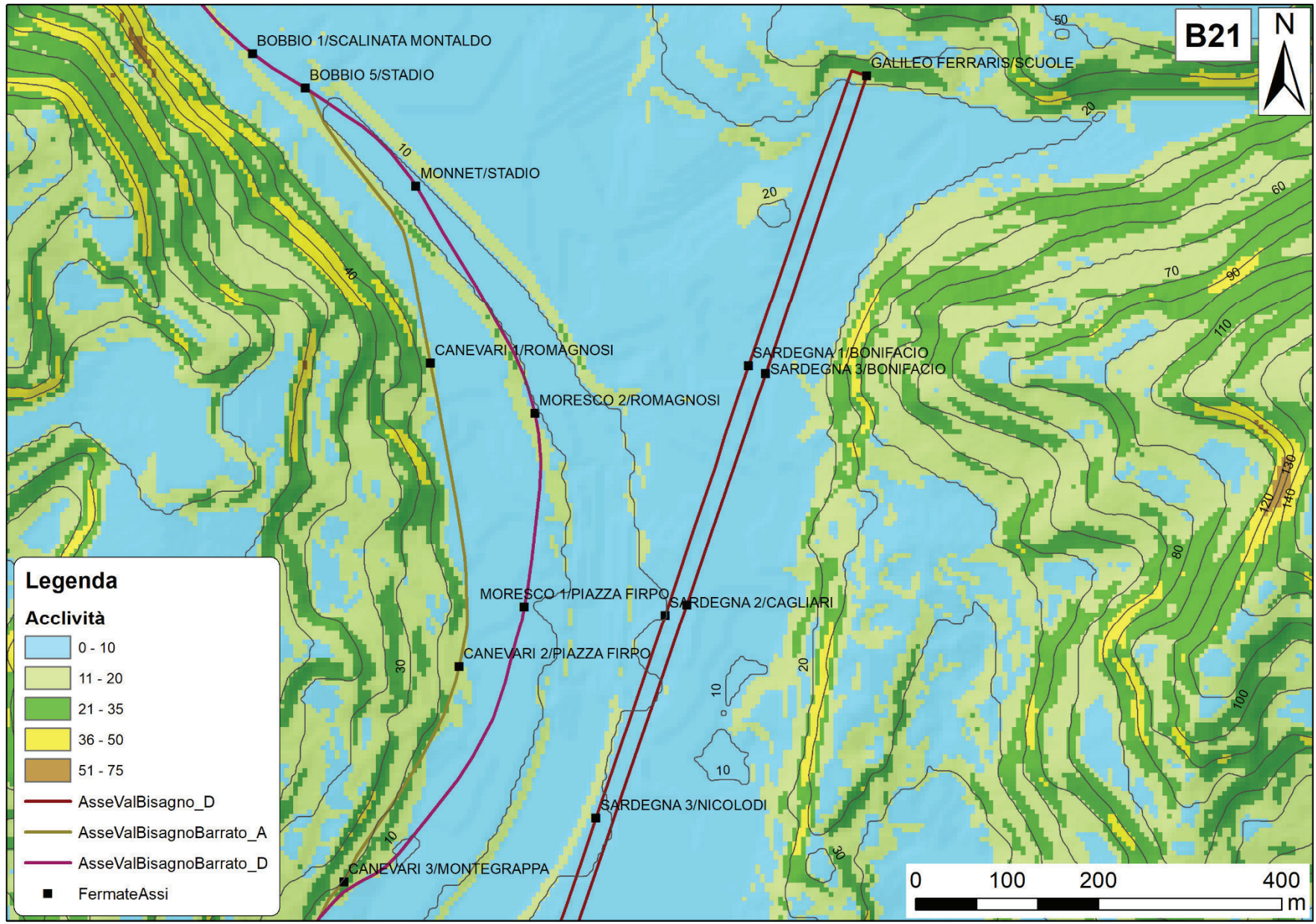
EUROPA 11/AUTOSTRADA

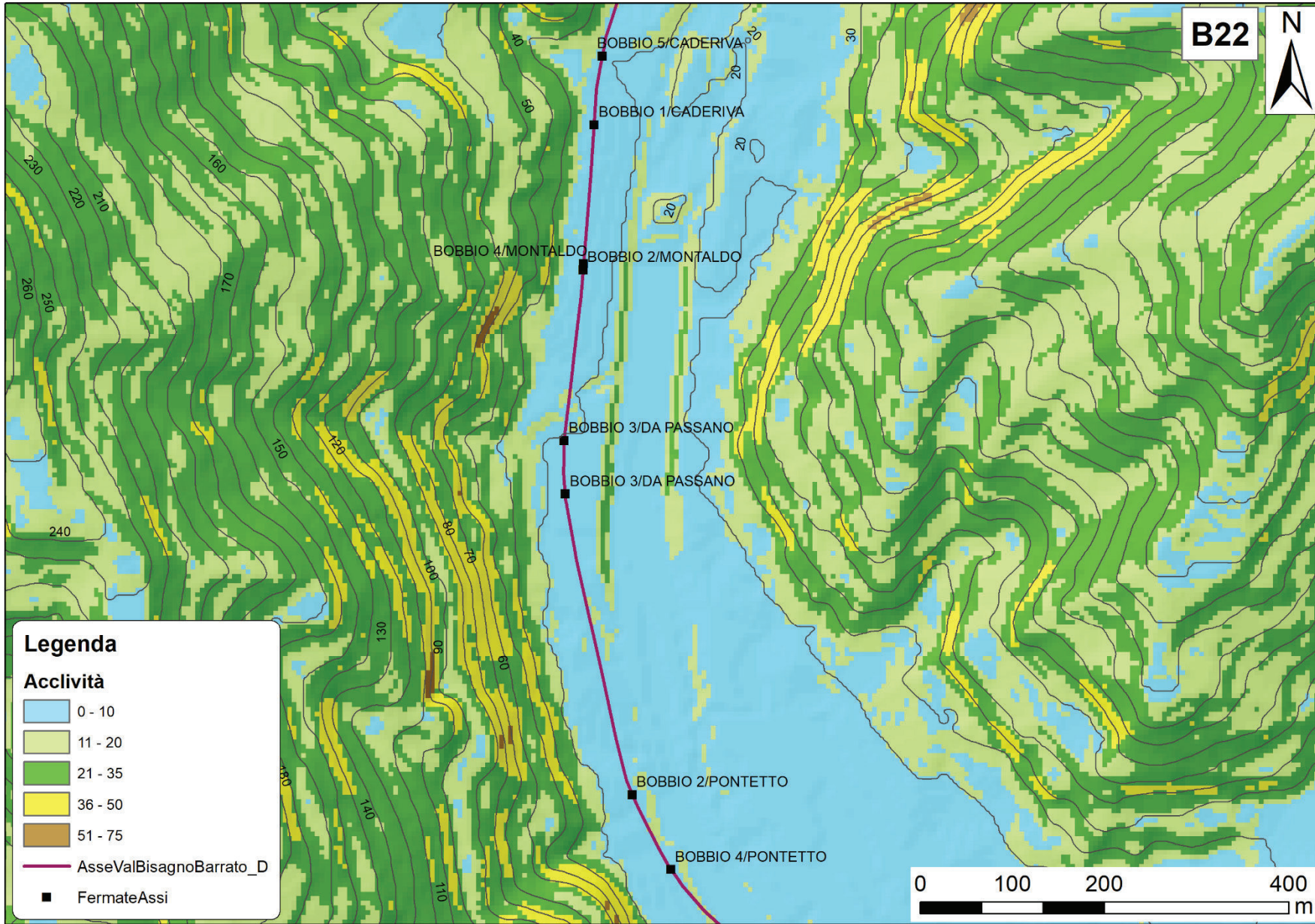
EUROPA 6/TOGLIATTI

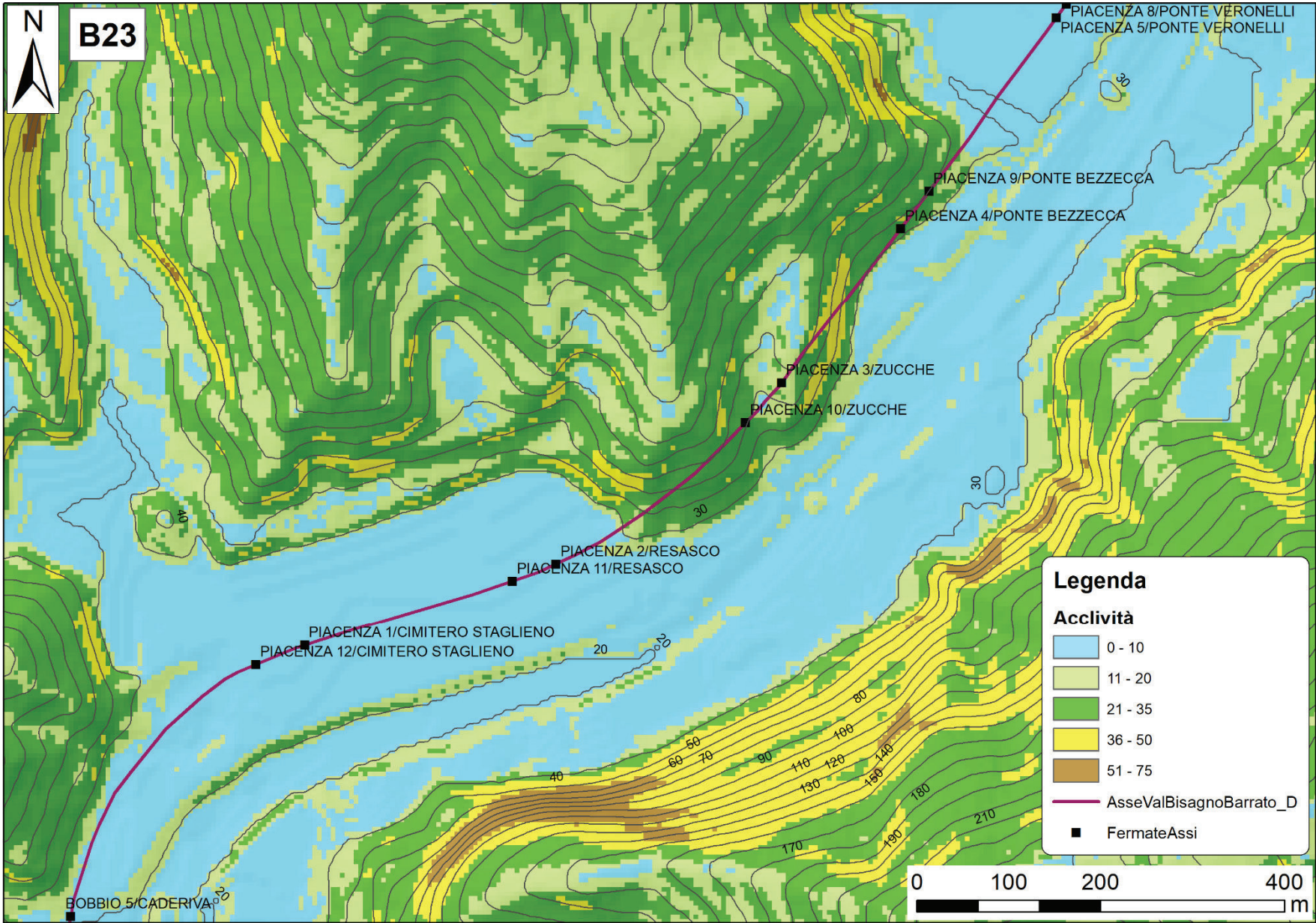
EUROPA 12/TOGLIATTI

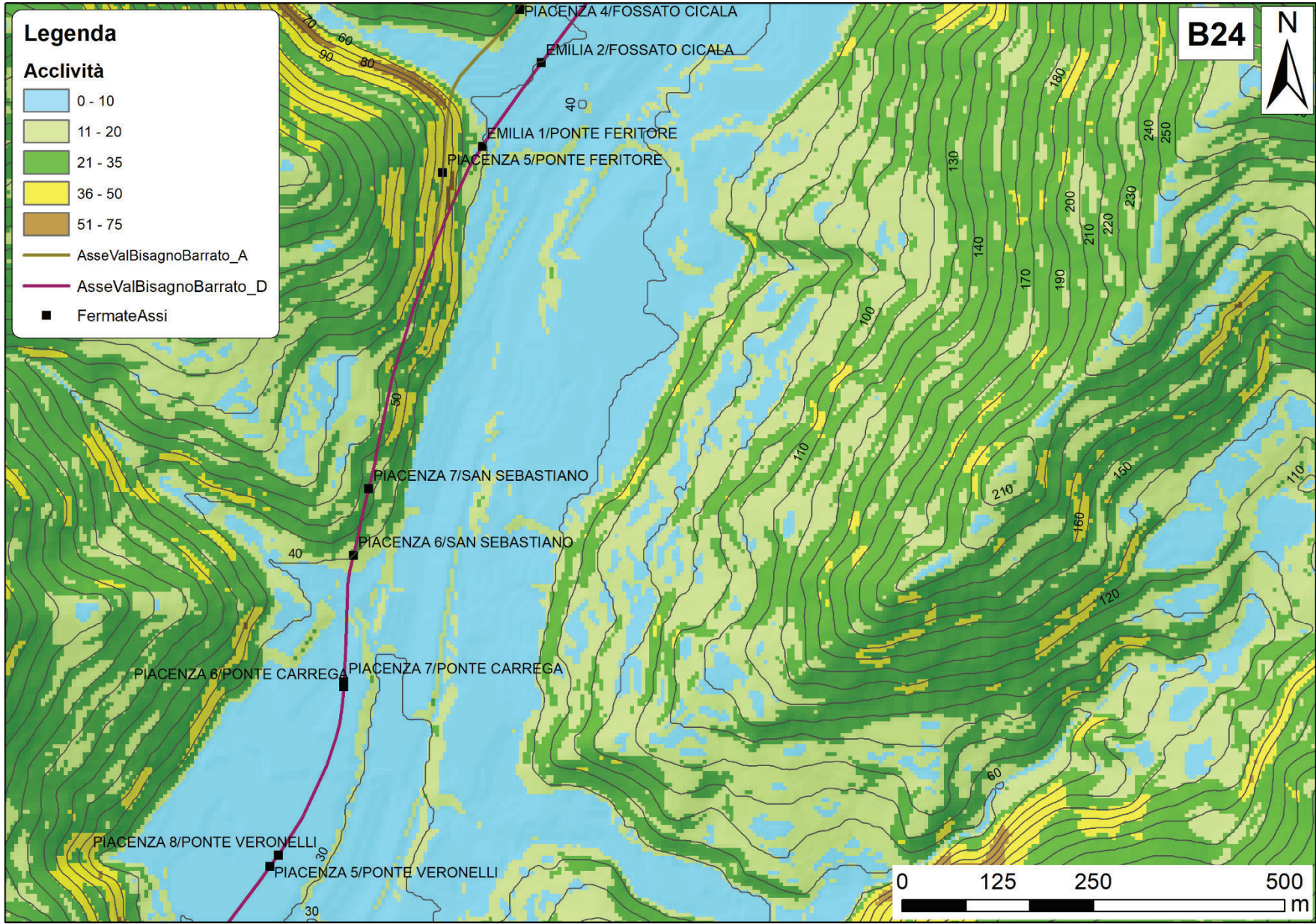


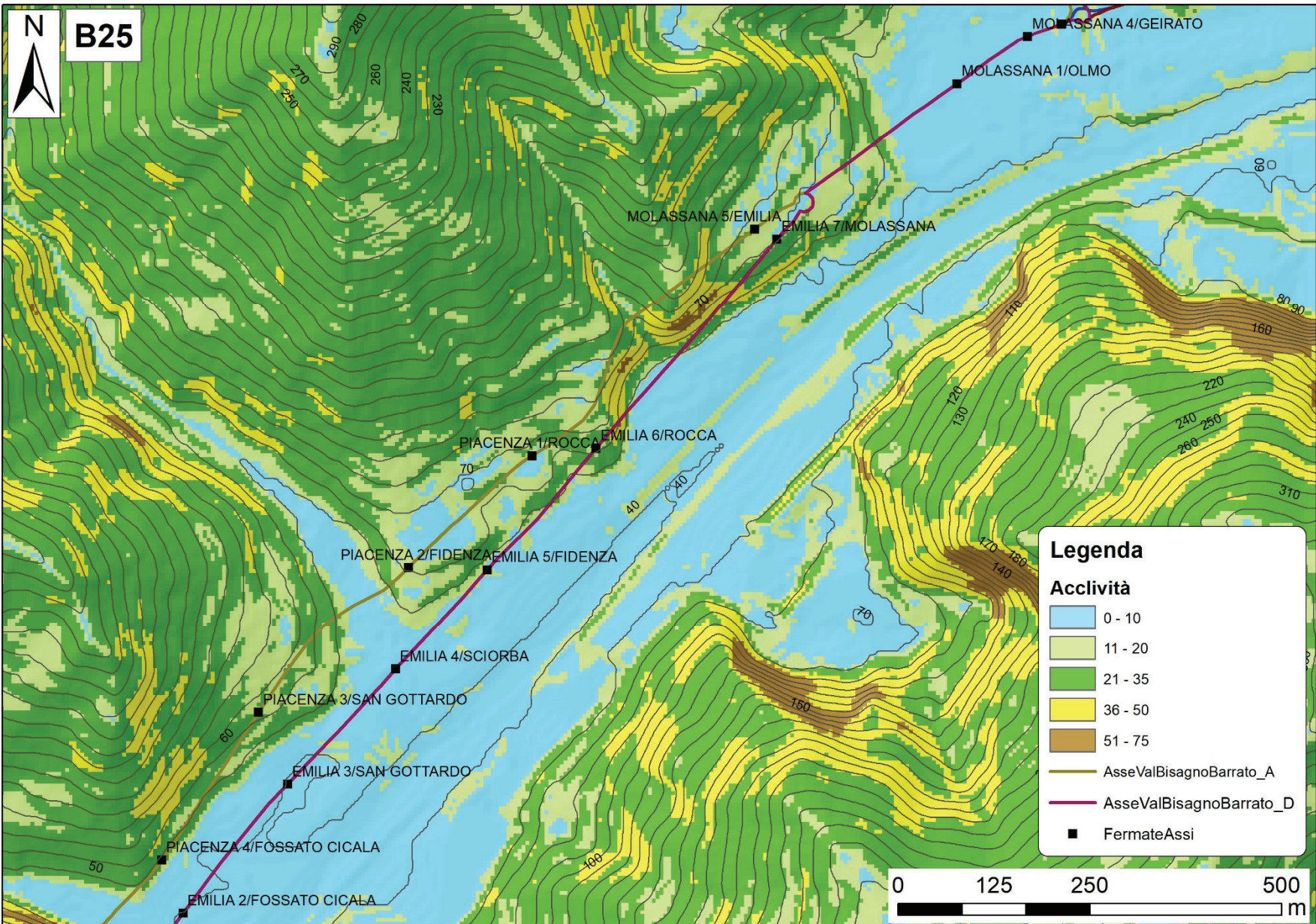




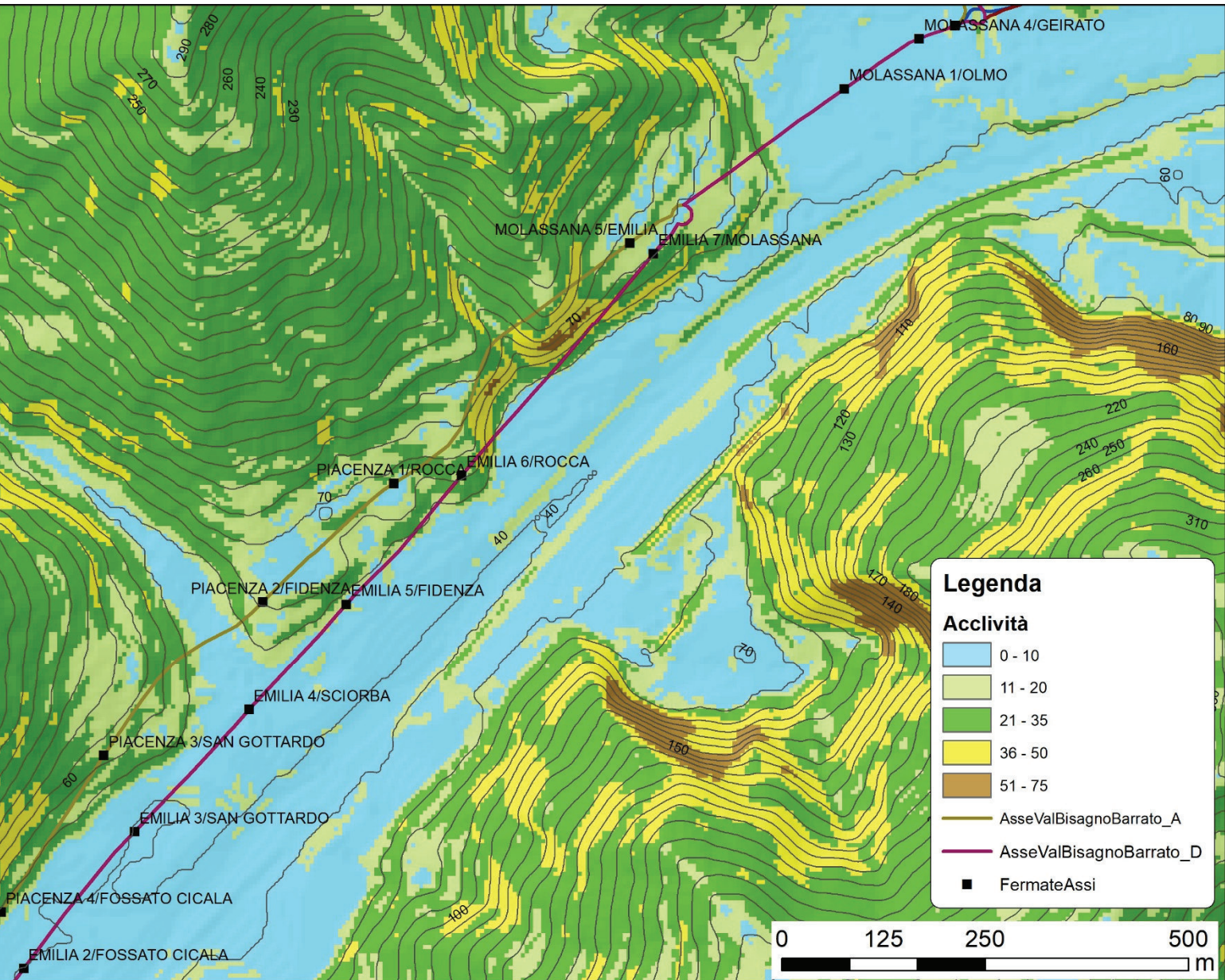








B25



MOLASSANA 4/GEIRATO

MOLASSANA 1/OLMO

MOLASSANA 5/EMILIA

EMILIA 7/MOLASSANA

PIACENZA 1/ROCCA

EMILIA 6/ROCCA

PIACENZA 2/FIDENZA

EMILIA 5/FIDENZA

EMILIA 4/SCIORBA

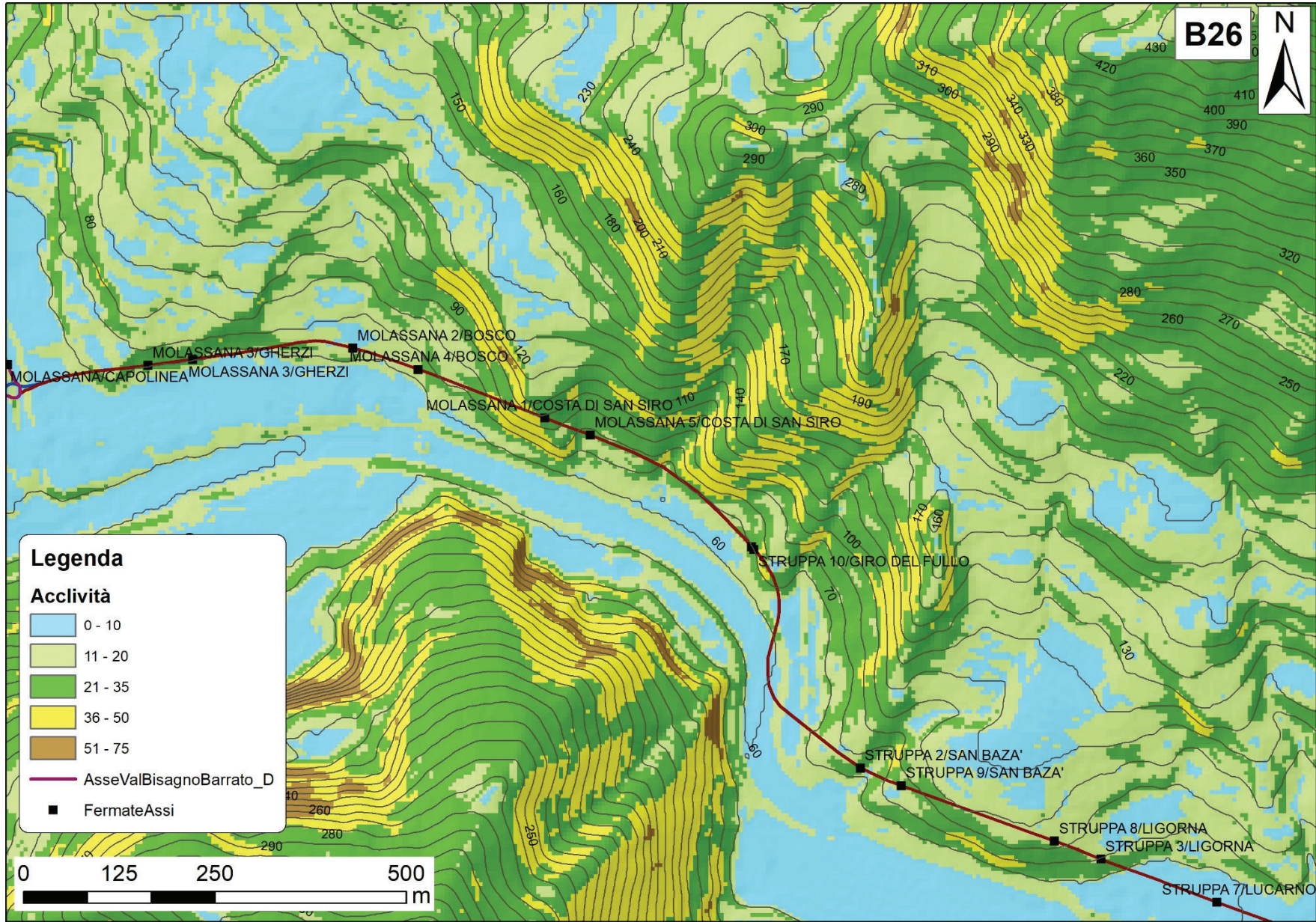
PIACENZA 3/SAN GOTTARDO

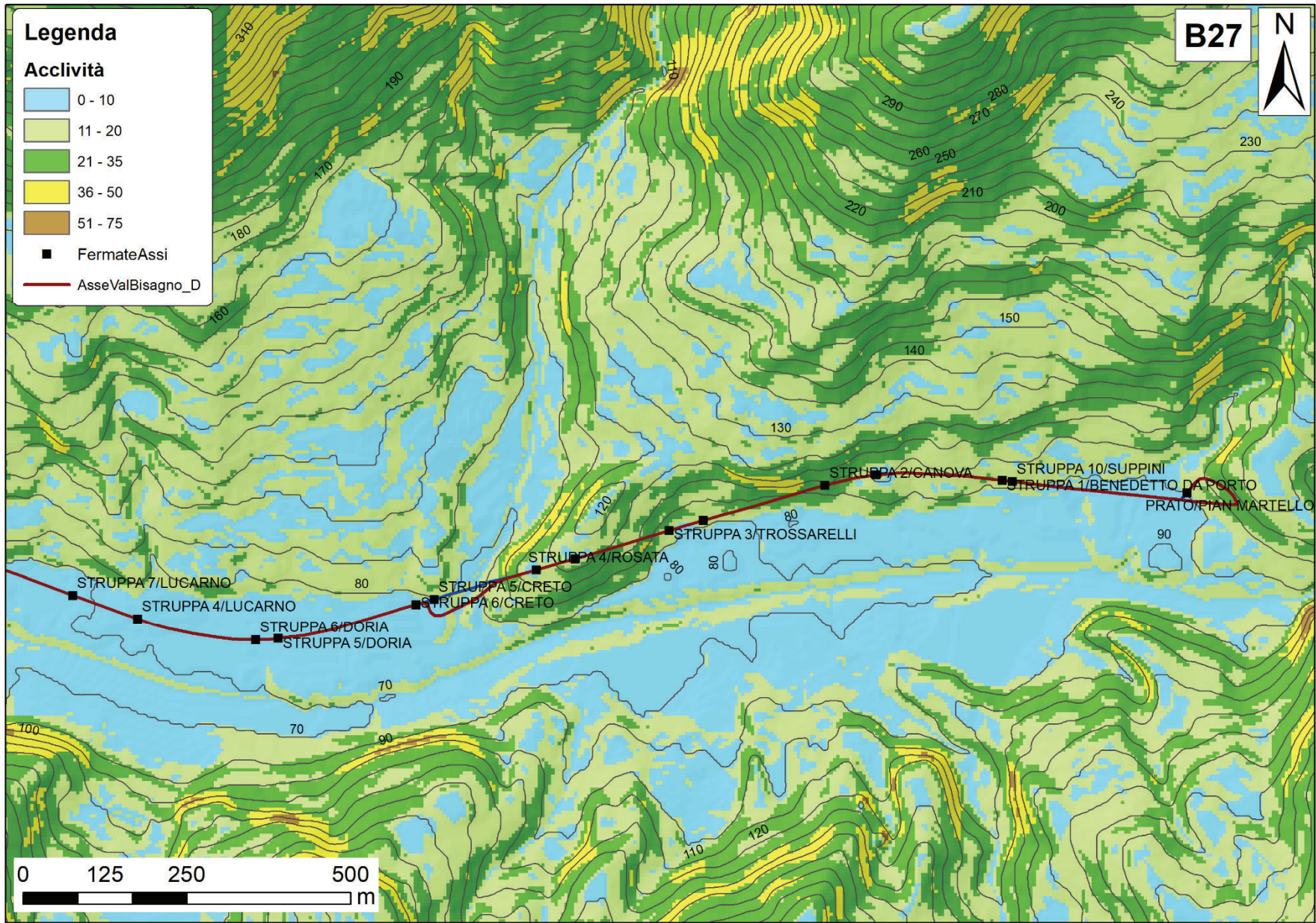
EMILIA 3/SAN GOTTARDO

PIACENZA 4/FOSSATO CICALA

EMILIA 2/FOSSATO CICALA







Appendice II: Carta della suscettività al dissesto

Sono di seguito riportate le carte della suscettività al dissesto per l'intorno del tracciato della filovia in progetto. È presente una carta generale a piccola scala dell'intero tracciato nell'abitato di Genova e 28 carte a grande scala (1:5000/6000) denominate da B00 a B27.

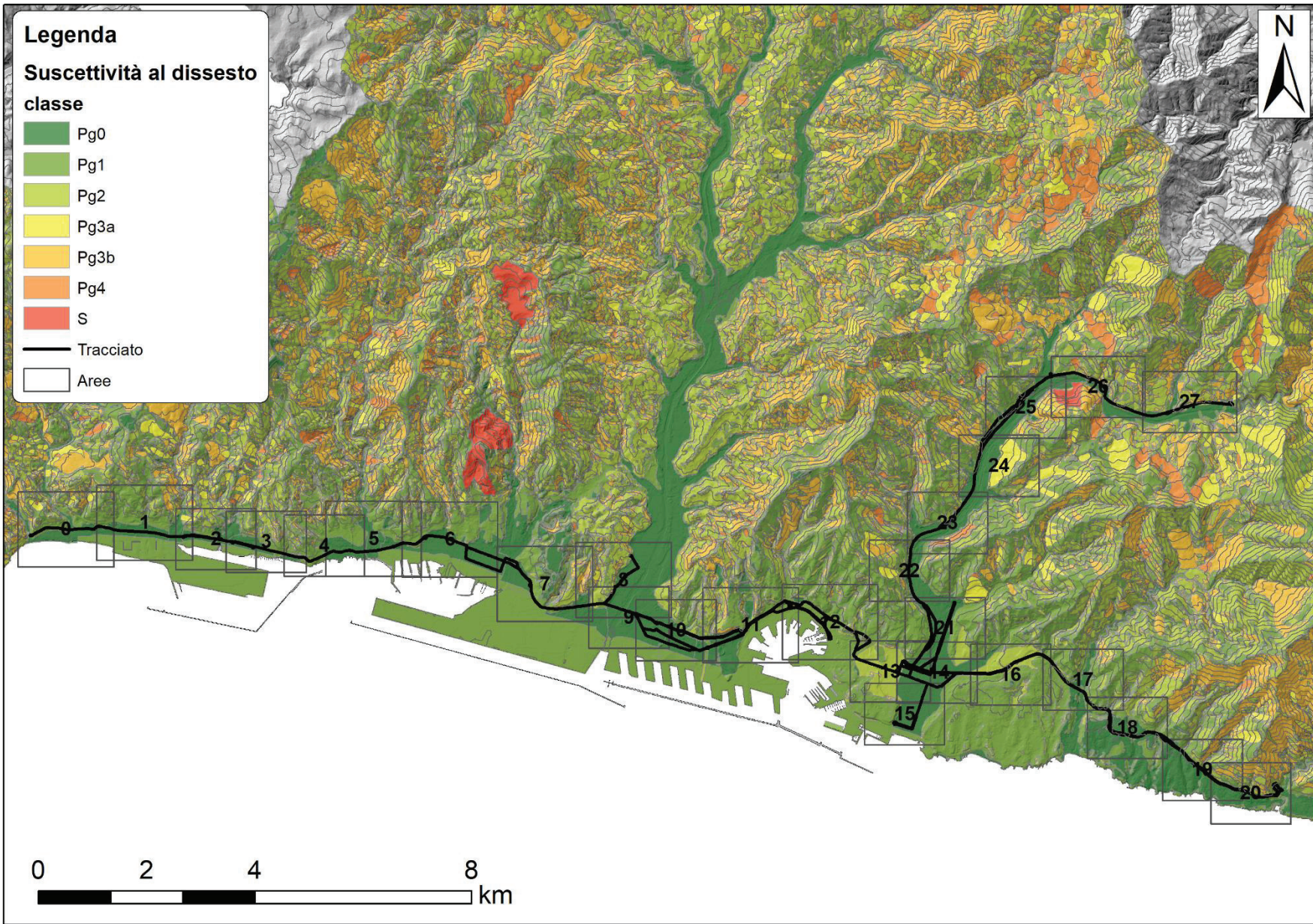
Le carte mostrano 5 classi di suscettività al dissesto da valori molto bassi a molto elevati, elencati in Tabella 1.

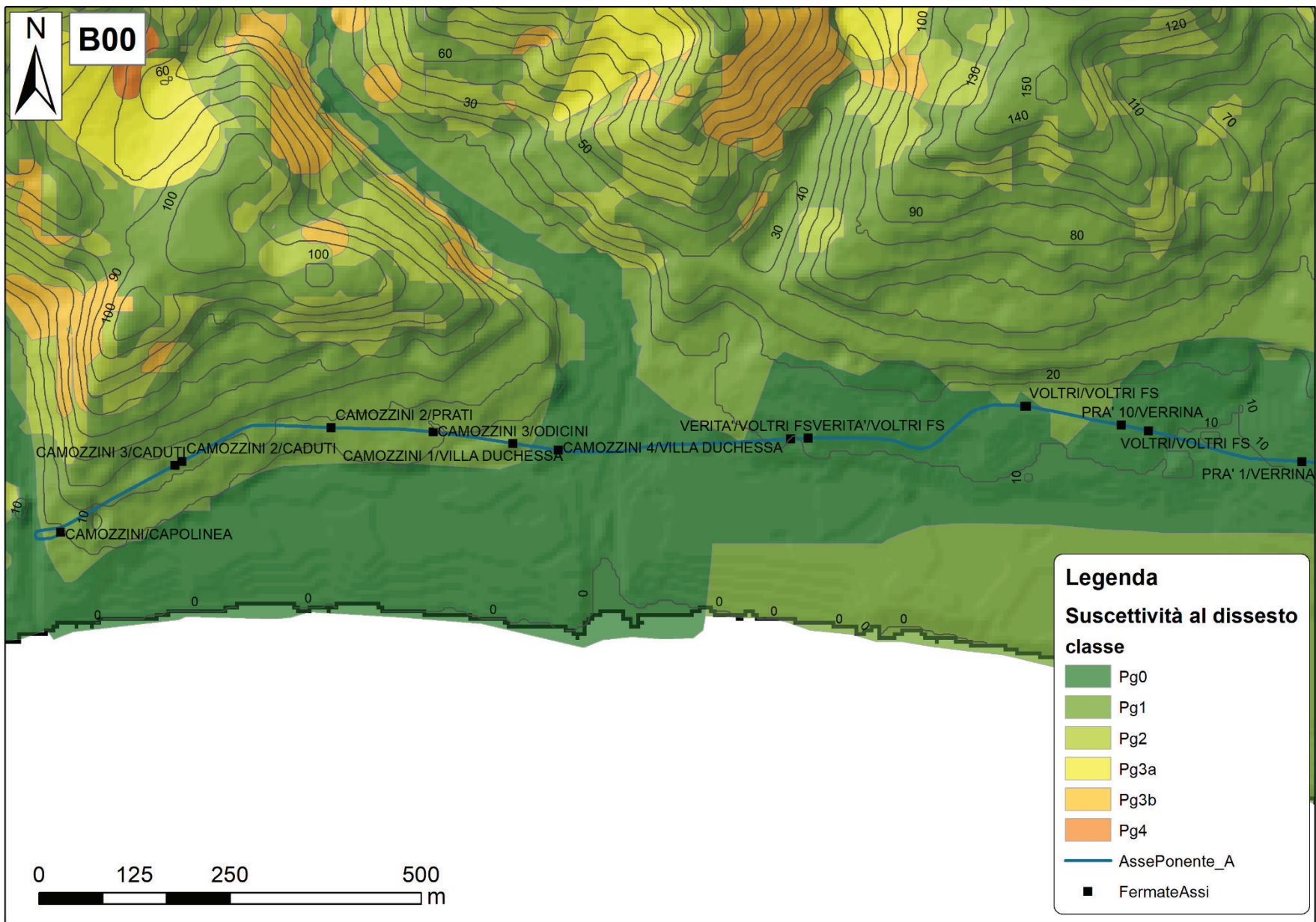
Tabella 1 – Classi di suscettività al dissesto (Piano di Stralcio di Bacino, aggiornato nel 2021)

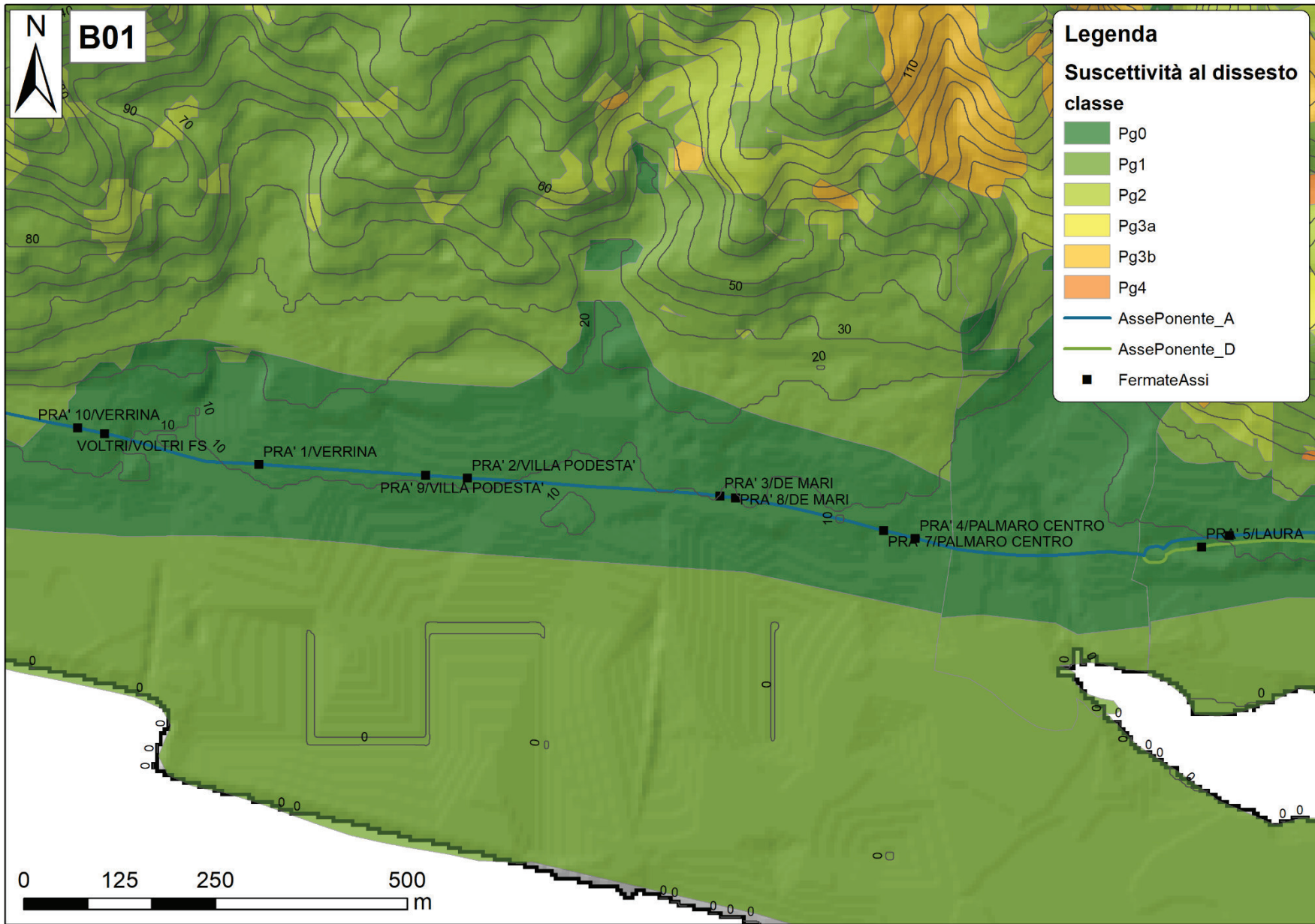
CLASSE DI SUSCETTIVITÀ AL DISSESTO	Sigla	Esempi
Molto bassa	Pg0	
Bassa	Pg1	
Media	Pg2	
Elevata	Pg3a	Frana o area a franosità diffusa quiescente,
	Pg3b	Frana relitta o stabilizzata, DGPV, frana superficiale
Molto elevata	Pg4	Frana o area a franosità diffusa attiva

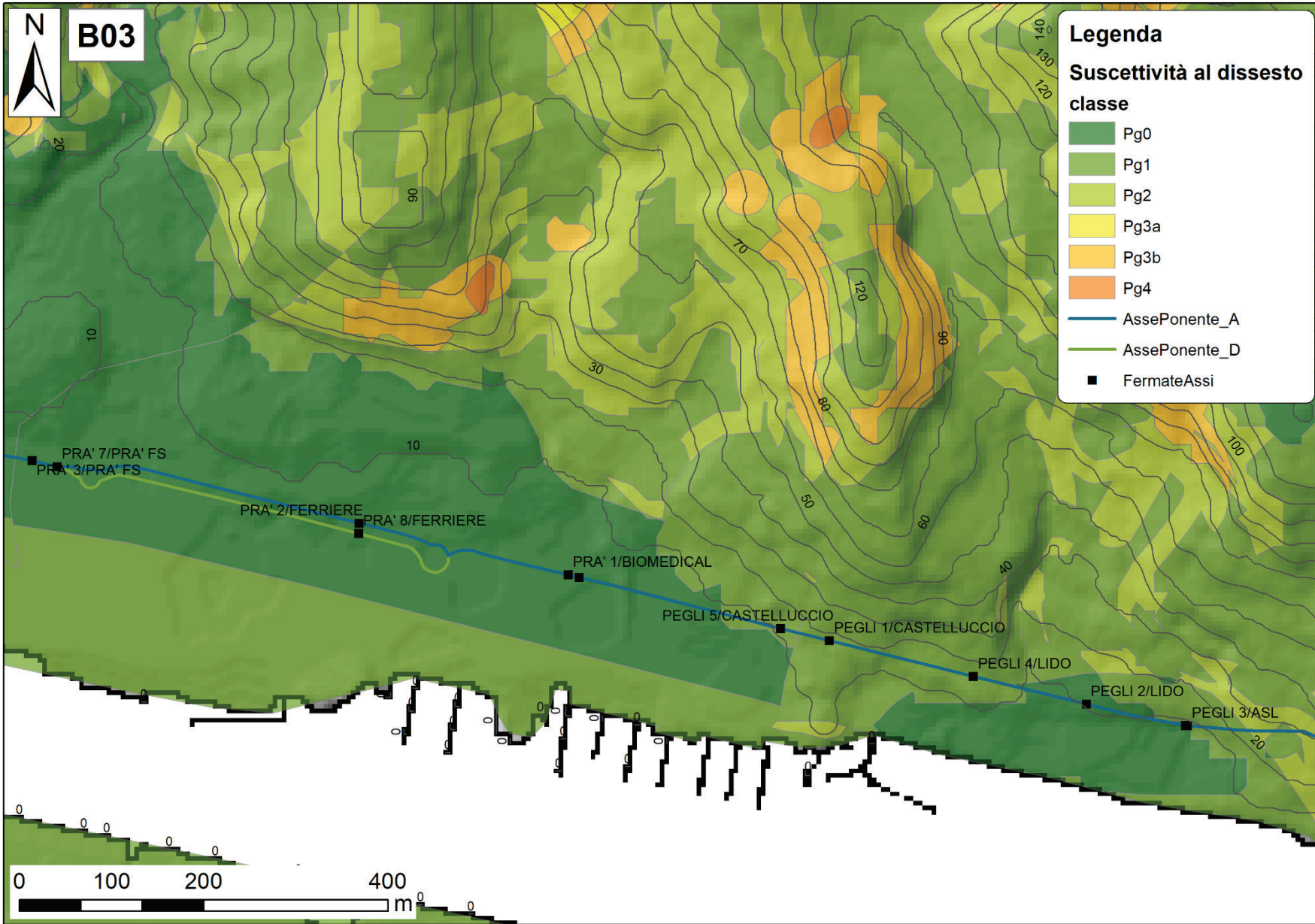
Come si evince dalle tavole, il tracciato interseca principalmente zone a suscettività di dissesto bassa o molto bassa. Sono presenti delle intersezioni con zone a suscettività elevata Pg3b nelle tavole B08, B10, B23, B25, B26, B27. Tali aree potrebbero rappresentare l'intersezione del tracciato con aree in frana relitte o stabilizzate.

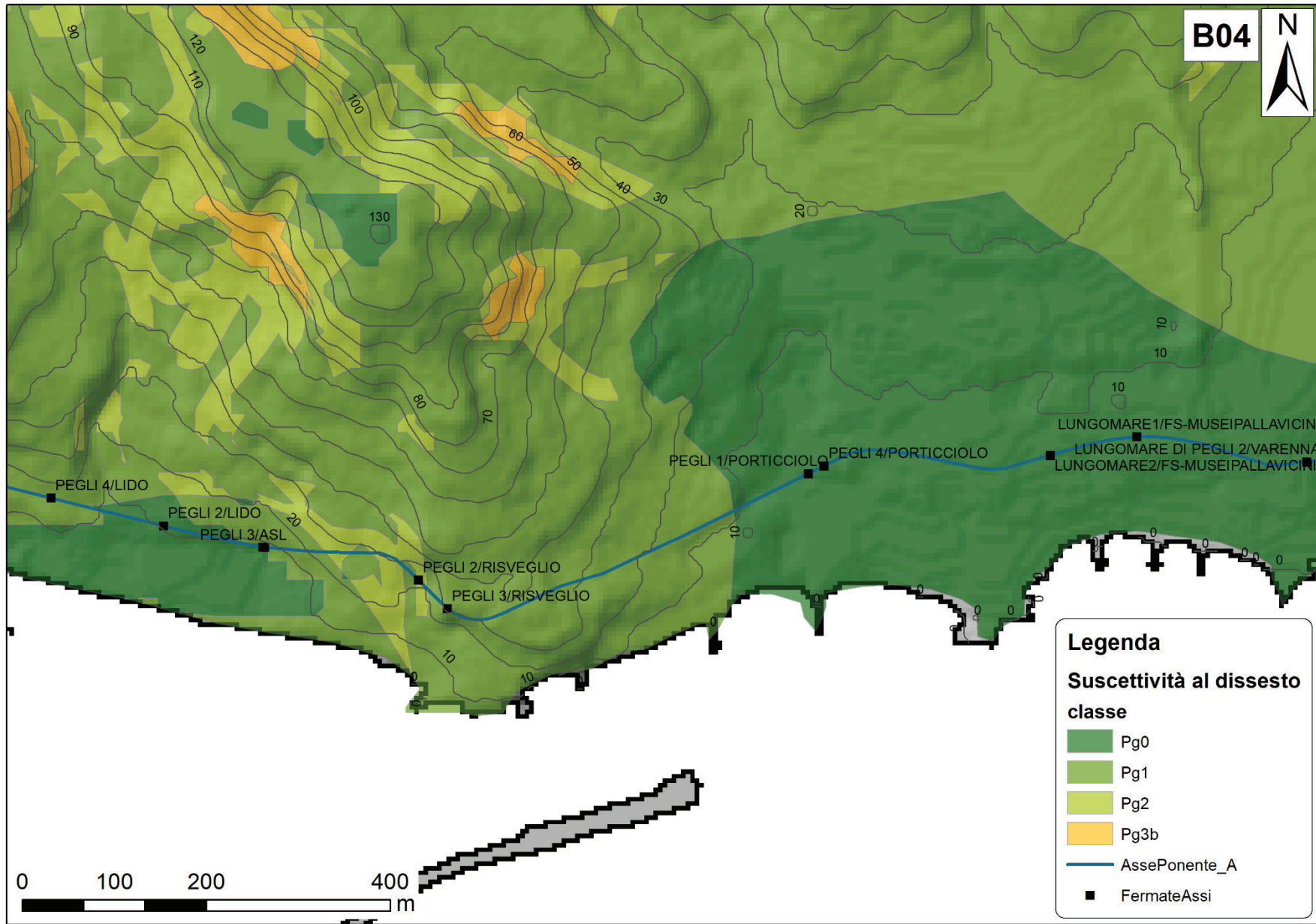
L'intervento oggetto del presente intervento è collocato nella tavola B22 ovvero ricompreso in una zona a suscettività di dissesto bassa











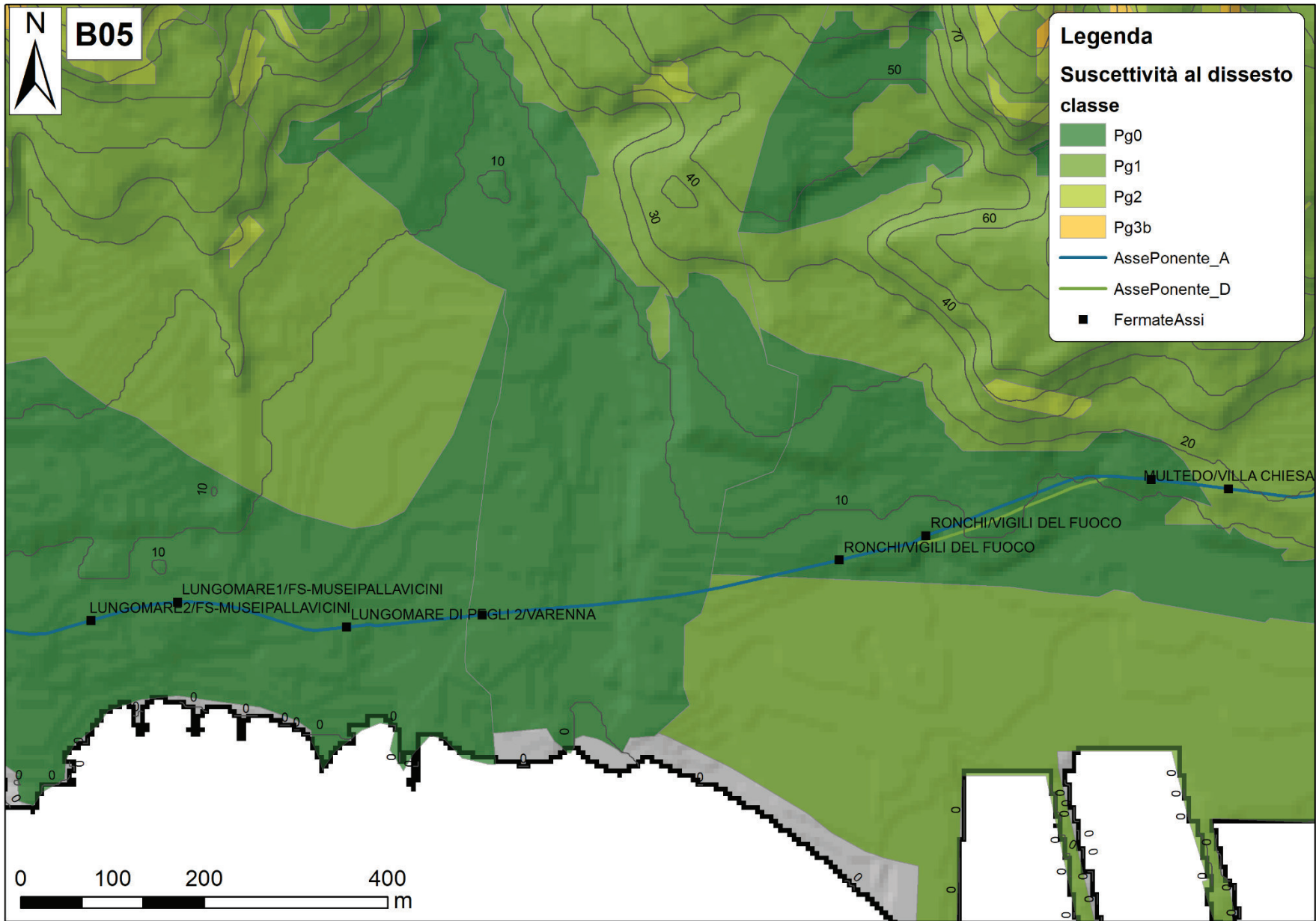
Legenda

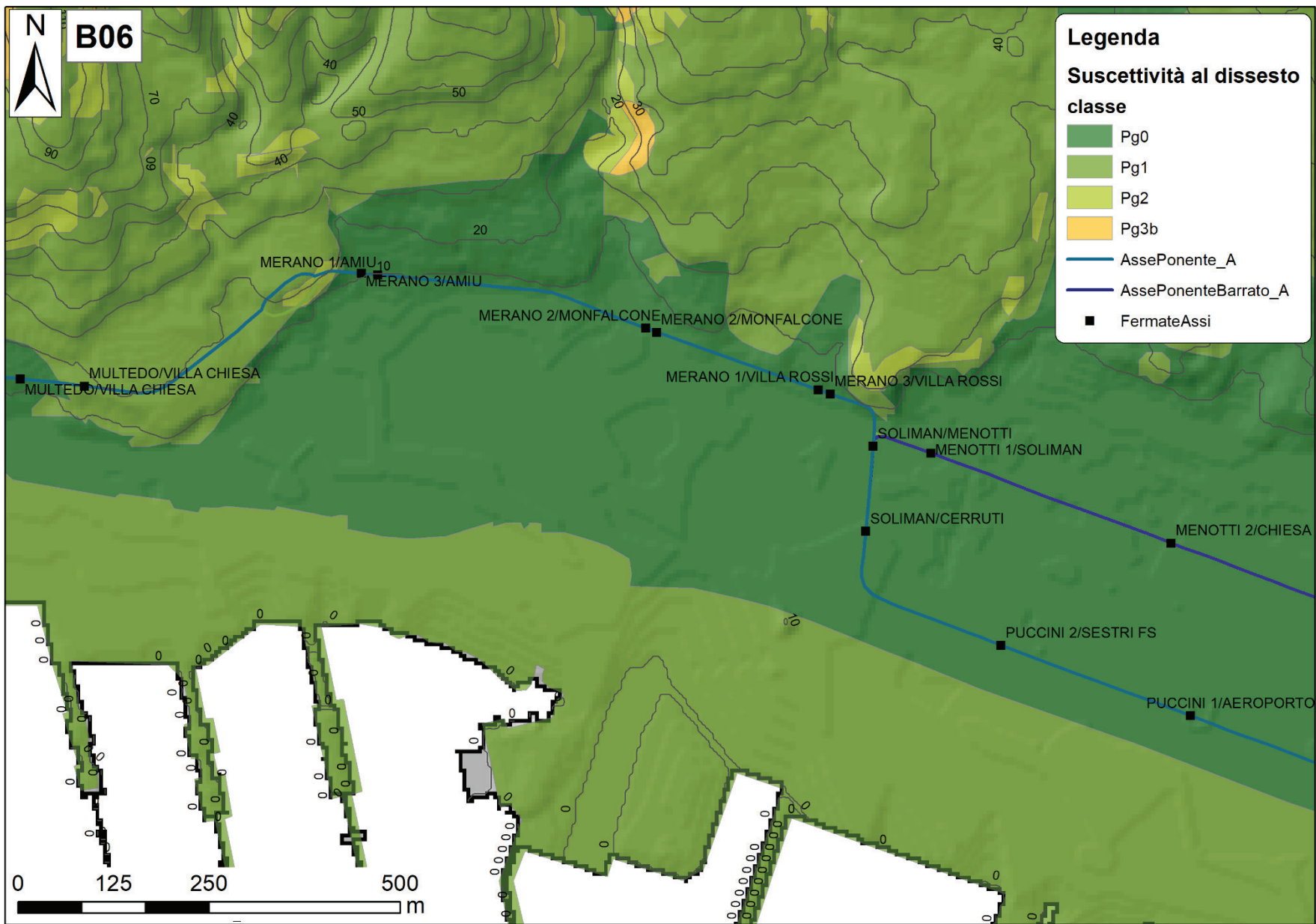
Suscettività al dissesto

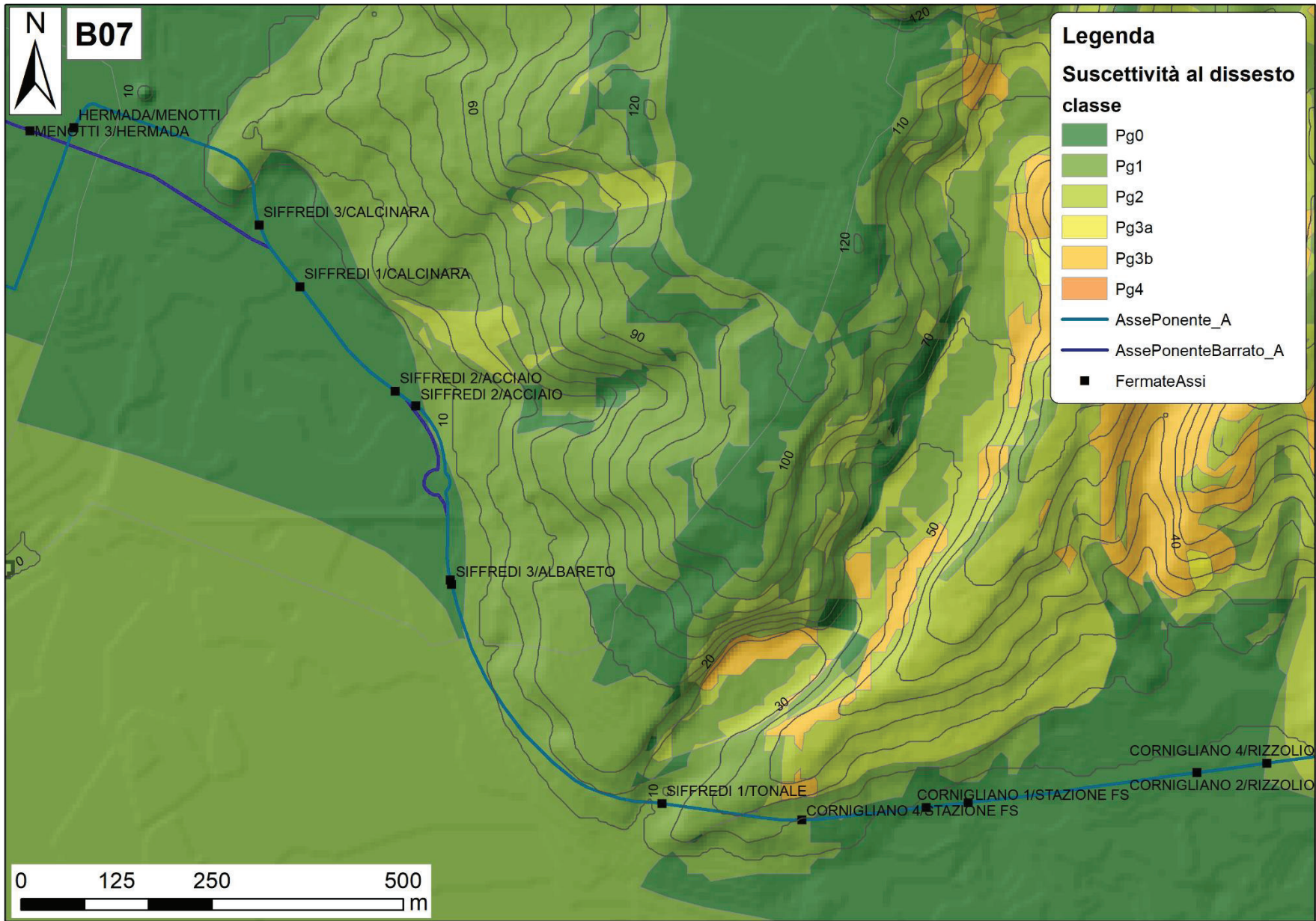
classe

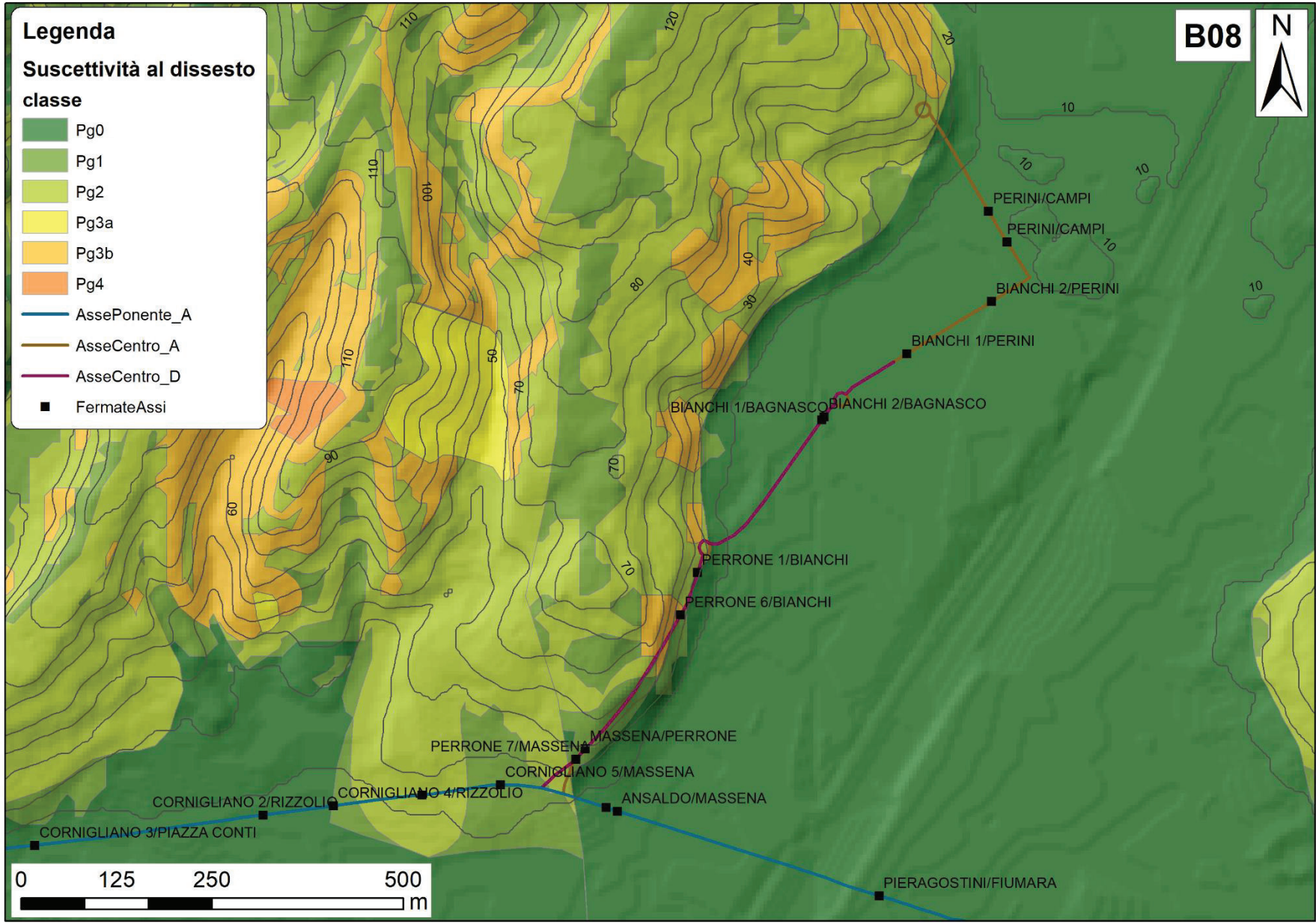
- Pg0
- Pg1
- Pg2
- Pg3b
- AssePonente_A
- FermateAssi

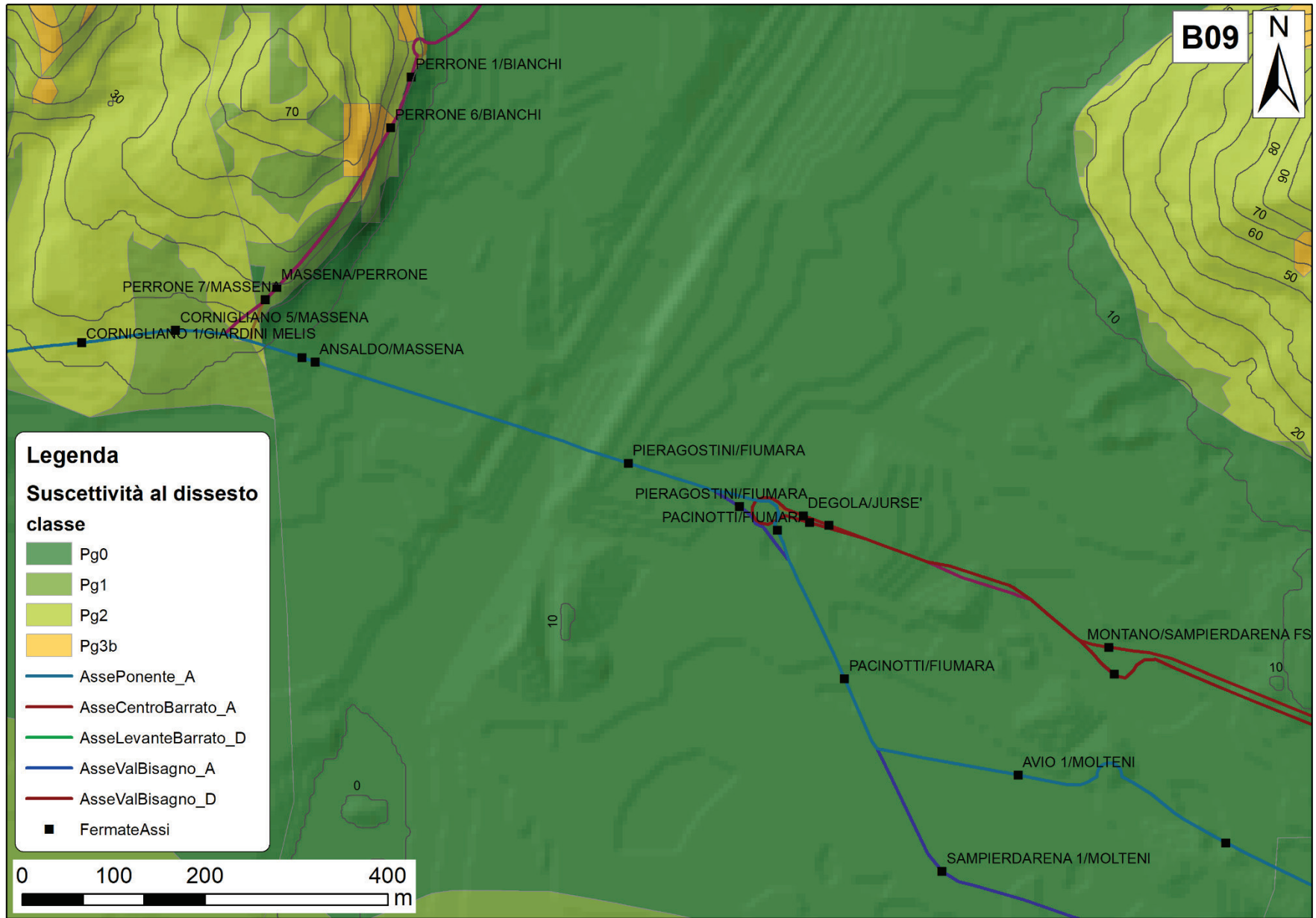
0 100 200 400 m

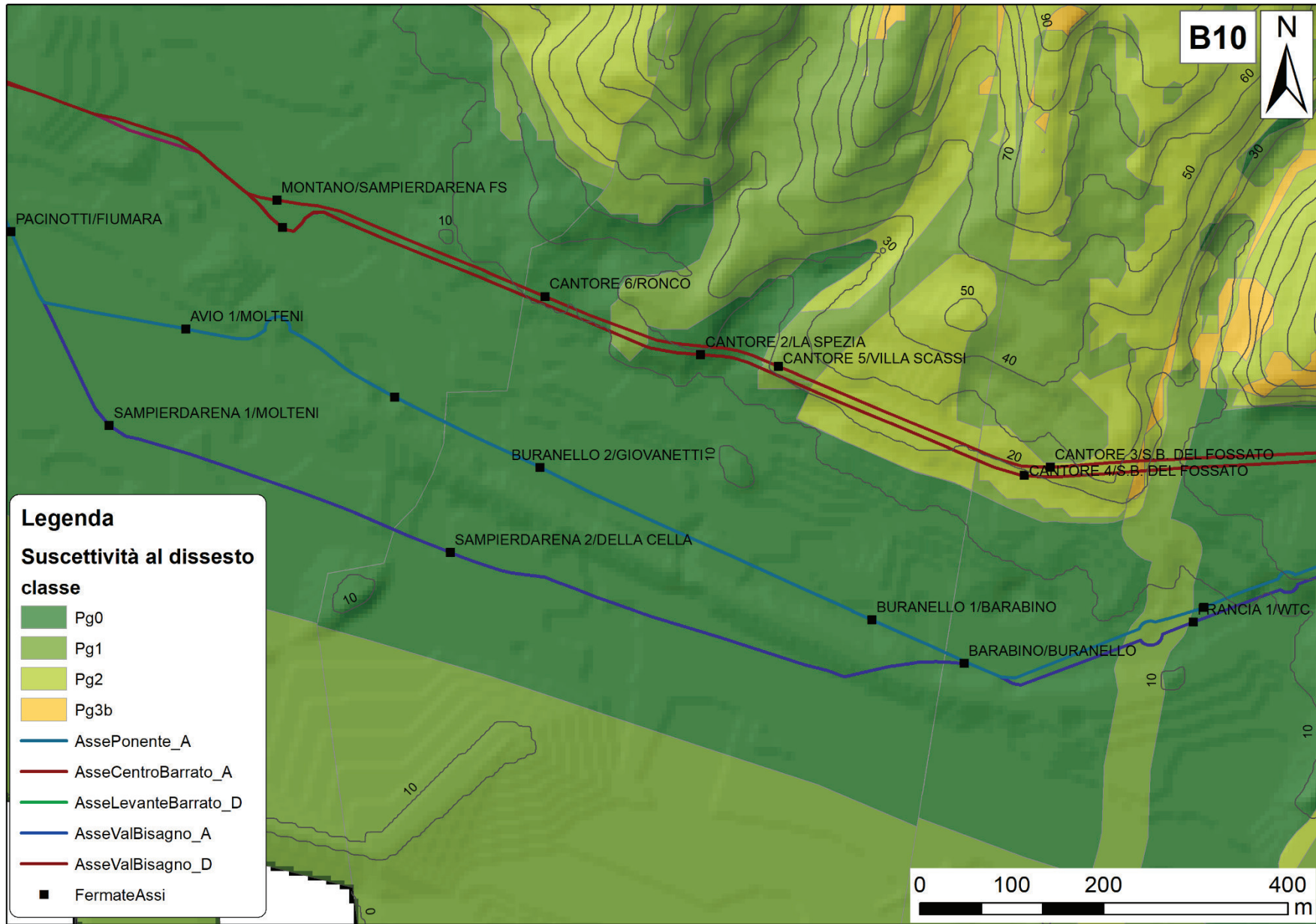




















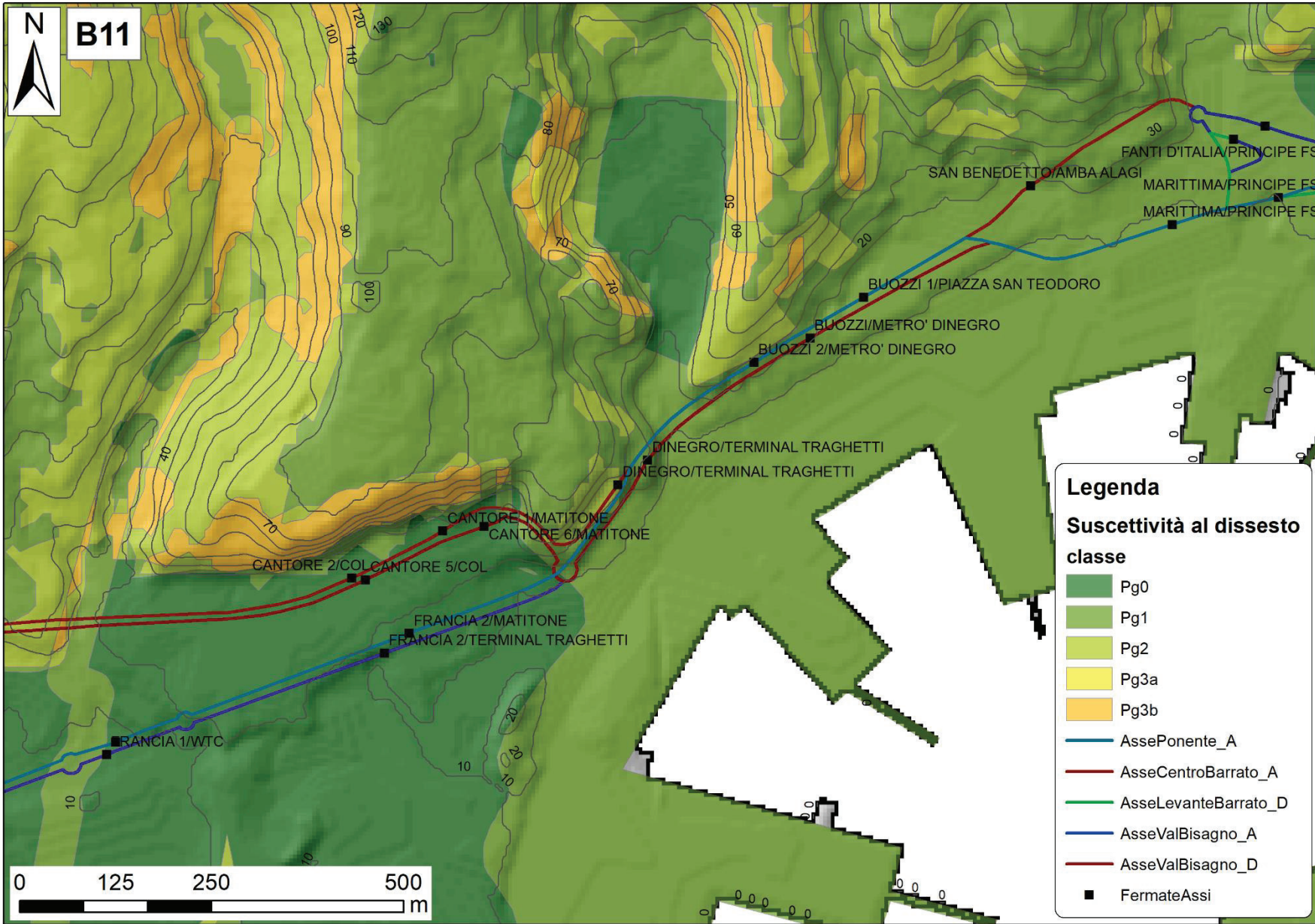


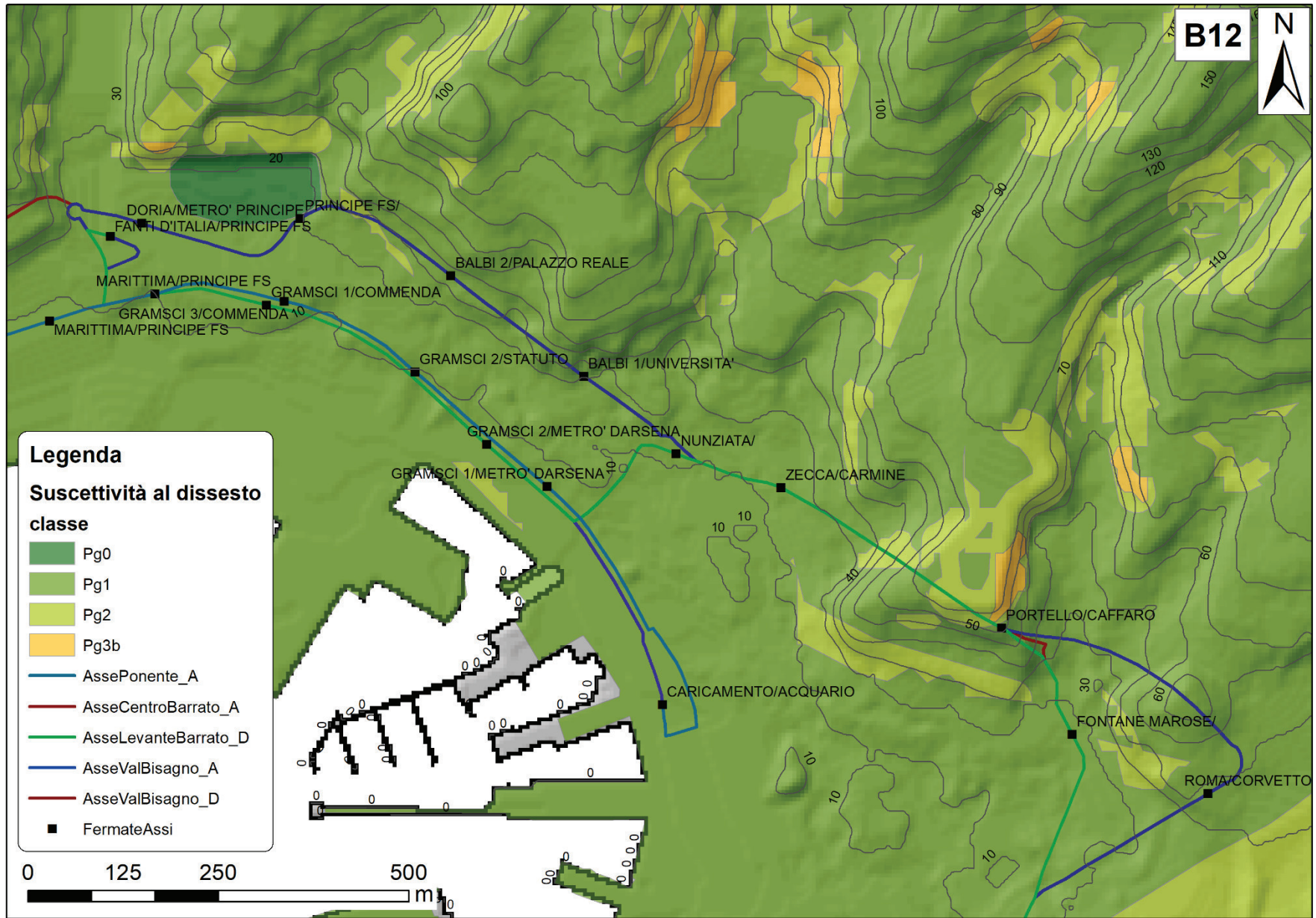
Legenda

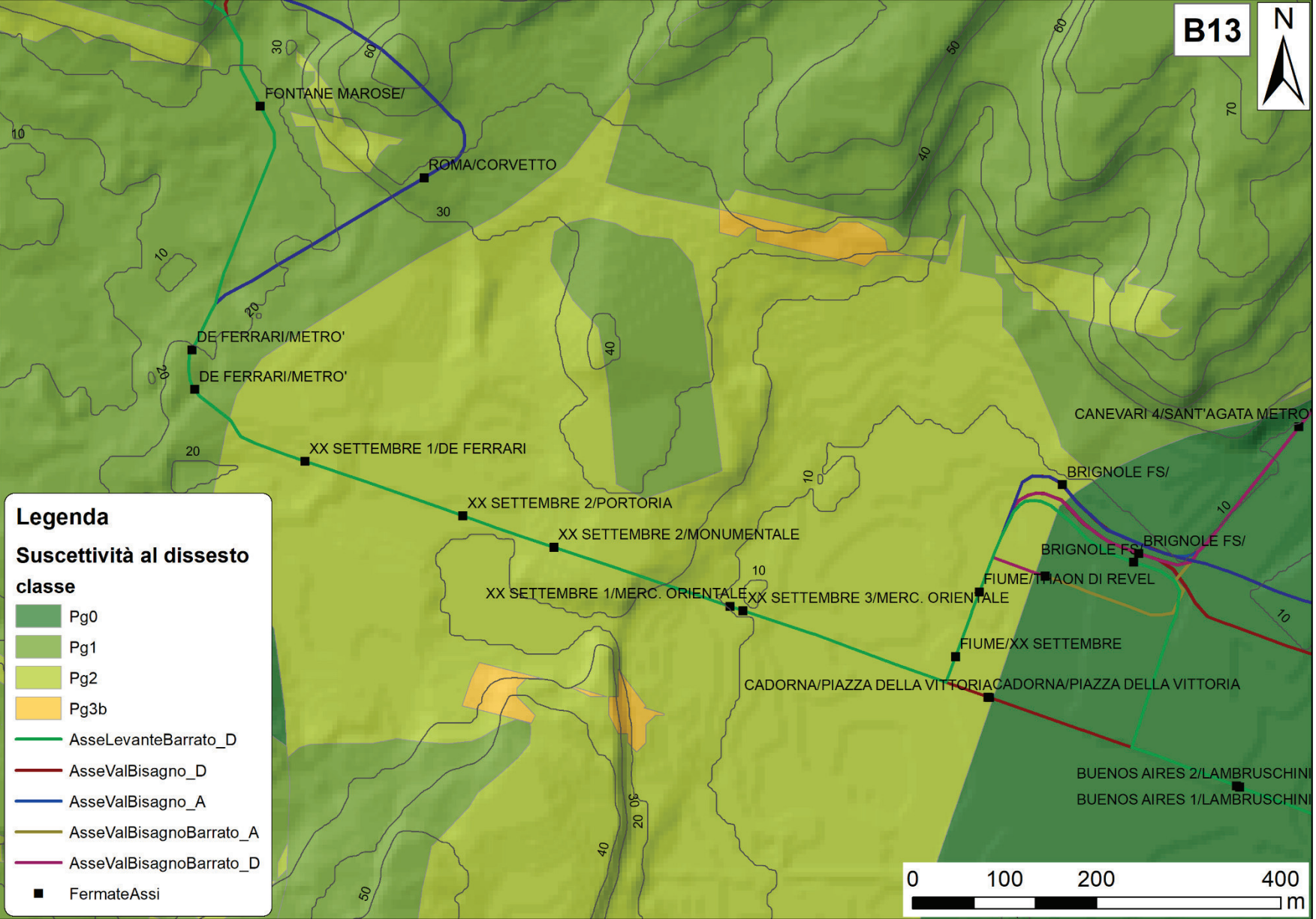
Suscettività al dissesto

classe

-  Pg0
-  Pg1
-  Pg2
-  Pg3b
-  AssePonente_A
-  AsseCentroBarrato_A
-  AsseLevanteBarrato_D
-  AsseValBisagno_A
-  AsseValBisagno_D
-  FermateAssi







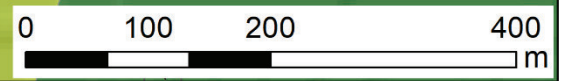
Legenda

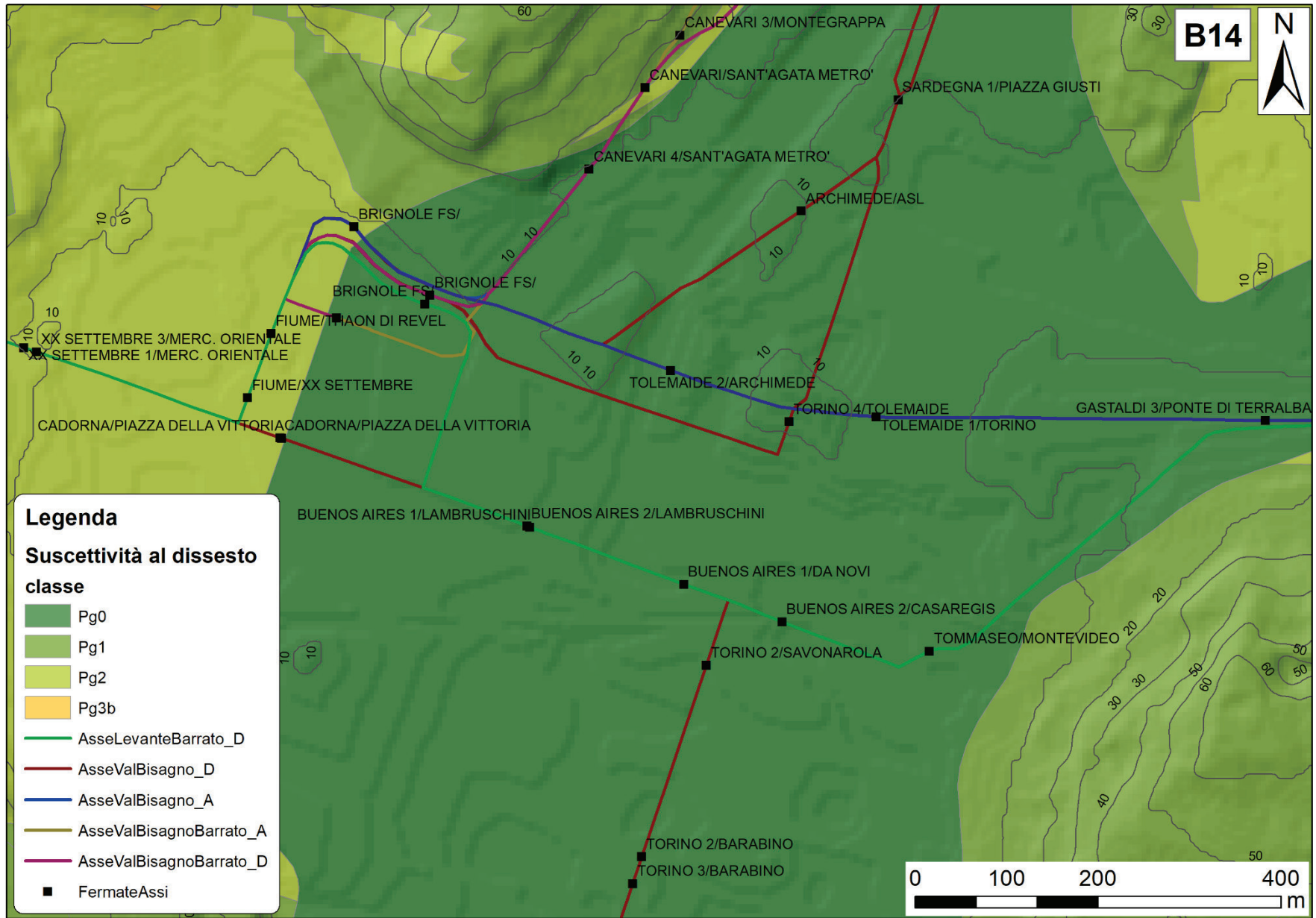
Suscettività al dissesto

classe

- Pg0
- Pg1
- Pg2
- Pg3b

- Asse Levante Barrato_D
- Asse Val Bisagno_D
- Asse Val Bisagno_A
- Asse Val Bisagno Barrato_A
- Asse Val Bisagno Barrato_D
- Fermate Assi





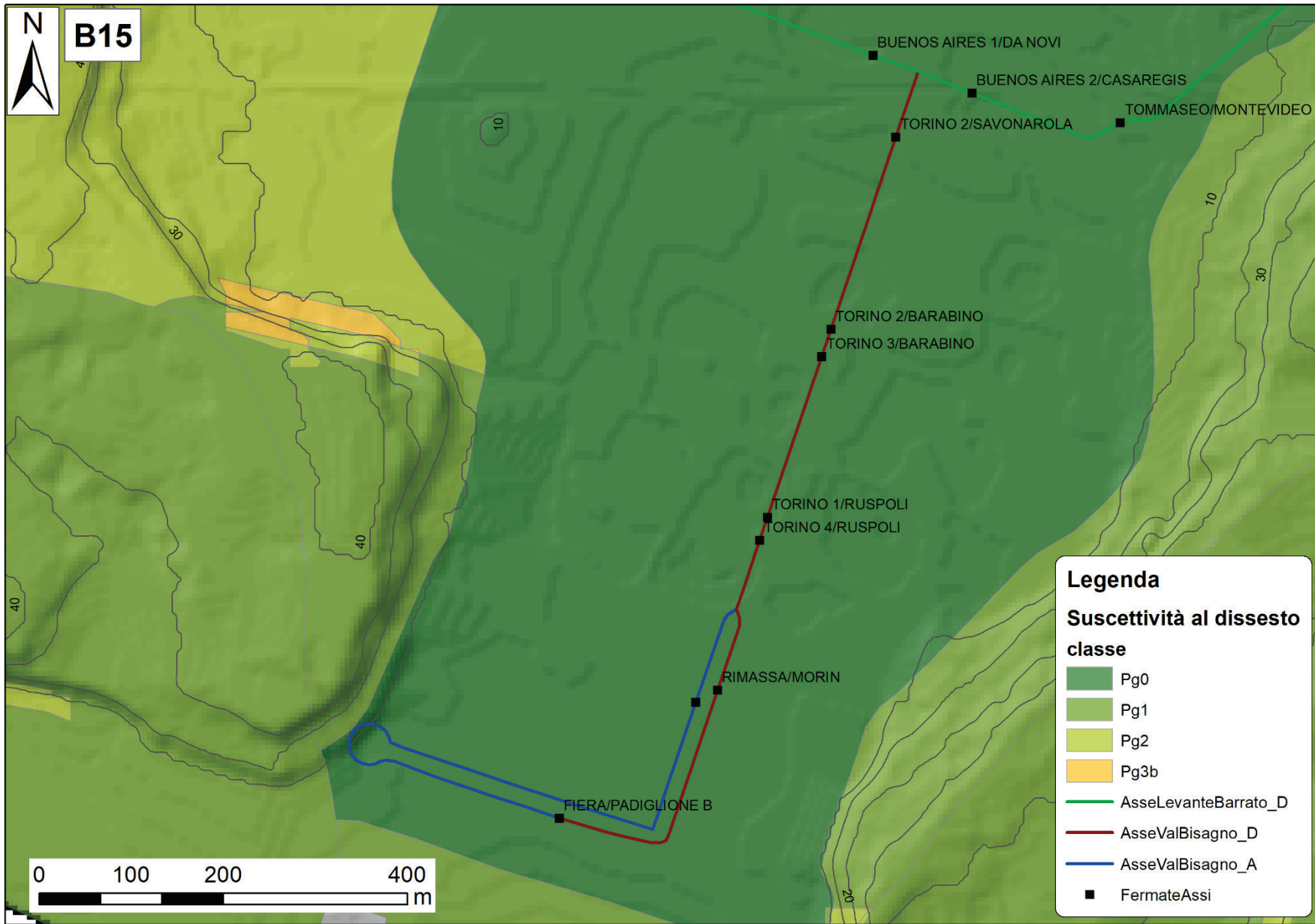
Legenda

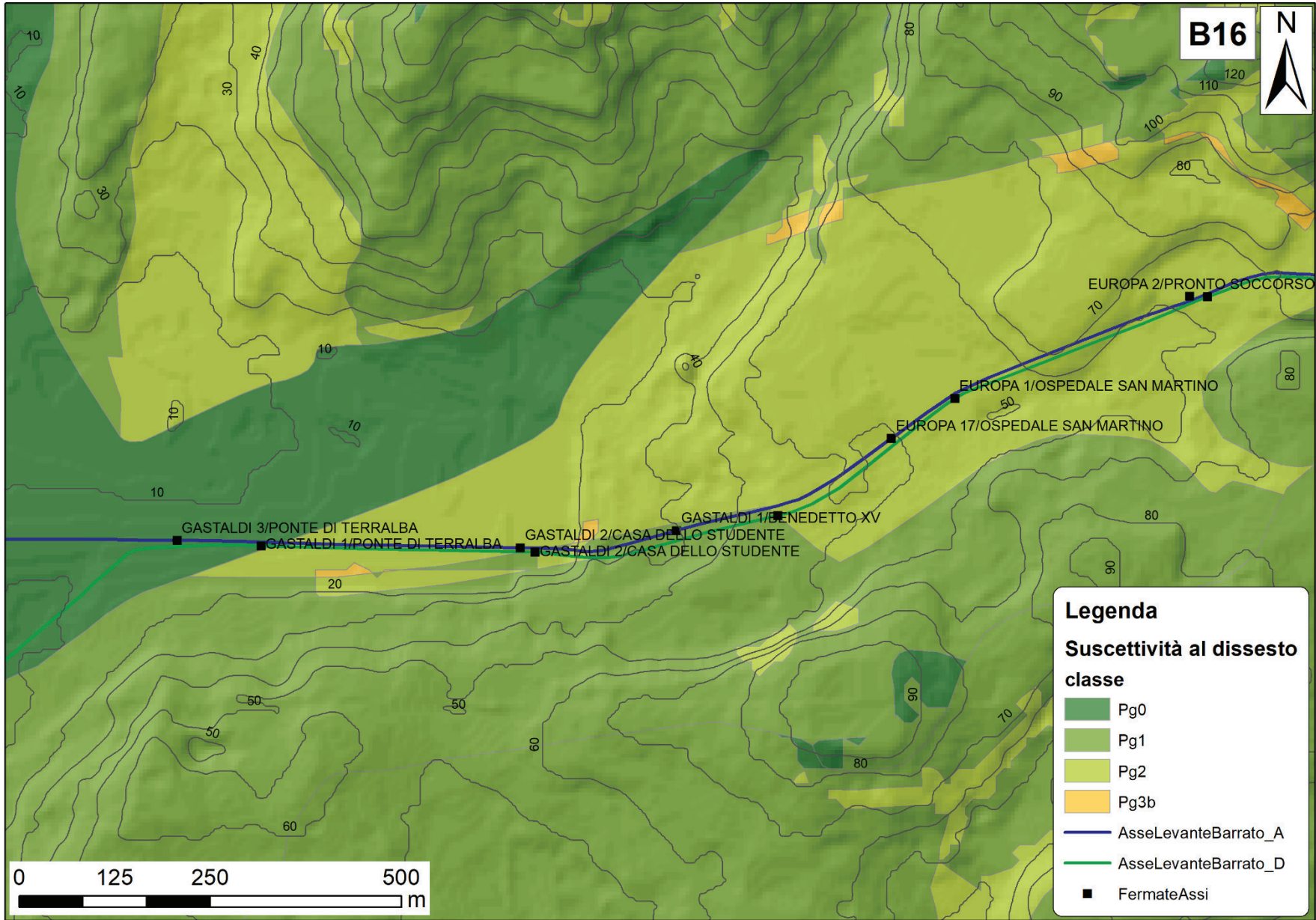
Suscettività al dissesto

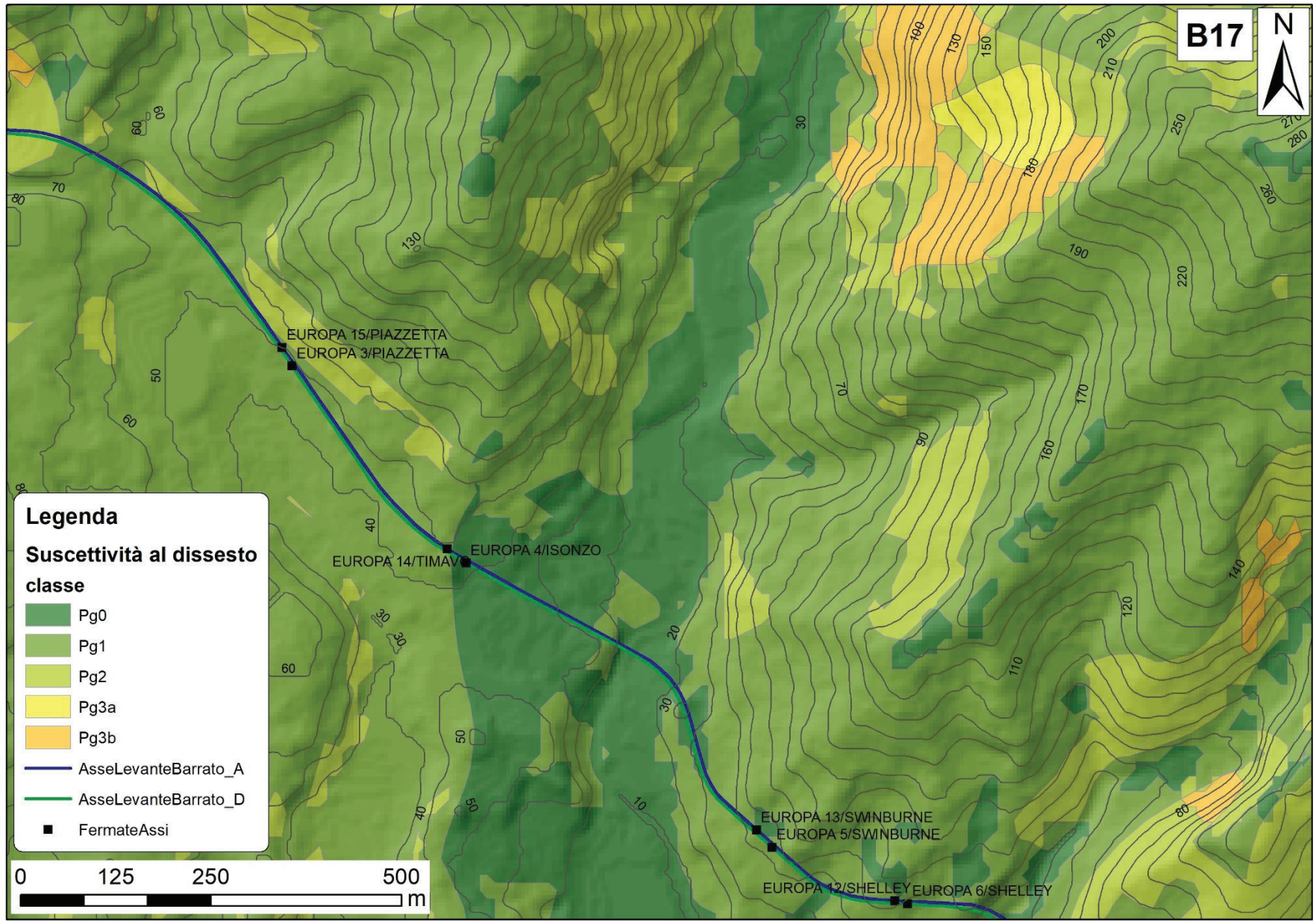
classe

- Pg0
- Pg1
- Pg2
- Pg3b
- AsseLevanteBarrato_D
- AsseValBisagno_D
- AsseValBisagno_A
- AsseValBisagnoBarrato_A
- AsseValBisagnoBarrato_D
- FermateAssi









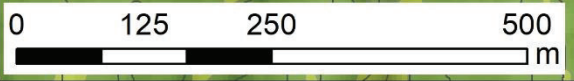
Legenda

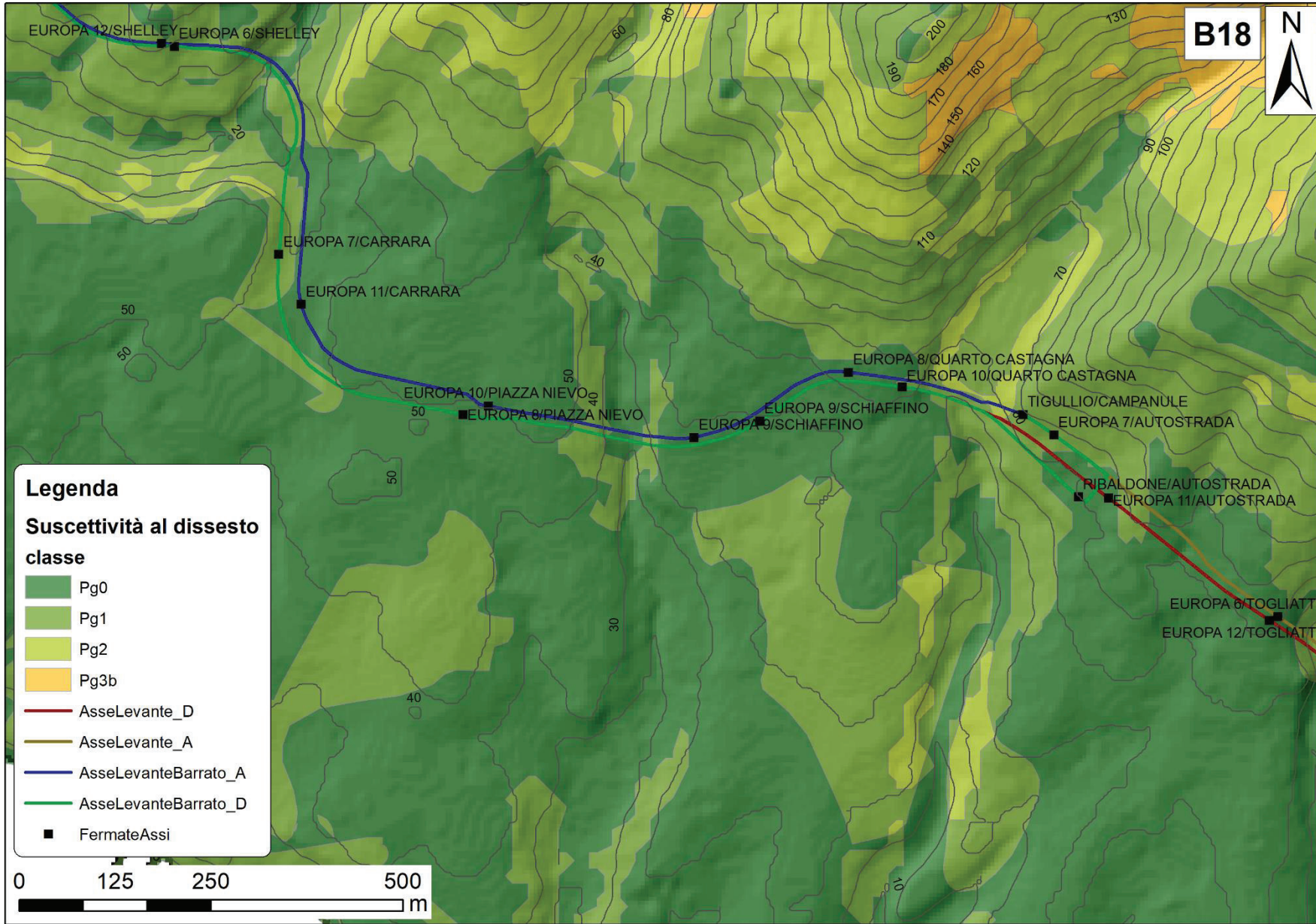
Suscettività al dissesto

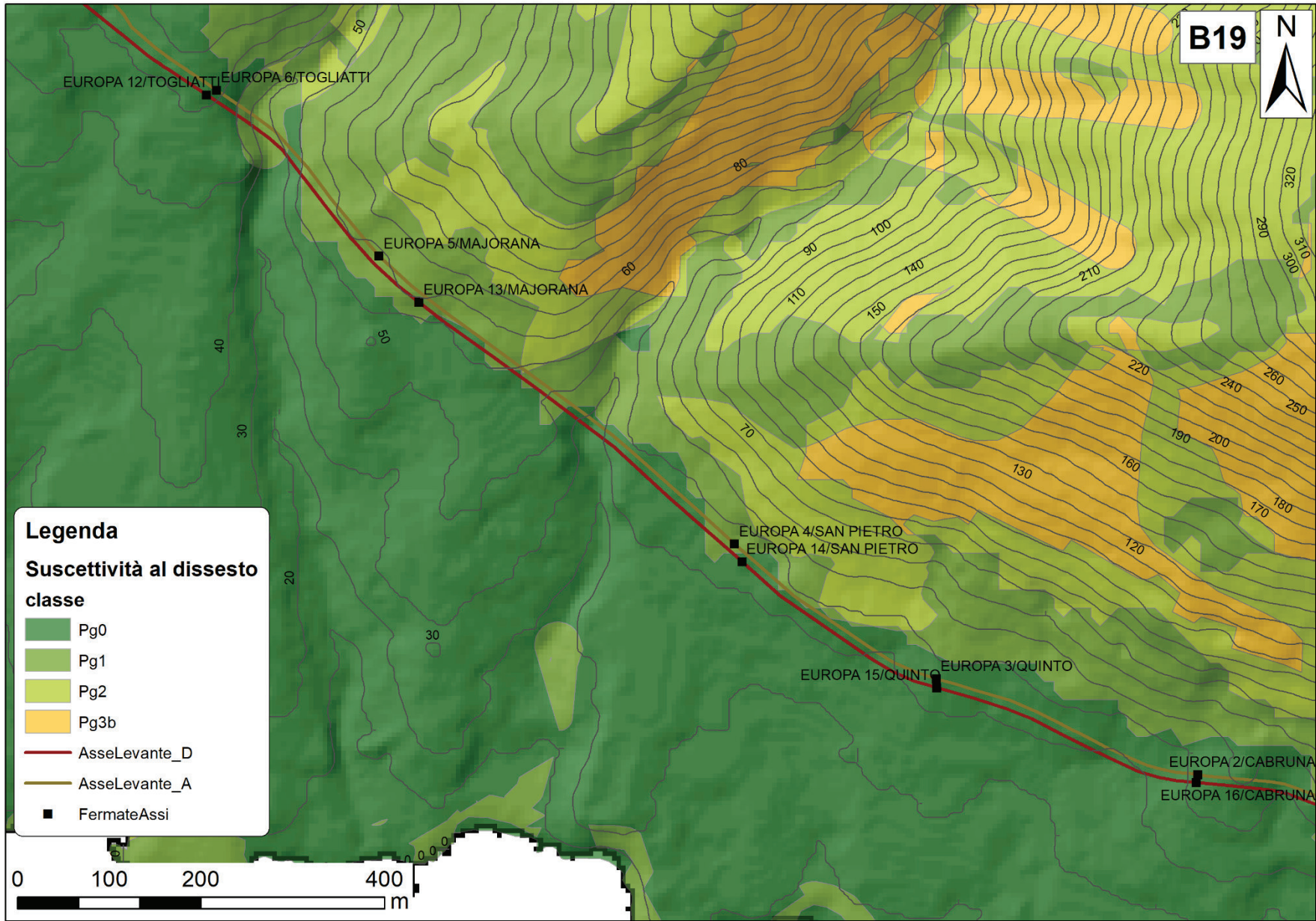
classe

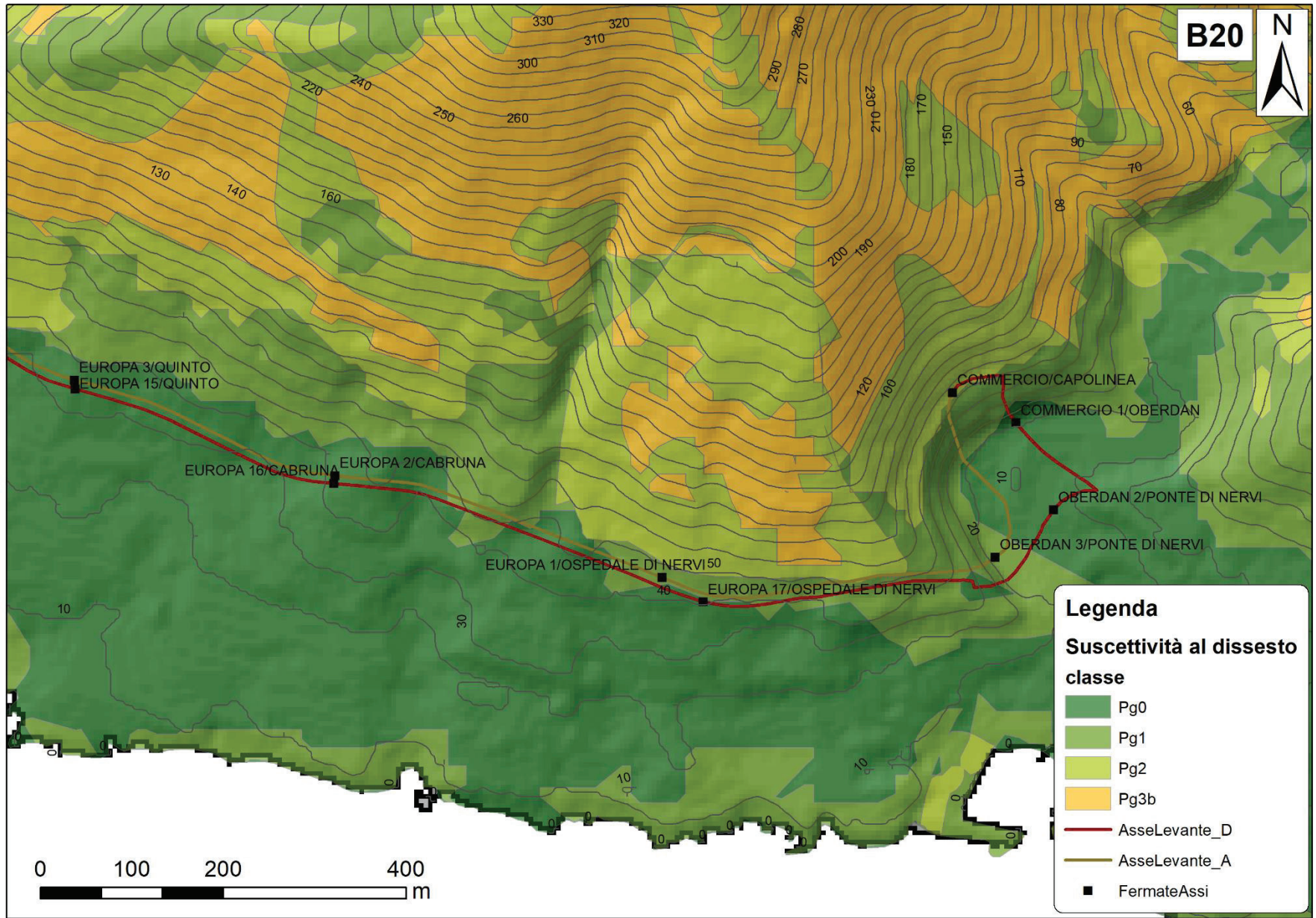
-  Pg0
-  Pg1
-  Pg2
-  Pg3a
-  Pg3b

-  AsseLevanteBarrato_A
-  AsseLevanteBarrato_D
-  FermateAssi














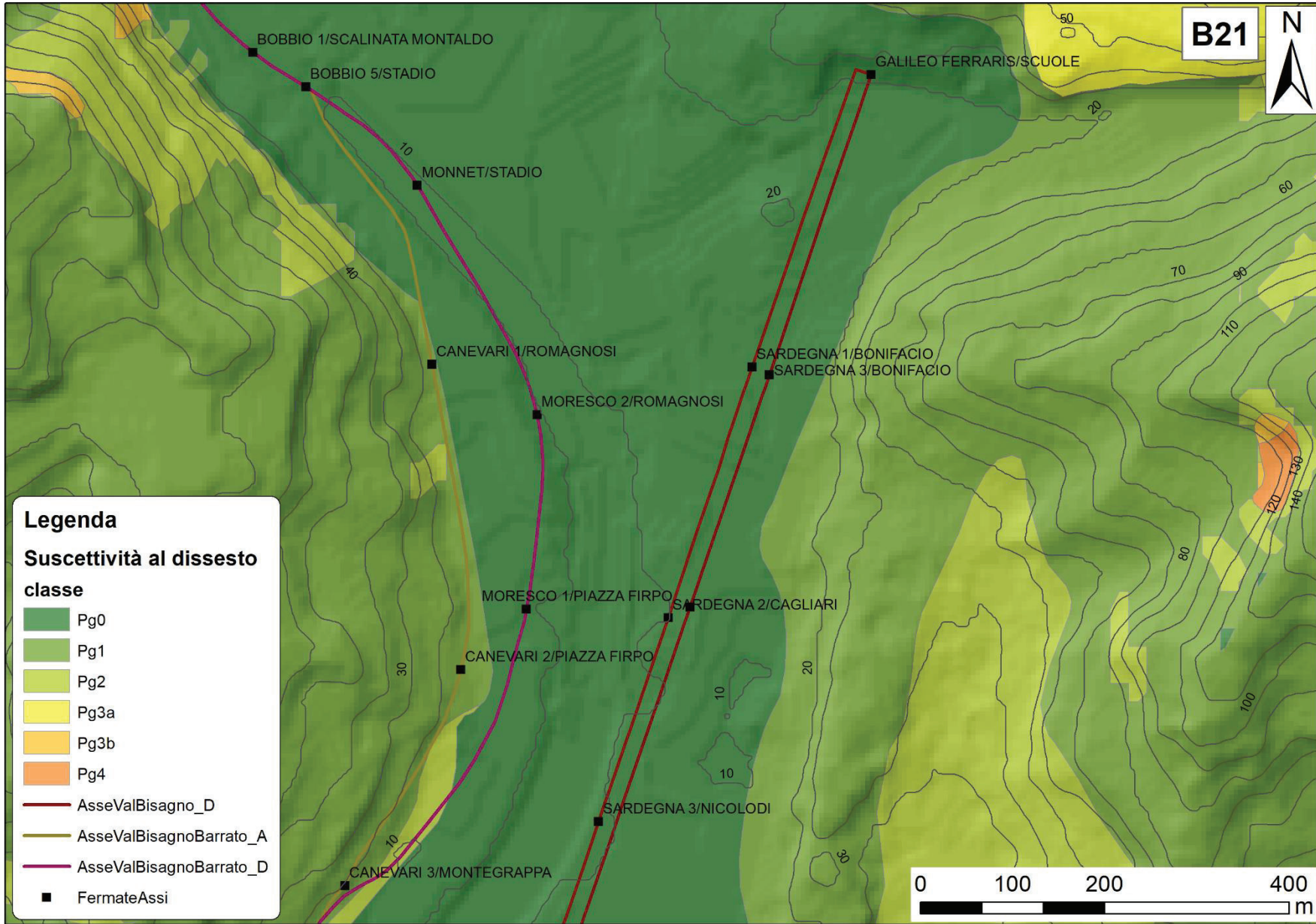


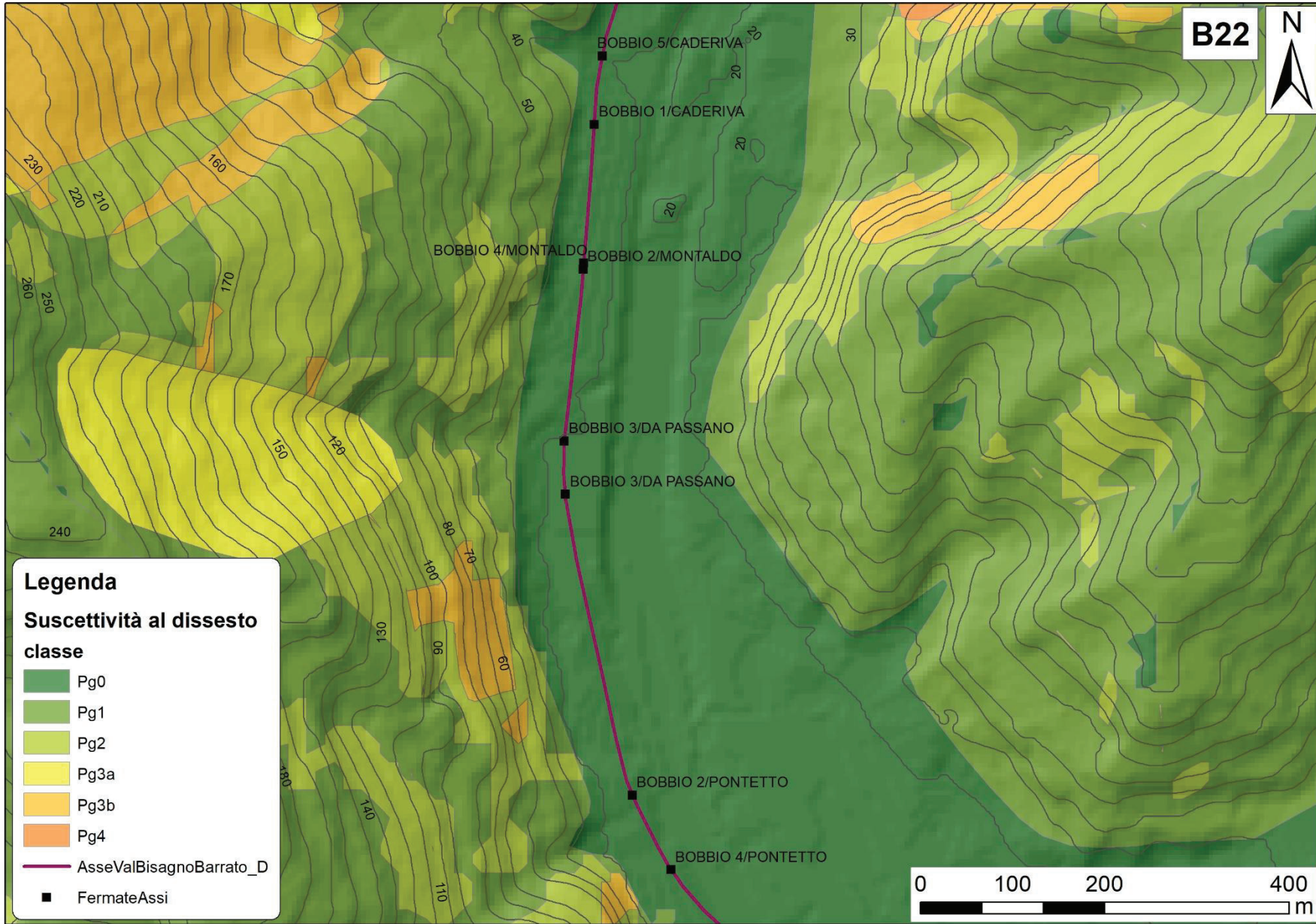
Legenda

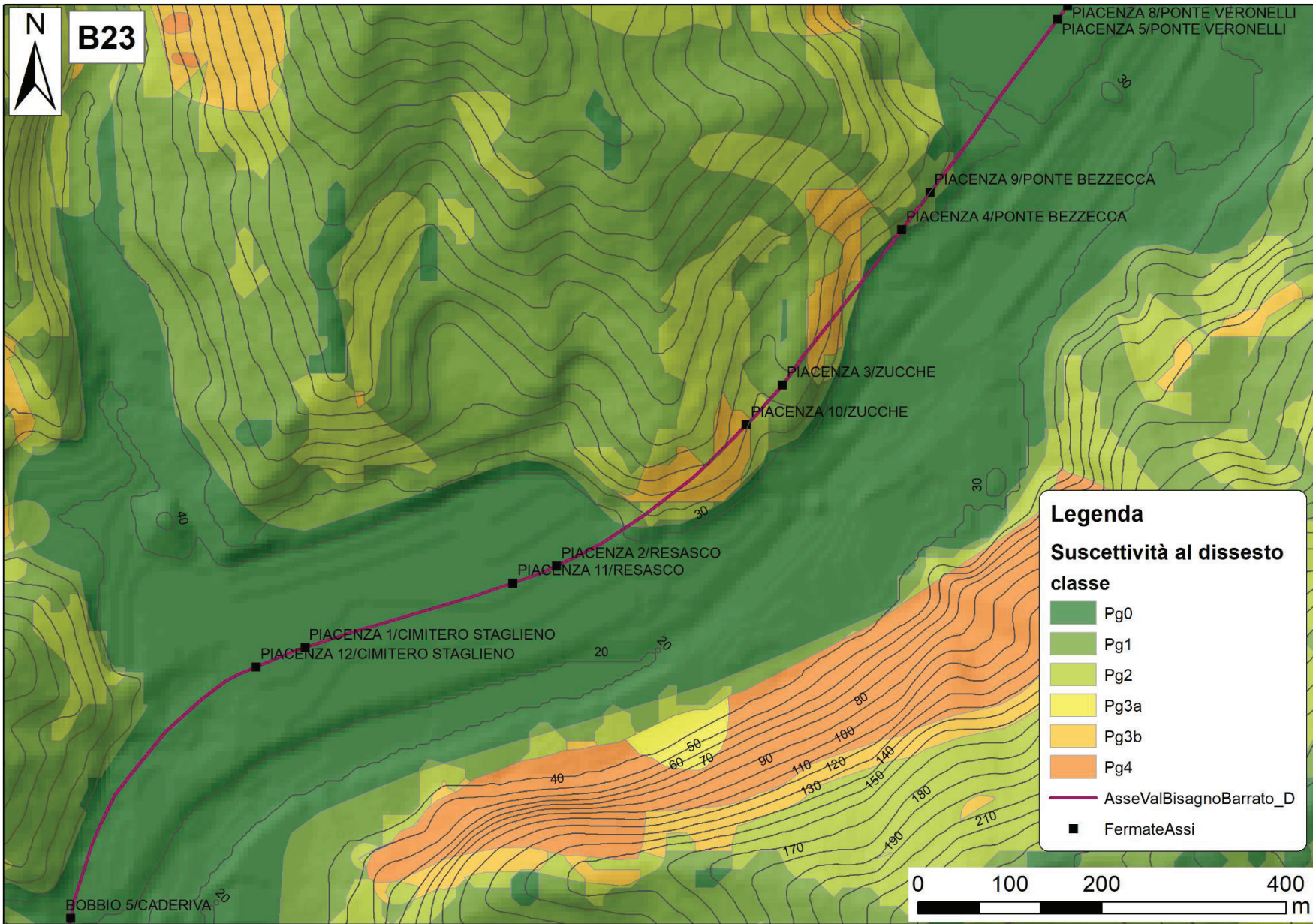
Suscettività al dissesto

classe

-  Pg0
-  Pg1
-  Pg2
-  Pg3b
-  AsseLevante_D
-  AsseLevante_A
-  FermateAssi







B23



Legenda

Suscettività al dissesto

classe

- Pg0
- Pg1
- Pg2
- Pg3a
- Pg3b
- Pg4

AsseValBisagnoBarrato_D

FermateAssi



BOBBIO 5/CADERIVA

PIACENZA 12/CIMITERO STAGLIENO
PIACENZA 1/CIMITERO STAGLIENO

PIACENZA 11/RESASCO
PIACENZA 2/RESASCO

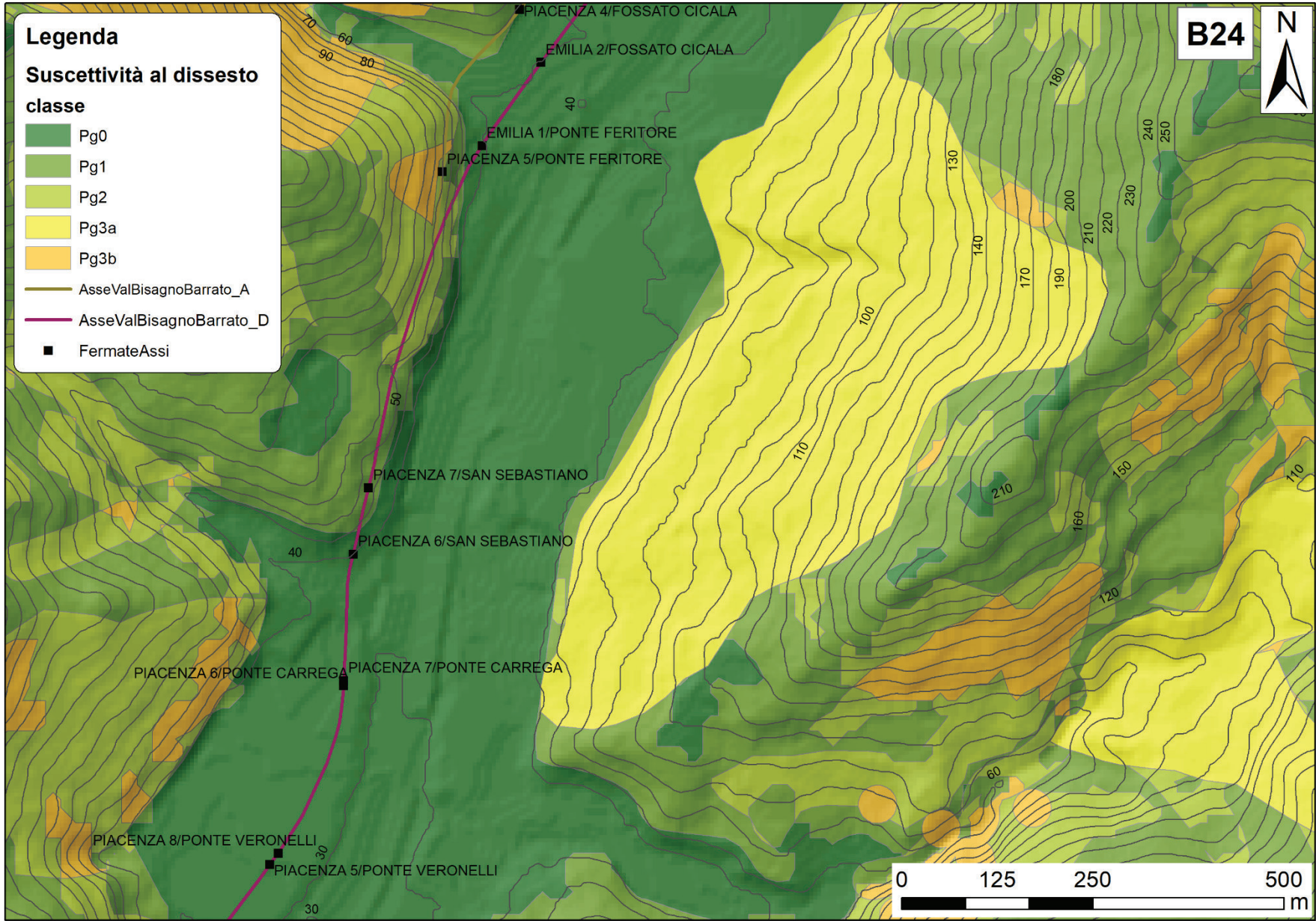
PIACENZA 10/ZUCCHE

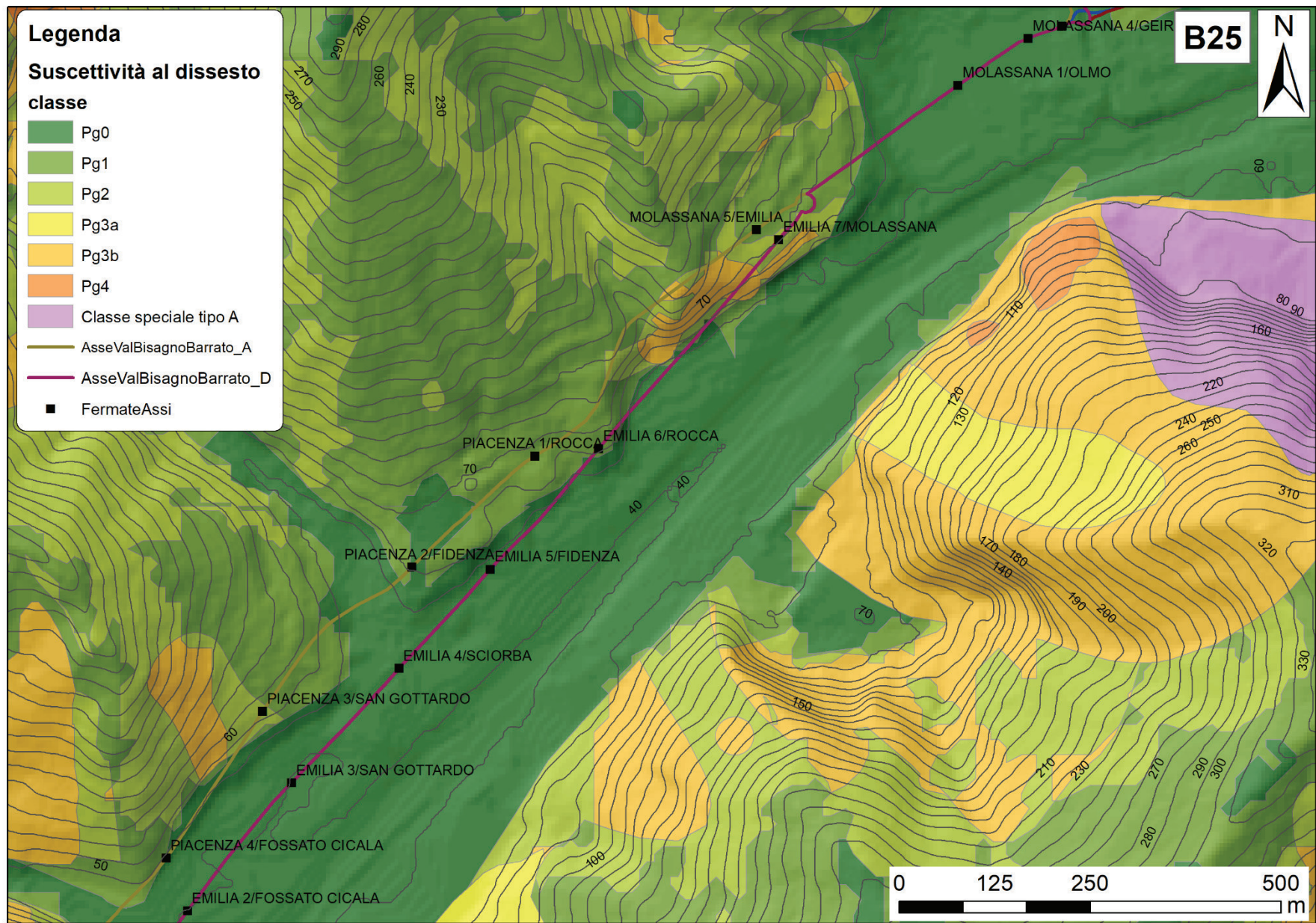
PIACENZA 3/ZUCCHE

PIACENZA 4/PONTE BEZZECA

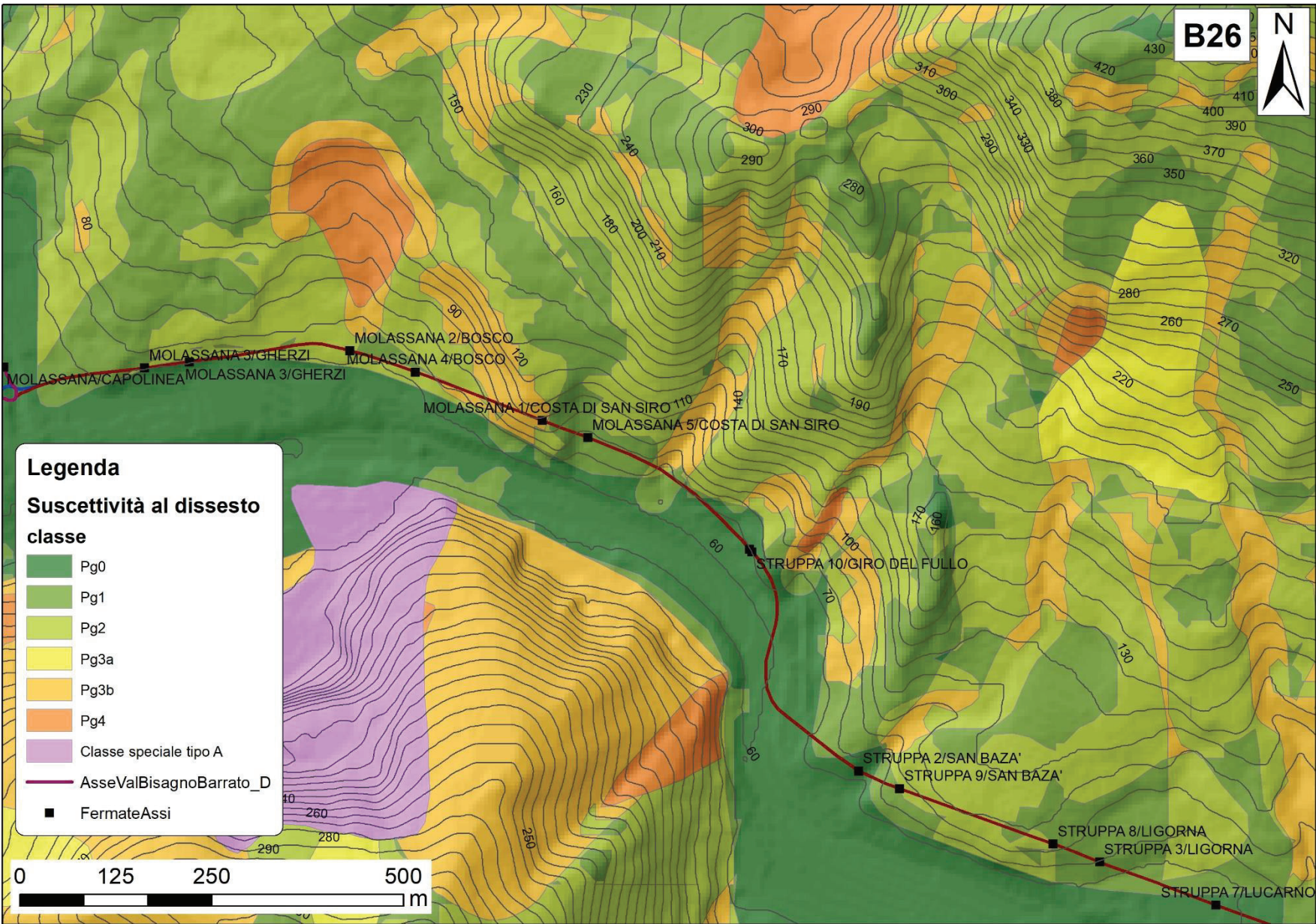
PIACENZA 9/PONTE BEZZECA

PIACENZA 5/PONTE VERONELLI
PIACENZA 8/PONTE VERONELLI





B26

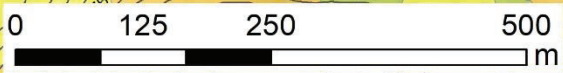


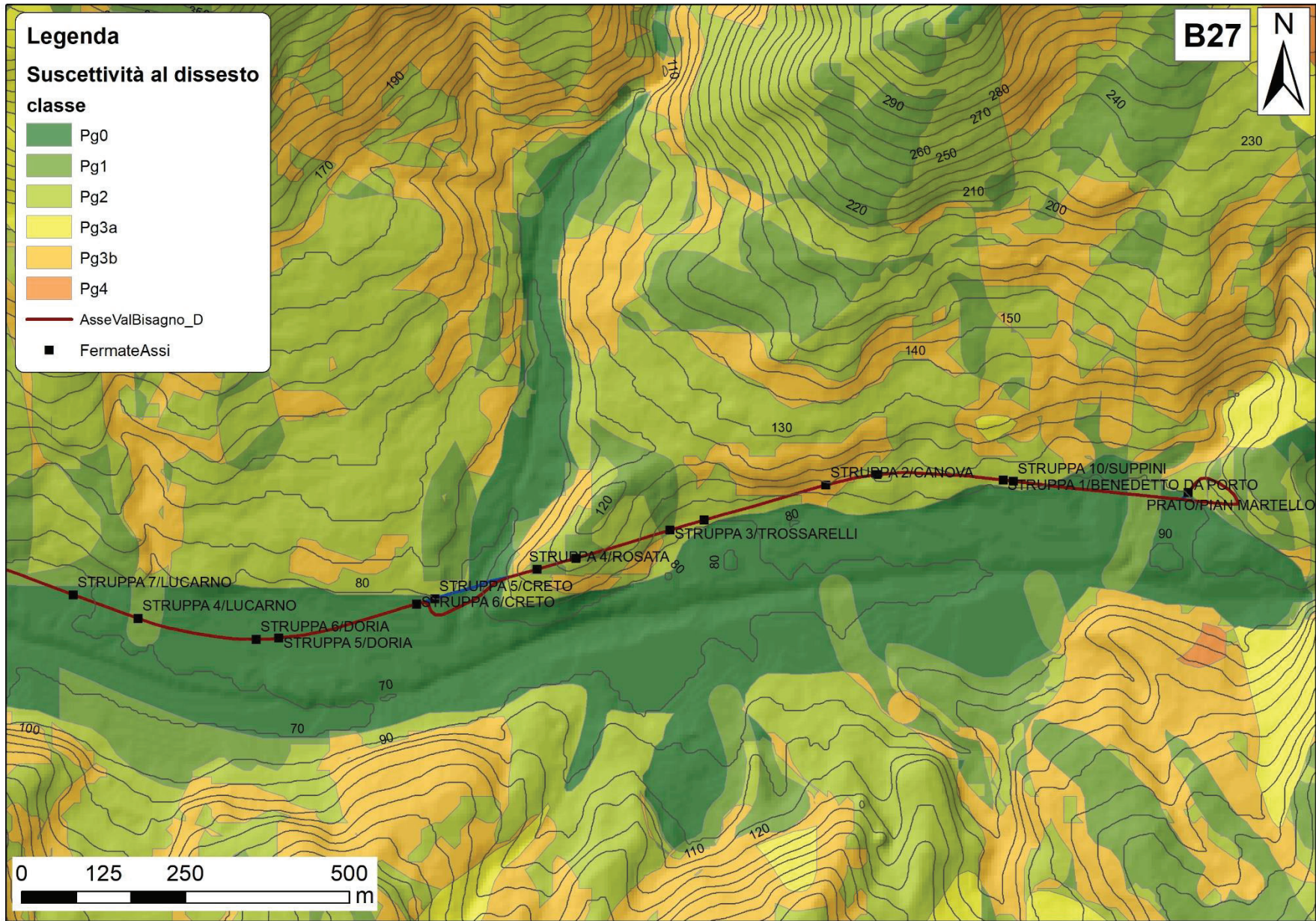
Legenda

Suscettività al dissesto

classe

- Pg0
- Pg1
- Pg2
- Pg3a
- Pg3b
- Pg4
- Classe speciale tipo A
- Asse Val Bisagno Barrato_D
- Fermate Assi





Appendice III: Sondaggi pregressi

A seguito della raccolta dei sondaggi pregressi l'intorno del tracciato della filovia in progetto dal Geoportale della Regione Liguria (<https://geoportal.regione.liguria.it/catalogo/mappe.html>), si riporta la loro ubicazione nelle seguenti tavole. È presente una carta generale a piccola scala dell'intero tracciato nell'abitato di Genova e 28 carte a grande scala (1:5000/6000) denominate da B00 a B27.

Le carte delle indagini geognostiche pregresse si basano sulla raccolta dei sondaggi geognostici prossimi al tracciato della filovia (Tabella 1). In carta, sono riportati con l'ID del sondaggio e la profondità del substrato identificata nelle stratigrafie. Nel caso in cui il sondaggio non abbia intercettato il substrato, la profondità è riportata come "> della profondità del sondaggio".


Al fine di studiare la profondità e tipo di substrato geologico interessato dall'opera in progetto, sono state correlate le informazioni puntuali con la carta geologica. I sondaggi sono quindi riportati al di sopra della carta geologica alla scala 1:10.000 Foglio CARG 213 Genova. Le tavole B18, 19 e 20 hanno come base cartografica la Carta Geologica Regionale (CGR) Chiavari Recco, in scala 1:25000. Per tali carte la legenda è riportata in Figura 1. La carta B27 e parzialmente la carta B26 riportano come base cartografica degli stralci della carta geolitologica del Piano di Bacino del T. Bisagno alla scala 1:10.000, tavole 214090 e 214130. La legenda è riportata in Figura 2.


I dati ottenuti dai sondaggi pregressi mostrano un contesto geologicamente molto variabile da luogo a luogo per tipo e profondità di substrato. Il substrato è costituito prevalentemente da argilliti e calcari marnosi. Una maggiore variabilità litologica si riscontra nella zona di Ponente, dove sono presenti anche serpentiniti, gabbri e calcescisti. La profondità del substrato è estremamente variabile, può essere affiorante o coperto da c. 40 m di coperture alluvionali. Tale variabilità si riscontra anche in zone arealmente limitate a causa delle strette valli incise che caratterizzano il territorio ligure.


I sondaggi pregressi riguardanti l'intervento in oggetto sono rappresentati nella tavola B22


DEPOSITI QUATERNARI


Pleistocene - Olocene


- 


depositi di frana
 Accumuli gravitativi di materiale eterogeneo ed eterometrico.
OLOCENE
- 


detriti di falda
 Accumuli gravitativi di materiale eterogeneo, accumulatosi per disfacimento del soprastante versante lapideo.
OLOCENE
- 


coltri eluvio - colluviali
 Coperture detritiche costituite da clasti eterometrici, a matrice sabbioso-limosa, talora pedogenizzate, sviluppatasi in situ a spese del substrato, spesso con inglobati elementi grossolani a volte mobilizzati da processi di versante.
OLOCENE
- 

depositi alluvionali in evoluzione
 Depositi ghiaiosi, spesso con blocchi e/o materiali fini, che costituiscono gli alvei attuali dei corsi d'acqua e le aree adiacenti; verso la foce raggiungono spessori considerevoli.
OLOCENE
- 

depositi marini in evoluzione
 Depositi prevalentemente ghiaiosi, localmente sabbiosi, di spiaggia emersa.
OLOCENE
- 

depositi periglaciali
 Accumuli di blocchi subangolari, generalmente monogenici, per lo più *clast supported*, orientati secondo la pendenza del versante, riconducibili a processi periglaciali; le dimensioni variano da 50 a 100 cm e più.
PLEISTOCENE MEDIO SUP.? - OLOCENE
- 


depositi alluvionali terrazzati
 Depositi ghiaiosi e subordinati depositi sabbiosi posti a quote più elevate rispetto agli alvei attuali, coperti da una coltre colluviale, spesso volte pedogenizzata, di spessore variabile.
PLEISTOCENE - OLOCENE
- 

depositi marini terrazzati
 Depositi ghiaiosi e localmente depositi sabbiosi posti a quote più elevate rispetto all'attuale livello del mare, coperti da una coltre colluviale, spesso volte pedogenizzata, di spessore variabile.
PLEISTOCENE - OLOCENE
- 

brecce di San Pietro ai Prati
 Breccie residuali a clasti calcareo - dolomitici, a matrice carbonatica; breccie detritiche a clasti calcareo - dolomitici e subordinati clasti quarzoso-filadici, a matrice carbonatica di colore giallastro. Sono presenti intercalazioni di arenarie e siltiti.
PLEISTOCENE - OLOCENE?

DEPOSITI PLIOCENICI


Pliocene


- 


argille di Ortovero
 argille marnose, marne, siltiti e arenarie fini, di colore da grigio cinereo a grigio-azzurro a giallastro, in strati da centimetrici a pluricentrici. Il contenuto paleontologico comprende foraminiferi planctonici, bentonici, diatomee, nanoplankton calcareo.
ZANCLEANO INF.
 litofacies a breccie e conglomerati di base.

SUCCESSIONE DEL BACINO TERZIARIO PIEMONTESE

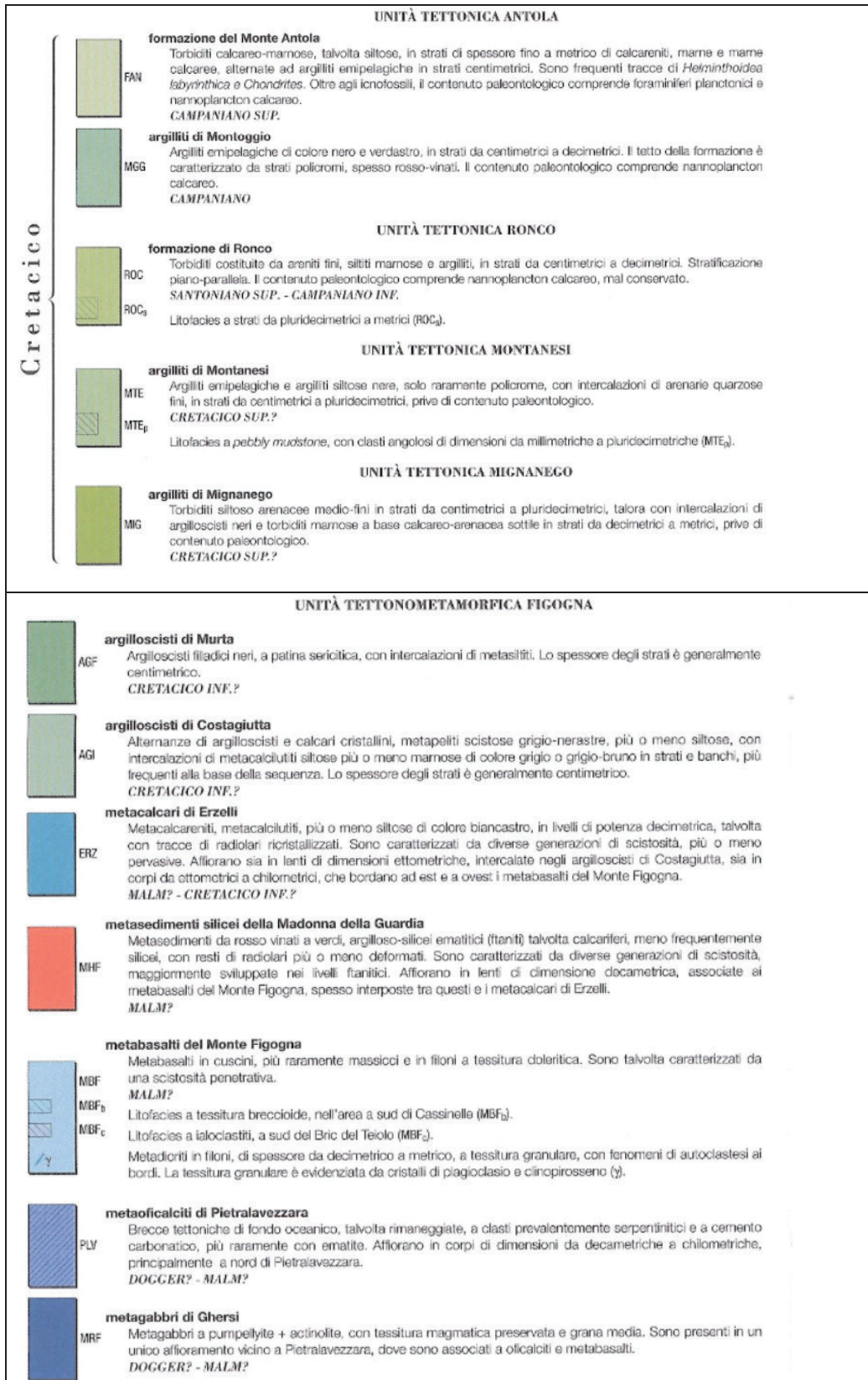
Eocene sup? - Oligocene

- 

formazione di Molare
 Conglomerato eterometrico, mal classato, da clasto- a matrice-sostenuto, con prevalente matrice arenaceo-pellica e subordinato cemento calcitico, senza contenuto paleontologico. Privo di organizzazione o in strati di spessore molto variabile e a geometria lenticolare, in genere internamente disomogenei e disorganizzati o, meno frequentemente, caratterizzati da gradazione diretta o inversa verticale, o da una grossolana embriatura dei ciottoli. Lo scheletro è essenzialmente formato da clasti da subangolosi a subarotondati, di dimensioni da millimetriche a pluridecimetriche, derivanti dalle metamorfiti dell'Unità Voltri e delle altre unità del basamento pre-oligocenico. Si intercalano localmente strati di arenarie, da medie a grosse, mal classate, poligeniche, con prevalente matrice pellica e subordinato cemento calcitico, prive di contenuto paleontologico.
OLIGOCENE?
- 

conglomerati di Savignone
 Conglomerato eterometrico, mal classato, clasto-sostenuto, con prevalente matrice arenaceo-pellica e subordinato cemento calcitico, privo di contenuto paleontologico. In strati di spessore molto variabile da decimetrico a metrico, disorganizzati o, al più, caratterizzati da una grossolana isorientazione dei ciottoli appiattiti, o da grossolana gradazione diretta, o da clasti verticalizzati casualmente distribuiti nello strato. Frequenti le intercalazioni di lenti di siltiti argilose o ghiaio grossolano. Lo scheletro è formato da clasti da subangolosi a ben arrotondati, di dimensioni da millimetriche a plurimetriche, derivanti da calcari marnosi e in minor misura da basalti e serpentini.
OLIGOCENE?
- 

brecce della Costa di Cravara
 Breccie poligeniche, eterometriche, per lo più arrostate, con matrice prevalentemente sabbiosa, non stratificate, disomogenee e caotiche, prive di contenuto paleontologico. La loro composizione è strettamente controllata dalla natura litologica del substrato.
EOCENE SUP.? - OLIGOCENE INF.?



serpentiniti del Bric dei Corvi

Serpentiniti a crisotilo e lizardite, frequentemente a relitti mineralogici e tessiture di lherzolite.
DOGGER? - MALM?



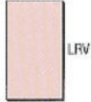
Metabasalti in filoni, a tessitura doleritica, con bordi raffreddati. Talvolta sono presenti fenomeni di parziale rodingitizzazione con orli di reazione a nefrite (β).

Metadioriti in filoni, di spessore da decimetrico a metrico, a tessitura granulare, con fenomeni di autoclastesi ai bordi, talvolta parzialmente rodingitizzati. La tessitura granulare è evidenziata da cristalli di plagioclasio e clinopirosseno (γ).

UNITÀ TETTONOMETAMORFICA CRAVASCO - VOLTAGGIO

scisti filladici del Monte Larvego

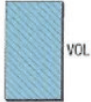
Filladi grigio-nerastre con intercalazioni carbonatiche. Sono caratterizzati da diverse generazioni di scistosità.
CRETACICO INF. ?



calcarei di Voltaggio

Calcarei cristallini quarzo-micacei, alla base a noduli silicei. Sono caratterizzati da diverse generazioni di scistosità. Affiorano in lenti di dimensioni ettometriche ad ovest di Molino, nell'area tra San Pietro ai Prati e l'Osteria dello Zucchero e in corpi più estesi a sud di Monte Lecco.

MALM? - CRETACICO INF. ?



metasedimenti silicei dell'Osteria dello Zucchero

Scisti silicei, con livelli radiolaritici, di colore generalmente rosso. Metasedimenti silicei ematitici più o meno pelitici (fianiti) a colorazione rosso-bruna, talvolta con livelli verdastri o grigi e più rare intercalazioni di metarenarie ofiolitiche. Sono presenti gusci o tracce di radiolari deformati. Sono caratterizzati da diverse generazioni di scistosità e nei livelli metarenacei si sviluppano anfiboli sodici. Affiorano in corpi di dimensioni decametriche, associati ai metabasalti e ai metagabbri.

MALM?



Giurassico - Cretacico



metabasalti di Cravasco

Metabasalti, spesso con struttura a cuscini riconoscibile. Sovrainfronta alpina in facies Scisti Blu (albite, Na-anfibolo, clorite, epidoto, lawsonite, pumpellyite, titanite), con sviluppo di scistosità. Affiorano in corpi di dimensioni da decametriche a ettometriche.

MALM?

metagabbri di Rocca Crescione

Comprendono metagabbri a ossidi di Fe e Ti, metaquarzodioriti e plagiograniti in giacitura filoniana. Tessiture da cochiacine fino a listate dovute a deformazioni e metamorfismo di fondo oceanico (relitti di diopside e orneblenda bruna) sono localmente ben sviluppate e attraversate da filoni basaltici a loro volta associati a vene di orneblenda bruna (Ponte San Giorgio). Sovrainfronta alpina in facies Scisti Blu (albite + Na-anfibolo \pm Na- e Na-Ca-clinopirosseno \pm clorite \pm lawsonite \pm epidoto \pm pumpellyite \pm titanite), con sviluppo di scistosità penetrativa. Affiorano in corpi di dimensione ettometrica, a nord di Monte Lecco.

MALM



Litofacies a metaofoliti indifferenziate

Metagabbri a ossidi di Fe e Ti, metadioriti, plagiograniti, metadioriti e metabrecce ofiolitiche, intimamente associate e non cartografabili separatamente, in corpi di dimensioni decametriche. Raramente si sviluppa scistosità penetrativa alpina (RCR₂).

metagabbri del Monte Lecco

Metagabbri a clinopirosseno e rara olivina, a grana da media a medio-grande, frequentemente attraversati da dicchi basaltici e vene ad orneblenda. Tessiture primarie da isotrope a milonitiche, generalmente ben conservate. Sovrainfronta alpina con pseudomorfi di albite e lawsonite su plagioclasio e raro anfibolo sodico.

DOGGER? - MALM?



serpentiniti di Case Bardane

Serpentiniti a crisotilo e antigorite, frequentemente a relitti mineralogici e tessiture di lherzolite, spesso cataclastiche. A nord di Santo Stefano di Larvego sono presenti livelli decametrici di metarodingiti derivate da basalti, a tessitura blasto-ofitica con pseudomorfi di grossularia + vesuviana + clorite su plagioclasio e diopside + clorite su clinopirosseno primario. Localmente oficalciti a carbonati ed ematite, più o meno scistose.

DOGGER? - MALM?



UNITÀ TETTONOMETAMORFICA GAZZO - ISOVERDE

Triassico - Giurassico



MBG

meta-argilliti di Bessega

Meta-argilliti grigio-scure e nere, più o meno silteose, in strati di spessore da centimetrico a pluricentimetrico, con intercalazioni di calcari cristallini. Scistosità evidente.
LIAS SUP.? - DOGGER?



LEN

calcari di Lencisa

Metacalcari grigi, grigio-neri e nocciola, con liste e noduli di selce e intercalazioni di livelli metapelitici. Nella parte basale sono intercalati livelli di *pebbly limestones* a clasti calcarei, noduli a Fe-Mn e fosfatici, associati a Belemniti, Ammoniti fosfatizzate, Gasteropodi, Crinoidi, Echinidi, Coralli e Foraminiferi. La stratificazione, benché trasposta, è di solito riconoscibile e il clivaggio più o meno evidente nei diversi litotipi. Lo spessore degli strati varia da centimetrico a decimetrico. Affiorano in corpi di dimensione ettometrica, ad ovest di Gallaneto e di Torbi.
SINEMURIANO - PLEINSBACHIANO



GLL

Calcari di Gallaneto

Metacalcari grigi più o meno micacei, alternati a scisti pelitici e marnosi. Verso l'alto stratigrafico calcari cristallini puri. Il contenuto paleontologico comprende resti di Molluschi, Alghe Dasycladacee, Ostracodi, Lamellibranchi, Coralli ed è localmente abbondante fino a facies a lumachella. La stratificazione è generalmente ben riconoscibile, mentre lo sviluppo del clivaggio è poco pervasivo. Lo spessore degli strati varia da decimetrico a metrico. Affiorano in corpi di dimensione ettometrica, ad ovest di Gallaneto e di Torbi.
NORICO SUP. - HETTANGIANO



GSR

gessi del Rio Riasso

Gessi saccaroidi, calcari vacuolari, breccie dolomitiche e anidriti. Affiorano in sottili livelli di dimensione decametrica, tra Isoverde e Il Passo della Bocchetta.
NORICO?



MDG

dolomie del Monte Gazzo

Dolomie e calcari dolomitici da grigi a nerastrì, ricristallizzati, da criptocristallini a saccaroidi, intercalati a livelli di metapeltiti e calcari marnosi gialli. Verso l'alto stratigrafico presenza di filoni sedimentari e breccie intraformazionali. La stratificazione non è sempre facilmente riconoscibile e lo spessore degli strati è variabile. Strutture sedimentarie quali laminazioni da tappeti algali, livelli cospartitici e intramicospartitici sono talvolta conservati. Il top stratigrafico è costituito da dolomicriti nerastrì, con faune a Ostracodi e breccie da probabile emersione.
CARNICO SUP.? - NORICO

UNITÀ TETTONOMETAMORFICA PALMARO - CAFFARELLA



VBG

calcescisti della Val Branega

Scisti quarzo-micacei più o meno calcariferi, spesso con livelli nerastrì ricchi in cloritoidi, di spessore millimetrico, boudinati. Caratteristica è la presenza di pseudomorfi grafliche a losanga. Localmente livelli di marmi quarzo-micacei. Sono presenti scistosità legate a diverse generazioni di deformazioni.
GIURASSICO SUP.? - CRETACICO SUP.?



QPC

quarzoscisti di Sant'Alberto

Scisti quarzifici a colorazione da biancastra a verdastra, talvolta con fengite ed epidoto, più raramente con Na-anfibolo; localmente a tessitura brecciata. Molto raramente quarzoscisti emalitici con tracce di radiolari deformati. Localmente livelli ricchi in minerali di manganese come spessartina, piemontite e Mn-clorite. Sono presenti scistosità legate a diverse generazioni di deformazioni.
MALM?



WR

metabasalti della Val Varenna

Metabasiti a grana fine, per lo più largamente retrocesse in facies Scisti Verdi (albite + clorite + titanite ± fengite ± biotite ± stilpnomelano); frequentemente a tessitura listata, con alternanza di livelli a prevalente Na-anfibolo e livelli a prevalente albite + epidoto.
MALM?



MFP

metagabbri del Bric Fagaglia

Metagabbri a ossidi di Fe e Ti, a grana medio-fine talvolta con relitti di clinopirosseno igneo, localmente con sviluppo di tessiture occhiate fino a listate dovute a metamorfismo di fondo oceanico (relitti di diopside e omelenda bruna), attraversati da filoni doleritici. Localmente passano a metabreccie monogeniche. Paragenesi in facies Scisti Blu (Na-anfibolo + epidoto ± giadeite ± Na-Ca-clinopirosseno ± lawsonite). Eccezionalmente compare granato almandin-spessartino. Diffusa riequilibratura in facies Scisti Verdi. Scistosità di età alpina raramente penetrativa.
MALM



MGP

metagabbri di Carpenara

Metagabbri e meta-olivini-gabbri a grana da fine a pegmatoide, spesso con relitti di clinopirosseno igneo. Localmente con tessitura occhiate ereditata da metamorfismo e deformazioni di fondo oceanico (relitti di diopside e omelenda bruna); tale tessitura è attraversata da filoni doleritici, talvolta di plagiogranito. Paragenesi in facies Scisti Blu (clinzoisite ± lawsonite ± Na-anfibolo ± clorite ± onfacite ± titanite). Diffusa riequilibratura in facies Scisti Verdi. Scistosità di età alpina generalmente poco penetrativa, a volte sviluppata su precedenti zone di taglio.
MALM

Litofacies a prevalente retrocessione in facies Scisti Verdi (MGP).



RLO

serpentiniti di San Carlo di Cese

Serpentiniti antigoritiche, talvolta con relitti mineralogici e/o tessiture di herzoliti. Caratterizzate da un clivaggio spaziale marcato dalla riorientazione planare della magnetite.
DOGGER? - MALM?

Metarodoliti da protoliti gabbri, raramente basaltici, generalmente a colorazione biancastra e/o giallastra. Paragenesi a grossularia ± clinzoisite ± vesuviana ± lawsonite ± clorite ± diopside (α).

Giurassico - Cretacico

UNITÀ TETTONOMETAMORFICA VOLTRI

**calcescisti del Turchino**

Scisti quarzo-micacei, spesso con calcite. Talvolta contengono tormalina, cloritoide, clorite e pirite. Le miche sono rappresentate da fengite di diverse generazioni, muscovite e raramente paragonite. Frequentemente presentano intercalazioni di calcari cristallini più o meno micacei, con spessore fino a decametrico. Sono presenti scistosità legate a diverse generazioni di deformazioni.

GIURASSICO SUP.? - CRETACICO SUP.?

**quarziti di Case Tavernino**

Scisti quarzifici in livelli di spessore da pochi decimetri a qualche decina di metri, generalmente intercalati nei calcescisti e/o associati alle metabasiti. A colorazione da biancastra a verdastria per la presenza di fengite, più raramente con zone arrossate per la presenza di ematite o di fasi manganesifere. Contengono percentuali variabili di fengite e subordinatamente spessartina, piemontite, cloritoide, paragonite, Mn-epidoto, epidoto di terra rare, tormalina, apatite, titanite e raramente anfibolo. La transizione verso i calcescisti è spesso graduale per diminuzione dei livelli quarzifici e il contemporaneo aumento dei livelli micacei e carbonatici.

MALM?

**metabasiti di Rossiglione**

Metabasiti da protoliti basaltici talvolta rimaneggiati (breccie e grovacche) (Prasinitti Auct.). Presentano scistosità legate a diverse generazioni di deformazioni e comunemente sono completamente riequilibrata in facies Scisti Verdi, con tipica albite ocellare post-cinematica. Talvolta sono presenti relitti di un banding associato a Na-anfiboli.

MALM?

**metagabbri eclogitici di Case Buzzano**

Comprendono metagabbri e metacioriti a ossidi di Fe e Ti, con paragenesi eclogitiche a lawsonite ed anfibolo sodico. Derivazione da protoliti frazionati a tessitura ignea raramente riconoscibile. Queste rocce sono interessate da più generazioni di deformazioni sovrapposte, sin-metamorfiche; la tessitura è generalmente occhiadrina fino a blastomilonitica. Paragenesi a Na-anfibolo ± onfacite ± gladeite ± granato ± lawsonite ± zoisite ± fengite ± rutile ± Ti-magnetite ± titanite. Le percentuali dei minerali risultano estremamente variabili, fino a onfacitici (onfacite > 90%) da protoliti dioritici. Sovrainfronta metamorfica a pressioni decrescenti generalmente assente o poco sviluppata. Affiorano in corpi di dimensione da decametrica a ettometrica, associati alle serpentiniti e ai metagabbri di Prato del Gatto.

MALM

**metagabbri eclogitici di Prato del Gatto**

Comprendono metagabbri e metacioriti a paragenesi eclogitiche con lawsonite e anfibolo sodico. Derivazione da protoliti cumulitici con tessitura ignea talvolta riconoscibile; frequenti tessiture occhiadrine fino a milonitiche. Paragenesi a Na-anfibolo ± onfacite ± granato ± lawsonite ± zoisite ± fengite ± talco. Sovrainfronta metamorfica a pressioni decrescenti generalmente poco sviluppata.

MALM

Litofacies a prevalente retrocessione in facies Scisti Verdi (MPP).

**metagabbri eclogitici del Passo del Faiallo**

Metagabbri a ossidi di Fe e Ti, con paragenesi eclogitiche con anfibolo sodico. Derivazione da protoliti frazionati a grana da media a grande, con tessiture ignee spesso riconoscibili. Paragenesi di alta pressione a granato + Fe-onfacite + rutile + Na-anfibolo + Ti-magnetite ± clinozoisite ± talco. Scistosità generalmente poco penetrative e bande a tessitura blastomilonitica molto localizzate. Sovrainfronta metamorfica a pressioni decrescenti caratterizzata da associazioni a Na-anfibolo (barroisite) + albite + epidoto + clorite, raramente fino a facies Scisti Verdi.

MALM

**metagabbri eclogitici della Colma**

Metagabbri e metacioriti con paragenesi eclogitiche con anfibolo sodico. Derivazione da protoliti cumulitici a grana da media a grande; tessiture ignee frequentemente riconoscibili, spesso obliterato da sviluppo di tessitura occhiadrina. Paragenesi a clinozoisite + onfacite + Na-anfibolo ± granato ± fengite ± talco ± Na-tremolite ± cloritoide ± rutile. La retrocessione fino alla facies Scisti Verdi è frequente, con caratteristico sviluppo di albite ocellare fino a centimetrica.

DOCCER? - MALM?

Litofacies a prevalente retrocessione in facies Scisti Verdi (MGv).

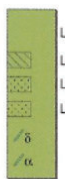
**serpentinoscisti antigoritici del Bric del Dente**

Serpentinoscisti ad antigortite + magnetite ± clorite ± diopside ± tremolite ± ankerite ± Ti-clinohumite. Sono presenti scistosità legate a diverse generazioni di deformazioni.

DOCCER? - MALM?

Litofacies a relitti strutturali delle originarie lherzolitiche (SNw).

Metarodrigiti a grossularia, diopside, titanite ± epidoto ± vesuviana, con spessore da metrico a plurimetrico. La provenienza da dioliti gabbri o più raramente da filoni basaltici è talvolta riconoscibile (α).

**peridotiti lherzolitiche del Monte Tobbio**

Lherzolitiche (olivina + ortopirosseno + clinopirosseno + spinello + plagioclasio), con frequenti bande pirossenitiche di spessore da centimetrico a decimetrico e lenti dunitiche. Localmente impoverite in clinopirosseno. Passano gradualmente a scisti serpentinitici, spesso ad antigortite, talvolta con Ti-clinohumite.

DOCCER? - MALM?

Litofacies a tessitura tettonica (LHP).

Litofacies a tessitura granulare (LHP_g).

Litofacies a duniti (LHP_d).

Metagabbri in dicchi di spessore da decimetrico a metrico, in parte rodingitizzati (δ).

Metarodrigiti a grossularia, diopside, titanite ± epidoto ± vesuviana, con spessore da metrico a plurimetrico. La derivazione da dioliti gabbri o più raramente da filoni basaltici è talvolta riconoscibile (α).

UNITÀ TETTONOMETAMORFICA ANGASSINO - TERMA

**dolomie del Bric del Terma**

Dolomie saccharoidi a colorazione da grigia a giallo-bruna e subordinati metacalcari dolomitici, fortemente ricristallizzati, privi di tessiture sedimentarie riconoscibili, talvolta scistosì, spesso cataclastici. Affiorano in corpi di dimensione decametrica nella zona del Bric del Terma e nella zona del Rio Testaquara, dove sono associate alle quarziti.

TRIASSICO MEDIO?

**quarziti di Fosso Angassino**

Quarziti scistosose più o meno micacee, localmente a tessitura blastopsittica. I minerali accessori sono magrette, apatite e zirconio.

PERMIANO SUP.? - TRIASSICO INF.?

Permo-Triassico

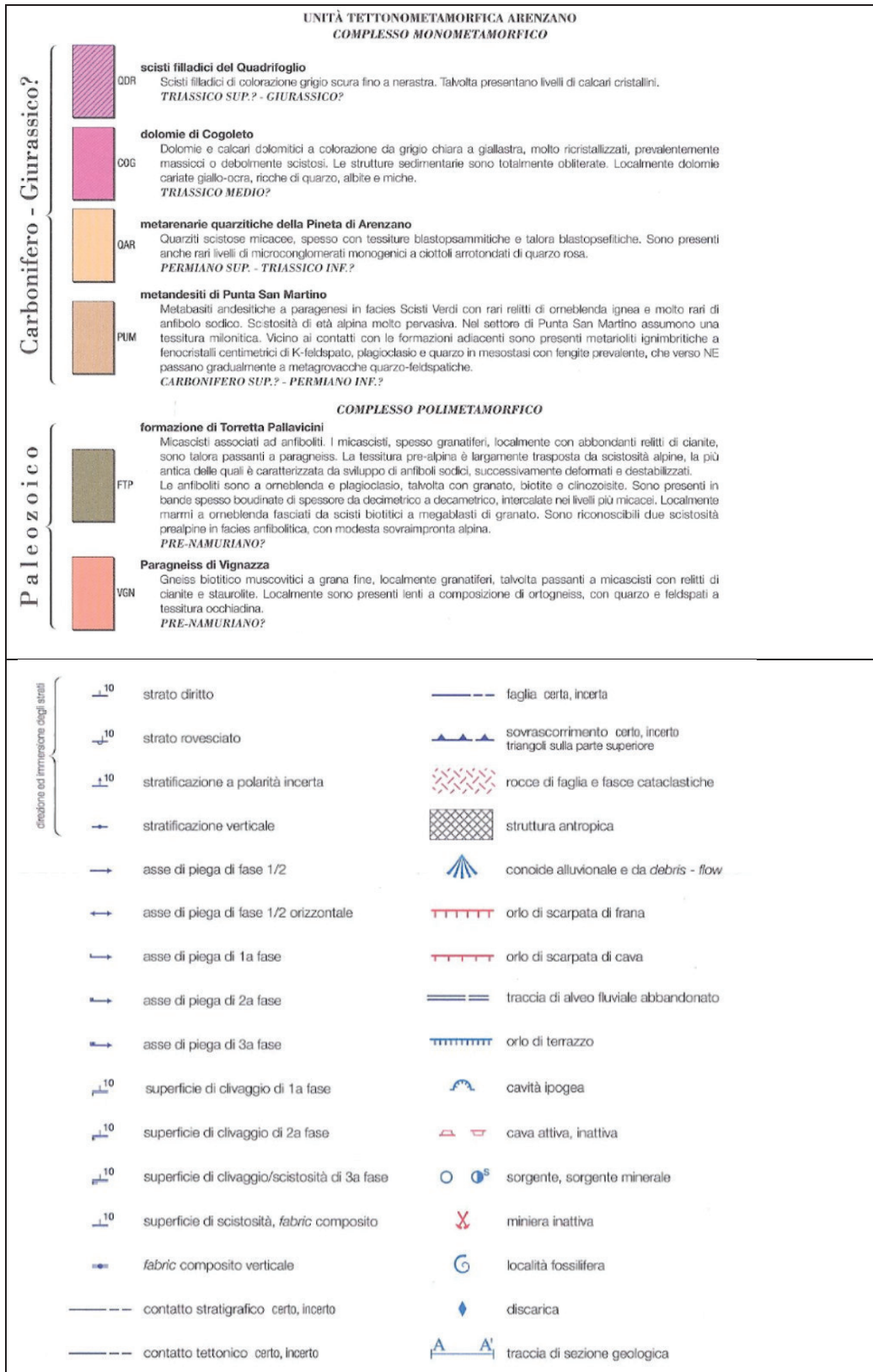





Figura 1 – Legenda della carta geologica Foglio CARG 213 Genova.

LEGENDA




DEPOSITI ALLUVIONALI

	(a) alluvioni
	(am) Mobili attuali
	(ar) Terrazzati recenti
	(aa) Terrazzati antichi
	(al) Depositi lacustri

DEPOSITI DI SPIAGGIA

	(ds) Depositi di spiaggia
-----------------------------------------------------------------------------------	---------------------------

COPERTURE DETRITICHE POTENTI (Superiori a mt. 3)

	(dt) Coperture detritiche superiori a 3 metri - (dm) Depositi morenici
	(dt1) Coperture detritiche superiori a 3 metri fini
	(dt2) Coperture detritiche superiori a 3 metri grossolane

LIMITI FORMAZIONALI

	certi
	presunti

GIACITURE DEGLI STRATI

	orizzontali
	verticali
	Inclinati
	rovesciati
	contorti

FAGLIE

	certe
	presunte

SOVRASCORRIMENTI

	
-------------------------------------------------------------------------------------	--

	arg	Argille
	cm	Calcarei marnosi
	ag	Argilliti
	as	Argilloscisti

	DISCARICHE
	RIPORTI
	SBANCAMENTI

Figura 2 – Legenda della carta geologica del Piano di Bacino del T. Bisagno.

Tabella 1 – Elenco dei sondaggi pregressi a carotaggio continuo ottenuti dal Geoportale della Regione Liguria, con indicazione di anno di esecuzione, ditta esecutrice, profondità del sondaggio, soggiacenza (quando misurata), profondità e tipo di substrato.

ID_GIS	Codice	Data	Ditta	Profondità sondaggio (m)	Soggiacenza falda (m dal p.c.)	Profondità substrato (m dal p.c.)	Substrato	STAZIONE/ DEPOSITO
3601	4415	mag-89	ELCI	15,3	0,5	**	**	
2503	2845	ago-99	terra s.r.l.	20		**	**	
151	1342	apr-90	ELCI	14	3,1	10	CALCESCISTI	
2570	2912	lug-94	ELCI	12		**	**	
4224	5328	feb-04	PROMOGEO	25	4,8	7,2	CALCESCISTI	
19	1094	apr-97	SICOS	13		8	CALCESCISTI	SSE 1 PRA
21	1096	apr-97	SICOS	12,9		11,2	CALCESCISTI	SSE 1 PRA
7593	002414	gen-13	INTERGEO	35		2,2	CALCESCISTI	
7595	2416	gen-13	INTERGEO	25		1,6	CALCESCISTI	
7602	2423			11,75		4,3	CALCEMICASCISTI	SSE 1 PRA
7609	2430			28		2,4	CALCEMICASCISTI	SSE 1 PRA
7835	2658	nov-06	FELSILAB	3		**	**	
3019	5663	ott-05		12,45		5	CALCESCISTI	
3020	5664	ott-05		12,3		5,5	CALCESCISTI	
3021	5665	ott-05		12,5		4	CALCESCISTI	
7458	1171	gen-78		15		**	**	
101	1248	gen-80	ELSE	18		10	GABBRI	
102	1249	gen-80	ELSE	18		9	GABBRI	
103	1250	gen-80	ELSE	16		8	CALCEMICASCISTI	
104	1251	gen-80	ELSE	16		5	CALCESCISTI	
149	1334	mar-90	ELCI	13,5		5	CALCESCISTI	
150	1335	mar-90	ELCI	14,5		6,2	CALCESCISTI	
161	1352	mar-90	ELCI	10,3		7,5	CALCESCISTI	
218	1426	nov-91	GEOTECNOS OIL	12		7	SERPENTINITI E SERPENTINOSCISTI	
4202	5306	apr-05		17		8,8	CALCESCISTI	
4204	5308	apr-05		8		7,6	CALCESCISTI	
828	761	nov-85	ELCI	15		8	SERPENTINITE	
829	763	nov-85	ELCI	12		7	BRECCIA SERPENTINITICA	
830	764	nov-85	ELCI	13		9	SERPENTINOSCISTI	
2659	3007	dic-00		12		**	**	
2842	3240	mar-00		12		5,5	SCISTI FILLADICI	
2843	3241	mar-00		10		5,8	CALCESCISTI	
4205	5309	apr-05		8		**	**	
6375	1228	lug-10	DE FRANCHI	3		2,45	METABRECCIA DI METAGABBRI	
6380	1233	lug-10	DE FRANCHI	3		2,9	METABRECCIA DI METAGABBRI	
6381	1234	lug-10	DE FRANCHI	12		10	METABRECCIA DI METAGABBRI	SSE 2 PEGLI
6382	1235	lug-10	DE FRANCHI	10		6,7	METABRECCIA DI METAGABBRI	SSE 2 PEGLI
6383	1236	giu-10	DE FRANCHI	12		7,7	METABRECCIA DI METAGABBRI	SSE 2 PEGLI
6385	1238	lug-10	DE FRANCHI	10		3,7	METABRECCIA DI METAGABBRI	
245	1453	ott-88		8		3,7	SERPENTINITI	
246	1454	ott-88		8		7	SERPENTINITI	
1863	2198	apr-00		14		**	**	
1866	2201	apr-00		12		**	**	
1867	2202	apr-00		9		2,6	BRECCE	
3894	4188	dic-98		19		4,5	SERPENTINITI	
3895	4189	dic-98		20		7	SERPENTINITI	
3109	5755	giu-06		7,6		5	SERPENTINITI	
3646	4461	set-96		30		8	CALCESCISTI	
3278	4558	lug-02		15		**	**	
3768	4952	dic-03		20		**	**	
3769	4953	dic-03		20		**	**	
3792	4976	feb-99		10		**	**	
3794	4978	mar-99		10		4,8	SERPENTINITI	
3798	4982	mar-99		10		9,8	SERPENTINITI	
3799	4983	mar-99		10		6,3	SERPENTINITI	
3800	4984	mar-99		10		**	**	
5353	209	lug-07	DAMERI	7		6	CALCESCISTI	
5354	210	lug-07	DAMERI	8		0,3	CALCESCISTI	
5355	211	lug-07	DAMERI	15		11	CALCESCISTI	
5356	212	lug-07	DAMERI	14		12	CALCESCISTI	
57	1167			20	2,4	**	**	
59	1170	dic-71		21,3		18,5	ARGILLOSCISTI	
133	1294	lug-89		10	3,1	**	**	
1827	2162	apr-94		12		**	**	

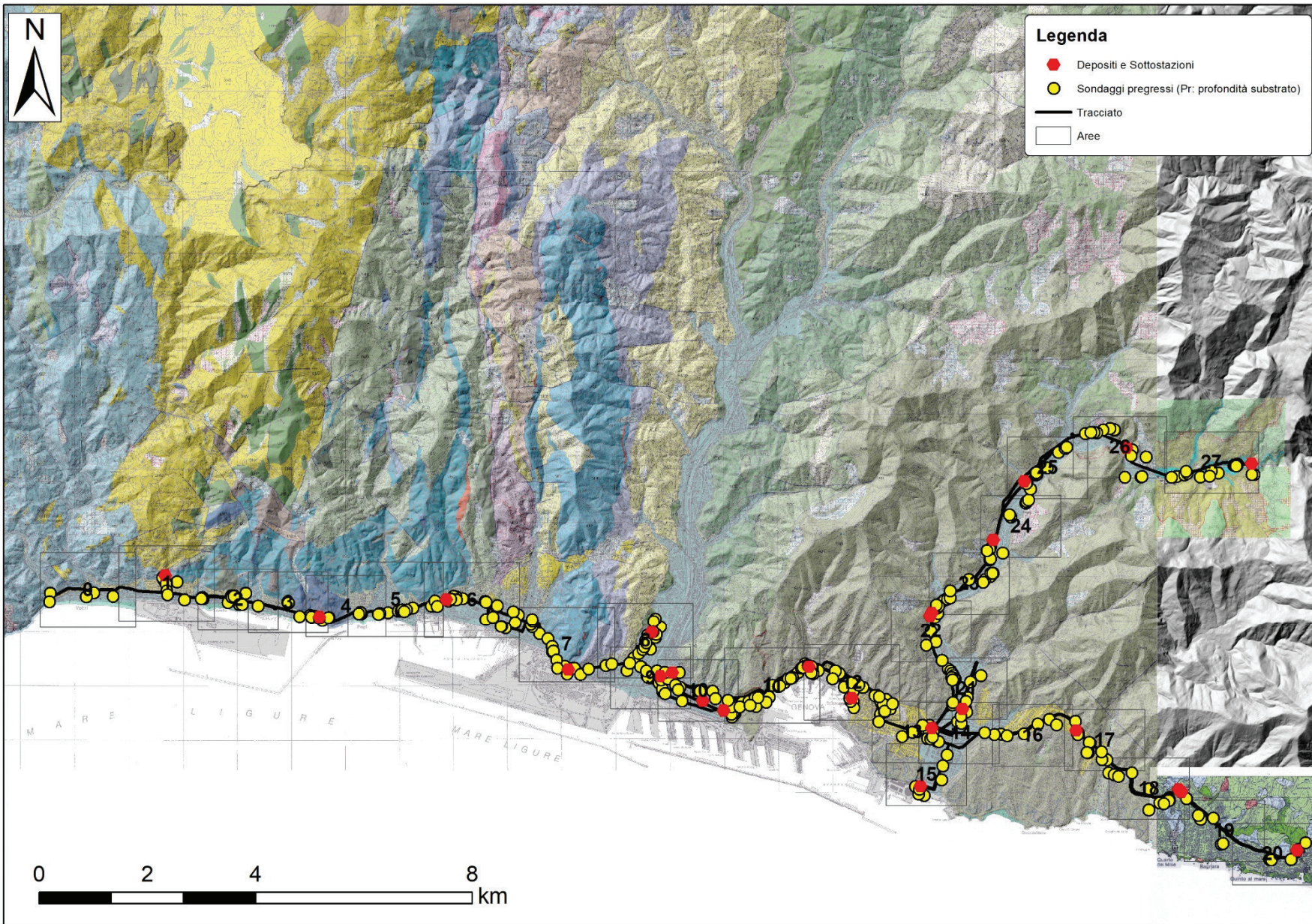
ID_GIS	Codice	Data	Ditta	Profondità sondaggio (m)	Soggiacenza falda (m dal p.c.)	Profondità substrato (m dal p.c.)	Substrato	STAZIONE/DEPOSITO
1829	2164	apr-94		12		11	ARGILLOSCISTI	
1897	2232	giu-96	TECNOGEO	13		**	**	
1900	2235	feb-96	TECNOGEO	13	8,8	**	**	
7669	2490	ago-15		12	3,5	3	CALCESCISTI	SSE 3 SESTRI
7670	2491	set-15		15	5,25	7,3	CALCESCISTI	SSE 3 SESTRI
8216	3040	ott-17	GEOPROVE	8		**	**	
8219	3043	ott-17	GEOPROVE	8		**	**	
1476	3286	mar-00		7		**	**	
1477	3287	mar-00		8,1		6,8	CALCESCISTI	
1478	3288	mar-00		12,9		8,5	CALCESCISTI	
1479	3289	mar-00		15,6		12,5	CALCESCISTI	
3268	4548	nov-02		20		**	**	
3271	4551	nov-02		15		**	**	
3315	4599	set-02		7,7		**	**	
4212	5316	lug-00		10		**	**	
14	1089	apr-97	SICOS	18,4		9	ARGILLOSCISTI	SSE 4 CORNIGLIANO
54	1142	dic-71		24,15	4,4	5,85	ROCCE VERDI CON ARGILLOSCISTI	
7103	1931		PROMOGEO	20		**	**	SSE 4 CORNIGLIANO
7301	2127	mag-11	PROMOGEO	17,5		10,5	BASALTO SERPENTINITICO	
7302	2128	mag-11	PROMOGEO	30		16,2	ARGILLE LITOIDI	
7303	2129	giu-11	PROMOGEO	20		14	ARGILLE LITOIDI	
1833	2168	mag-95		20		**	**	
1883	2218	giu-90		15,8		10,35	PRASINITI ??	
1884	2219	giu-98		8,7		3	CALCARI	
1885	2220	giu-98		9		4	CALCARI	SSE 4 CORNIGLIANO
7416	2241	ott-13		20		11	ARGILLE (DI ORTOVERO)	
2573	2915	nov-97	ELCI	12		11	ARGILLOSCISTI	
2574	2916	nov-97	ELCI	12		**	**	
1453	3263	dic-99		7		**	**	
1459	3269	nov-97		8,8		**	**	
1460	3270	nov-97		8		**	**	
3259	4539	giu-90		15		4,2	SERPENTINITI	
3260	4540	giu-90		15		2	BASALTI	
3266	4546	mag-90		15		6	CALCESCISTI	
2923	5566	apr-05		12		**	**	
701	599	mag-78		11		8	CALCARI	
2009	2350	mar-91		22		12	CALCESCISTI	
2010	2351	mar-91		18		12	ARGILLITI	
2212	2553	mar-93		20		**	**	SSE 5 CAMPI
2213	2554	mar-93		20		**	**	SSE 5 CAMPI
2835	3233	set-99		15		**	**	SSE 5 CAMPI
2838	3236	set-99		15		**	**	SSE 5 CAMPI
1536	4064	ott-99		12,3		0	SCISTI FILLADICI	
1676	4306	ago-00		30		27,7	ROCCIA	
3629	4444	gen-75		30		**	**	
3630	4445	mar-83		18		**	**	
3633	4448	feb-83		25		**	**	
2861	5505	gen-91		25		**	**	
2964	5608	giu-05		35		5,4	ARGILLOSCISTI	
656	553	dic-71	CASTELLOTTI	20,5	2,5	**	**	SSE 6 DEGOLA
808	729	feb-93		10		**	**	SAMPIEDARENA
7428	2253	lug-08	PROMOGEO	30		**	**	
2131	2472	lug-00		48,7		34,4	SCISTI CALCAREI	
2133	2474	lug-00		47,3		34,5	SCISTI CALCAREI	
2134	2475	lug-00		7,5		**	**	
2138	2479	lug-00		20,5		**	**	SSE 6 DEGOLA
2156	2497	ott-96		12		**	**	
2166	2507	ott-96		12		**	**	
2189	2530			39,6		**	**	
2333	2674	set-04	PROMOGEO	15		**	**	SAMPIEDARENA
2488	2829	giu-99		42		35,7	ARGILLOSCISTI	
8058	2881	mar-16	SONDECO	7	2,25	**	**	
8060	2883	mar-16	SONDECO	15		**	**	
5041	4324			33		**	**	
3533	4824	gen-04		20		**	**	
3779	4963	ago-97		25		**	**	
4259	5363	feb-04	PROMOGEO	20	6,6	**	**	SAMPIEDARENA
655	552			16,7		**	**	
2137	2478	lug-00		16,7		**	**	

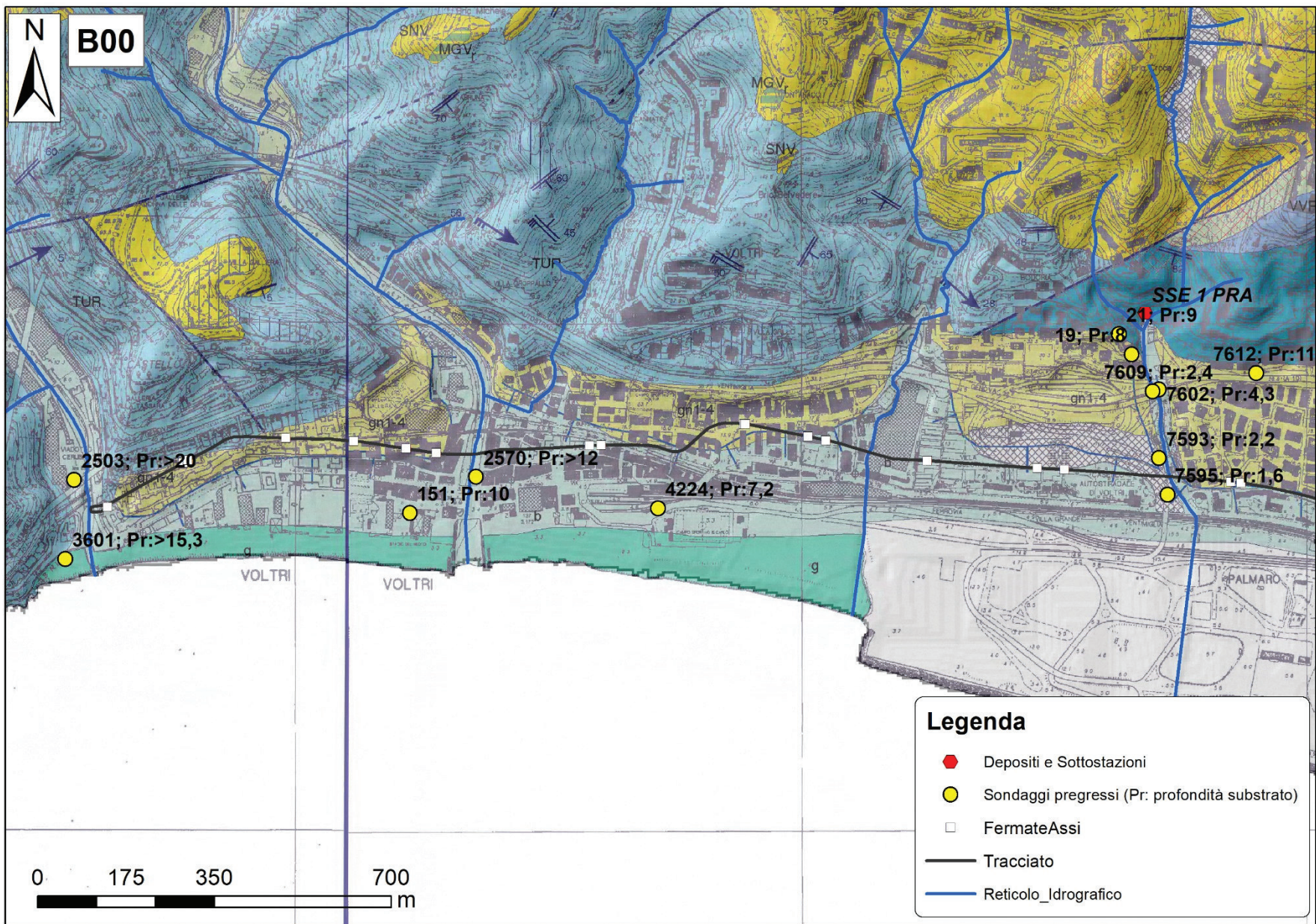
ID_GIS	Codice	Data	Ditta	Profondità sondaggio (m)	Soggiacenza falda (m dal p.c.)	Profondità substrato (m dal p.c.)	Substrato	STAZIONE/DEPOSITO
2204	2545		ELSE	15		9,5	ARGILLOSCISTI	
2205	2546	mar-97	CASTELLOTTI	22	2,5	4	ARGILLOSCISTI	
7916	2738	mar-08	GD TEST	4		0,3	ARGILLITI	
1607	4135	set-79		20	5	12	ARGILLITI	SSE 7 SAMPIERDARENA
1611	4139	lug-82		21	8,5	16,5	ARGILLITI	SSE 7 SAMPIERDARENA
1612	4140	lug-82		22	8,5	17,4	ARGILLITI	SSE 7 SAMPIERDARENA
1615	4143	lug-82		22	6	15,8	ARGILLITI	SSE 7 SAMPIERDARENA
3292	4575	mar-03		70		**	**	
3703	4887	mag-88		15		11	ARGILLITI	
3711	4895	lug-88		14		6	ARGILLITI	
3712	4896	lug-88		15		**	**	
4260	5364	mar-04	PROMOGEO	30	5,3	15,4	ARGILLITI	FOTO CASSETTE
4261	5365	feb-04	PROMOGEO	30	5,2	**	**	
388	83	nov-86	BELLINI	6		4,2	CALCARI	
426	126		LODIGIANI	13,5		4	CALCARI MARNOSI	
428	128	giu-83	LODIGIANI	11,5		3,8	CALCARI MARNOSI	
429	129	giu-83	LODIGIANI	9,5		1,5	CALCARI MARNOSI	
430	130	mar-83	BELLINI	15		0	CALCARI MARNOSI	
5295	146	lug-07	PROMOGEO	6		5,3	CALCARI	
5296	147	lug-07	PROMOGEO	3		2	CALCARI MARNOSI	
5298	149	lug-07	PROMOGEO	4,4		3	CALCARI MARNOSI	
5300	151	lug-07	PROMOGEO	3		**	**	
5301	152	lug-07	PROMOGEO	6		5,2	CALCARI MARNOSI	
476	247	mar-93	CASTELLOTTI	18,3		3,5	CALCARI MARNOSI	
572	469			12		2	CALCARI MARNOSI	
573	470			15		2	CALCARI MARNOSI	
574	471			15		6	CALCARI MARNOSI	
602	499	gen-92		12		6,8	CALCARI MARNOSI	
604	501	gen-92		12,2		6,3	CALCARI MARNOSI	
1798	2130	feb-98		12,5		2,5	CALCARI MARNOSI	
2002	2343	ott-87		13		3	ARGILLITI	
2003	2344	ott-87		16		10,5	ARGILLITI	
2198	2539	set-87		10		0,5	CALCARI MARNOSI	
7893	2715	mar-08	GD TEST	3,5		1,2	CALCARI MARNOSI	FOTO CASSETTE
7905	2727	mar-08	GD TEST	4		0,2	CALCARI MARNOSI	FOTO CASSETTE
7906	2728	mar-08	GD TEST	4		0,2	CALCARI MARNOSI	
1481	3291	gen-00	CASTELLOTTI	12		1,5	CALCARI	
431	131	giu-83	BELLINI	18		8,15	CALCARI MARNOSI	
433	133	giu-83		15		4,5	CALCARI MARNOSI	
434	134	lug-83		17		11	MARNE	
460	191			18		13	MARNE	
461	192	mar-97		15		6	MARNE ARGILLOSE	SSE 8 CARICAMENTO
462	193	mar-97		18		6	ARGILLE MARNOSE	SSE 8 CARICAMENTO
477	248	feb-90	CASTELLOTTI	20		1,6	CALCARI MARNOSI	SSE B ACQUAVERDE
478	249	feb-90	CASTELLOTTI	22		5,5	CALCARI MARNOSI	SSE B ACQUAVERDE
479	250	feb-90	CASTELLOTTI	22		4	CALCARI	
482	253	feb-90	CASTELLOTTI	22		5	CALCARI MARNOSI	SSE B ACQUAVERDE
483	254	mar-90	CASTELLOTTI	22		5	CALCARI MARNOSI	
5833	689		PROMOGEO	9		3	ARGILLE DI ORTOVERO	
5834	690		PROMOGEO	9	8,37	4,6	CALCARI MARNOSI	
6924	1757	dic-80		19		5,8	ARGILLA LIMOSA GRIGIO AZZURRA	
2171	2512			20		4,4	CALCARI	
2174	2515			20		4,8	CALCARI	
8091	2842	ott-07	PROMOGEO	20		**	**	
2593	2935	apr-90		25		20	MARNE	SSE 8 CARICAMENTO
2853	3251	ott-00		14		**	**	
3910	4204	nov-97	SONDEDILE	15		8,5	ARGILLE LITOIDI	
3912	4206	nov-97	SONDEDILE	15		5,5	CALCARI MARNOSI	
3913	4207	nov-97	SONDEDILE	15		4,5	ARGILLE LITOIDI	
3914	4208	nov-97	SONDEDILE	15		5	ARGILLE LITOIDI	
3376	4663	27/08/168 7		20		12,5	ARGILLE LITOIDI	
3377	4664	ago-87		20		8,7	ARGILLE LITOIDI	
3378	4665	ago-87		20		6	ARGILLE LITOIDI	

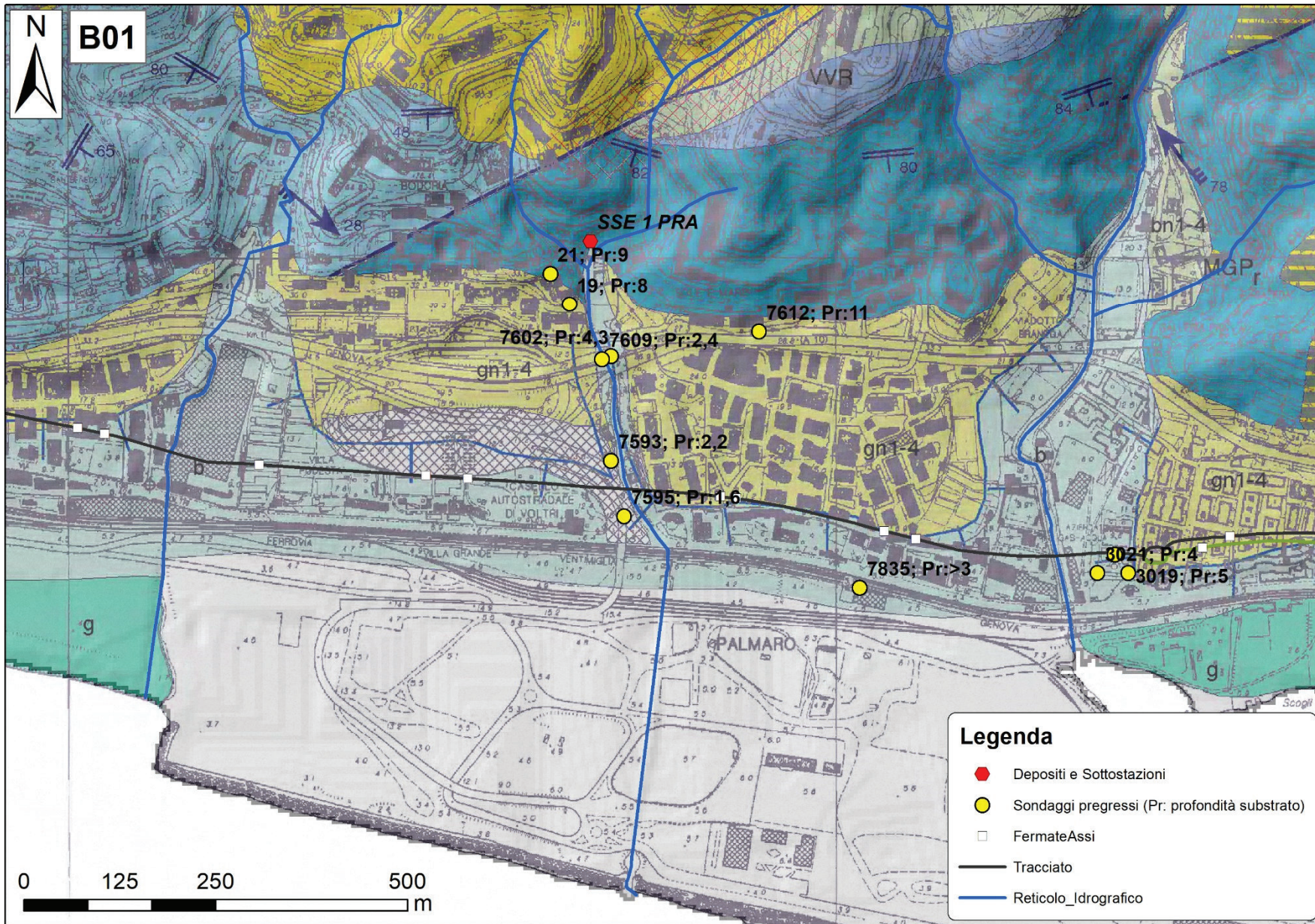
ID_GIS	Codice	Data	Ditta	Profondità sondaggio (m)	Soggiacenza falda (m dal p.c.)	Profondità substrato (m dal p.c.)	Substrato	STAZIONE/ DEPOSITO
3380	4667	apr-99		10,4		4,4	CALCARI MARNOSI	
3381	4668	mag-99		12		7	CALCARI MARNOSI	
4064	5166	giu-89		23		**	**	SSE 8 CARICAMENTO
4066	5168	giu-89		30		6,1	ARGILLE LITOIDI	
2903	5547	giu-65		20,3		1	CALCARI MARNOSI	
2911	5555	giu-87		21,8		3,1	CALCARI MARNOSI	
2920	5564	giu-87		22,5		3,2	CALCARI MARNOSI	SSE B ACQUAVERDE
5366	222	ott-08		10		1	ARGILLE DI ORTOVERO	
487	299	mar-97		9,1		4,15	MARNE	
1402	2018	set-95	CASTELLOTTI	25,5		6,2	ARGILLE LITOIDI	
1403	2019	set-95	CASTELLOTTI	25,5		2,2	ARGILLE LITOIDI	
7310	2136			10		3,8	ARGILLE MARNOSE	
3829	5013	set-04		20		10	ARGILLE LITOIDI	
4109	5212	lug-92	CASTELLOTTI	27		3,6	MARNA ARGILLOSA	
4110	5213	ago-92	CASTELLOTTI	28		3	MARNE ARGILLOSE	
5330	180			10		**	**	
1280	1888	mar-97		30		**	**	
1281	1889	mar-89		30		**	**	
7533	2355	apr-15	PROMOGEO	15	5,5	**	**	
1732	4355	nov-02	CASTELLOTTI	27	6	**	**	
3228	4508			44	6,5	**	**	
3097	5743	nov-02		33		31	ARGILLE LITOIDI	
5329	179			15	4,45	**	**	SSE D VERDI
1001	1607	mar-97		20		**	**	SSE 9 KENNEDY
1324	1932	mar-94	BELLINI	15,5	5,2	14,1	ARGILLE DI ORTOVERO	SSE D VERDI
1406	2022	ott-95	CASTELLOTTI	20		4,13	ARGILLE LITOIDI	SSE D VERDI
2011	2352	mar-15	PRO.MO.GEO	15	5,45	**	**	SSE D VERDI
2633	2975	mar-97		20		**	**	SSE 9 KENNEDY
1734	4357	nov-02	CASTELLOTTI	23,1	2,8	4,15	CALCARI MARNOSI	
3233	4513	feb-03		12		**	**	
2864	5508	dic-02	METHODO	13,3		12,3	CALCARI MARNOSI	SSE 9 KENNEDY
3103	5749	feb-05		20		**	**	SSE 9 KENNEDY
2289	2627	nov-90		9		3,6	CALCARI MARNOSI	
7979	2801	ago-04	PROMOGEO	15		10,2	CALCARI MARNOSI	
7981	2803	ago-04	PROMOGEO	15		**	**	
7987	2809	apr-04	PROMOGEO	5		**	**	
8197	3021	mar-16	GEOTECNICA VENETA	40		12,7	CALCARI MARNOSI	
8202	3026	apr-16	GEOTECNICA VENETA	10		6,2	CALCARI MARNOSI	
3301	4585	ago-01		15		7,8	ARGILLE LITOIDI	
3331	4616	set-02		15		0,8	ARGILLE LITOIDI	SSE 10 CARLINI
3332	4617	set-02		15		3	ARGILLE LITOIDI	SSE 10 CARLINI
3333	4618	set-02		15		3,5	ARGILLE LITOIDI	SSE 10 CARLINI
3334	4619	set-02		15		3,3	ARGILLE LITOIDI	SSE 10 CARLINI
3356	4642	mar-03		15		3,15	ARGILLE LITOIDI	
4278	5382	feb-04		40		**	**	
5646	507			12	7,5	6,7	CALCARI MARNOSI	
5647	508			12	5,2	4,8	CALCARI MARNOSI	
7536	2358	mar-97		15	2,7	2	CALCARI MARNOSI	
7538	2360	feb-97		15		3	CALCARI MARNOSI	
2297	2638	lug-96		10,5		6,8	CALCARI MARNOSI	
8126	2949	mag-16	BIERREGI	15		12	CALCARI MARNOSI	FOTO CASSETTE
8195	3019	dic-96	BELLINI	12		10	CALCARI MARNOSI	
8196	3020	mag-16	BIERREGI	15		8	CALCARI MARNOSI	FOTO CASSETTE
3661	4476	lug-00		11		8,5	CALCARI MARNOSI	
3662	4477	lug-00		9,5		7	CALCARI MARNOSI	
3546	4838	gen-03		7,7		5,7	CALCARI MARNOSI	
2319	2660	apr-00		6		1	CALCARI MARNOSI	
2333	2674	nov-00		9		7,3	CALCARI MARNOSI	
3929	4223	nov-88		12,15		8,5	CALCARI MARNOSI	
3931	4225	ott-88		11,35		5,6	CALCARI MARNOSI	
3246	4526	dic-02		15		1,8	CALCARI MARNOSI	SSE 11 TIGULLIO
3247	4527	dic-02		10		2,3	CALCARI MARNOSI	SSE 11 TIGULLIO
3435	4726	mag-03		7,6		4,3	CALCARI MARNOSI	
3724	4908	giu-04		20		11,7	CALCARI MARNOSI	
3725	4909	giu-04		20		10,5	CALCARI MARNOSI	
3751	4935	nov-03		10,4		5,2	CALCARI MARNOSI	
3767	4951	lug-03		10		1,9	CALCARI MARNOSI	
2247	2588	mag-93		18		5	CALCARI MARNOSI	
2248	2589	mag-93		14,5		3	CALCARI MARNOSI	

ID_GIS	Codice	Data	Ditta	Profondità sondaggio (m)	Soggiacenza falda (m dal p.c.)	Profondità substrato (m dal p.c.)	Substrato	STAZIONE/DEPOSITO
2744	3093	lug-01		10		5,5	CALCARI MARNOSI	
2746	3095	lug-01		12		6	CALCARI MARNOSI	
1465	3275	feb-01		19,1		6,7	CALCARI MARNOSI	SSE 12 NERVI
3965	5055	gen-93		12		2,2	CALCARI MARNOSI	SSE 12 NERVI
6764	1616	gen-09	SGG	15	5,5	**	**	
6765	1617	gen-09	SGG	15	5,3	**	**	
6766	1618	gen-09	SGG	15		**	**	
1226	1834	mar-84		15	1	**	**	
1227	1835	mar-84		15	1	**	**	
1228	1836	mar-84		20	4,5	**	**	
1229	1837	mar-84		18	4,5	**	**	
1248	1856	mar-97		20		**	**	
7109	1937	nov-09	PROMOGEO	25	4,6	**	**	
7111	1939	nov-09	PROMOGEO	33	5,9	**	**	SSE 13 SARDEGNA
7113	1941	nov-09	PROMOGEO	15	4,32	**	**	SSE 13 SARDEGNA
7114	1942	set-09		15	5,5	**	**	
2357	2698	lug-93		15		**	**	
2431	2772	dic-00		32		31	CALCARI MARNOSI	
2433	2774	dic-00		43,5		**	**	
2434	2775	dic-00		42		**	**	
2435	2776	dic-00		44		**	**	
1736	4360	mar-97		20,1		13	CALCARI MARNOSI	
3207	4365	mar-97		20	3	5	CALCARI MARNOSI	
3235	4515	feb-03		32		31	ROCCIA	SSE 13 SARDEGNA
3237	4517	feb-03		28,5		24,3	ROCCIA FRATTURATA	
3840	5024	ott-03		10		5	CALCARI MARNOSI	
2340	2681	nov-95	TECNOGEO	10		2,5	CALCARI MARNOSI	
2544	2886	lug-98		12		**	**	SSE 14 STAGLIENO
2628	2970	feb-01		10		**	**	
2629	2971	feb-01		10		**	**	
2631	2973	feb-01		15		**	**	
3496	4787	nov-03		32,5		27,4	CALCARI MARNOSI	
3497	4788	nov-03		30		25	CALCARI MARNOSI	
3498	4789	nov-03		20		**	**	SSE 14 STAGLIENO
3499	4790	nov-03		36		29,5	ARGILLE LITOIDI	SSE 14 STAGLIENO
3502	4793	nov-03		25		**	**	
3504	4795	nov-03		20		**	**	
3505	4796	nov-03		20,2		**	**	
3138	5784	apr-06		25		4,1	CALCARI MARNOSI	
961	1560	mar-97		20	6	15	CALCARI MARNOSI	
962	1561	mar-97		20	6	9	CALCARI MARNOSI	
963	1562	mar-97		20	8	5,5	CALCARI MARNOSI	
1161	1768	feb-80	ELSE	15		0	CALCARI MARNOSI	
1164	1771	mar-80	ELSE	20		**	**	
1169	1776	mar-97		20	9	**	**	
1170	1777	mar-97		21		11	CALCARI MARNOSI	
1271	1839	feb-85	ELCI	13,7		5,4	CALCARI MARNOSI	
7169	1996	ott-98	ITALPALI	12,4		2,8	CALCARI MARNOSI	
7170	1997	ott-98	ITALPALI	12,8		0	CALCARI MARNOSI	
2355	2696	gen-96	TECNOGEO	10	6,2	**	**	
2356	2697	gen-96	TECNOGEO	10		**	**	
2395	2736	ott-91	ELCI	12		**	**	
8206	3030	dic-14	GEOFISICA AMBIENTE	15		9	CALCARI MARNOSI	GAVETTE
8207	3031	dic-14	GEOFISICA AMBIENTE	20		16,4	CALCARI MARNOSI	GAVETTE
1594	4122	ott-01		15		**	**	
1595	4123	ott-01		15		**	**	
1596	4124	ott-01		8		**	**	
1597	4125	ott-01		15		**	**	
4160	5264	feb-99		18,4		**	**	
5846	702	apr-09	terra s.r.l.	30		25,7	MARNE CALCAREE	
5847	703	mag-09	terra s.r.l.	15		**	**	
5848	704	mag-09	terra s.r.l.	15		**	**	
966	1565	mar-97		30		15	CALCARI MARNOSI	
1221	1829	giu-87	ELCI	18		8	ARGILLITI	
2360	2701	gen-83		15		8,3	ARGILLITI	
2361	2702	gen-83		15		9	ARGILLITI	
2362	2703	gen-83		15		6	ARGILLITI	
2363	2704	gen-83		25		15	ARGILLITI	
2364	2705	gen-83		25		15	ARGILLITI	
2365	2706	gen-83		25		12	ARGILLE	
2366	2707	gen-83		25		13	ARGILLE	

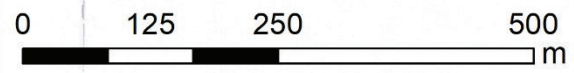
ID_GIS	Codice	Data	Ditta	Profondità sondaggio (m)	Soggiacenza falda (m dal p.c.)	Profondità substrato (m dal p.c.)	Substrato	STAZIONE/ DEPOSITO
2445	2786	mag-00		12		**	**	SSE 15 GOTTARDO
2446	2787	mag-00		12		**	**	SSE 15 GOTTARDO
1475	3285	mag-00		12		**	**	
3831	5015	lug-01		25		22,5	CALCARI MARNOSI	
3832	5016	lug-01		18,7		**	**	
3835	5019	lug-01		20		16,4	CALCARI MARNOSI	
4163	5267	feb-99		20		17,4	CALCARI MARNOSI	
2875	5519	gen-92		14,6		10	ARGILLITI	
2883	5527	gen-78		15		12	ARGILLITI	
2884	5528	feb-78		15		6,5	ARGILLITI	
2885	5529	feb-78		15		0	ARGILLITI	
3071	5717	ago-05		10		**	**	
3073	5719	ago-05		10		**	**	
1176	1783	nov-81		21	3,8	15,3	CALCARI MARNOSI	
1177	1784	nov-81		20,3	5,45	17	CALCARI MARNOSI	
1178	1785	nov-81		20		11,7	ARGILLOSCISTI	
1184	1791	ott-81		25		17	CALCARI MARNOSI	
1185	1792	ott-81		22		11	CALCARI MARNOSI	
1186	1793	nov-81		31	5,3	12,7	ARGILLOSCISTI E CALCARI MARNOSI	
1216	1824	giu-87	ELCI	23		12	ARGILLOSCISTI	
1217	1825	giu-87	ELCI	21		12	ARGILLOSCISTI	
1296	1904	lug-90		20		13,3	ARGILLITI	
2359	2700	nov-00		15		12	CALCARI MARNOSI	SSE 16 FULLO
2538	2880	nov-99		10,9		6,1	ARGILLITI	
2539	2881	nov-99		10		5,4	ARGILLITI	
3905	4199	giu-00		10		**	**	
3542	4834	feb-04		8		**	**	
3543	4835	feb-04		8		**	**	
3124	5770	ago-06		7,5		**	**	SSE 16 FULLO
1269	1877	mar-90	ELCI	15	8,2	10	CALCARI MARNOSI E ARGILLOSCISTI	
1270	1878	mar-90	ELCI	15	8,5	13	ARGILLOSCISTI	
1271	1879	mar-90	ELCI	16	5	10	CALCARI MARNOSI E ARGILLOSCISTI	
1272	1880	mar-90	ELCI	15	8,6	10	ARGILLOSCISTI	
1273	1881	mar-90	ELCI	15	8,6	12,8	ARGILLOSCISTI	
2394	2735	dic-00		21		**	**	
2549	2891	apr-82		22		10,5	ARGILLITI	
2550	2892	apr-82		22		13,5	ARGILLITI	
2551	2893	gen-01		21,5		**	**	
3396	4684	giu-03		15		5,2	ARGILLITI	SSE 17 PRATO
3397	4685	giu-03		8,5		3,9	CALCARI MARNOSI	SSE 17 PRATO





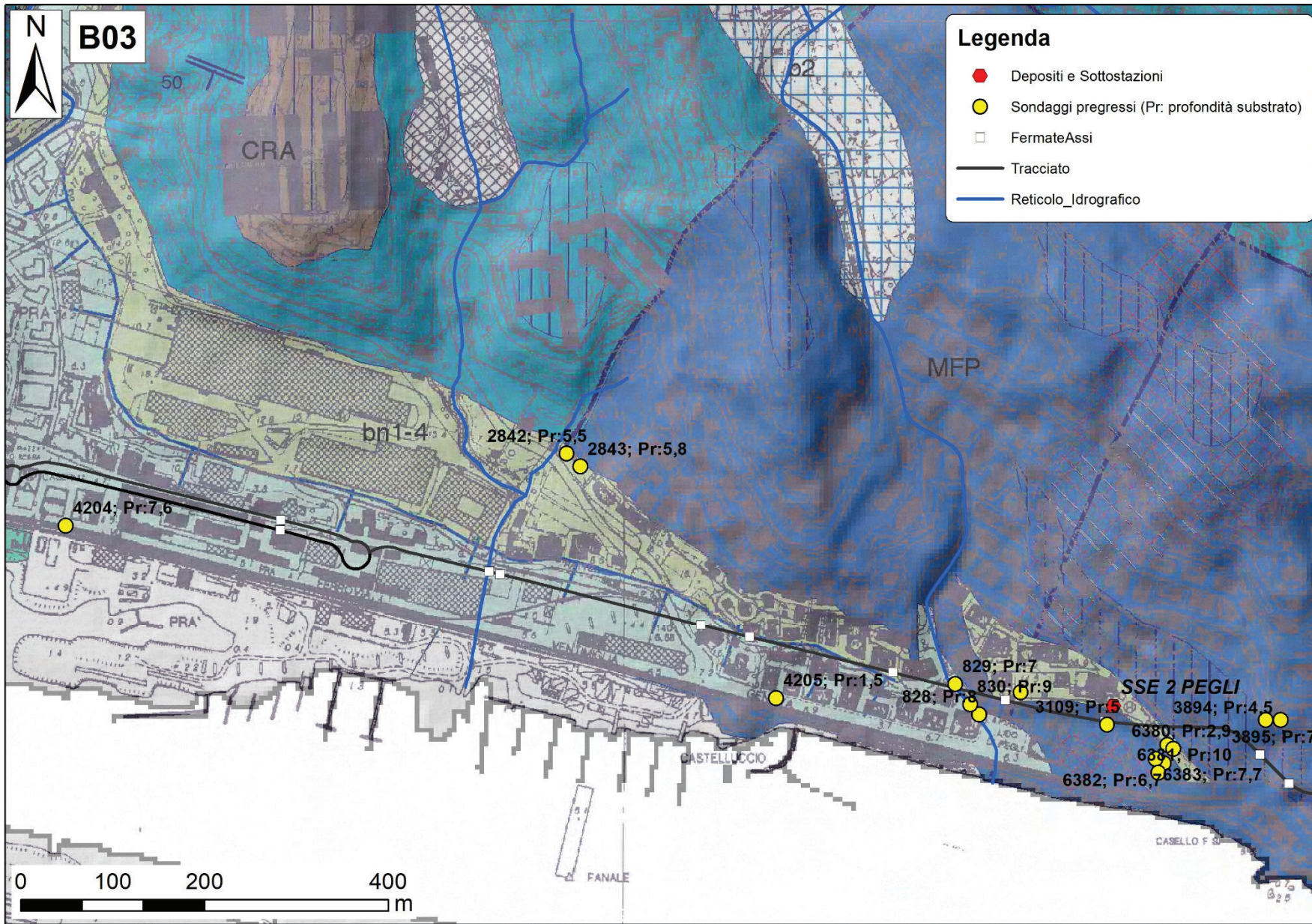


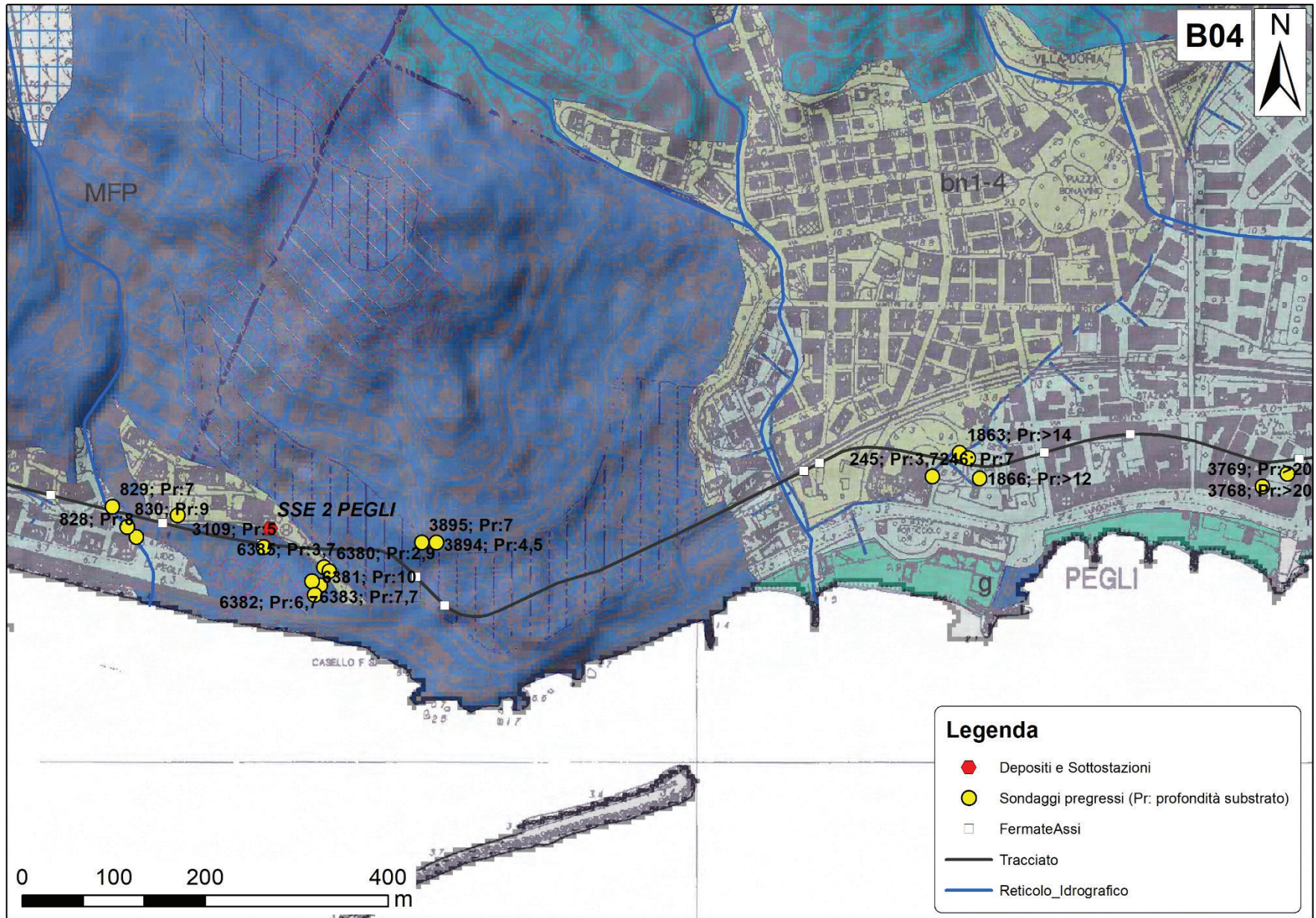
B01

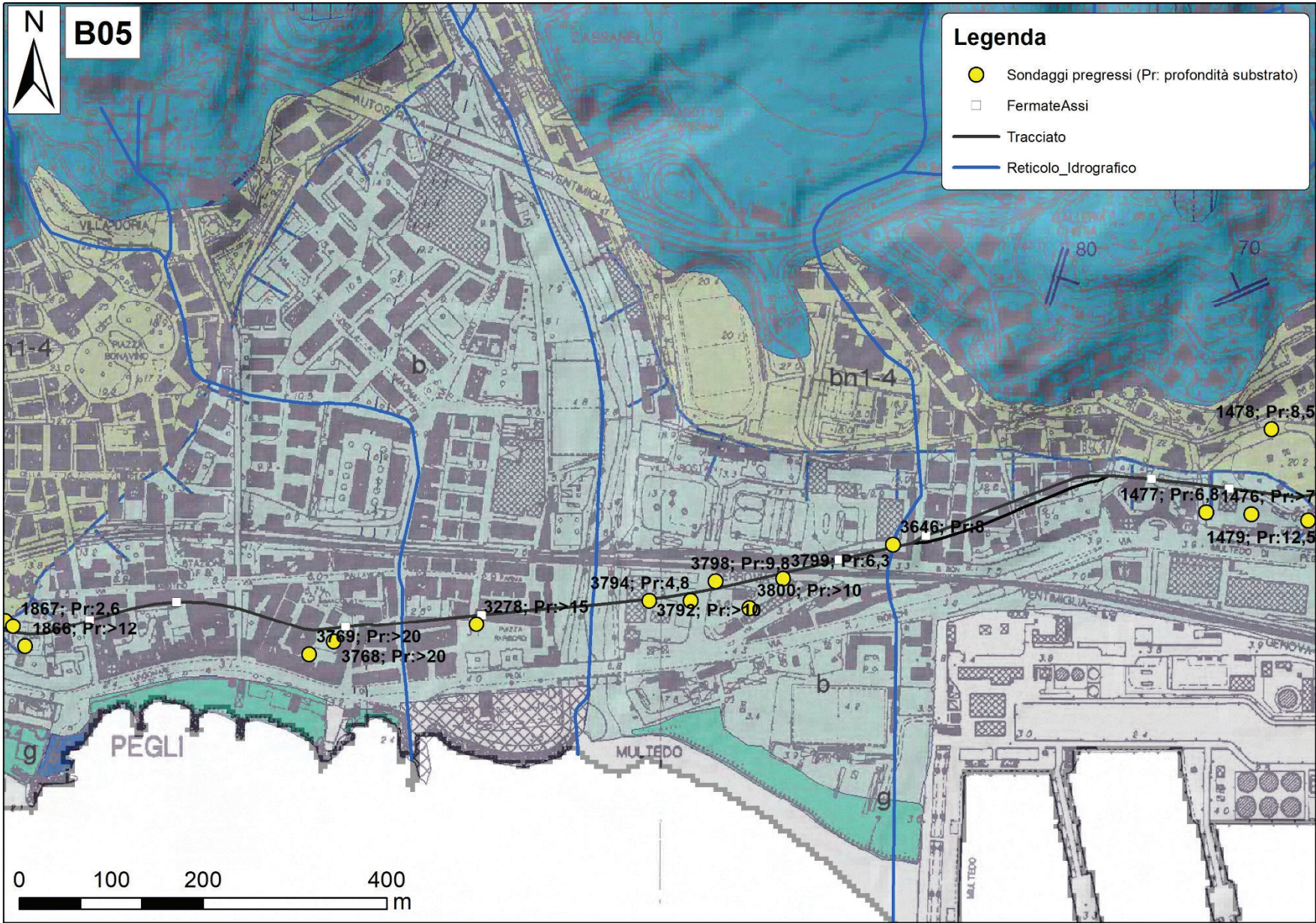


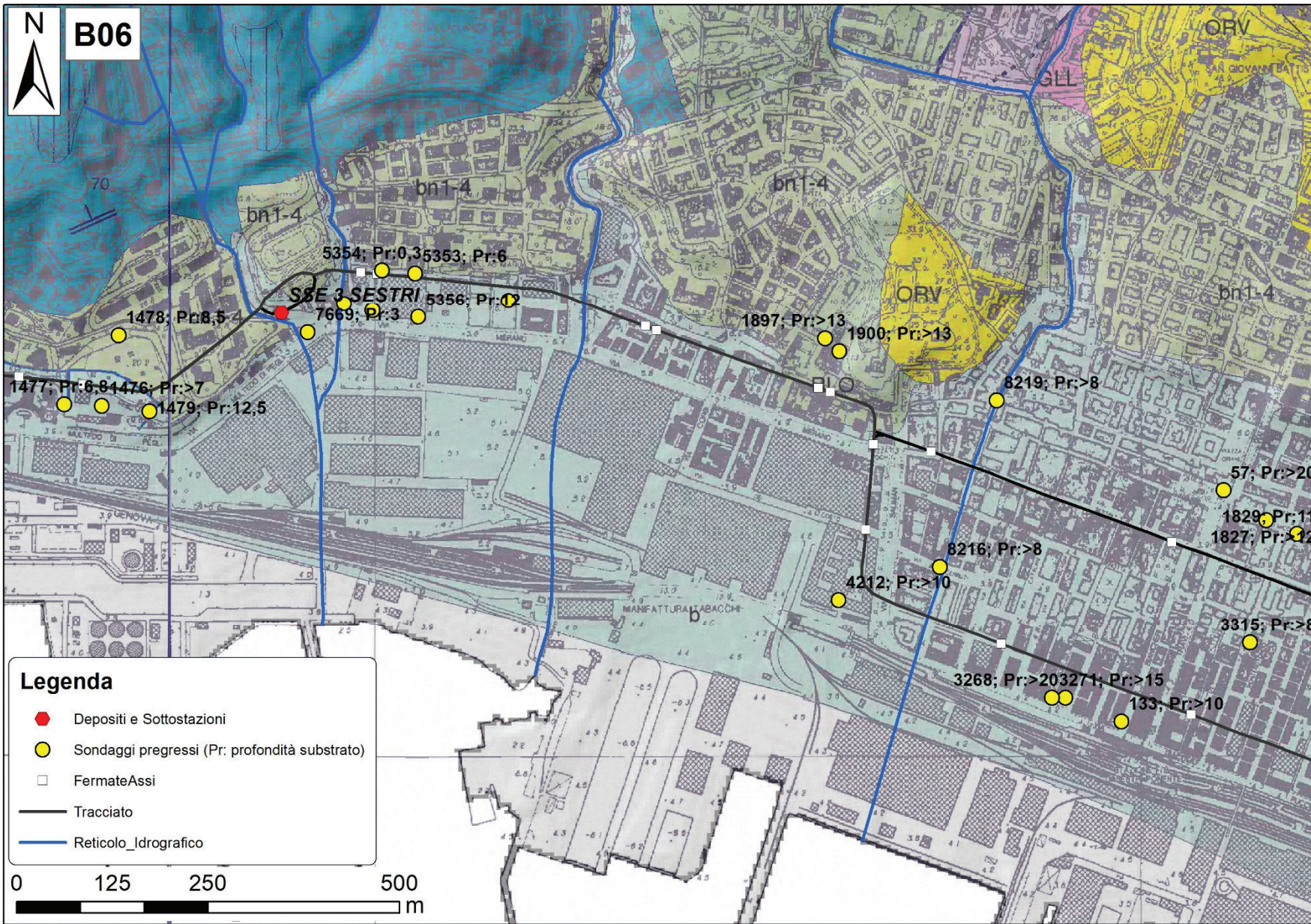
Legenda

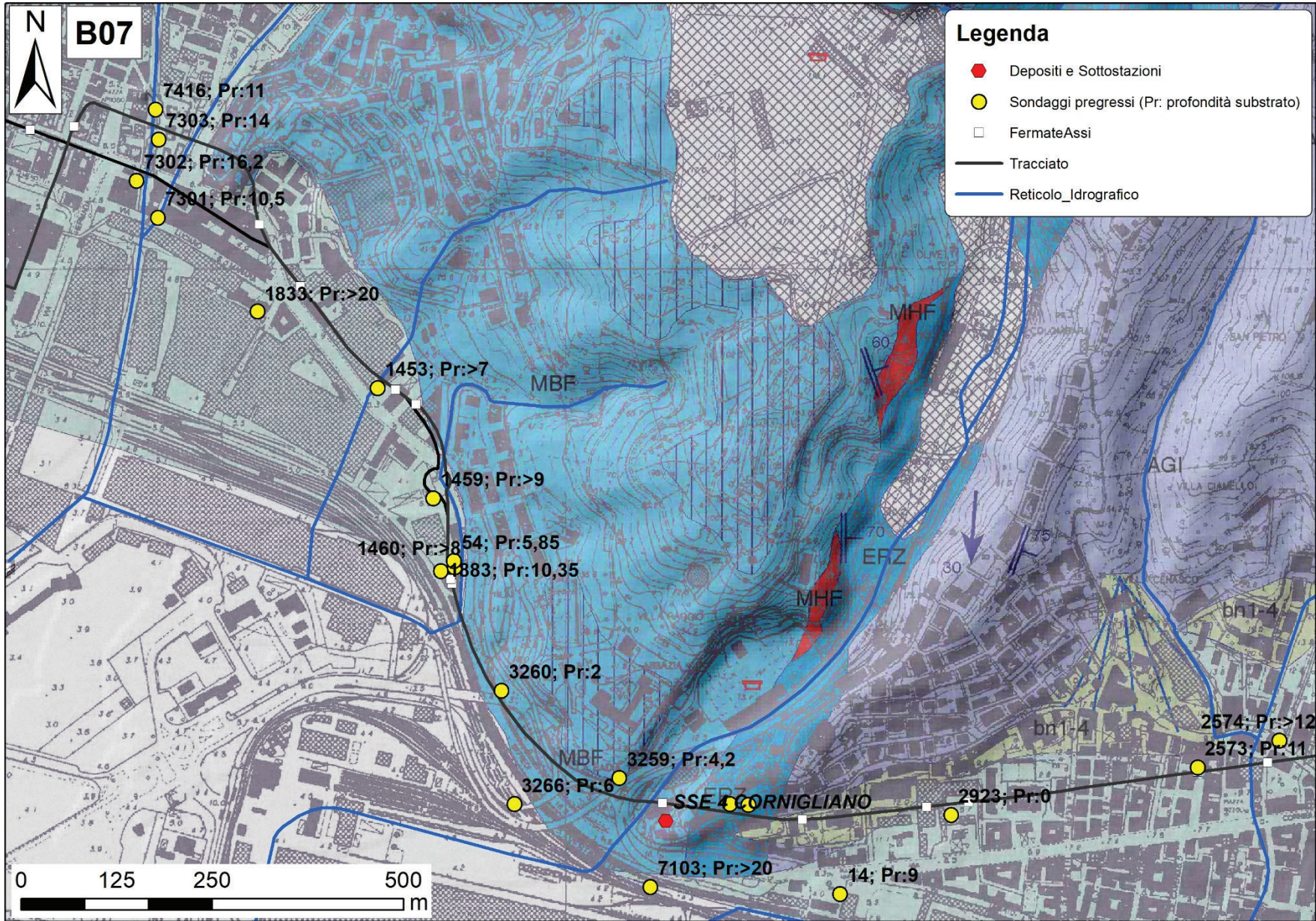
- Depositi e Sottostazioni
- Sondaggi pregressi (Pr: profondità substrato)
- Fermate Assi
- Tracciato
- Reticolo Idrografico

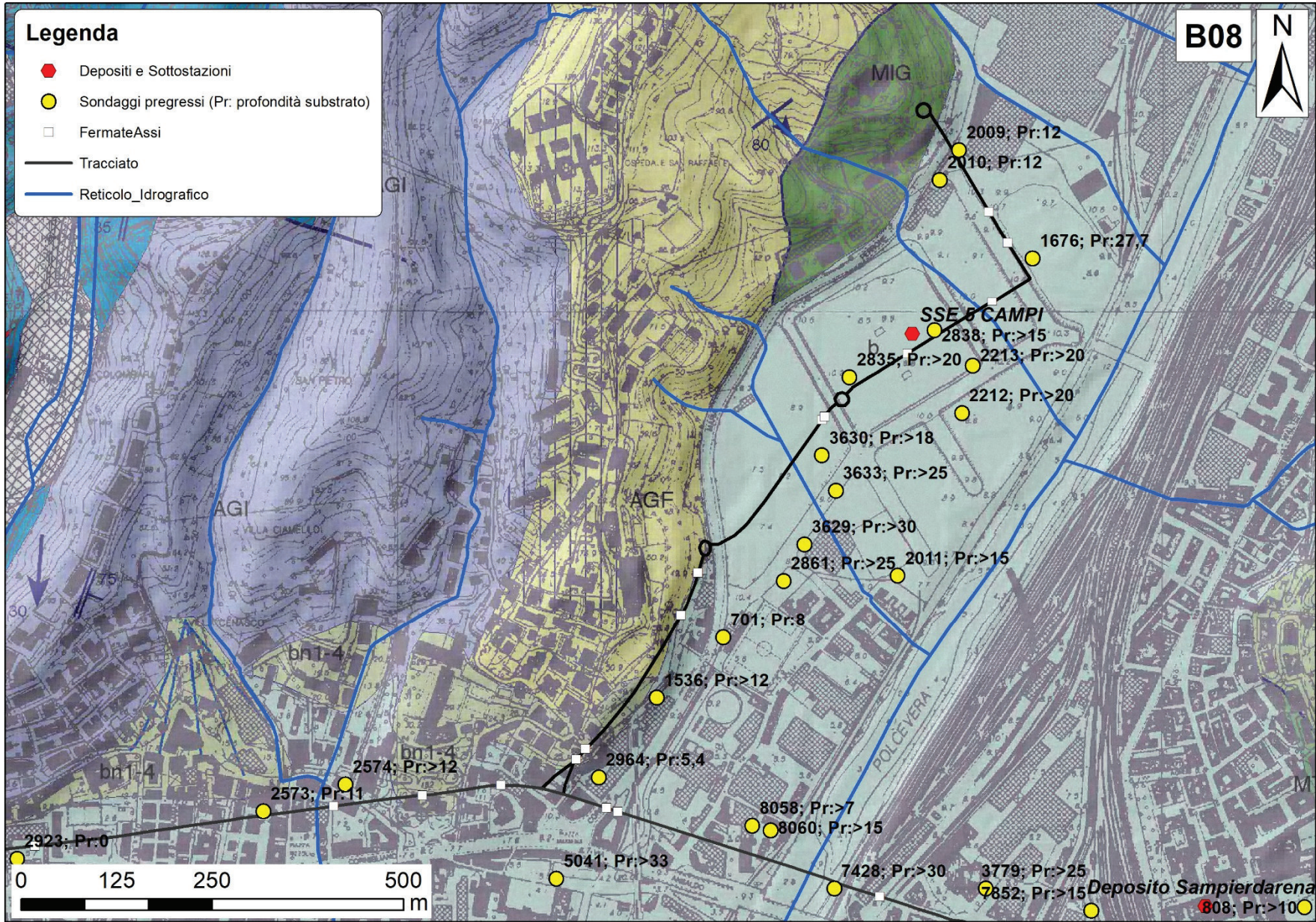




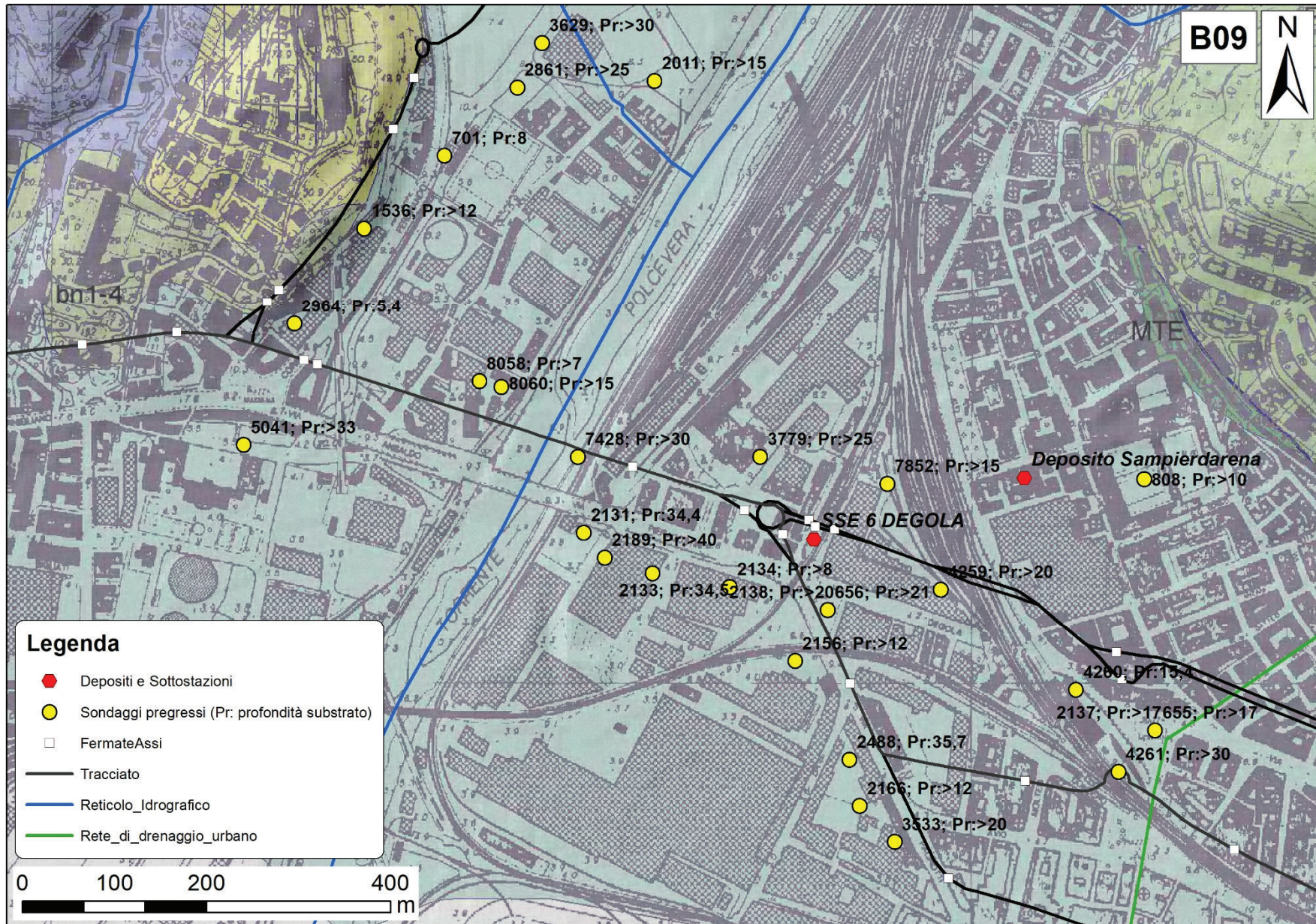












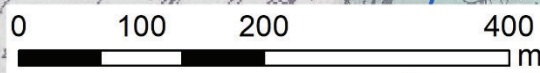


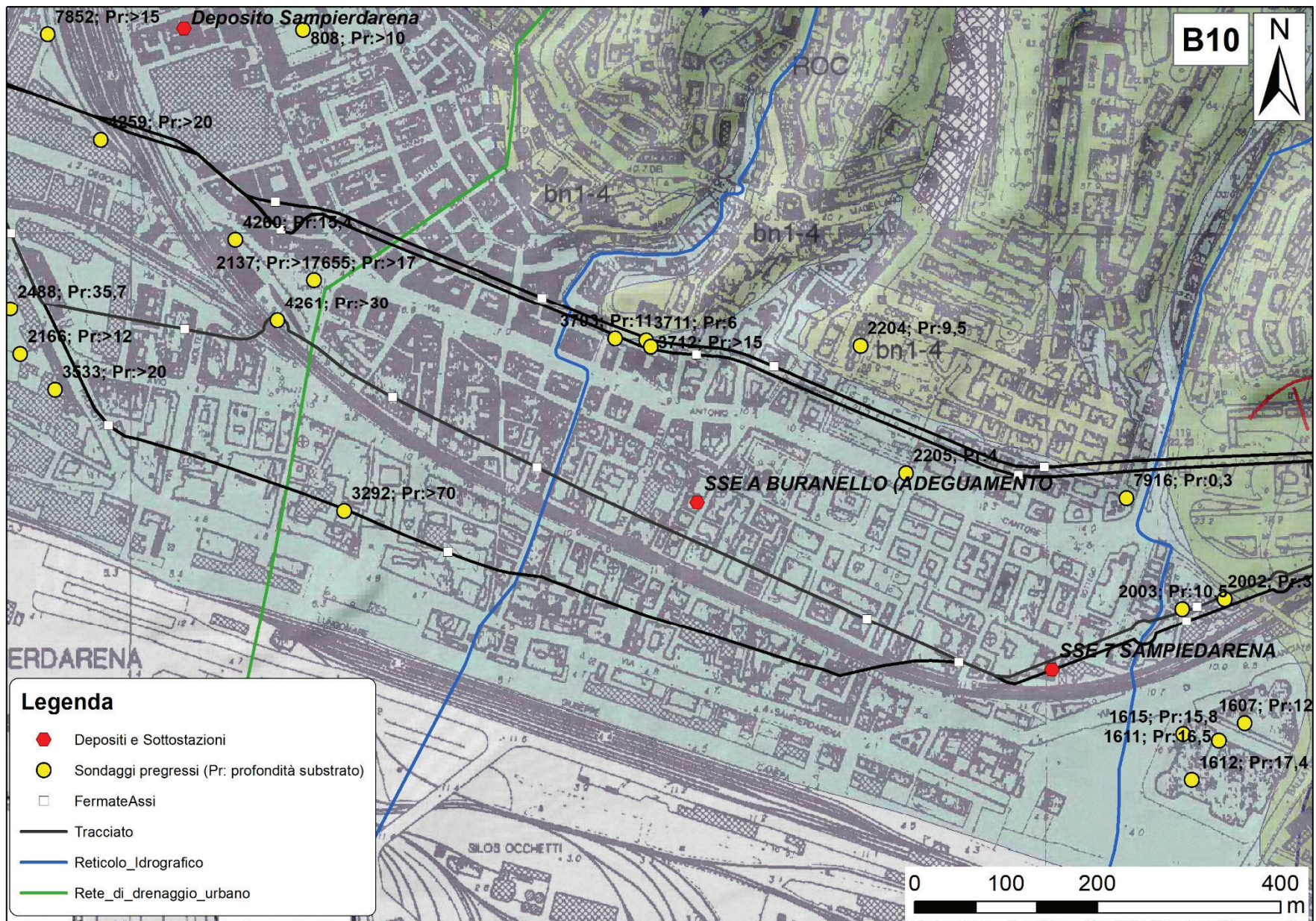
B09

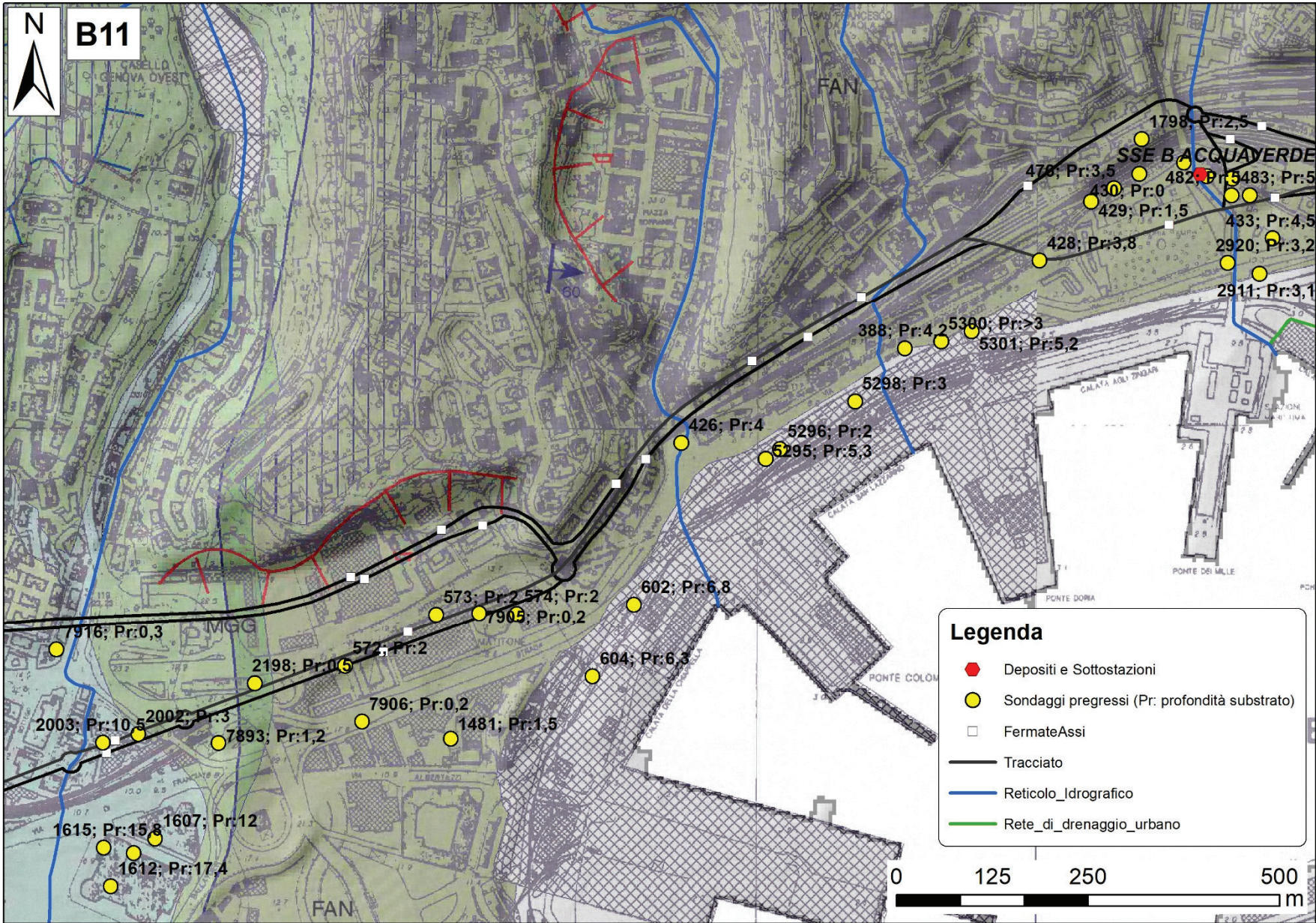


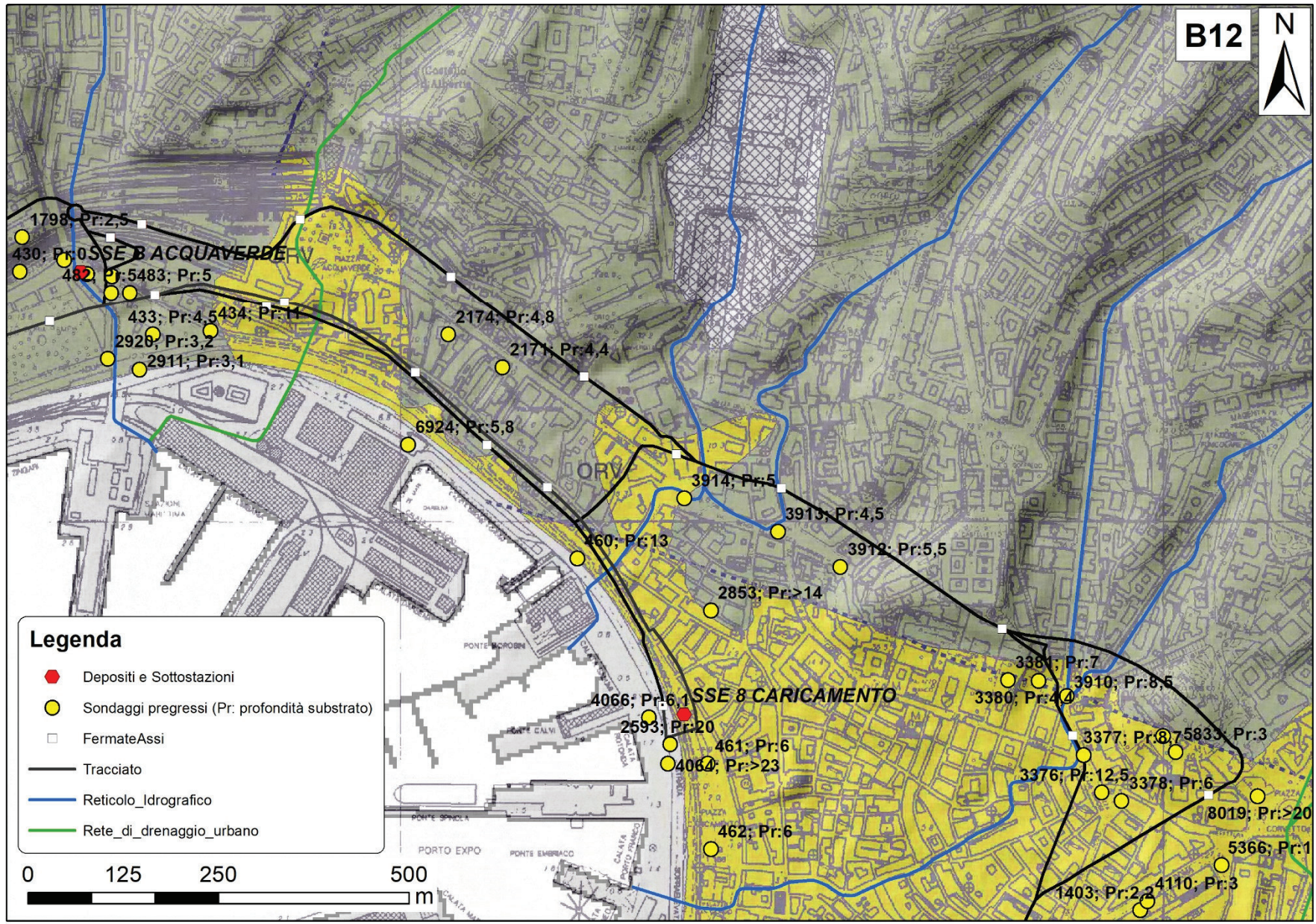
Legenda

-  Depositi e Sottostazioni
-  Sondaggi pregressi (Pr: profondità substrato)
-  Fermate Assi
-  Tracciato
-  Reticolo Idrografico
-  Rete di drenaggio urbano



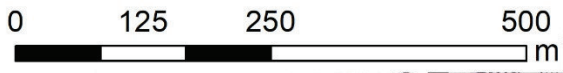




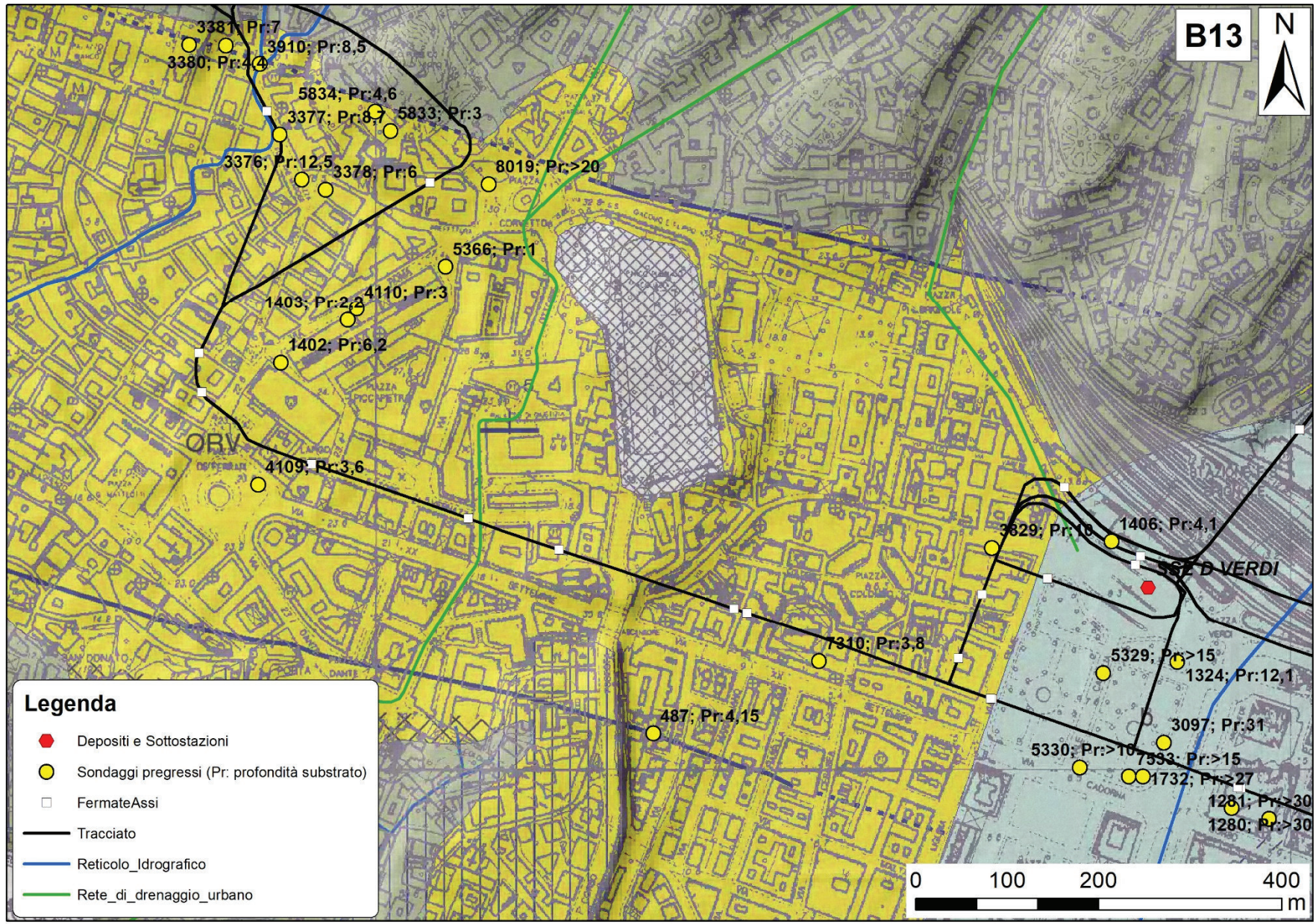


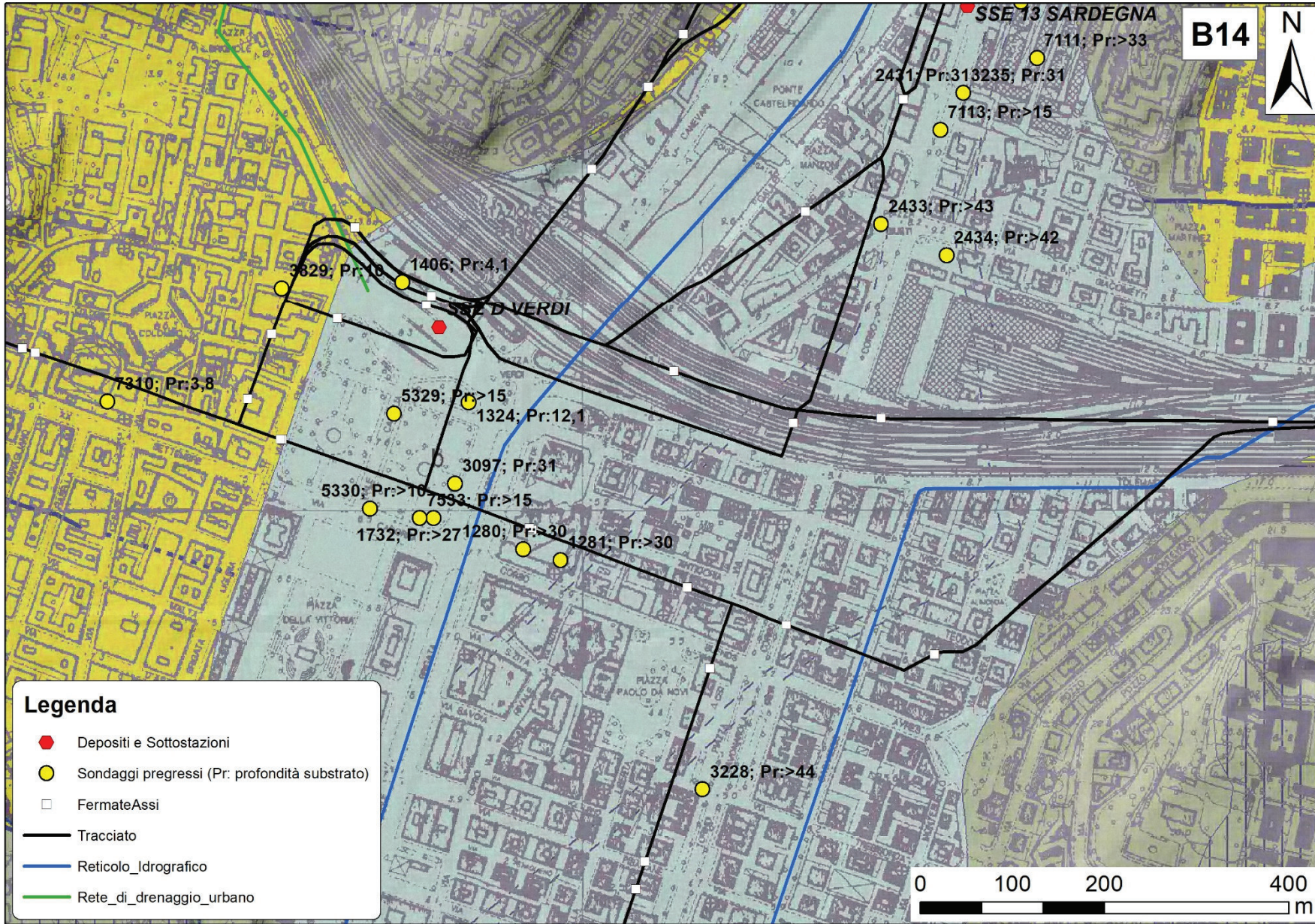
Legenda

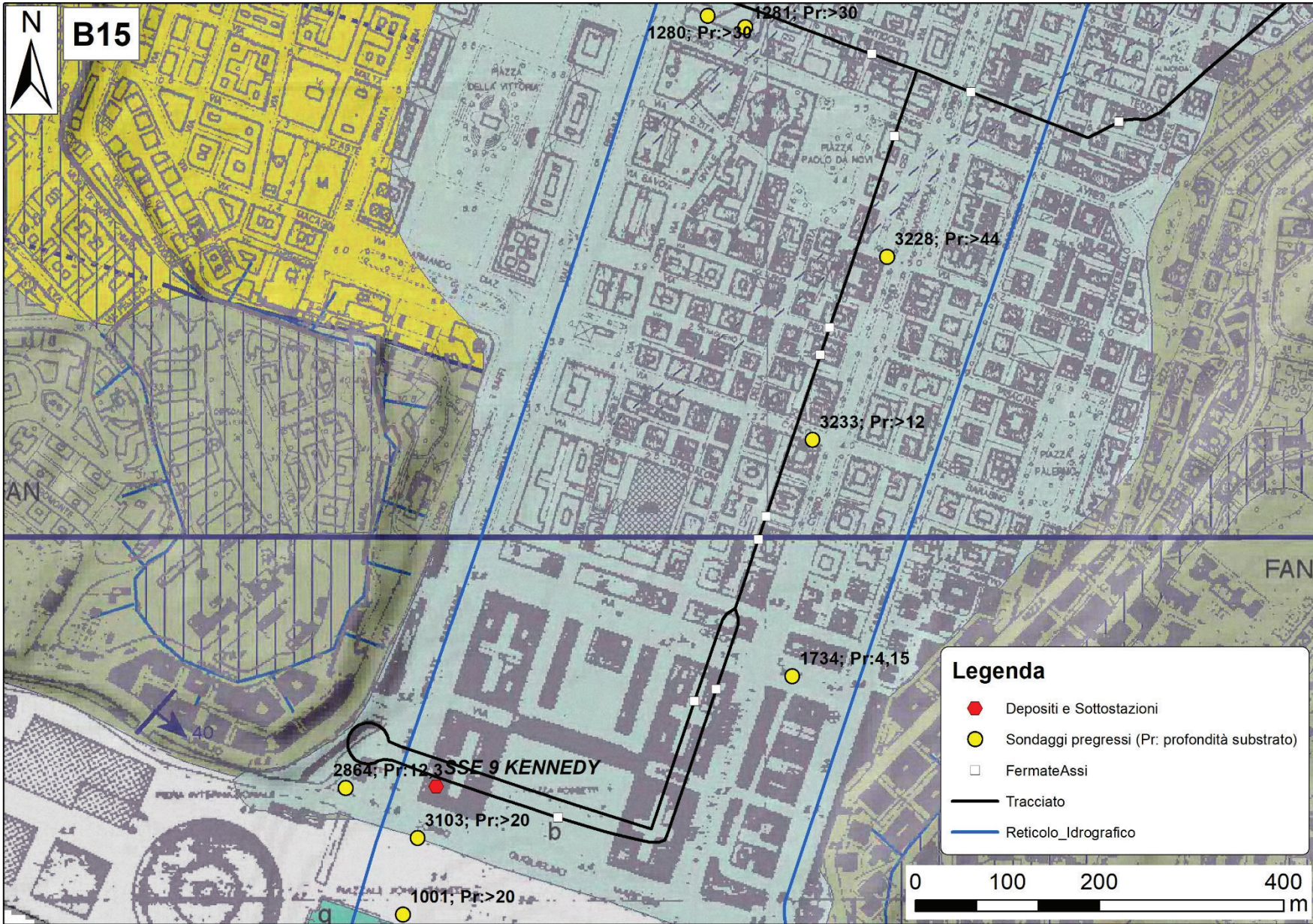
- Depositi e Sottostazioni
- Sondaggi pregressi (Pr: profondità substrato)
- Fermate/Assi
- Tracciato
- Reticolo Idrografico
- Rete di drenaggio urbano

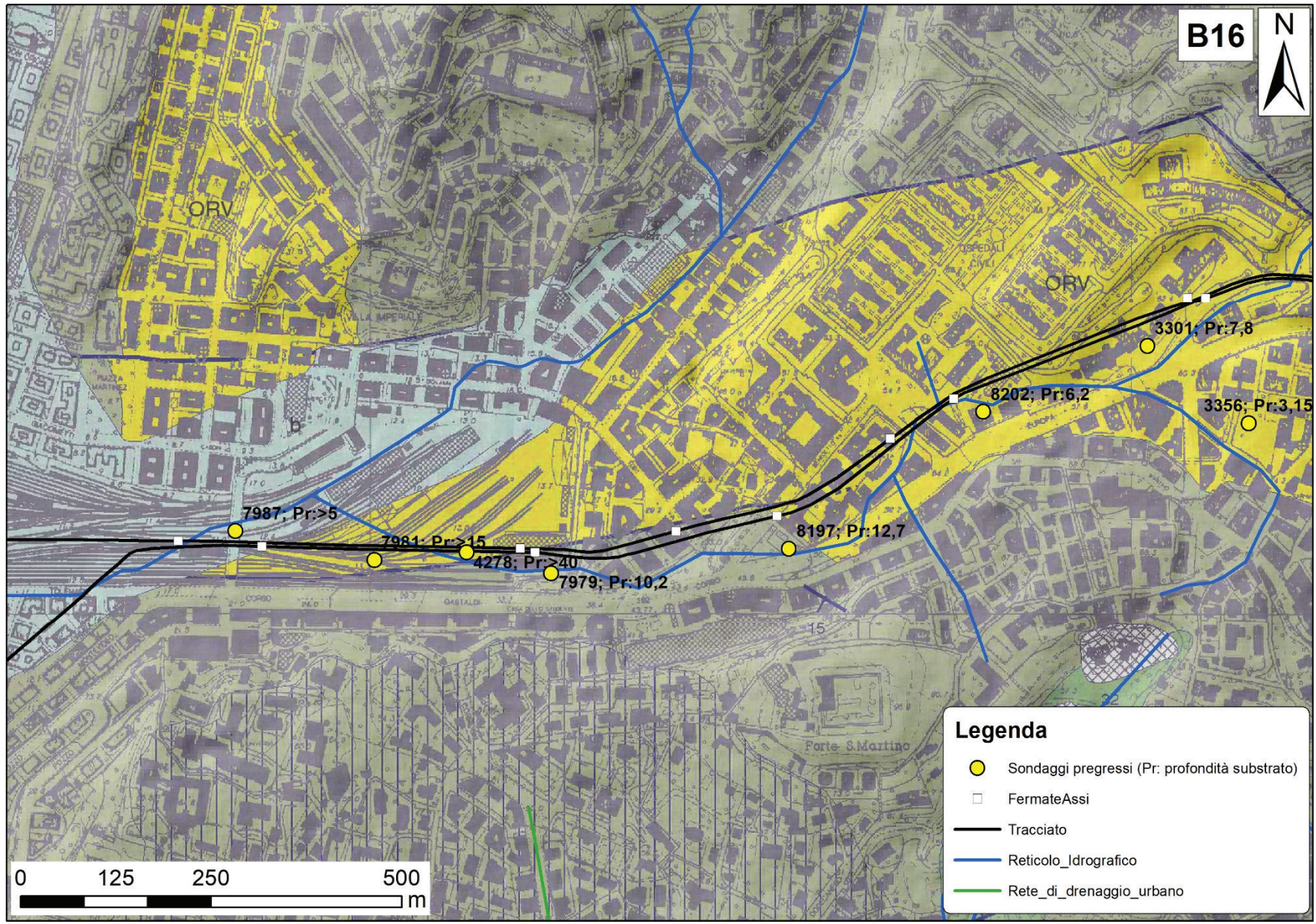


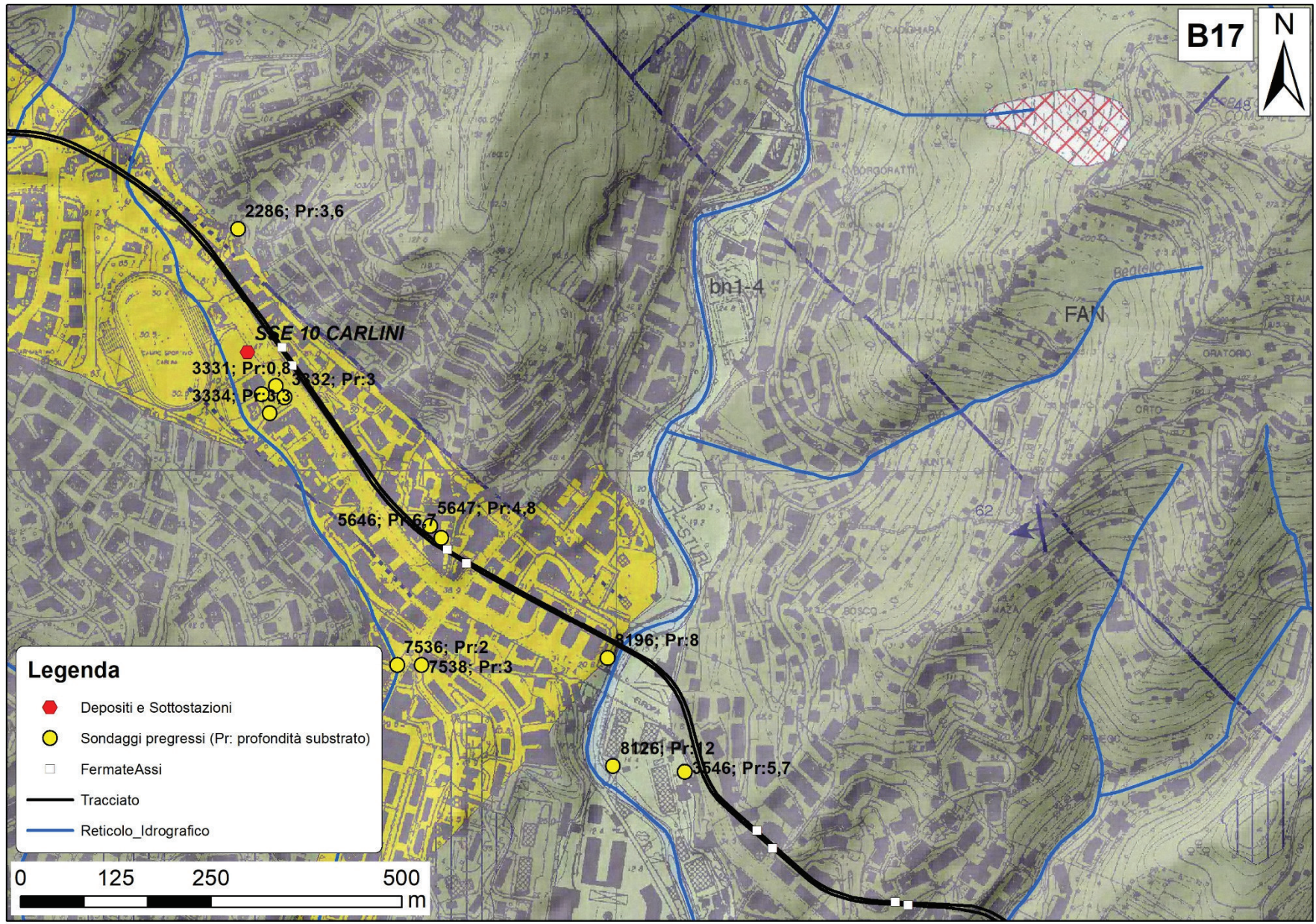
1798; Pr:2,5
 430; Pr:0,5
 482; Pr:5483; Pr:5
 433; Pr:4,5
 5434; Pr:11
 2928; Pr:3,2
 2911; Pr:3,1
 2174; Pr:4,8
 2171; Pr:4,4
 6924; Pr:5,8
 3914; Pr:5
 3915; Pr:4,5
 3912; Pr:5,5
 2853; Pr:>14
 460; Pr:13
 4066; Pr:6,1
 2593; Pr:20
 461; Pr:6
 4062; Pr:>23
 462; Pr:6
 3381; Pr:7
 3380; Pr:4,0
 3910; Pr:8,5
 3377; Pr:8,7
 5833; Pr:3
 3376; Pr:12,5
 3378; Pr:6
 8019; Pr:>20
 5366; Pr:1
 1403; Pr:2,2
 4110; Pr:3





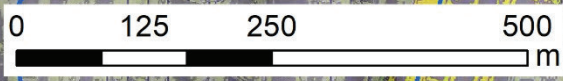


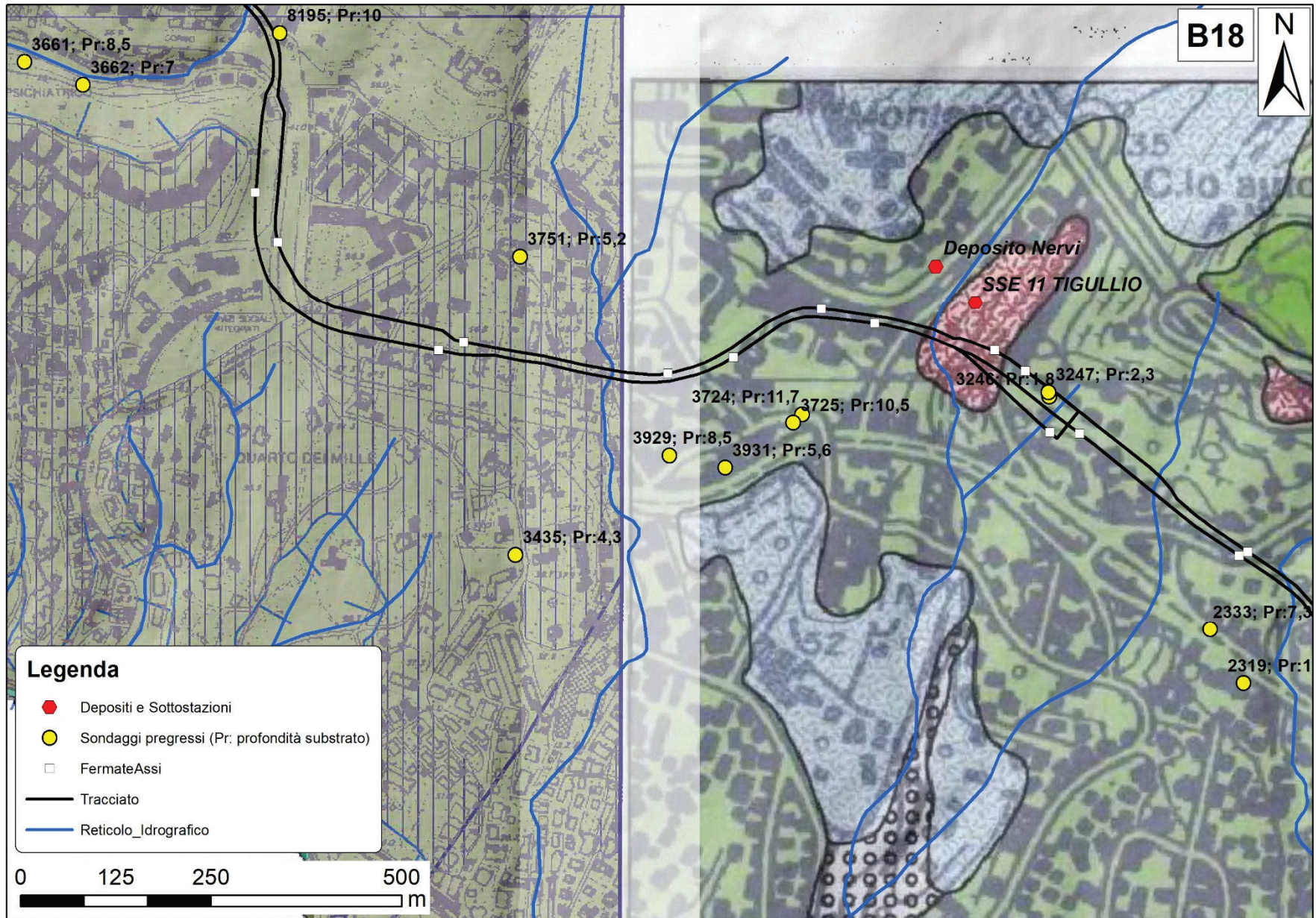


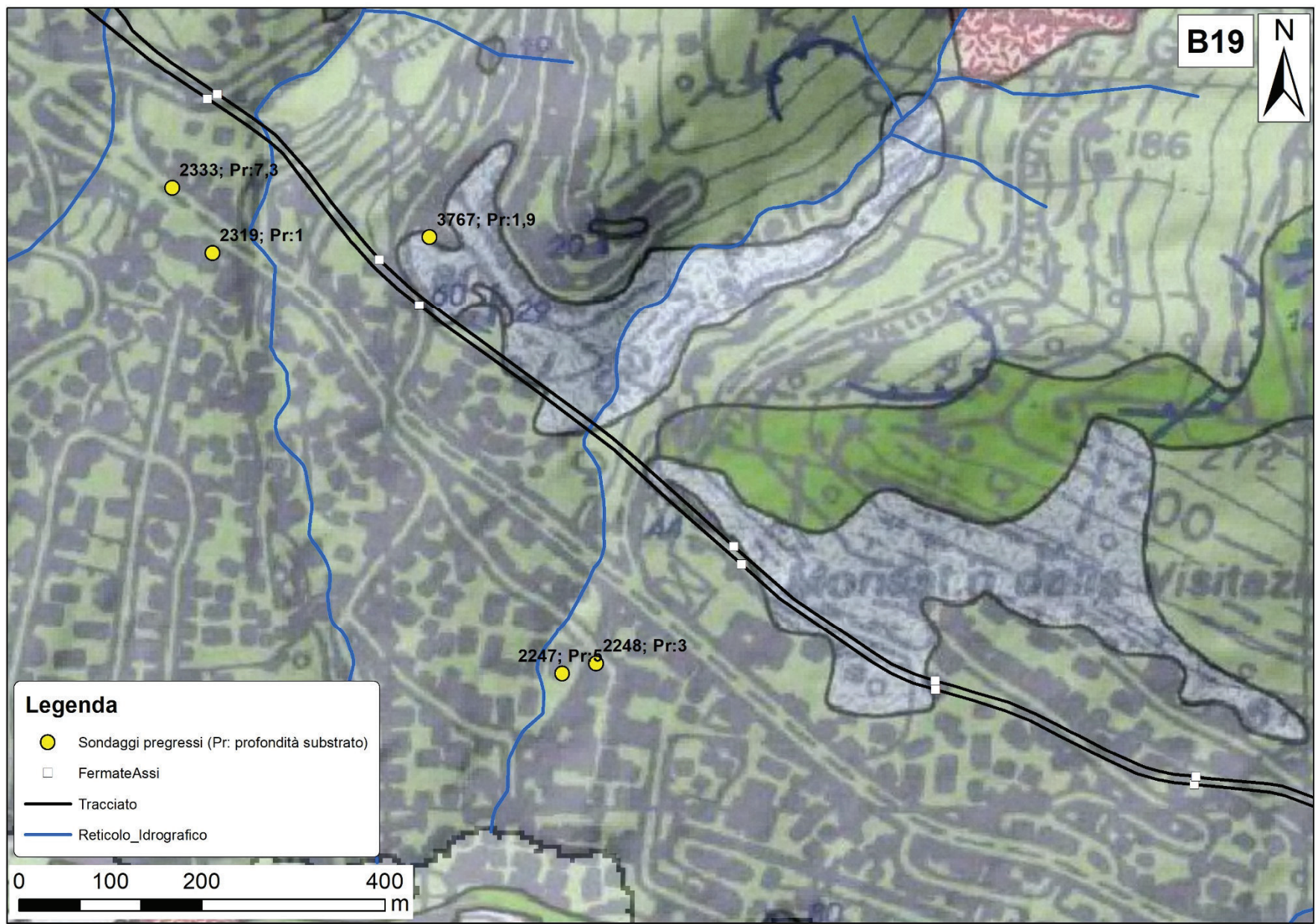


Legenda

- Depositi e Sottostazioni
- Sondaggi pregressi (Pr: profondità substrato)
- Fermate/Assi
- Tracciato
- Reticolo Idrografico





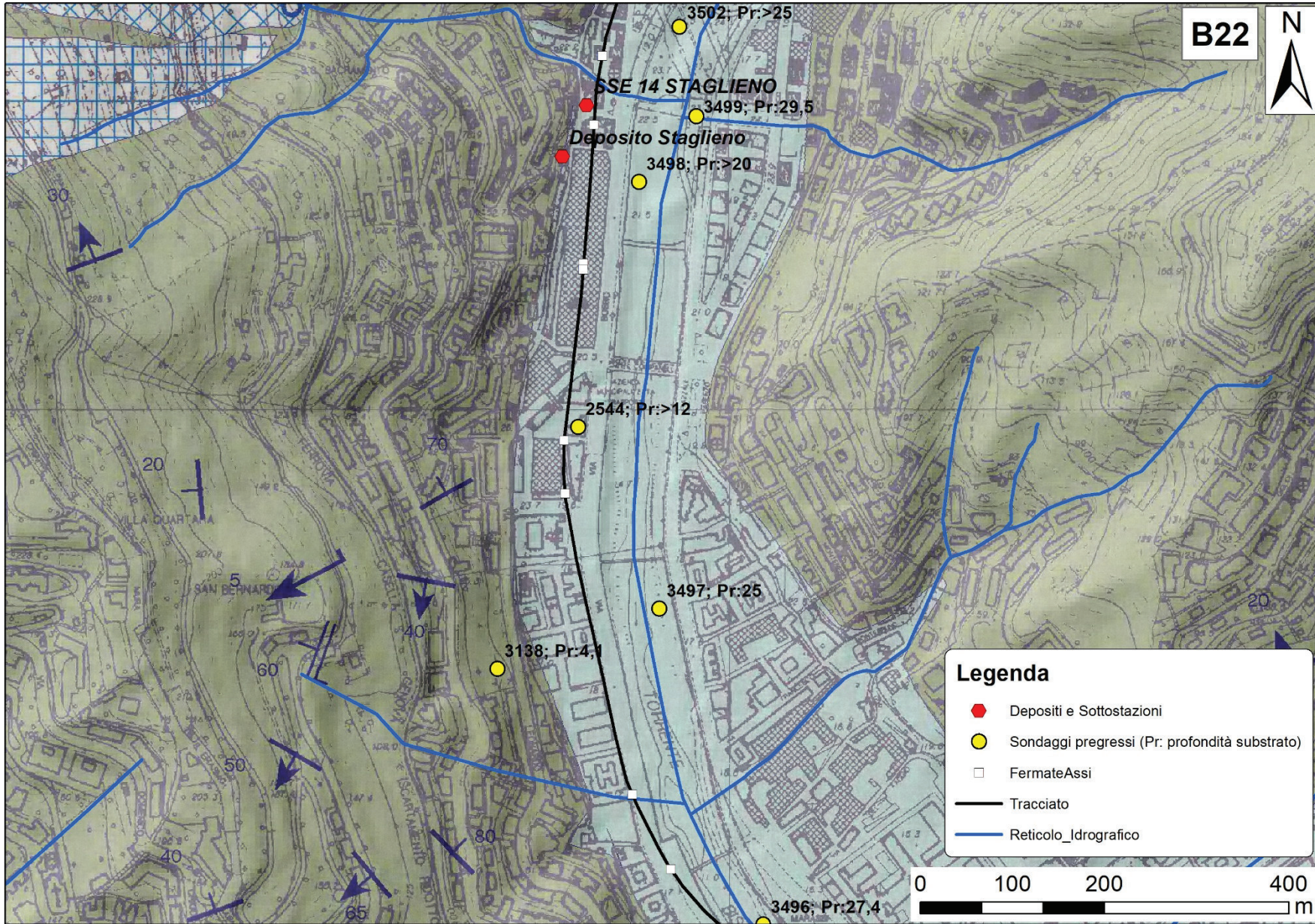


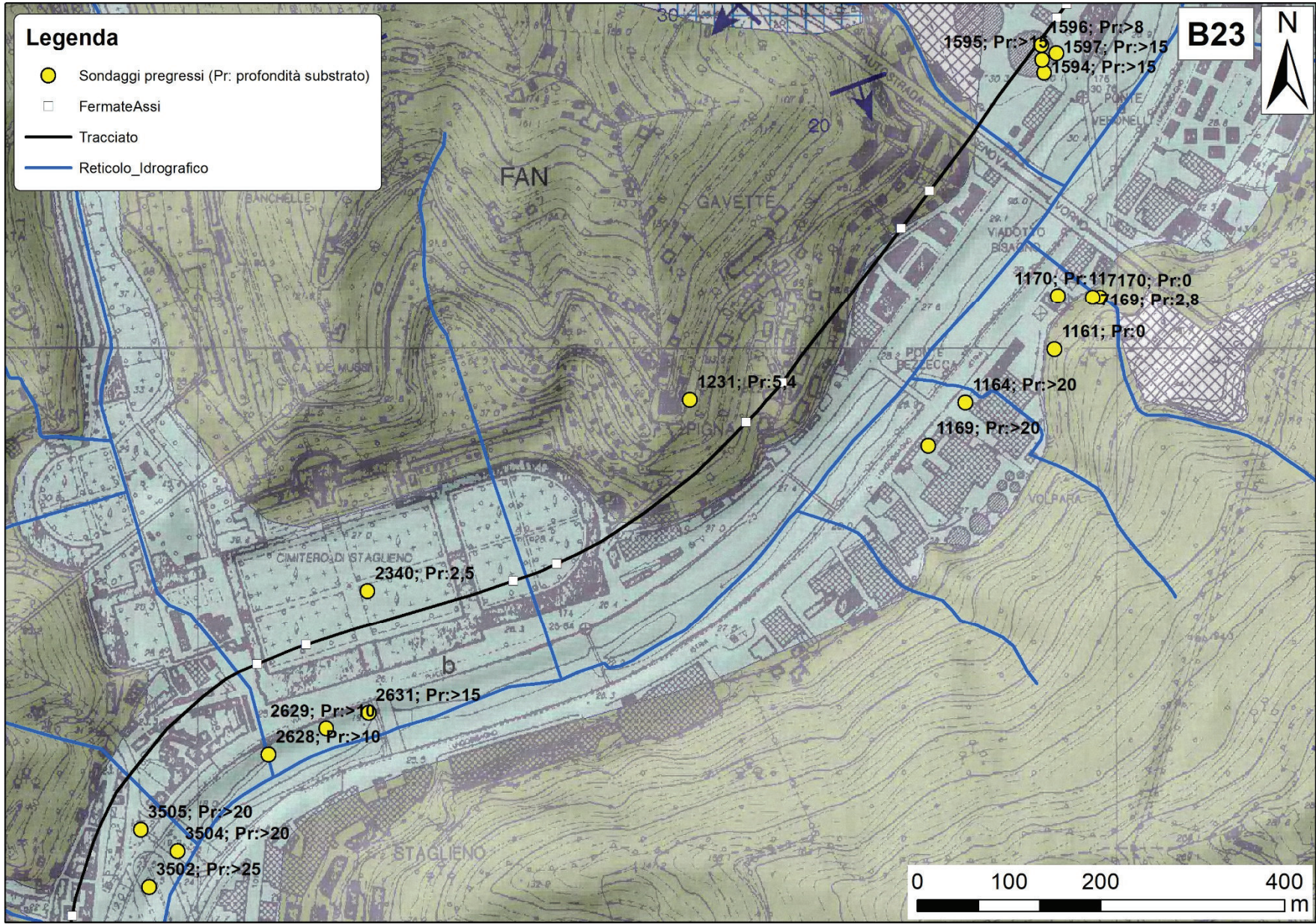
Legenda

-  Sondaggi pregressi (Pr: profondità substrato)
-  FermateAssi
-  Tracciato
-  Reticolo_Idrografico

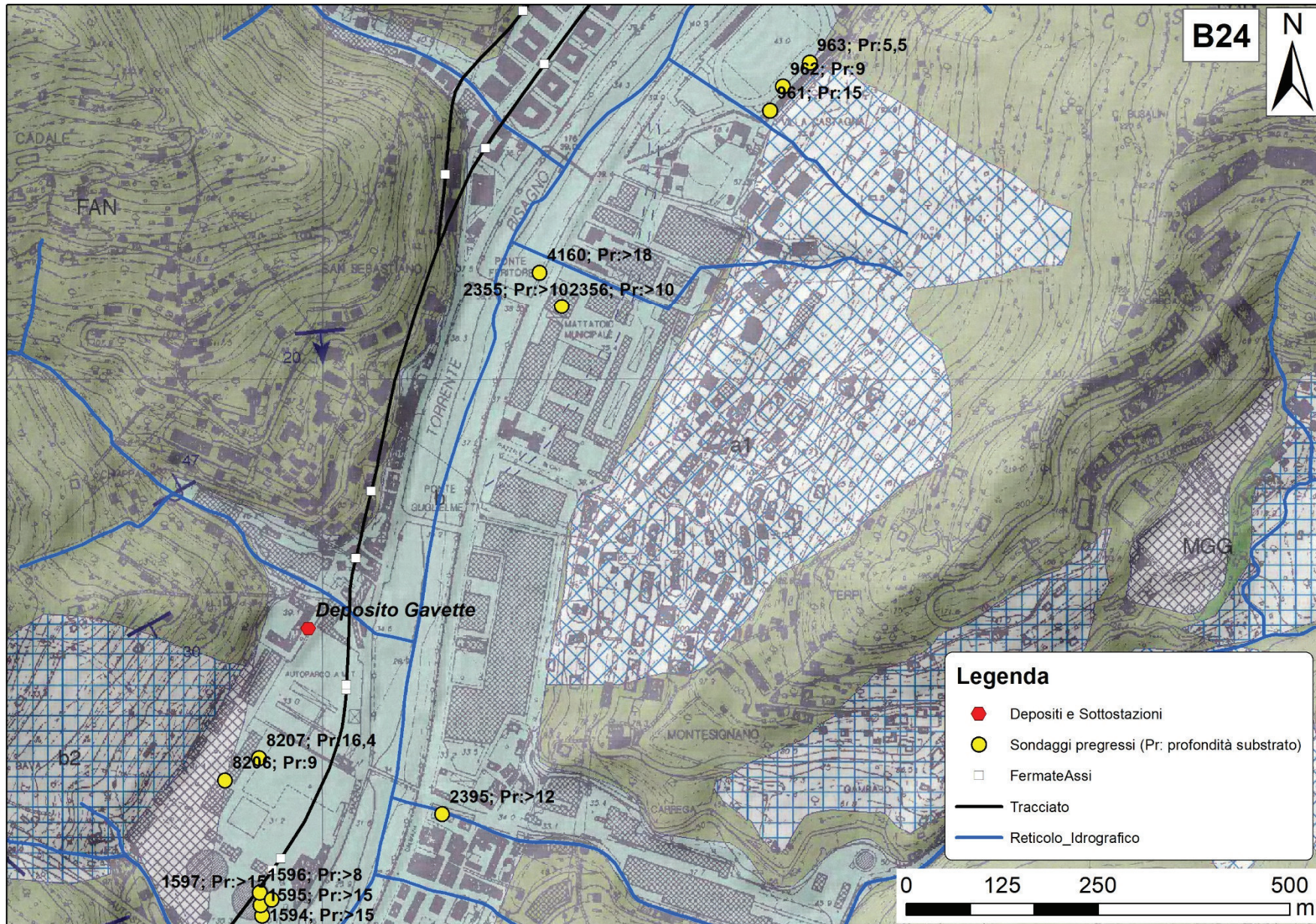













B24



Legenda

-  Depositi e Sottostazioni
-  Sondaggi pregressi (Pr: profondità substrato)
-  Fermate Assi
-  Tracciato
-  Reticolo Idrografico

